

Universidade de Brasília - UnB  
Faculdade UnB Gama - FGA  
Engenharia Aeroespacial

# **Estimação de parâmetros aerodinâmicos do caça Mirage III utilizando o filtro de Kalman estendido**

**Autor: Mateus Marocolo Alves de Freitas**  
**Orientador: Prof. Dr. William Reis Silva**

**Brasília, DF**  
**2024**



Mateus Marocolo Alves de Freitas

# **Estimação de parâmetros aerodinâmicos do caça Mirage III utilizando o filtro de Kalman estendido**

Monografia submetida ao curso de graduação em Engenharia Aeroespacial da Universidade de Brasília, como requisito parcial para obtenção do Título de Bacharel em Engenharia Aeroespacial.

Universidade de Brasília - UnB

Faculdade UnB Gama - FGA

Orientador: Prof. Dr. William Reis Silva

Brasília, DF

2024

---

Mateus Marocolo Alves de Freitas

Estimação de parâmetros aerodinâmicos do caça Mirage III utilizando o filtro de Kalman estendido/ Mateus Marocolo Alves de Freitas. – Brasília, DF, 2024-  
165 p. : il. (algumas color.) ; 30 cm.

Orientador: Prof. Dr. William Reis Silva

Trabalho de Conclusão de Curso – Universidade de Brasília - UnB  
Faculdade UnB Gama - FGA , 2024.

1. Estimação de parâmetros. 2. Filtro de Kalman estendido. I. Prof. Dr. William Reis Silva. II. Universidade de Brasília. III. Faculdade UnB Gama. IV. Estimação de parâmetros aerodinâmicos do caça Mirage III utilizando o filtro de Kalman estendido

CDU

---

Mateus Marocolo Alves de Freitas

## **Estimação de parâmetros aerodinâmicos do caça Mirage III utilizando o filtro de Kalman estendido**

Monografia submetida ao curso de graduação em Engenharia Aeroespacial da Universidade de Brasília, como requisito parcial para obtenção do Título de Bacharel em Engenharia Aeroespacial.

Trabalho aprovado. Brasília, DF, 20 de setembro de 2024:

---

**Prof. Dr. William Reis Silva**  
Orientador

---

**Prof. Dra. Polliana Cândida Oliveira  
Martins**  
Convidado 1

---

**Prof. Dr. Mateus Rodrigues Miranda**  
Convidado 2

Brasília, DF  
2024

# Resumo

A estimação de parâmetros e o filtro de Kalman estendido desempenham papéis essenciais na análise e controle de aeronaves. Em conjunto, essas ferramentas têm a capacidade de identificar aspectos cruciais do comportamento dinâmico de uma aeronave, permitindo a melhor compreensão de seu desempenho em voo. Este trabalho aborda a estimação de trinta e quatro estados (doze parâmetros de movimento e vinte e dois parâmetros aerodinâmicos) do caça Mirage III utilizando o filtro de Kalman estendido em condição de voo reto e nivelado e curva coordenada. A implementação foi feita em MATLAB® e Simulink® que visa comparar as estimativas dos estados com valores reais obtidos de um modelo dinâmico não linear e dados medidos por sensores. A metodologia envolve a análise dos erros absolutos das estimativas e a verificação da estabilização e convergência do filtro com base em intervalos de confiança. Os resultados mostraram que o FKE foi eficaz na estimação das posições lineares e angulares, com erro dentro dos limites de confiança estabelecidos. No entanto, o filtro apresentou dificuldades na estabilização das velocidades lineares e em alguns parâmetros aerodinâmicos de força e de momento. Apesar dessas limitações, o FKE demonstrou um desempenho satisfatório na maioria dos parâmetros, comparando a estimativa com o valor real, validando assim, a técnica para aplicações práticas.

**Palavras-chaves:** Estimação de parâmetros. Filtro de Kalman estendido. Dinâmica de voo. Coeficientes aerodinâmicos.

# Abstract

Parameter estimation and the extended Kalman filter play essential roles in aircraft analysis and control. Together, these tools have the ability to identify crucial aspects of an aircraft's dynamic behavior, allowing a better understanding of its in-flight performance. This work addresses the estimation of thirty-four states (twelve motion parameters and twenty-two aerodynamic parameters) of the Mirage III fighter using the extended Kalman filter in straight and level flight and coordinated turn conditions. The implementation was done in MATLAB® and Simulink® which aims to compare the state estimates with real values obtained from a nonlinear dynamic model and data measured by sensors. The methodology involves the analysis of the absolute errors of the estimates and the verification of the stabilization and convergence of the filter based on confidence intervals. The results showed that the FKE was effective in estimating linear and angular positions, with error within the established confidence limits. However, the filter presented difficulties in stabilizing linear velocities and in some aerodynamic parameters of force and moment. Despite these limitations, FKE demonstrated satisfactory performance in most parameters, comparing the estimate with the real value, thus validating the technique for practical applications.

**Key-words:** Parameter estimation. Extended Kalman filter. Flight dynamics. Aerodynamic coefficients.

# Lista de ilustrações

Figura 1 – <i>Lockheed C-5A</i> . (ALLISON, 2018) . . . . .	20
Figura 2 – $F_B$ e $F_E$ . Adaptado de Etkin e Reid (1996). . . . .	22
Figura 3 – Ângulos de Euler. Adaptado de Quan (2017). . . . .	23
Figura 4 – $F_B$ , $F_A$ , $\alpha$ e $\beta$ . Adaptado de Crassidis e Junkins (2012). . . . .	25
Figura 5 – Função de densidade de probabilidade gaussiana. Adaptado de DeGroot e Schervish (2012). . . . .	34
Figura 6 – Processo da inferência estatística. (DEVORE, 2006) . . . . .	35
Figura 7 – Linha do tempo das estimativas e das covariâncias. (SIMON, 2006) . . . . .	38
Figura 8 – Algoritmo do FK. Baseado em Busarello e Simões (2019). . . . .	39
Figura 9 – FK e modelo em diagrama de blocos. Adaptado de Terejanu (2009). . . . .	40
Figura 10 – Algoritmo do FKE. . . . .	43
Figura 11 – Caça Mirage III. (BRASILEIRA, 2015) . . . . .	44
Figura 12 – Modelo completo. . . . .	46
Figura 13 – Subsistema SENSORES. . . . .	46
Figura 14 – Trajetória - condição de voo reto e nivelado. . . . .	49
Figura 15 – Trajetória - condição de curva coordenada. . . . .	51
Figura 16 – Fluxograma da solução geral. . . . .	52
Figura 17 – Posições lineares medidas, estimadas e reais (reto e nivelado). . . . .	55
Figura 18 – Erros e intervalos de confiança para as posições lineares (reto e nivelado). . . . .	56
Figura 19 – Posições angulares medidas, estimadas e reais (reto e nivelado). . . . .	57
Figura 20 – Erros e intervalos de confiança para as posições angulares (reto e nivelado). . . . .	58
Figura 21 – Velocidades lineares estimadas e reais (reto e nivelado). . . . .	59
Figura 22 – Erros e intervalos de confiança para as velocidades lineares (reto e nivelado). . . . .	60
Figura 23 – Velocidades angulares medidas, estimadas e reais (reto e nivelado). . . . .	61
Figura 24 – Erros e intervalos de confiança para as velocidades angulares (reto e nivelado). . . . .	62
Figura 25 – $C_{D_0}$ estimado e real (reto e nivelado). . . . .	63
Figura 26 – Erro e intervalo de confiança para $C_{D_0}$ (reto e nivelado). . . . .	63
Figura 27 – $C_Y$ estimados e reais (reto e nivelado). . . . .	64
Figura 28 – Erros e intervalos de confiança para $C_Y$ (reto e nivelado). . . . .	65
Figura 29 – $C_{L_0}$ estimado e real (reto e nivelado). . . . .	66
Figura 30 – Erro e intervalo de confiança para $C_{L_0}$ (reto e nivelado). . . . .	66
Figura 31 – $C_L$ estimados e reais (reto e nivelado). . . . .	67
Figura 32 – Erros e intervalos de confiança para $C_L$ (reto e nivelado). . . . .	68

Figura 33 – $C_l$ estimados e reais (reto e nivelado). . . . .	69
Figura 34 – Erros e intervalos de confiança para $C_l$ (reto e nivelado). . . . .	70
Figura 35 – $C_{m_0}$ estimado e real (reto e nivelado). . . . .	70
Figura 36 – Erro e intervalo de confiança para $C_{m_0}$ (reto e nivelado). . . . .	71
Figura 37 – $C_m$ estimados e reais (reto e nivelado). . . . .	71
Figura 38 – Erros e intervalos de confiança para $C_m$ (reto e nivelado). . . . .	72
Figura 39 – $C_n$ estimados e reais (reto e nivelado). . . . .	73
Figura 40 – Erros e intervalos de confiança para $C_n$ (reto e nivelado). . . . .	74
Figura 41 – Posições lineares medidas, estimadas e reais (curva coordenada). . . . .	75
Figura 42 – Erros e intervalos de confiança para as posições lineares (curva coordenada). . . . .	76
Figura 43 – Posições angulares medidas, estimadas e reais (curva coordenada). . . . .	77
Figura 44 – Erros e intervalos de confiança para as posições angulares (curva coordenada). . . . .	78
Figura 45 – Velocidades lineares estimadas e reais (curva coordenada). . . . .	79
Figura 46 – Erros e intervalos de confiança para as velocidades lineares (curva coordenada). . . . .	80
Figura 47 – Velocidades angulares medidas, estimadas e reais (curva coordenada). . . . .	81
Figura 48 – Erros e intervalos de confiança para as velocidades angulares (curva coordenada). . . . .	82
Figura 49 – $C_{D_0}$ estimado e real (curva coordenada). . . . .	83
Figura 50 – Erro e intervalo de confiança para $C_{D_0}$ (curva coordenada). . . . .	83
Figura 51 – $C_Y$ estimados e reais (curva coordenada). . . . .	84
Figura 52 – Erros e intervalos de confiança para $C_Y$ (curva coordenada). . . . .	85
Figura 53 – $C_{L_0}$ estimado e real (curva coordenada). . . . .	86
Figura 54 – Erro e intervalo de confiança para $C_{L_0}$ (curva coordenada). . . . .	86
Figura 55 – $C_L$ estimados e reais (curva coordenada). . . . .	87
Figura 56 – Erros e intervalos de confiança para $C_L$ (curva coordenada). . . . .	88
Figura 57 – $C_l$ estimados e reais (curva coordenada). . . . .	89
Figura 58 – Erros e intervalos de confiança para $C_l$ (curva coordenada). . . . .	90
Figura 59 – $C_{m_0}$ estimado e real (curva coordenada). . . . .	90
Figura 60 – Erro e intervalo de confiança para $C_{m_0}$ (curva coordenada). . . . .	91
Figura 61 – $C_m$ estimados e reais (curva coordenada). . . . .	91
Figura 62 – Erros e intervalos de confiança para $C_m$ (curva coordenada). . . . .	92
Figura 63 – $C_n$ estimados e reais (curva coordenada). . . . .	93
Figura 64 – Erros e intervalos de confiança para $C_n$ (curva coordenada). . . . .	94
Figura 65 – Subsistemas MODELO NAO LINEAR - MIRAGE III. . . . .	151
Figura 66 – Subsistema MODELO DINAMICO. . . . .	151
Figura 67 – Subsistema EQUACOES CINEMATICAS. . . . .	152



Figura 68 – Subsistema EQUACOES DINAMICAS. . . . .	153
Figura 69 – Subsistema FORCAS. . . . .	153
Figura 70 – Subsistema FORCA GRAVITACIONAL. . . . .	154
Figura 71 – Subsistema FORCAS AERODINAMICAS. . . . .	155
Figura 72 – Subsistema FORCAS AERODINAMICAS/FORCAS. . . . .	156
Figura 73 – Subsistema FORCAS/COEFICIENTES. . . . .	156
Figura 74 – Subsistema MOMENTOS. . . . .	157
Figura 75 – Subisistema MOMENTOS AERODINAMICOS. . . . .	157
Figura 76 – Subsistema MOMENTOS AERODINAMICOS/COEFICIENTES. . . . .	158
Figura 77 – Subsistema SAIDAS. . . . .	158
Figura 78 – Subsistema alpha beta V. . . . .	159
Figura 79 – Cálculo $V =  V_B $ . . . . .	159
Figura 80 – Configuração do bloco Discretização. . . . .	160
Figura 81 – Configuração do bloco Ruido Gaussiano Branco. . . . .	160
Figura 82 – Configuração do bloco FILTRO DE KALMAN ESTENDIDO. . . . .	161

# Lista de tabelas

Tabela 1 – Características gerais do Mirage III. . . . .	45
Tabela 2 – Características aerodinâmicas do Mirage III. (PAGLIONE; ZANARDI, 1990) . . . . .	45
Tabela 3 – Condições para voo reto e nivelado. . . . .	48
Tabela 4 – Condições para curva coordenada. . . . .	50

# Lista de abreviaturas e siglas

FK	Filtro de Kalman
ARC	<i>Ames Research Center</i>
NASA	<i>National Aeronautics and Space Administration</i>
FKE	Filtro de Kalman estendido
CG	Centro de gravidade
VA	Variável aleatória
GPS	<i>Global Position System</i>

# Lista de símbolos

$F_B$	Sistema de referência do corpo da aeronave com direção $x$ , $y$ e $z$
$F_E$	Sistema de referência da Terra com direção $x_E$ , $y_E$ e $z_E$
$C$	Origem de $F_B$
$O$	Origem de $F_E$
$X$	Força resultante na direção $x$ de $F_B$
$Y$	Força resultante na direção $y$ de $F_B$
$Z$	Força resultante na direção $z$ de $F_B$
$\bar{L}$	Momento resultante de rolagem
$M$	Momento resultante de arfagem
$N$	Momento resultante de quinada
$u$	Velocidade linear na direção $x$ de $F_B$
$v$	Velocidade linear na direção $y$ de $F_B$
$w$	Velocidade linear na direção $z$ de $F_B$
$p$	Velocidade de rolagem
$q$	Velocidade de arfagem
$r$	Velocidade de guinada
$\mathbf{f}$	Vetor de forças externas resultantes
$m$	Massa total da aeronave
$\mathbf{V}$	Vetor velocidade linear do CG
$\mathbf{G}$	Vetor de momentos externas resultantes em relação ao CG
$\mathbf{h}$	Vetor momento angular
$\phi$	Ângulo de rolagem
$\theta$	Ângulo de arfagem

$\psi$	Ângulo de guinada
$\omega$	Vetor velocidade angular
$\mathbf{L}_{EB}$	Matriz de rotação de $F_E$ para $F_B$
$\mathbf{T}_{EB}$	Matriz que representa a relação entre as velocidades angulares em $F_E$ e $F_B$
$\mathbf{g}$	Vetor aceleração da gravidade.
$g$	Módulo da aceleração da gravidade
$\mathbf{I}_B$	Matriz de inércia da aeronave composto pelos momentos de inércia $I_x$ , $I_y$ e $I_z$ e pelos produtos de inércia $I_{xy}$ , $I_{xz}$ , $I_{yx}$ , $I_{yz}$ , $I_{zx}$ , $I_{zy}$ ,
$F_A$	Sistema de referência aerodinâmico com direção $x_a$ , $y_a$ e $z_a$
$\alpha$	Ângulo de ataque
$\beta$	Ângulo de derrapagem
$\gamma$	Ângulo de subida
$V$	Módulo do vetor velocidade $\mathbf{V}_B$
$D$	Força aerodinâmica de arrasto
$F_Y$	Força aerodinâmica lateral
$L$	Força aerodinâmica de sustentação
$T$	Tração do motor
$\rho$	Densidade do ar
$S$	Área da asa
$C_D$	Coefficiente de força de arrasto
$C_Y$	Coefficiente de força lateral
$C_L$	Coefficiente de força de sustentação
$\delta_r$	Deflexão angular do leme
$\delta_a$	Deflexão angular dos ailerons
$\delta_e$	Deflexão angular do profundor
$\kappa$	Constante da função parabólica de $C_L \times C_D$

$\bar{c}$	Corde média aerodinâmica da asa
$C_{D_0}$	Coefficiente de força de arrasto para $C_L = 0$
$C_{Y_\beta}$	Derivada parcial aerodinâmica adimensional de força lateral devido à derrapagem
$C_{Y_{\delta_r}}$	Derivada parcial aerodinâmica adimensional de força lateral devido à deflexão angular do leme
$C_{Y_{\delta_a}}$	Derivada parcial aerodinâmica adimensional de força lateral devido à deflexão angular dos ailerons
$C_{L_0}$	Coefficiente de força de sustentação para $\alpha = 0$
$C_{L_\alpha}$	Derivada parcial aerodinâmica adimensional de força de sustentação devido ao ângulo de ataque
$C_{L_{\delta_e}}$	Derivada parcial aerodinâmica adimensional de força de sustentação devido à deflexão angular do profundor
$C_{L_q}$	Derivada parcial aerodinâmica adimensional de força sustentação devido à velocidade de arfagem
$b$	Envergadura da asa
$C_l$	Coefficiente de momento de rolagem
$C_m$	Coefficiente de momento de arfagem
$C_n$	Coefficiente de momento de guinada
$C_{l_\beta}$	Derivada parcial aerodinâmica adimensional de momento de rolamento devido à derrapagem
$C_{l_{\delta_r}}$	Derivada parcial aerodinâmica adimensional de momento de rolamento devido à deflexão angular do leme
$C_{l_{\delta_a}}$	Derivada parcial aerodinâmica adimensional de momento de rolamento devido à deflexão angular dos ailerons
$C_{l_p}$	Derivada parcial aerodinâmica adimensional de momento de rolamento devido à velocidade de rolagem
$C_{l_r}$	Derivada parcial aerodinâmica adimensional de momento de rolamento devido à velocidade de guinada
$C_{m_0}$	Coefficiente de momento de arfagem para $\alpha = 0$

$C_{m_\alpha}$	Derivada parcial aerodinâmica adimensional de momento de arfagem devido ao ângulo de ataque
$C_{m_{\delta_e}}$	Derivada parcial aerodinâmica adimensional de momento de arfagem devido à deflexão angular do profundor
$C_{m_q}$	Derivada parcial aerodinâmica adimensional de momento de arfagem devido à velocidade de guinada
$C_{n_\beta}$	Derivada parcial aerodinâmica adimensional de momento de guinada devido à derrapagem
$C_{n_{\delta_r}}$	Derivada parcial aerodinâmica adimensional de momento de guinada devido à deflexão angular do leme
$C_{n_{\delta_a}}$	Derivada parcial aerodinâmica adimensional de momento de guinada devido à deflexão angular dos ailerons
$C_{n_p}$	Derivada parcial aerodinâmica adimensional de momento de guinada devido à velocidade de rolagem
$C_{n_r}$	Derivada parcial aerodinâmica adimensional de momento de guinada devido à velocidade de guinada
$\mathbf{u}$	Vetor de entrada\controle de tamanho $s \times 1$
$\tilde{\mathbf{y}}$	Vetor de saída\medida do sistema de tamanho $m \times 1$
$\mathbf{x}$	Vetor de estado do sistema de tamanho $n \times 1$
$\mathbf{f}(\cdot)$	Função vetorial não linear que representa a dinâmica do sistema de tamanho $n \times 1$
$\mathbf{h}(\cdot)$	Função vetorial não linear que representa a saída do sistema de tamanho $m \times 1$
$k$	Índice de tempo discreto
$\mathbf{A}$	Matriz jacobiana de estado de um sistema genérico de tamanho $n \times n$
$\mathbf{B}$	Matriz jacobiana de entrada de um sistema genérico de tamanho $n \times s$
$\mathbf{C}$	Matriz jacobiana de saída de um sistema genérico de tamanho $m \times n$
$\mathbf{X}$	VA discreta e vetorial $\mathbf{X}$ de tamanho $N \times 1$
$\mathbf{Y}$	VA discreta e vetorial $\mathbf{Y}$ de tamanho $M \times 1$

$E[.]$	Valor esperado
$\bar{\mathbf{X}}$	Média da VA $\mathbf{X}$
$\bar{\mathbf{Y}}$	Média da VA $\mathbf{Y}$
$p(\cdot)$	Função de densidade de probabilidade
$g(\cdot)$	Função de VA
$C_{\mathbf{XY}}$	Covariância entre $\mathbf{X}$ e $\mathbf{Y}$
$C_{\mathbf{X}}$	Autocovariância de $\mathbf{X}$
$\sigma_i^2$	Variância de $X_i$
$\sigma_{ij}^2$	Covariância de $X_i$ e $X_j$
$\sigma$	Desvio padrão
$\hat{\theta}$	Estimador genérico
$\theta$	Vetor de estimativas genérico de tamanho $K \times 1$
$\mathbf{s}$	Função genérica do vetor de amostras genérico
$\tilde{\mathbf{x}}$	Vetor de amostras genérico de tamanho $\eta \times 1$
$\mu$	Média amostral
$\mathbf{F}$	Matriz de estado de um sistema para o FK
$\mathbf{G}$	Matriz de entrada de um sistema para o FK
$\mathbf{H}$	Matriz de saída de um sistema para o FK
$\mathbf{w}$	Ruído de modelo
$\mathbf{v}$	Ruído de medição
$\mathbf{Q}$	Matriz de variância de $\mathbf{w}$
$\mathbf{R}$	Matriz de variância de $\mathbf{v}$
$\hat{\mathbf{x}}^+$	Estimativa a <i>posteriori</i>
$\hat{\mathbf{x}}^-$	Estimativa a <i>priori</i>
$\mathbf{P}^-$	Matriz de covariância do erro da estimativa a <i>priori</i>
$\mathbf{P}^+$	Matriz de covariância do erro da estimativa a <i>posteriori</i>



$I$	Matriz identidade
$K$	Ganho de Kalman
$J$	Função custo
$z^{-1}$	Atraso de uma amostra
$F^*$	Matriz de estado do modelo linearizado para FKE
$\mathbf{u}^*$	Vetor de entrada\controle do modelo linearizado para FKE
$\mathbf{w}^*$	Ruído de modelo linearizado para FKE
$H^*$	Matriz de saída do modelo linearizado para FKE
$\mathbf{v}^*$	Ruído de medição linearizado para FKE
$L$	Jacobiana do ruído $\mathbf{w}$
$M$	Jacobiana do ruído $\mathbf{v}$
$dt$	Passo de simulação

# Sumário

<b>1</b>	<b>INTRODUÇÃO</b>	<b>19</b>
1.1	Objetivo geral	20
1.2	Objetivos específicos	21
1.3	Justificativa	21
1.4	Organização do trabalho	21
<b>2</b>	<b>FUNDAMENTAÇÃO TEÓRICA</b>	<b>22</b>
2.1	Dinâmica de voo	22
2.1.1	Representação em espaço de estados: modelo dinâmico e de medidas	29
<b>3</b>	<b>CONCEITOS DE PROBABILIDADE</b>	<b>32</b>
<b>4</b>	<b>ESTIMAÇÃO DE PARÂMETROS</b>	<b>35</b>
4.1	Filtro de Kalman no tempo discreto	36
4.2	Filtro de Kalman estendido no tempo discreto	40
<b>5</b>	<b>METODOLOGIA</b>	<b>44</b>
5.1	Objeto de estudo: Mirage III	44
5.2	Solução geral	46
5.3	Condições de voo	47
5.3.1	Condição de voo reto e nivelado	47
5.3.2	Condição de curva coordenada	49
5.4	Inicialização do filtro de Kalman estendido	51
5.4.1	Condição de voo reto e nivelado	52
5.4.2	Condição de curva coordenada	53
<b>6</b>	<b>RESULTADOS E DISCUSSÕES</b>	<b>54</b>
6.1	Estimação e erros dos estados	54
6.1.1	Condição de voo reto e nivelado	54
6.1.2	Condição de curva coordenada	74
<b>7</b>	<b>CONCLUSÕES</b>	<b>95</b>
7.1	Sugestões para trabalhos futuros	96
	<b>REFERÊNCIAS</b>	<b>97</b>

	<b>APÊNDICES</b>	<b>99</b>
	<b>APÊNDICE A – SCRIPTS MATLAB®</b>	<b>100</b>
A.1	<i>main.m</i>	100
A.2	<i>cond.m</i>	101
A.3	<i>trim.m</i>	107
A.4	<i>init_fke</i>	108
A.5	<i>plot_resultados.m</i>	111
	<b>APÊNDICE B – MODELOS SIMULINK®</b>	<b>151</b>
B.1	Subsistema - Modelo Dinâmico	151
B.2	Subsistema - Saídas	158
	<b>APÊNDICE C – SIMULINK® - CONFIGURAÇÃO SENSOR</b>	<b>160</b>
	<b>APÊNDICE D – SIMULINK® - CONFIGURAÇÃO FKE</b>	<b>161</b>

# 1 Introdução

A estimação de parâmetros é um campo da estatística que tem como objetivo determinar valores desconhecidos ou não observáveis, chamados de parâmetros, em um modelo estatístico com base em dados observados disponíveis. Sua evolução ao longo da história é marcada por uma busca contínua por métodos mais precisos e eficientes para extrair informações significativas dos dados observados, permitindo tomada de decisões mais assertivas em sistemas complexos de diversas áreas do conhecimento. (MCCABE; A.; S., 2009)

No final do século XVIII e início do século XIX, Gauss deu as primeiras contribuições significativas para o desenvolvimento da teoria da estimação de parâmetros. Ele introduziu o método dos mínimos quadrados, o primeiro método para obter estimativas ótimas a partir de dados ruidosos. Tem o objetivo de estimar parâmetros de um modelo matemático ajustando-o aos dados experimentais de forma a minimizar a soma dos quadrados dos resíduos. (GREWAL; ANDREWS, 2001)

Com o passar dos anos, métodos mais robustos foram desenvolvidos e teorias probabilísticas começaram a ser empregadas. Como fala Eliasson (1993), entre em 1910 e 1920, Ronald Fisher desenvolveu e popularizou o método da máxima verossimilhança, que busca encontrar os valores dos parâmetros que tornam os dados observados mais prováveis dentro de um modelo estatístico.

No final de 1950 Rudolf Emil Kálmán procurava unir noções de variáveis de estado ao problema de filtragem de Wiener e a partir daí surgiu o filtro de Kalman (FK). Conforme Grewal e Andrews (2010), sua primeira aplicação em um caso real foi no programa Apollo no problema de estimação de trajetória e controle para enviar astronautas à lua.

O grupo de pesquisa ARC (*Ames Research Center*) da NASA (*National Aeronautics and Space Administration*) alcançou etapas essenciais no desenvolvimento do FK como um método prático para navegação em tempo real a bordo da missão Apollo. Passos adicionais incluíram o desenvolvimento do que agora é chamado de filtro de Kalman estendido (FKE) e o uso de análise de Monte Carlo para mostrar que as não linearidades do modelo de trajetória não comprometiam a precisão do FKE para as faixas de erros esperadas durante as missões. (GREWAL; ANDREWS, 2010)

Dada a sua atuação bem sucedida, o FK e FKE foram rapidamente disseminados na comunidade aeroespacial e em 1966 foi escolhido para compor o sistema de navegação da aeronave cargueira *Lockheed C-5A* (Fig. 1). O filtro combinava dados inerciais e informações de vários sistemas de navegação para produzir a estimativa do estado da aeronave. (MCGEE; SCHMIDT, 1985)



Figura 1 – *Lockheed C-5A*. (ALLISON, 2018)

O uso dos filtros não se limitou somente na estimativa da posição da aeronave, [Brown \(1976\)](#) estima coeficientes aerodinâmicos usando o FKE. Além disso, ele modelou a dinâmica não linear de um projétil com base em um corpo rígido de 6 graus de liberdade e incorporou medidas de posições linear e angulares.

A estimação de parâmetros aerodinâmicos se tornou uma prática comum na literatura. [Chowdhary e Jategaonkar \(2010\)](#) modelam a dinâmica de voo da aeronave de pesquisa HFB-320 e do veículo aéreo não tripulado ARTIS e utilizam dados de voos reais para implementar o FKE e o filtro de kalman *unscendted*. De forma semelhante, [Kokolios \(1994\)](#) utiliza o FKE a partir de dados experimentais do modelo em escala da aeronave X-31. Nesse trabalho, também são feitos testes em túnel de vento para colocar o FKE a prova em aplicações de tempo real.

Focado em estimar derivadas aerodinâmicas de uma aeronave, [Curvo \(2000\)](#) utiliza o FKE em seu trabalho e chega em conclusões interessantes. O filtro se mostrou adequado para aplicações em sistemas de controle adaptativo oferecendo boas estimativas de parâmetros para um conjunto de leis de controle. Ele conclui que o algoritmo do FKE tem uma capacidade atrativa por poder ser facilmente embarcado no computador de controle de voo, de modo que a estimativa possa ser feita quase em tempo real durante campanhas de teste.

## 1.1 Objetivo geral

O objetivo geral desse trabalho é estimar parâmetros aerodinâmicos do caça Mirage III através do filtro de Kalman estendido. Tal abordagem visa não apenas a obtenção desses parâmetros, mas também aperfeiçoar a compreensão sobre o comportamento e características aerodinâmicas desta aeronave, beneficiando assim a engenharia aeroespacial e a otimização de sistemas de controle e navegação.

## 1.2 Objetivos específicos

- Desenvolver um modelo da dinâmico de voo de aeronaves e representá-lo em espaço de estados.
- Estudar os filtros de Kalman e Kalman estendido como métodos de estimação de parâmetros.
- Aplicar o filtro de Kalman estendido na estimativa dos parâmetros aerodinâmicos do caça Mirage III em condição de voo reto e nivelado e curva coordenada.
- Modelar sensores para alimentar as medidas do FKE.

## 1.3 Justificativa

Nesse contexto, o presente trabalho objetiva aplicar o filtro de Kalman estendido para estimação de parâmetros aerodinâmicos do caça Mirage III. Desse modo, o motivo desse trabalho está aprimorar a precisão do sistema de navegação e controle, além de minimizar erros e ruídos inerentes ao sistema de medição.

## 1.4 Organização do trabalho

- Capítulo 2: apresenta os fundamentos teóricos de dinâmica de voo e sua representação em espaço de estados.
- Capítulo 3: expõe conceitos fundamentais de probabilidade.
- Capítulo 4: explana métodos de estimação de parâmetros, bem como os filtro de Kalman e Kalman estendido.
- Capítulo 5: mostra a metodologia do trabalho, expondo a solução proposta.
- Capítulo 6: exhibe os resultados obtidos a partir das análises do filtro de Kalman estendido.
- Capítulo 7: exhibe as conclusões finais e sugestões para trabalhos futuros.

## 2 Fundamentação teórica

Nesse capítulo serão apresentados os conceitos de dinâmica de voo e probabilidade e métodos de estimação de parâmetros, englobando os filtros de Kalman e Kalman estendido. Esses conceitos serão combinados para analisar a estimação de estados do caça Mirage III, tema central do capítulo de metodologia.

### 2.1 Dinâmica de voo

Conforme [Etkin e Reid \(1996\)](#), a dinâmica de voo é influenciada por diversos fatores, incluindo efeitos elásticos, dinâmica do piloto, etc. Dito isso, este estudo se restringe à modelagem das áreas de aerodinâmica e mecânica de corpos rígidos. O campo da aerodinâmica é responsável por descrever como o ar flui em torno da aeronave e como forças e momentos são gerados. Já a mecânica de corpos rígidos, foca em retratar como as forças e momentos externos impactam no movimento de objetos que não sofrem deformação.

Para considerar efeitos de movimentos relativos entre uma aeronave e a Terra, são necessários sistemas de referências para representar e analisar como vetores mudam de um sistema para o outro. Para estudar o movimento relativo, são usados o sistema de referência do corpo da aeronave  $F_B$  e o sistema de referência da Terra  $F_E$ .  $F_B$  se move com a aeronave e possui origem  $C$  no centro de gravidade (CG) enquanto que  $F_E$  é fixo na Terra e possui origem  $O$  no centro da Terra, como pode ser visto na Fig. 2 abaixo.

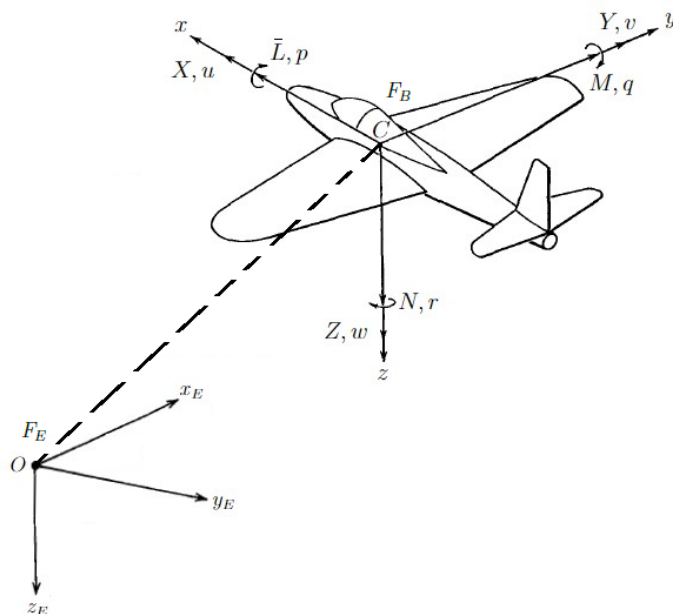


Figura 2 –  $F_B$  e  $F_E$ . Adaptado de [Etkin e Reid \(1996\)](#).

Onde, tem-se em  $F_B$ , as componentes das forças resultantes  $X$ ,  $Y$  e  $Z$  nas componentes vetoriais  $x$ ,  $y$  e  $z$  respectivamente, as componentes dos momentos resultantes de rolagem  $\bar{L}$ , de arfagem  $M$  e de guinada  $N$ , as componentes das velocidades lineares  $u$ ,  $v$ ,  $w$  nas componentes vetoriais  $x$ ,  $y$  e  $z$  e as componentes das velocidades angulares de rolagem  $p$ , de arfagem  $q$  e guinada  $r$ .

Como a Terra é um referencial inercial, as leis de Newton se aplicam e as equações de força e momento podem ser descritas no formato vetorial de acordo com [Etkin e Reid \(1996\)](#), sem considerar a velocidade de vento, pelas Eqs. 2.1 e 2.2.

$$\mathbf{f}_E = \frac{d(m\mathbf{V}_E)}{dt} \quad (2.1)$$

$$\mathbf{G}_E = \dot{\mathbf{h}}_E \quad (2.2)$$

Onde o subscripto  $E$  simboliza que o vetor é representado em  $F_E$ . Além disso,  $\mathbf{f}$  é o vetor de forças externas resultantes agindo sobre a aeronave,  $m$  é a massa total da aeronave,  $\mathbf{V}$  é o vetor velocidade linear do CG em relação ao ar,  $\mathbf{G}$  é o vetor de momentos externos resultantes em relação ao CG e  $\mathbf{h}$  é o vetor momento angular.

Para que as Eqs. 2.1 e 2.2 sejam descritas em  $F_B$ , uma transformação de sistemas de referência é necessária e os ângulos de Euler são usados para que isso ocorra. Na Fig. 3 a seguir, pode ser visto a definição dos ângulos de Euler e a relação deles com os sistemas de referência da Fig. 2.

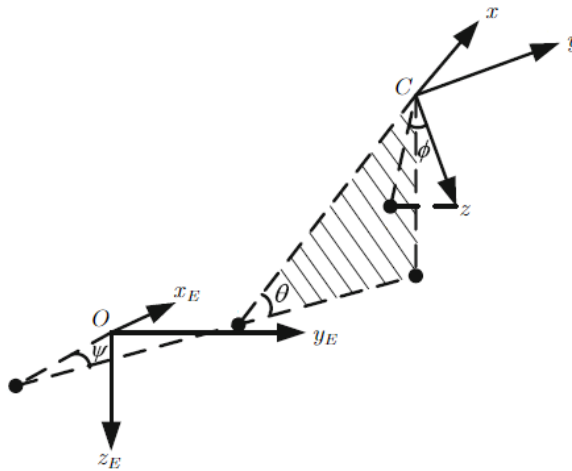


Figura 3 – Ângulos de Euler. Adaptado de [Quan \(2017\)](#).

Os movimentos angulares de uma aeronave são realizados por meio das superfícies de controle e na Fig. 3, para alterar do ângulo de rolagem  $\phi$ , o profundor age, os ailerons modificam o ângulo de arfagem  $\theta$ , e o leme muda o ângulo de guinada  $\psi$ .

Por meio dos ângulos de Euler, é possível construir duas matrizes de que transformam as velocidades linear e angular da aeronave de  $F_E$  para  $F_B$ . De acordo com a Fig.



2, seja  $\mathbf{V}_B = [u \ v \ w]^T$  e  $\boldsymbol{\omega}_B = [p \ q \ r]^T$  o vetor velocidade angular da aeronave, a relação entre esses vetores em  $F_B$  e  $F_E$  é dada pelas Eqs. 2.3 e 2.4 (ETKIN; REID, 1996).

$$\mathbf{V}_E = \mathbf{L}_{EB} \mathbf{V}_B \quad (2.3)$$

$$\boldsymbol{\omega}_E = \mathbf{T}_{EB} \boldsymbol{\omega}_B \quad (2.4)$$

Onde o subscrito  $B$  simboliza que o vetor é representado em  $F_B$ ,  $\mathbf{V}_E = [\dot{x}_E \ \dot{y}_E \ \dot{z}_E]^T$  e  $\boldsymbol{\omega}_E = [\dot{\phi} \ \dot{\theta} \ \dot{\psi}]^T$ .  $\mathbf{L}_{EB}$  é a matriz de rotação de  $F_E$  para  $F_B$ ,  $\mathbf{T}_{EB}$  é a matriz que representa a relação entre as velocidades angulares em  $F_E$  e  $F_B$ , dadas pelas Eqs. 2.5 e 2.6 (ETKIN; REID, 1996).

$$\mathbf{L}_{EB} = \begin{bmatrix} \cos \theta \cos \psi & \sin \phi \sin \theta \cos \psi - \cos \phi \sin \psi & \cos \phi \sin \theta \cos \psi + \sin \phi \sin \psi \\ \cos \theta \sin \psi & \sin \phi \sin \theta \sin \psi + \cos \phi \cos \psi & \cos \phi \sin \theta \sin \psi - \sin \phi \cos \psi \\ -\sin \theta & \sin \phi \cos \theta & \cos \phi \cos \theta \end{bmatrix} \quad (2.5)$$

$$\mathbf{T}_{EB} = \begin{bmatrix} 1 & \sin \phi \tan \theta & \cos \phi \tan \theta \\ 0 & \cos \phi & -\sin \phi \\ 0 & \sin \phi \sec \theta & \cos \phi \sec \theta \end{bmatrix} \quad (2.6)$$

Com as seguintes limitações:

$$-\pi \leq \phi < \pi \quad -\frac{\pi}{2} \leq \theta \leq \frac{\pi}{2} \quad -\pi \leq \psi < \pi$$

Aplicando a matriz de rotação da Eq. 2.5 nas Eq. 2.1 e 2.2 e considerando que não há variação de massa em relação ao tempo, tem-se as equações do movimento representadas em  $F_B$  pelas Eqs. 2.7 e 2.8 (ETKIN; REID, 1996).

$$\mathbf{f}_B = m(\dot{\mathbf{V}}_B + \boldsymbol{\omega}_B \times \mathbf{V}_B) \quad (2.7)$$

$$\mathbf{G}_B = \dot{\mathbf{h}}_B + \boldsymbol{\omega}_B \times \mathbf{h}_B \quad (2.8)$$

Em que  $\mathbf{f}_B = m\mathbf{g}_B + [X \ Y \ Z]^T$  ( $\mathbf{g}_B = \mathbf{L}_{BE}\mathbf{g}_E$ ,  $\mathbf{g}_E = [0 \ 0 \ g]^T$  sendo  $g$ , o módulo da aceleração da gravidade) e  $\mathbf{G}_B = [\bar{L} \ M \ N]^T$ . Além disso, o momento angular  $\mathbf{h}_B = \mathbf{I}_B\boldsymbol{\omega}_B$ , onde  $\mathbf{I}_B$  é a matriz de inércia da aeronave dada pela Eq. 2.9.

$$\mathbf{I}_B = \begin{bmatrix} I_x & -I_{xy} & -I_{xz} \\ -I_{yx} & I_y & -I_{yz} \\ -I_{zx} & -I_{zy} & I_z \end{bmatrix} \quad (2.9)$$

Segundo Stevens e Lewis (1992), as forças e os momentos que estão presentes no movimento de uma aeronave são as de sustentação, peso, arrasto e tração e compõem as

forças e os momentos resultantes. A força de sustentação é produzida majoritariamente pelas asas e é responsável por manter a aeronave no ar e fazer com que seja manobrável. A força peso é devido a atração gravitacional gerada pela Terra. A força de arrasto age de forma oposta ao movimento, devido a resistência do ar e por fim a força de tração, gerada pelos motores, propulsiona a aeronave.

Essas forças dependem dos ângulos de inclinação da aeronave em relação ao sistema de referência aerodinâmico  $F_A$  (de origem  $C$ ), os ditos ângulo de ataque  $\alpha$  e ângulo de derrapagem  $\beta$  (STEVENS; LEWIS, 1992), mostrados na Fig. 4.

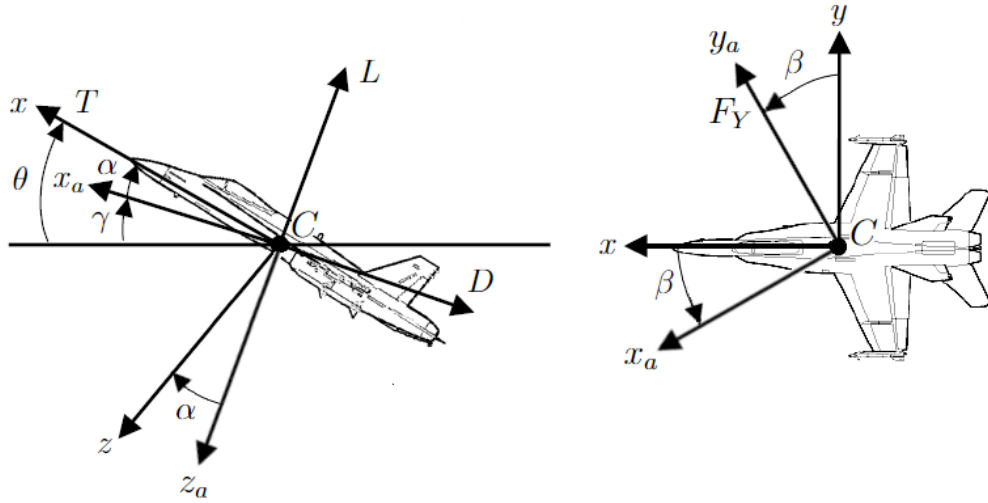


Figura 4 –  $F_B$ ,  $F_A$ ,  $\alpha$  e  $\beta$ . Adaptado de Crassidis e Junkins (2012).

De acordo com a Fig. 4,  $\theta = \alpha + \gamma$  sendo  $\gamma$  o ângulo de subida e conforme afirma Etkin e Reid (1996), os ângulos de ataque e derrapagem podem ser calculados pelas Eqs. 2.10 e 2.11, onde  $V$  é o módulo de  $\mathbf{V}_B$  ( $V = \sqrt{u^2 + v^2 + w^2}$ ):

$$\alpha = \arctan\left(\frac{w}{u}\right) \quad (2.10)$$

$$\beta = \arcsin\left(\frac{v}{V}\right) \quad (2.11)$$

Com esses ângulos, é possível obter as forças aerodinâmicas resultantes  $X$ ,  $Y$  e  $Z$  decompondo as forças aerodinâmicas (definidas em  $F_A$ ) em  $F_B$ . As forças aerodinâmicas são as de arrasto  $D$ , lateral  $F_Y$  e de sustentação  $L$ , nos sentidos,  $-x_a$ ,  $y_a$  e  $-z_a$  da Fig. 4 respectivamente. Como a tração do motor  $T$  já está em  $F_B$  no sentido  $x$ , ela não precisa ser decomposta. Dessa maneira, tem-se as Eqs. 2.12 (PAGLIONE; ZANARDI, 1990).

$$X = T - D \cos \alpha \cos \beta - F_Y \cos \alpha \sin \beta + L \sin \alpha \quad (2.12a)$$

$$Y = -D \sin \beta + F_Y \cos \beta \quad (2.12b)$$

$$Z = -D \sin \alpha \cos \beta - F_Y \sin \alpha \sin \beta - L \cos \alpha \quad (2.12c)$$

$D$ ,  $F_Y$  e  $L$  são calculados pelas Eqs. 2.13.

$$D = \frac{1}{2}\rho SV^2 C_D \quad (2.13a)$$

$$F_Y = \frac{1}{2}\rho SV^2 C_Y \quad (2.13b)$$

$$L = \frac{1}{2}\rho SV^2 C_L \quad (2.13c)$$

Onde  $\rho$  é a densidade do ar,  $S$  é a área da asa e  $C_D$ ,  $C_Y$  e  $C_L$  são os coeficientes de força de arrasto, lateral e de sustentação, respectivamente. Em diferentes aplicações, é possível considerar diversas modelagens, levando em conta fatores como temperatura, número de Mach e outras variáveis relevantes para cada situação.

Paglione e Zanardi (1990) considera os efeitos de  $\alpha$ ,  $\beta$ ,  $q$ , das deflexões angulares do leme  $\delta_r$ , dos ailerons  $\delta_a$  e do profundor  $\delta_e$ . Sendo  $\kappa$  uma constante da função parabólica de  $C_D$  e  $\bar{c}$  a corda média aerodinâmica da asa, os coeficientes de força são escritos de acordo com as Eqs. 2.14.

$$C_D = C_D(C_L) = C_{D_0} + \kappa C_L^2 \quad (2.14a)$$

$$C_Y = C_Y(\beta, \delta_r, \delta_a) = C_{Y_\beta}\beta + C_{Y_{\delta_r}}\delta_r + C_{Y_{\delta_a}}\delta_a \quad (2.14b)$$

$$C_L = C_L(\alpha, \delta_e, q) = C_{L_0} + C_{L_\alpha}\alpha + C_{L_{\delta_e}}\delta_e + C_{L_q}\frac{\bar{c}q}{2V} \quad (2.14c)$$

Em que:

- $C_{D_0}$ : coeficiente de força de arrasto para  $C_L = 0$ ;
- $C_{Y_\beta}$ : derivada parcial aerodinâmica adimensional de força lateral devido à derrapagem;
- $C_{Y_{\delta_r}}$ : derivada parcial aerodinâmica adimensional de força lateral devido à deflexão angular do leme;
- $C_{Y_{\delta_a}}$ : derivada parcial aerodinâmica adimensional de força lateral devido à deflexão angular dos ailerons;
- $C_{L_0}$ : coeficiente de força de sustentação para  $\alpha = 0$ ;
- $C_{L_\alpha}$ : derivada parcial aerodinâmica adimensional de força de sustentação devido ao ângulo de ataque;
- $C_{L_{\delta_e}}$ : derivada parcial aerodinâmica adimensional de força de sustentação devido à deflexão angular do profundor;

- $C_{L_q}$ : derivada parcial aerodinâmica adimensional de de força sustentação devido à velocidade de arfagem.

De forma semelhante, pode-se obter os momentos aerodinâmicos resultantes  $\bar{L}$ ,  $M$  e  $N$  pelas Eq. 2.15 onde  $b$  é a envergadura da asa.

$$\bar{L} = \frac{1}{2}\rho S b V^2 C_l \quad (2.15a)$$

$$M = \frac{1}{2}\rho S \bar{c} V^2 C_m \quad (2.15b)$$

$$N = \frac{1}{2}\rho S b V^2 C_n \quad (2.15c)$$

$C_l$ ,  $C_m$  e  $C_n$  são os coeficientes de momento de rolagem, arfagem e guinada respectivamente. Eles dependem de  $\alpha$ ,  $\beta$ ,  $p$ ,  $q$ ,  $r$ ,  $\delta_r$ ,  $\delta_a$  e  $\delta_e$  e são encontrados pelas Eqs. 2.16 (PAGLIONE; ZANARDI, 1990).

$$C_l = C_l(\beta, \delta_r, \delta_a, p, r) = C_{l_\beta}\beta + C_{l_{\delta_r}}\delta_r + C_{l_{\delta_a}}\delta_a + C_{l_p}\frac{bp}{2V} + C_{l_r}\frac{br}{2V} \quad (2.16a)$$

$$C_m = C_m(\alpha, \delta_e, q) = C_{m_0} + C_{m_\alpha}\alpha + C_{m_{\delta_e}}\delta_e + C_{m_q}\frac{\bar{c}q}{2V} \quad (2.16b)$$

$$C_n = C_n(\beta, \delta_r, \delta_a, p, r) = C_{n_\beta}\beta + C_{n_{\delta_r}}\delta_r + C_{n_{\delta_a}}\delta_a + C_{n_p}\frac{bp}{2V} + C_{n_r}\frac{br}{2V} \quad (2.16c)$$

Em que:

- $C_{l_\beta}$ : derivada parcial aerodinâmica adimensional de momento de rolamento devido à derrapagem;
- $C_{l_{\delta_r}}$ : derivada parcial aerodinâmica adimensional de momento de rolamento devido à deflexão angular do leme;
- $C_{l_{\delta_a}}$ : derivada parcial aerodinâmica adimensional de momento de rolamento devido à deflexão angular dos ailerons;
- $C_{l_p}$ : derivada parcial aerodinâmica adimensional de momento de rolamento devido à velocidade de rolagem;
- $C_{l_r}$ : derivada parcial aerodinâmica adimensional de momento de rolamento devido à velocidade de guinada;
- $C_{m_0}$ : coeficiente de momento de arfagem para  $\alpha = 0$ ;
- $C_{m_\alpha}$ : derivada parcial aerodinâmica adimensional de momento de arfagem devido ao ângulo de ataque;

- $C_{m_{\delta_e}}$ : derivada parcial aerodinâmica adimensional de momento de arfagem devido à deflexão angular do profundor;
- $C_{m_q}$ : derivada parcial aerodinâmica adimensional de momento de arfagem devido à velocidade de guinada;
- $C_{n_{\beta}}$ : derivada parcial aerodinâmica adimensional de momento de guinada devido à derrapagem;
- $C_{n_{\delta_r}}$ : derivada parcial aerodinâmica adimensional de momento de guinada devido à deflexão angular do leme;
- $C_{n_{\delta_a}}$ : derivada parcial aerodinâmica adimensional de momento de guinada devido à deflexão angular dos ailerons;
- $C_{n_p}$ : derivada parcial aerodinâmica adimensional de momento de guinada devido à velocidade de rolagem;
- $C_{n_r}$ : derivada parcial aerodinâmica adimensional de momento de guinada devido à velocidade de guinada.

Por fim, organizando todas as equações, tem-se o modelo dinâmico completo da aeronave, que é separado em equações cinemáticas e dinâmicas. Colocando na forma matricial, pelas Eqs. 2.3, 2.4, 2.5 e 2.6 tem-se as equações cinemáticas dadas pelas Eqs. 2.17 e 2.18. Pelas Eqs. 2.7, 2.8 e considerando que a aeronave é massivamente simétrica em torno do plano  $xz$  (na Eq. 2.9  $I_{xy} = I_{yx} = I_{yz} = I_{zy} = 0$  e  $I_{zx} = I_{xz}$ ), tem-se as equações dinâmicas dadas pelas Eqs. 2.19 e 2.20. O subscrito  $-1$  no caso de matrizes representa a função inversa.

- Equações cinemáticas:

$$\begin{bmatrix} \dot{x}_E \\ \dot{y}_E \\ \dot{z}_E \end{bmatrix} = \begin{bmatrix} \cos \theta \cos \psi & \sin \phi \sin \theta \cos \psi - \cos \phi \sin \psi & \cos \phi \sin \theta \cos \psi + \sin \phi \sin \psi \\ \cos \theta \sin \psi & \sin \phi \sin \theta \sin \psi + \cos \phi \cos \psi & \cos \phi \sin \theta \sin \psi - \sin \phi \cos \psi \\ -\sin \theta & \sin \phi \cos \theta & \cos \phi \cos \theta \end{bmatrix} \begin{bmatrix} u \\ v \\ w \end{bmatrix} \quad (2.17)$$

$$\begin{bmatrix} \dot{\phi} \\ \dot{\theta} \\ \dot{\psi} \end{bmatrix} = \begin{bmatrix} 1 & \sin \phi \tan \theta & \cos \phi \tan \theta \\ 0 & \cos \phi & -\sin \phi \\ 0 & \sin \phi \sec \theta & \cos \phi \sec \theta \end{bmatrix} \begin{bmatrix} p \\ q \\ r \end{bmatrix} \quad (2.18)$$

- Equações dinâmicas:

$$\begin{bmatrix} \dot{u} \\ \dot{v} \\ \dot{w} \end{bmatrix} = \frac{1}{m} \begin{bmatrix} X - mg \sin \theta \\ Y + mg \cos \theta \sin \phi \\ Z + mg \cos \theta \cos \phi \end{bmatrix} + \begin{bmatrix} rv - qw \\ pw - ru \\ qu - pv \end{bmatrix} \quad (2.19)$$

$$\begin{bmatrix} \dot{p} \\ \dot{q} \\ \dot{r} \end{bmatrix} = \begin{bmatrix} I_x & 0 & -I_{xz} \\ 0 & I_y & 0 \\ -I_{xz} & 0 & I_z \end{bmatrix}^{-1} \begin{bmatrix} \bar{L} + (I_y - I_z)qr + I_{xz}pq \\ M + (I_z - I_x)pr + I_{xz}(r^2 - p^2) \\ N + (I_x - I_y)pq - I_{xz}qr \end{bmatrix} \quad (2.20)$$

Pelas Eqs. 2.12 se encontram  $X$ ,  $Y$  e  $Z$ , que dependem de  $\alpha$ ,  $\beta$ ,  $D$ ,  $F_Y$  e  $L$ , calculadas pelas Eqs. 2.10, 2.11 e 2.13 que por sua vez, dependem de  $C_D$ ,  $C_Y$  e  $C_L$  calculados pelas Eqs. 2.14. Em resumo,  $X$ ,  $Y$  e  $Z$  dependem das variáveis  $T$ ,  $\alpha$ ,  $\beta$ ,  $\delta_r$ ,  $\delta_a$ ,  $\delta_e$  e  $q$ .

Pelas Eqs. 2.15 se encontram  $\bar{L}$ ,  $M$  e  $N$  que dependem de  $C_l$ ,  $C_m$  e  $C_n$  encontrados pelas Eqs. 2.16. Em resumo,  $\bar{L}$ ,  $M$  e  $N$  dependem das variáveis  $\alpha$ ,  $\beta$ ,  $\delta_r$ ,  $\delta_a$ ,  $\delta_e$ ,  $p$ ,  $q$  e  $r$ .

### 2.1.1 Representação em espaço de estados: modelo dinâmico e de medidas

Na engenharia, a representação da dinâmica de um sistema pode ser feita em espaço de estados, sendo muito útil e compacta para sistemas de múltiplas entradas e múltiplas saídas. Ele é um modelo matemático que descreve um sistema físico através de um conjunto de equações diferenciais (tempo contínuo) ou de diferenças (tempo discreto) de primeira ordem. (NISE, 2012)

Essas equações relacionam as variáveis de entrada\controle, de saída\medida e a de estado do sistema, representadas respectivamente por  $\mathbf{u} = [u_1 \ u_2 \ \dots \ u_s]^T$ ,  $\tilde{\mathbf{y}} = [\tilde{y}_1 \ \tilde{y}_2 \ \dots \ \tilde{y}_m]^T$  e  $\mathbf{x} = [x_1 \ x_2 \ \dots \ x_n]^T$ . Segundo Nise (2012), as variáveis de estado evoluem ao longo do tempo, dependendo não apenas dos valores atuais, mas também das entradas externas, enquanto que as variáveis de saída são funções somente das variáveis de estado.

Essas equações podem ser vistas a seguir conforme Stevens e Lewis (1992) pelas Eqs. 2.21, onde as funções vetoriais não lineares  $\mathbf{f}(\cdot) = [f_1(\cdot) \ f_2(\cdot) \ \dots \ f_n(\cdot)]^T$  e  $\mathbf{h}(\cdot) = [h_1(\cdot) \ h_2(\cdot) \ \dots \ h_m(\cdot)]^T$  representam a dinâmica do sistema no tempo contínuo e pelas Eqs. 2.22 no tempo discreto, com  $\mathbf{f}_k(\cdot) = [f_{k1}(\cdot) \ f_{k2}(\cdot) \ \dots \ f_{kn}(\cdot)]^T$  e  $\mathbf{h}_k(\cdot) = [h_{k1}(\cdot) \ h_{k2}(\cdot) \ \dots \ h_{km}(\cdot)]^T$ .

$$\dot{\mathbf{x}} = \mathbf{f}(\mathbf{x}, \mathbf{u}) \quad (2.21a)$$

$$\tilde{\mathbf{y}} = \mathbf{h}(\mathbf{x}) \quad (2.21b)$$

$$\mathbf{x}_k = \mathbf{f}_{k-1}(\mathbf{x}_{k-1}, \mathbf{u}_{k-1}) \quad (2.22a)$$

$$\tilde{\mathbf{y}}_k = \mathbf{h}_k(\mathbf{x}_k) \quad (2.22b)$$

As equações do modelo dinâmico da aeronave mostradas anteriormente podem ser representadas em espaço de estados. Devido a sua não linearidade, um procedimento

comum citado por Nise (2012), Crassidis e Junkins (2012) e Stevens e Lewis (1992) é a linearização, que trata de aproximar uma equação diferencial não linear por uma equação diferencial linear, válida somente para pequenas variações em torno de um ponto de equilíbrio.

Uma maneira de fazer essa linearização é utilizando a expansão em série de Taylor (BOYCE; DIPRIMA, 2010). Nessa expansão, uma função pode ser aproximada por uma soma de polinômio calculados a partir da derivada dessa função em torno de um ponto desejado. No caso de funções vetoriais utiliza-se a matriz jacobina.

Dessa maneira, as Eqs. 2.21 e 2.22 podem ser escritas na sua forma linear pelas Eqs. 2.23 e Eqs. 2.24.

$$\dot{\mathbf{x}} = \mathbf{A}\mathbf{x} + \mathbf{B}\mathbf{u} \quad (2.23a)$$

$$\tilde{\mathbf{y}} = \mathbf{C}\mathbf{x} \quad (2.23b)$$

$$\mathbf{x}_k = \mathbf{A}_{k-1}\mathbf{x}_{k-1} + \mathbf{B}_{k-1}\mathbf{u}_{k-1} \quad (2.24a)$$

$$\tilde{\mathbf{y}}_k = \mathbf{C}_k\mathbf{x}_k \quad (2.24b)$$

Em que  $\mathbf{A}$  ( $n \times n$ ) é a matriz jacobiana de estado do sistema,  $\mathbf{B}$  ( $n \times s$ ), a matriz jacobiana de entrada do sistema e  $\mathbf{C}$  ( $m \times n$ ), a matriz jacobiana de saída do sistema, que podem ser calculadas, respectivamente, pelas Eqs. 2.25, 2.26 e 2.27:

$$\mathbf{A} = \frac{\partial \mathbf{f}}{\partial \mathbf{x}} = \begin{bmatrix} \frac{\partial f_1}{\partial x_1} & \dots & \dots & \frac{\partial f_1}{\partial x_n} \\ \vdots & \ddots & & \vdots \\ \vdots & & \ddots & \vdots \\ \frac{\partial f_n}{\partial x_1} & \dots & \dots & \frac{\partial f_n}{\partial x_n} \end{bmatrix} \quad (2.25)$$

$$\mathbf{B} = \frac{\partial \mathbf{f}}{\partial \mathbf{u}} = \begin{bmatrix} \frac{\partial f_1}{\partial u_1} & \dots & \dots & \frac{\partial f_1}{\partial u_s} \\ \vdots & \ddots & & \vdots \\ \vdots & & \ddots & \vdots \\ \frac{\partial f_n}{\partial u_1} & \dots & \dots & \frac{\partial f_n}{\partial u_s} \end{bmatrix} \quad (2.26)$$

$$\mathbf{C} = \frac{\partial \mathbf{h}}{\partial \mathbf{x}} = \begin{bmatrix} \frac{\partial h_1}{\partial x_1} & \dots & \dots & \frac{\partial h_1}{\partial x_n} \\ \vdots & \ddots & & \vdots \\ \vdots & & \ddots & \vdots \\ \frac{\partial h_m}{\partial x_1} & \dots & \dots & \frac{\partial h_m}{\partial x_n} \end{bmatrix} \quad (2.27)$$

Dessa forma, para o modelo dinâmico da aeronave, o vetor de estado é composto por 12 parâmetros de movimento:  $x, y, z, \phi, \theta, \psi, u, v, w, p, q, r$  e 22 parâmetros aerodinâmicos:  $C_{D_0}, C_{Y_\beta}, C_{Y_{\delta_r}}, C_{Y_{\delta_a}}, C_{L_0}, C_{L_\alpha}, C_{L_{\delta_e}}, C_{L_q}, C_{l_\beta}, C_{l_{\delta_r}}, C_{l_{\delta_a}}, C_{l_p}, C_{l_r}, C_{m_0}, C_{m_\alpha}, C_{m_{\delta_e}}, C_{m_q}, C_{n_\beta}, C_{n_{\delta_r}}, C_{n_{\delta_a}}, C_{n_p}$ , e  $C_{n_r}$ , totalizando  $n = 34$  estados como pode ser visto na Eq. 2.28.

Para o vetor de entrada, 4 parâmetros ( $s = 4$ ) de controle afetam o estado do sistema:  $T, \delta_r, \delta_a$  e  $\delta_e$ , dado pela Eq. 2.30 e por fim o vetor de saída/medida possui 12 parâmetros ( $m = 12$ ) que podem ser medidos por sensores:  $\alpha, \beta, V, p, q, q, r, x, y, z, \phi, \theta, \psi$  e encontrado pela Eq. 2.30.

$$\mathbf{x} = \begin{bmatrix} x_E & y_E & z_E & \phi & \theta & \psi & u & v & w & p & q & r \\ C_{D_0} & C_{Y_\beta} & C_{Y_{\delta_r}} & C_{Y_{\delta_a}} & C_{L_0} & C_{L_\alpha} & C_{L_{\delta_e}} & C_{L_q} & C_{l_\beta} & C_{l_{\delta_r}} & C_{l_{\delta_a}} & C_{l_p} \\ C_{l_r} & C_{m_0} & C_{m_\alpha} & C_{m_{\delta_e}} & C_{m_q} & C_{n_\beta} & C_{n_{\delta_r}} & C_{n_{\delta_a}} & C_{n_p} & C_{n_r} \end{bmatrix}^T \quad (2.28)$$

$$\mathbf{u} = [T \quad \delta_r \quad \delta_a \quad \delta_e]^T \quad (2.29)$$

$$\tilde{\mathbf{y}} = [\alpha \quad \beta \quad V \quad \phi \quad \theta \quad \psi \quad p \quad q \quad r \quad x_E \quad y_E \quad z_E]^T \quad (2.30)$$



### 3 Conceitos de probabilidade

Durante a realização de um experimento, é crucial extrair dados relevantes para chegar a conclusões significativas. Diversas ferramentas são empregadas nesse processo, e de acordo com Devore (2006), a probabilidade é uma delas, concentrando-se no estudo da aleatoriedade e da incerteza.

Para que esse estudo seja feito e se possa lançar de artifícios matemáticos, algumas definições devem ser feitas. Conforme Assis et al. (2021) e Devore (2006):

- População: consiste em um conjunto de objetos bem definido, do qual se tem interesse estudar;
- Amostra: subconjunto da população que contém características dessa população;
- Variável aleatória (VA): uma função que mapeia um conjunto de resultados de um experimento (domínio) para um conjunto numérico (contradomínio), podendo ser contínua ou discreta e escalar ou vetorial.

O valor médio de uma VA retrata a quantidade média que se espera que a VA assuma durante várias repetições do experimento, o também chamado valor esperado. Para calculá-lo é preciso saber quais os valores possíveis que a VA pode ter e como sua probabilidade é distribuída.

Dito isso, seja  $\mathbf{X}$  uma VA discreta e vetorial de tamanho  $N \times 1$ , com  $X_1, X_2, \dots, X_N$  VA escalares, onde cada  $X_N$  tem  $m_i$  valores possíveis  $x_i(j_i)$ , com  $j_i = 1, 2, \dots, m_i$ . Dessa forma, tem-se a definição do valor esperado de  $\mathbf{X}$ , denotado por  $E[\mathbf{X}]$  e é calculado pela Eq. 3.1, (CRASSIDIS; JUNKINS, 2012) (Simon (2006) também retrata o valor esperado como a média, representada por  $\bar{\mathbf{X}}$ ), onde  $p(X_1, X_2, \dots, X_N)$  é a função de densidade de probabilidade:

$$E[\mathbf{X}] = \bar{\mathbf{X}} = \sum_{j_1=1}^{m_1} \dots \sum_{j_N=1}^{m_N} \begin{bmatrix} x_1(j_1) \\ \vdots \\ x_N(j_N) \end{bmatrix} p(X_1, X_2, \dots, X_N) \quad (3.1)$$

O valor esperado pode ter algumas interpretações e segundo DeGroot e Schervish (2012), é uma medida que representa o "centro de massa" da função de densidade de probabilidade, ou seja, é onde os valores da VA se equilibram. Em muitas vezes na probabilidade e estatística pode ser usado como uma referência ou um ponto de partida para fazer análises e previsões.

A definição de valor esperado pode ser estendida para funções de VA. Dessa forma, a Eq. 3.1 pode ser generalizada para a Eq. 3.2, onde  $g(\mathbf{X})$  é uma função da VA  $\mathbf{X}$ .

$$E[g(\mathbf{X})] = \sum_{j_1=1}^{m_1} \dots \sum_{j_N=1}^{m_N} g \left( \begin{bmatrix} x_1(j_1) \\ \vdots \\ x_N(j_N) \end{bmatrix} \right) p(X_1, X_2, \dots, X_N) \quad (3.2)$$

Quando o experimento trata de mais de uma VA, é necessário saber se há relação entre elas, como elas variam juntas e se são independentes. Para isso, a covariância trás um valor numérico para medir essa relação. Seja  $\mathbf{Y}$  também uma VA discreta e vetorial de tamanho  $M \times 1$  com média  $\bar{\mathbf{Y}}$ , a covariância entre  $\mathbf{X}$  e  $\mathbf{Y}$  pode ser encontrada a partir da Eq. 3.2, com  $g(\mathbf{X}, \mathbf{Y}) = (\mathbf{X} - \bar{\mathbf{X}})(\mathbf{Y} - \bar{\mathbf{Y}})^T$  e é definida de pela Eq. 3.3 (SIMON, 2006).

$$\begin{aligned} C_{\mathbf{XY}} &= E[(\mathbf{X} - \bar{\mathbf{X}})(\mathbf{Y} - \bar{\mathbf{Y}})^T] \\ &= E[\mathbf{XY}^T] - \bar{\mathbf{X}}\bar{\mathbf{Y}}^T \end{aligned} \quad (3.3)$$

Quando  $\mathbf{Y} = \mathbf{X}$ , tem-se a autocovariância de  $\mathbf{X}$  mostrada pela Eq. 3.4 abaixo.

$$\begin{aligned} C_{\mathbf{X}} &= E[(\mathbf{X} - \bar{\mathbf{X}})(\mathbf{X} - \bar{\mathbf{X}})^T] \\ &= \begin{bmatrix} E[(X_1 - \bar{X}_1)^2] & \dots & E[(X_1 - \bar{X}_1)(X_N - \bar{X}_N)] \\ \vdots & \ddots & \vdots \\ E[(X_N - \bar{X}_N)(X_1 - \bar{X}_1)] & \dots & E[(X_N - \bar{X}_N)^2] \end{bmatrix} \\ &= \begin{bmatrix} \sigma_1^2 & \dots & \sigma_{1N} \\ \vdots & \ddots & \vdots \\ \sigma_{N1} & \dots & \sigma_N^2 \end{bmatrix} \end{aligned} \quad (3.4)$$

Segundo Crassidis e Junkins (2012) as Eqs. 3.5 calculam a variância de  $X_i$  e a covariância de  $X_i$  e  $X_j$ , respectivamente.

$$\sigma_i^2 = E[(X_i - \bar{X}_i)^2] \quad (3.5a)$$

$$\sigma_{ij}^2 = E[(X_i - \bar{X}_i)(X_j - \bar{X}_j)] \quad (3.5b)$$

Através da variância  $\sigma^2$  é possível calcular o desvio padrão  $\sigma$  fazendo  $\sigma = \sqrt{\sigma^2}$ . Caso  $X_i$  e  $X_j$  sejam independentes entre si, eles não possuem relação, logo  $\sigma_{ij}^2 = E[(X_i - \bar{X}_i)(X_j - \bar{X}_j)] = 0$  e a Eq 3.4 se reduz a para a Eq. 3.6:

$$C_{\mathbf{X}} = \begin{bmatrix} \sigma_1^2 & \cdots & 0 \\ \vdots & \ddots & \vdots \\ 0 & \cdots & \sigma_N^2 \end{bmatrix} \quad (3.6)$$

Para facilitar a notação,  $X \sim (\bar{X}, \sigma^2)$  será usado para representar que a VA escalar  $X$  possui média  $\bar{X}$  e variância  $\sigma^2$ . Quando uma VA é dita guassiana ou normal, a notação se torna  $X \sim N(\bar{X}, \sigma^2)$  e a função de densidade de probabilidade é dada pela Eq. 3.7.

$$p(x) = \frac{1}{\sigma\sqrt{2\pi}} e^{-\frac{(x-\bar{X})^2}{2\sigma^2}} \quad (3.7)$$

A distribuição guassiana apresenta formato de sino simétrico em torno de  $\bar{X}$  como pode ser visto pela Fig. 5. A média  $\bar{X}$  representa o centro da distribuição e sua mudança é responsável por uma translação em relação ao eixo horizontal. Já  $\sigma$ , representa a distância entre os valores e a média, ou seja, simboliza a dispersão das amostras em relação a média. (DEVORE, 2006)

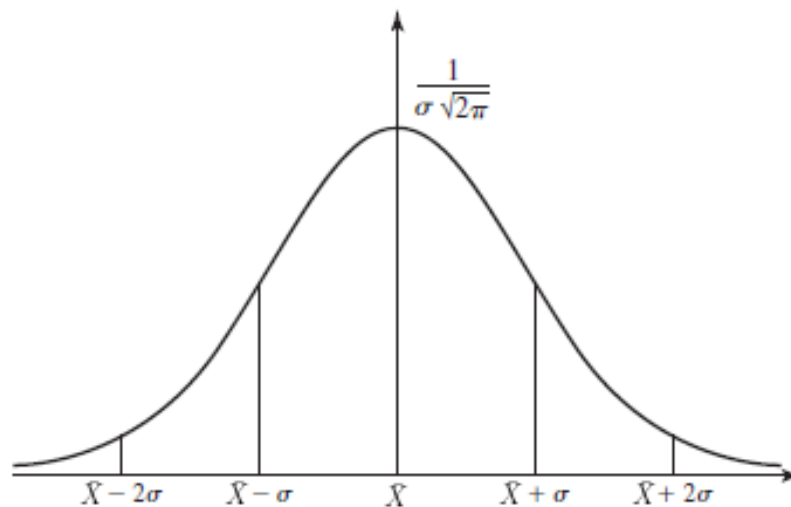


Figura 5 – Função de densidade de probabilidade gaussiana. Adaptado de DeGroot e Schervish (2012).

## 4 Estimação de parâmetros

No contexto da probabilidade e estatística, a inferência tem como objetivo tirar conclusões de uma população a partir de amostras. Dessa forma, com base nestas amostras, a inferência estatística propõe fazer extrapolações, expressas em probabilidade, sobre um conjunto de dados. Essa probabilidade demonstra quanta confiança pode ser depositada sobre essas conclusões. (MCCABE; A.; S., 2009)

Pela Fig. 6 pode-se visualizar o processo da inferência estatística, que funciona como uma função e leva um certo conjunto amostras para o conjunto população, onde são calculados parâmetros populacionais de interesse, como por exemplo a média, desvio padrão etc.

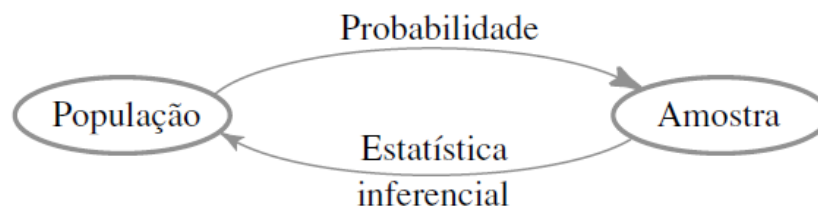


Figura 6 – Processo da inferência estatística. (DEVORE, 2006)

A estimação, assim como o teste de hipótese, é uma abordagem da inferência estatística que se utiliza dos dados amostrais para estimar os parâmetros populacionais desconhecidos, podendo ser determinísticos ou aleatórios, variantes ou invariantes no tempo e lineares ou não lineares.

De acordo com Crassidis e Junkins (2012) e seguindo sua notação, três grandezas são de interesse quando se fala em estimação de parâmetros: o valor verdadeiro ( $x$ ), o valor medido ( $\tilde{x}$ ) e o valor estimado ( $\hat{x}$ ). O valor verdadeiro representa o valor real a ser estimado e na prática é desconhecido, pois em um experimento, o valor real sempre será afetado de alguma forma. (AGUIRRE, 2013) O valor medido é justamente o valor a ser determinado pelo instrumento/processo de medição. Por fim, o valor estimado é determinado pelo processo de estimação e faz uso do modelo do sistema e dos valores medidos. O grande objetivo da estimação de parâmetros é calcular o valor estimado, com base nas informações do sistema e no valor medido, para que se aproxime ao máximo do valor verdadeiro.

Para que esses parâmetros sejam estimados, Therrien (1992) define um estimador como uma combinação de amostras que estima algum parâmetro de interesse. De maneira matemática, pode-se escrever o estimador  $\hat{\theta}$  do vetor de estimativas  $\theta = [\theta_1 \ \theta_2 \ \dots \ \theta_K]^T$

como sendo uma função  $\mathbf{s}$  de um vetor de amostras  $\tilde{\mathbf{x}}_\eta = [\tilde{x}_1 \ \tilde{x}_2 \ \dots \ \tilde{x}_\eta]^T$ . Desse modo, tem-se a Eq. 4.1.

$$\hat{\boldsymbol{\theta}} = \mathbf{s}[\tilde{\mathbf{x}}_\eta] \quad (4.1)$$

E para parâmetros específicos, o valor numérico de  $\hat{\theta}_i$  é dito como a estimativa do parâmetro  $\theta_i$ . Logo pela Eq. 4.2:

$$\hat{\theta}_i = s_i[\tilde{\mathbf{x}}_\eta], \quad i = 1, 2, \dots, K \quad (4.2)$$

Como dito anteriormente, a média e o desvio padrão são geralmente parâmetros de interesse no momento de análise de dados. Seus estimadores são da forma mostrada na Eqs. 4.2 e são calculados de acordo com as Eqs. 3.1 e 3.5, considerando um VA escalar e uma função de densidade de probabilidade igualmente distribuída para todos os valores possíveis. Além disso, como se trata de um estimador,  $\bar{\mathbf{X}} \rightarrow \hat{\mu}$ ,  $\sigma \rightarrow \hat{\sigma}$  e  $x \rightarrow \tilde{x}$  e tem-se as Eqs. 4.3 e 4.4.

$$\hat{\mu} = \frac{1}{\eta} \sum_{j=1}^{\eta} \tilde{x}_j \quad (4.3)$$

$$\hat{\sigma}^2 = \frac{1}{\eta} \sum_{j=1}^{\eta} [\tilde{x}_j - \hat{\mu}]^2 \quad (4.4)$$

De acordo com [Crassidis e Junkins \(2012\)](#), os métodos de estimação podem ser separados em dois grandes grupos, a estimação em lote (tradução livre de *batch estimation*) e a estimação sequencial. A estimação em lote pressupõe que todas as amostras estão disponíveis e a estimação sequencial recebe as amostras de forma sucessiva, conforme as amostras chegam a estimação é feita.

A interferência de entradas indesejadas deixa o sinal ruidoso e inviável para ser enviado aos demais sistema, ficando evidente a necessidade do uso de filtros. ([AGUIRRE, 2013](#)) Nesse ponto, os métodos de estimação sequencial podem ser usados para prever estados de um sistema dinâmico ao mesmo tempo que agem como um filtro.

## 4.1 Filtro de Kalman no tempo discreto

Além de ser um estimador sequencial, o filtro de Kalman também é recursivo, ou seja, ele utiliza as medidas  $\tilde{\mathbf{y}}$  e o modelo do sistema dinâmico para calcular o valor estimado  $\mathbf{x}$  e atualiza-lo conforme novas medidas sejam adquiridas. Para isso, ele propaga a média e covariância dos estados por meio do valor esperado (como visto no capítulo 3).

Dessa forma, a média do estado é a estimativa do estado e a covariância do estado é a covariância da do erro da estimativa. Em sua modelagem ainda é considerado processos ruidosos no modelo e na medição. (SIMON, 2006)

Semelhante às Eqs. 2.24, pode-se obter as Eqs. 4.5 do modelo dinâmico em tempo discreto, acrescentando-se os ruídos. Logo, com  $k = 1, 2, \dots$ ,  $\mathbf{A} \rightarrow \mathbf{F}$ ,  $\mathbf{B} \rightarrow \mathbf{G}$  e  $\mathbf{C} \rightarrow \mathbf{H}$ :

$$\mathbf{x}_k = \mathbf{F}_{k-1}\mathbf{x}_{k-1} + \mathbf{G}_{k-1}\mathbf{u}_{k-1} + \mathbf{w}_{k-1} \quad (4.5a)$$

$$\tilde{\mathbf{y}}_k = \mathbf{H}_k\mathbf{x}_k + \mathbf{v}_k \quad (4.5b)$$

$\mathbf{w}_k$  e  $\mathbf{v}_k$  são ruídos de modelo e de medição, respectivamente. Simon (2006) e Crassidis e Junkins (2012) consideram esses ruídos como sendo gaussianos brancos com matrizes de variância  $\mathbf{Q}_k$  e  $\mathbf{R}_k$  (assim como na Eq. 3.6). Além disso, para todo  $k$ ,  $\mathbf{w}_k$  e  $\mathbf{v}_k$  são não correlacionados entre si para frente ou para trás no tempo. Todas essas relações podem ser vistas nas Eqs. 4.6, 4.6 e 4.8 a seguir.

$$\begin{aligned} \mathbf{w}_k &\sim N(0, \mathbf{Q}_k) \\ E[\mathbf{w}_k\mathbf{w}_j^T] &= \begin{cases} 0 & k \neq j \\ \mathbf{Q}_k & k = j \end{cases} \end{aligned} \quad (4.6)$$

$$\begin{aligned} \mathbf{v}_k &\sim N(0, \mathbf{R}_k) \\ E[\mathbf{v}_k\mathbf{v}_j^T] &= \begin{cases} 0 & k \neq j \\ \mathbf{R}_k & k = j \end{cases} \end{aligned} \quad (4.7)$$

$$E[\mathbf{v}_k\mathbf{w}_k^T] = 0 \quad (4.8)$$

Conforme Simon (2006), caso todas as medidas de  $\tilde{\mathbf{y}}$  estejam á disposição até e incluindo o tempo  $k$ , é definido a chamada estimativa a *posteriori*  $\hat{\mathbf{x}}_k^+$ . Já, caso todas as medidas estejam disponíveis até mas não incluindo o tempo  $k$ , a estimativa a *priori* é definida e denotada por  $\hat{\mathbf{x}}_k^-$ . Em outras palavras,  $\hat{\mathbf{x}}_k^+$  é a estimativa de  $\mathbf{x}_k$  depois da medida de  $\tilde{\mathbf{y}}_k$  ser computada, enquanto que  $\hat{\mathbf{x}}_k^-$  é a estimativa de  $\mathbf{x}_k$  antes da medida de  $\tilde{\mathbf{y}}_k$  ser processada. Por isso, a estimativa a *posteriori* é melhor que a estimativa a *priori*, pois mais informação é considerada no seu cálculo.

As estimativas a *priori* e a *posteriori* pode ser encontras de acordo com Simon (2006) e Crassidis e Junkins (2012) aplicando o valor esperado em  $\mathbf{x}_k$  e considerando as medidas  $\tilde{\mathbf{y}}$ . Dessa forma, tem-se a Eqs. 4.9a e 4.9b a seguir.

$$\hat{\mathbf{x}}_k^- = E[\mathbf{x}_k | \tilde{\mathbf{y}}_1, \tilde{\mathbf{y}}_2, \dots, \tilde{\mathbf{y}}_{k-1}] = \mathbf{F}_{k-1} \hat{\mathbf{x}}_{k-1}^+ + \mathbf{G}_{k-1} \mathbf{u}_{k-1} \quad (4.9a)$$

$$\hat{\mathbf{x}}_k^+ = E[\mathbf{x}_k | \tilde{\mathbf{y}}_1, \tilde{\mathbf{y}}_2, \dots, \tilde{\mathbf{y}}_k] = \hat{\mathbf{x}}_k^- + \mathbf{K}_k (\tilde{\mathbf{y}}_k - \mathbf{H}_k \hat{\mathbf{x}}_k^-) \quad (4.9b)$$

Em que  $E[\mathbf{x}_k | \tilde{\mathbf{y}}_1, \tilde{\mathbf{y}}_2, \dots, \tilde{\mathbf{y}}_k]$  é o valor esperado de  $\mathbf{x}_k$  condicionado às medidas até e incluindo o tempo  $k$  e  $E[\mathbf{x}_k | \tilde{\mathbf{y}}_1, \tilde{\mathbf{y}}_2, \dots, \tilde{\mathbf{y}}_{k-1}]$ , o valor esperado de  $\mathbf{x}_k$  condicionado às medidas até e não incluindo o tempo  $k$ . Como visto na Eq. 3.1, o valor esperado também é dito como a média e dessa forma as Eqs. 4.9 ditam como a média do estado  $\hat{\mathbf{x}}_k$  varia no tempo.

Para saber como a covariância muda no tempo, o valor esperado é aplicado ao erro da estimativa no tempo  $k$  ( $\mathbf{x}_k - \hat{\mathbf{x}}_k$ ), semelhante á Eq. 3.4, tanto para a estimativa a *posteriori* quanto para a *priori*. Simon (2006) e Crassidis e Junkins (2012) aplicam o valor esperado e obtêm as Eqs. 4.10a e 4.10b:

$$\mathbf{P}_k^- = E[(\mathbf{x}_k - \hat{\mathbf{x}}_k^-)(\mathbf{x}_k - \hat{\mathbf{x}}_k^-)^T] = \mathbf{F}_{k-1} \mathbf{P}_{k-1}^+ \mathbf{F}_{k-1}^T + \mathbf{Q}_{k-1} \quad (4.10a)$$

$$\mathbf{P}_k^+ = E[(\mathbf{x}_k - \hat{\mathbf{x}}_k^+)(\mathbf{x}_k - \hat{\mathbf{x}}_k^+)^T] = (\mathbf{I} - \mathbf{K}_k \mathbf{H}_k) \mathbf{P}_k^- \quad (4.10b)$$

Em que  $\mathbf{I}$  é a matriz identidade e  $\mathbf{K}_k$  é o ganho de Kalman no tempo  $k$ , encontrado a partir da minimização da função custo  $\mathbf{J}_k = Tr(\mathbf{P}_k^+)$  ( $Tr()$  representa o traço da matriz). Desse modo, como mostrado por Simon (2006) e Crassidis e Junkins (2012) chegam na Eq. 4.11, derivando  $\mathbf{J}_k$  em relação a  $\mathbf{K}_k$  e igualando a 0.

$$\mathbf{K}_k = \mathbf{P}_k^- \mathbf{H}_k^T (\mathbf{H}_k \mathbf{P}_k^- \mathbf{H}_k^T + \mathbf{R}_k)^{-1} \quad (4.11)$$

Como visto pelas equações acima, a recursividade está presente e a linha do tempo mostrada na Fig. 7 abaixo ajuda a visualizar como as estimativas e as covariâncias a *posteriori* e a *priori* são atualizadas.

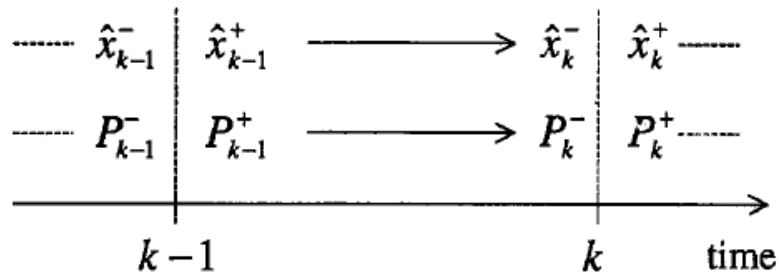


Figura 7 – Linha do tempo das estimativas e das covariâncias. (SIMON, 2006)

No tempo  $k - 1$  tem-se  $\hat{\mathbf{x}}_{k-1}^-$  e  $\mathbf{P}_{k-1}^-$  antes da informação de  $k - 1$  ser processada. Assim que a medida é feita,  $\hat{\mathbf{x}}_{k-1}^+$  e  $\mathbf{P}_{k-1}^+$  são calculados. Quando o tempo  $k$  chega, antes

de computar a medida,  $\hat{\mathbf{x}}_k^-$  e  $\mathbf{P}_k^-$  são calculados. Após a medida em  $k$  ser processada, os termos  $\hat{\mathbf{x}}_k^+$  e  $\mathbf{P}_k^+$  são encontrados. Dessa maneira, de forma sequencial, o FK atualiza a estimativa do estado a cada instante.

Como visto nas Eqs. 4.5, o índice  $k$  tem início em 1, logo, para calcular  $\hat{\mathbf{x}}_1$  é necessário saber  $\hat{\mathbf{x}}_0$ . Para isso, já que a medida  $\tilde{\mathbf{y}}$  também começa em  $k = 1$  é necessário fazer uma estimativa antes que as medidas de fato comecem, em  $k = 0$ . Usando as Eqs. 4.9b e 4.10b tem-se a inicialização do filtro dada pelas Eqs. 4.12a e 4.12b.

$$\hat{\mathbf{x}}_0^+ = E[\mathbf{x}_0] \quad (4.12a)$$

$$\mathbf{P}_0^+ = E[(\mathbf{x}_0 - \hat{\mathbf{x}}_0^+)(\mathbf{x}_0 - \hat{\mathbf{x}}_0^+)^T] \quad (4.12b)$$

Colocando todas as equações e conceitos apresentados, o FK pode ser resumido no algoritmo da Fig. 8 abaixo.

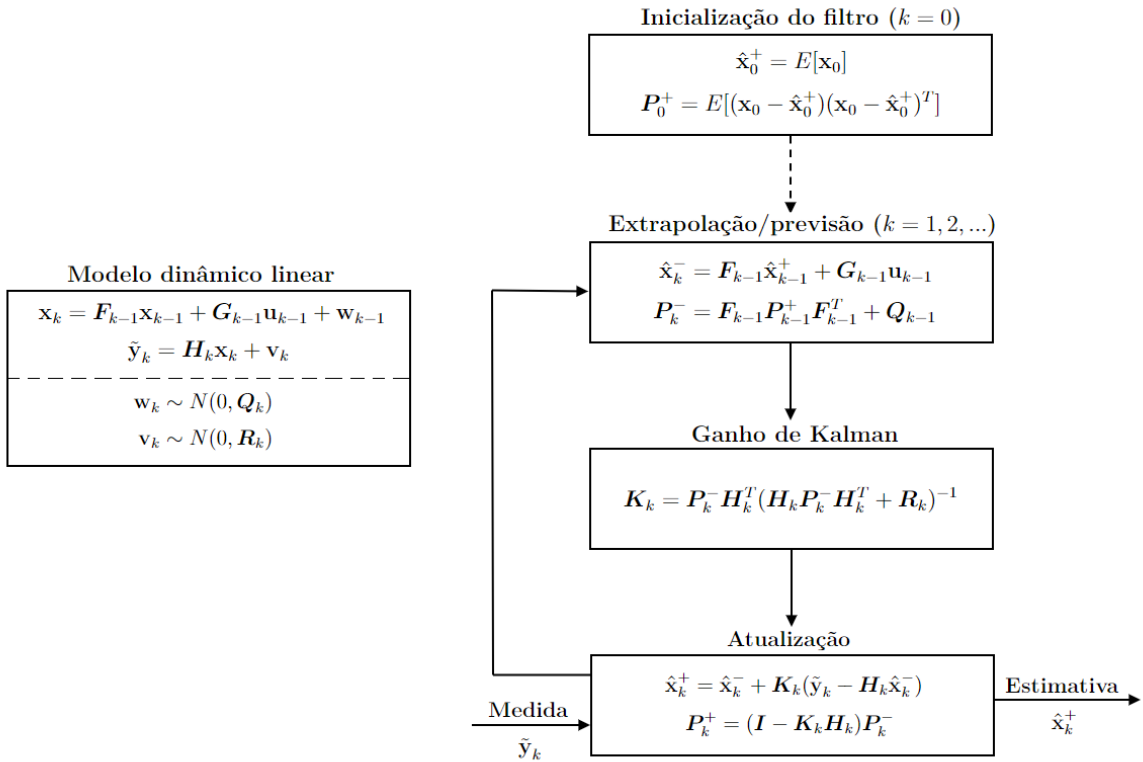


Figura 8 – Algoritmo do FK. Baseado em Busarello e Simões (2019).

O primeiro passo é a inicialização do filtro (Eqs. 4.12a e 4.12b), onde é feita uma estimativa inicial da média do estado e da covariância (após a inicialização do filtro, os parâmetros  $\hat{\mathbf{x}}_0^+$  e  $\mathbf{P}_0^+$  não são mais utilizados, por isso a representação da seta tracejada).

Após isso, o FK trabalha de forma recursiva. Na fase de extrapolção/previsão (Eqs. 4.9a e 4.10a), a estimativa a *priori* da média do estado e da covariância são feitas



com base no modelo e na estimativa inicial. Com essas informações, o ganho de Kalman (Eq. 4.11) pode ser calculado e usado na fase de atualização. Nessa fase, além da medida entrar no cálculo, a estimativa a *posteriori* da média do estado e da covariância são calculadas (Eqs. 4.9b e 4.10b), e são realimentadas para a fase de extrapolação/previsão e o processo continua de forma recursiva e sequencial.

Outra maneira de visualizar o FK é por um diagrama de blocos, demonstrando como cada termo está conectado e quais cálculos são feitos para ter cada variável. Dessa maneira, a Fig. 9 mostra como o FK se conecta com o modelo, onde  $z^{-1}$  representa um atraso de uma amostra.

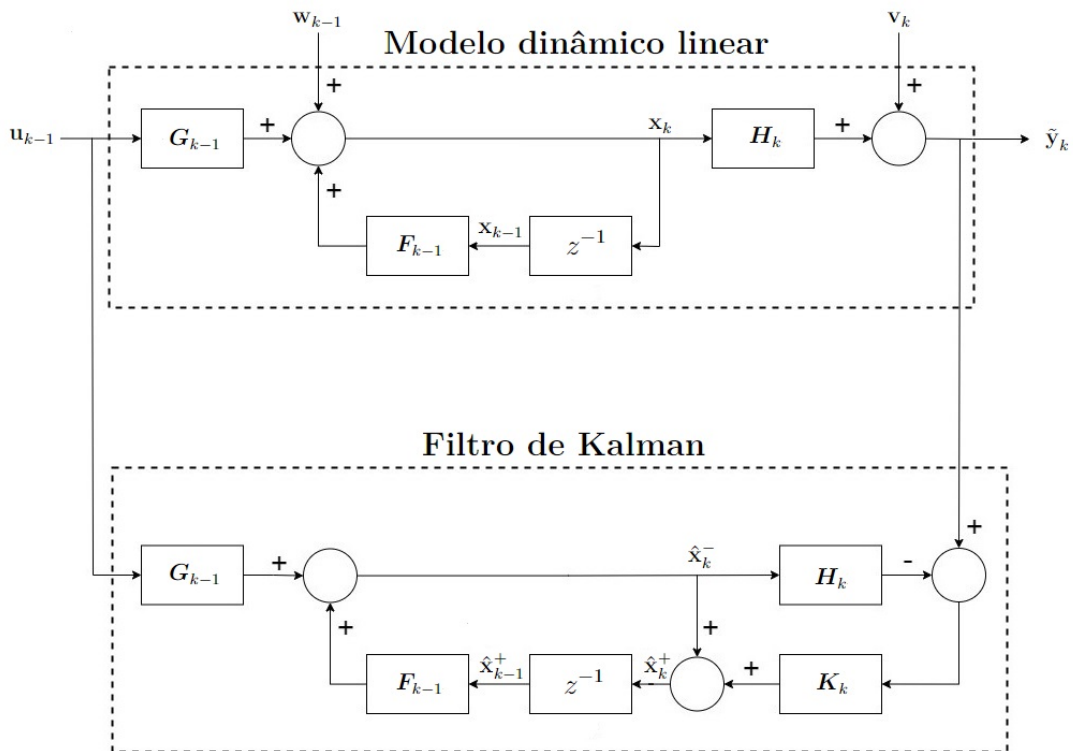


Figura 9 – FK e modelo em diagrama de blocos. Adaptado de Terejanu (2009).

## 4.2 Filtro de Kalman estendido no tempo discreto

O filtro de Kalman estendido é uma variação do FK que abrange modelos dinâmicos não lineares. Devido a complexidade desses modelos, um recurso comumente usado é realizar a linearização, como mostrado na seção 2.1.1 que conforme Simon (2006), é feita em torno da sua própria estimativa, refletindo a ideia de que o estado verdadeiro está razoavelmente próximo do estado estimado.

Adicionando os ruídos de processo e de medida no modelo das Eqs. 2.22, chega-se no modelo dinâmico não linear do FKE pelas Eqs. 4.13. Logo, com  $k = 1, 2, \dots$ :

$$\mathbf{x}_k = \mathbf{f}_{k-1}(\mathbf{x}_{k-1}, \mathbf{u}_{k-1}, \mathbf{w}_{k-1}) \quad (4.13a)$$

$$\tilde{\mathbf{y}}_k = \mathbf{h}_k(\mathbf{x}_k, \mathbf{v}_k) \quad (4.13b)$$

Simon (2006) aplica a expansão em série de Taylor no modelo das Eqs. 4.13 em torno dos pontos  $\mathbf{x}_{k-1} = \hat{\mathbf{x}}_{k-1}^+$ ,  $\mathbf{u}_{k-1} = \mathbf{u}_{k-1}$  (aqui é considerado que a entrada de controle é perfeitamente conhecida),  $\mathbf{w}_{k-1} = 0$ ,  $\mathbf{x}_k = \hat{\mathbf{x}}_k^-$  e  $\mathbf{v}_k = 0$ . Dessa forma, ele chega em uma linearização de primeira ordem dada pelas Eqs. 4.14:

$$\mathbf{x}_k^* = \mathbf{F}_{k-1}^* \mathbf{x}_{k-1}^* + \mathbf{u}_{k-1}^* + \mathbf{w}_{k-1}^* \quad (4.14a)$$

$$\tilde{\mathbf{y}}_k^* = \mathbf{H}_{k-1}^* \mathbf{x}_k^* + \mathbf{z}_k + \mathbf{v}_k^* \quad (4.14b)$$

Onde os termos com \* simbolizam o modelo linearizado e são calculados pelas Eqs. 4.15 e 4.16 a seguir:

$$\mathbf{F}_{k-1}^* = \left. \frac{\partial \mathbf{f}_{k-1}}{\partial \mathbf{x}} \right|_{\hat{\mathbf{x}}_{k-1}^{*+}} \quad (4.15a)$$

$$\mathbf{u}_{k-1}^* = \mathbf{f}_{k-1}(\hat{\mathbf{x}}_{k-1}^{*+}, \mathbf{u}_{k-1}, 0) - \mathbf{F}_{k-1}^* \hat{\mathbf{x}}_{k-1}^{*+} \quad (4.15b)$$

$$\mathbf{w}_{k-1}^* = \mathbf{L}_{k-1} \mathbf{w}_{k-1} \quad (4.15c)$$

$$\mathbf{w}_k^* \sim N(0, \mathbf{L}_k \mathbf{Q}_k \mathbf{L}_k^T)$$

$$\mathbf{L}_{k-1} = \left. \frac{\partial \mathbf{f}_{k-1}}{\partial \mathbf{w}} \right|_{\hat{\mathbf{x}}_{k-1}^{*+}} \quad (4.15d)$$

$$\mathbf{H}_k^* = \left. \frac{\partial \mathbf{h}_k}{\partial \mathbf{x}} \right|_{\hat{\mathbf{x}}_k^{*-}} \quad (4.16a)$$

$$\mathbf{z}_k = \mathbf{h}_k(\hat{\mathbf{x}}_k^{*-}, 0) - \mathbf{H}_k^* \hat{\mathbf{x}}_k^{*-} \quad (4.16b)$$

$$\mathbf{v}_k^* = \mathbf{M}_k \mathbf{v}_k \quad (4.16c)$$

$$\mathbf{v}_k^* \sim N(0, \mathbf{M}_k \mathbf{R}_k \mathbf{M}_k^T)$$

$$\mathbf{M}_k = \left. \frac{\partial \mathbf{h}_k}{\partial \mathbf{v}} \right|_{\hat{\mathbf{x}}_k^{*-}} \quad (4.16d)$$

Onde  $\mathbf{F}^*$  é a matriz de estado do calculada em  $\hat{\mathbf{x}}_{k-1}^{*+}$  e  $\mathbf{H}^*$  a matriz de saída calculada em  $\hat{\mathbf{x}}_k^{*-}$ , calculadas pelas jacobianas das Eqs. 2.25 e 2.27 respectivamente. Além disso,  $\mathbf{u}^*$  é a entrada de controle e  $\mathbf{w}^*$  e  $\mathbf{v}^*$  são os ruídos de modelo e de medição, com variância  $\mathbf{L}_k \mathbf{Q}_k \mathbf{L}_k^T$  e  $\mathbf{M}_k \mathbf{R}_k \mathbf{M}_k^T$ , respectivamente. Onde  $\mathbf{L}_k$  e  $\mathbf{M}_k$  são as jacobianas dos ruídos calculadas em  $\hat{\mathbf{x}}_{k-1}^{*+}$  e  $\hat{\mathbf{x}}_k^{*-}$ .

Após a linearização, o modelo dinâmico não linear se tornou linear (é possível notar uma semelhança entre as Eqs. 4.5 e 4.14) e por causa a isso, o FKE faz uso das equações dos estimadores encontradas no FK (SIMON, 2006), vistas nas Eqs. 4.9, 4.10, 4.11 e 4.12. Então, tem-se, de forma semelhante, as Eqs. 4.17, 4.18, 4.19 e 4.20 a seguir.

$$\hat{\mathbf{x}}_k^{*-} = \mathbf{f}_{k-1}(\hat{\mathbf{x}}_{k-1}^{*+}, \mathbf{u}_{k-1}, 0) \quad (4.17a)$$

$$\hat{\mathbf{x}}_k^{*+} = \hat{\mathbf{x}}_k^{*-} + \mathbf{K}_k^*(\tilde{\mathbf{y}}_k^* - \mathbf{h}_k(\hat{\mathbf{x}}_k^{*-}, 0)) \quad (4.17b)$$

$$\mathbf{P}_k^{*-} = \mathbf{F}_{k-1}^* \mathbf{P}_{k-1}^{*+} \mathbf{F}_{k-1}^{*T} + \mathbf{L}_{k-1} \mathbf{Q}_{k-1} \mathbf{L}_{k-1}^T \quad (4.18a)$$

$$\mathbf{P}_k^{*+} = (\mathbf{I} - \mathbf{K}_k^* \mathbf{H}_k^*) \mathbf{P}_k^{*-} \quad (4.18b)$$

$$\mathbf{K}_k^* = \mathbf{P}_k^{*-} \mathbf{H}_k^{*T} (\mathbf{H}_k^* \mathbf{P}_k^{*-} \mathbf{H}_k^{*T} + \mathbf{M}_k \mathbf{R}_k \mathbf{M}_k^T)^{-1} \quad (4.19)$$

$$\hat{\mathbf{x}}_0^{*+} = E[\mathbf{x}_0^*] \quad (4.20a)$$

$$\mathbf{P}_0^{*+} = E[(\mathbf{x}_0^* - \hat{\mathbf{x}}_0^{*+})(\mathbf{x}_0^* - \hat{\mathbf{x}}_0^{*+})^T] \quad (4.20b)$$

Da mesma forma que as equações são adaptadas, o algoritmo da Fig. 8 pode ser modificado para incluir as jacobinas e obter o algoritmo de funcionamento do FKE dado pela Fig. 10 a seguir.

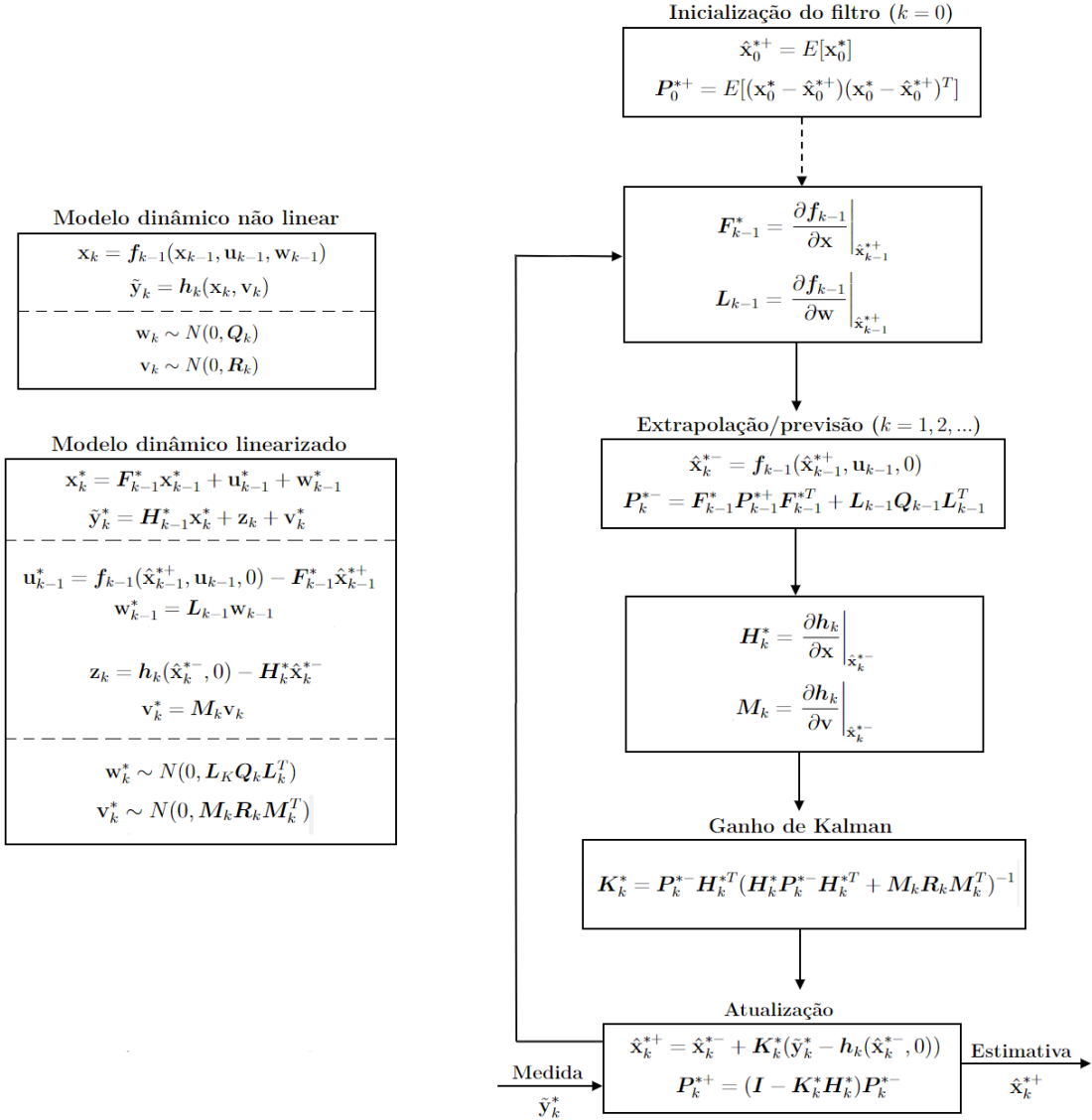


Figura 10 – Algoritmo do FKE.

## 5 Metodologia

A metodologia do trabalho apresenta o fluxograma da solução implementada para realizar a estimação dos parâmetros aerodinâmicos do caça Mirage III em condição de voo reto nivelado e curva coordenada. Para isso, os programas MATLAB® e Simulink® foram usados na aplicação das equações do modelo dinâmico da aeronave, do modelo de sensor e do FKE.

### 5.1 Objeto de estudo: Mirage III

O Mirage III (Fig. 11) é um caça de asa delta com capacidade para um tripulante, desenvolvido pela fabricante francesa *Dassault Aviation*. Ele é destinado às missões de interceptação, reconhecimento, combate aéreo, bombardeiro e ataque ao solo. Fez seu primeiro voo em 1956 e nas décadas de 70 e 80 se destacou por se tornar um dos primeiros aviões europeus a atingir velocidades supersônicas. A partir daí, se tornou um sucesso em diversas forças aéreas do mundo, sendo, por um longo período, o principal avião de defesa da Força Aérea Francesa.

Além disso, em 1970, a Força Aérea Brasileira adquiriu 17 modelos para serem concedidos ao 1º Grupo de Defesa Aérea, estabelecido na base de Anápolis, em Goiás. Ao longo do tempo, passou por programas de modernização e continuaram em operação até dezembro de 2005, acumulando mais de 67.000 horas de voo.



Figura 11 – Caça Mirage III. (BRASILEIRA, 2015)

Sua configuração padrão possui aproximadamente 15 m de comprimento, 7,5 m de envergadura, 1 motor turbojato SNECMA Atar 09C capaz de gerar empuxo de até

43,2 KN. A Tab. 1 a seguir, foi feita com base em [Aviation \(2016\)](#) e [Paglione e Zanardi \(1990\)](#) e mostra as suas características gerais.

Tabela 1 – Características gerais do Mirage III.

Característica	Valor	
Comprimento	15 m	
Envergadura ( $b$ )	7,5 m	
Corda média aerodinâmica ( $\bar{c}$ )	5,25 m	
Área da asa ( $S$ )	36 m <sup>2</sup>	
Empuxo máximo	43,2 KN	
Massa ( $m$ )	7400 kg	
Momentos de inércia	$I_x = 9 \cdot 10^4 \text{ kg} \cdot \text{m}^2$ $I_y = 5,4 \cdot 10^4 \text{ kg} \cdot \text{m}^2$ $I_z = 6 \cdot 10^4 \text{ kg} \cdot \text{m}^2$	$I_{xy} = 0 \text{ kg} \cdot \text{m}^2$ $I_{xz} = 1,8 \cdot 10^3 \text{ kg} \cdot \text{m}^2$ $I_{yz} = 0 \text{ kg} \cdot \text{m}^2$
Constante da função parabólica de $C_L \times C_D$ ( $\kappa$ )	0,4	

Além disso, a Tab. 2 mostra seus parâmetros aerodinâmicos (derivadas parciais aerodinâmicas adimensionais de força e momento).

Tabela 2 – Características aerodinâmicas do Mirage III. ([PAGLIONE; ZANARDI, 1990](#))

Parâmetro	Valor (adimensional)
$C_{D_0}$	0,015
$C_{D_0}$	0,015
$C_{Y_\beta}$	-0,6
$C_{Y_{\delta_r}}$	0,075
$C_{Y_{\delta_a}}$	0,01
$C_{L_0}$	0
$C_{L_\alpha}$	2,204
$C_{L_{\delta_e}}$	0,7
$C_{L_q}$	0
$C_{l_\beta}$	-0,05
$C_{l_{\delta_r}}$	0,018
$C_{l_{\delta_a}}$	-0,3
$C_{l_p}$	-0,25
$C_{l_r}$	0,06
$C_{m_0}$	0
$C_{m_\alpha}$	-0,17
$C_{m_{\delta_e}}$	-0,45
$C_{m_q}$	-0,4
$C_{n_\beta}$	0,15
$C_{n_{\delta_r}}$	-0,085
$C_{n_{\delta_a}}$	0
$C_{n_p}$	0,055
$C_{n_r}$	-0,7

## 5.2 Solução geral

A modelagem foi implementada no Simulink® seguindo a abordagem de diagrama de blocos, como pode ser visto na Fig. 12 abaixo. Ela é composta por três subsistemas, o MODELO NAO LINEAR - MIRAGE III, o SENSORES e o FILTRO DE KALMAN ESTENDIDO e utiliza um solucionador *ode4* e passo fixo de  $dt = 0,01$ .

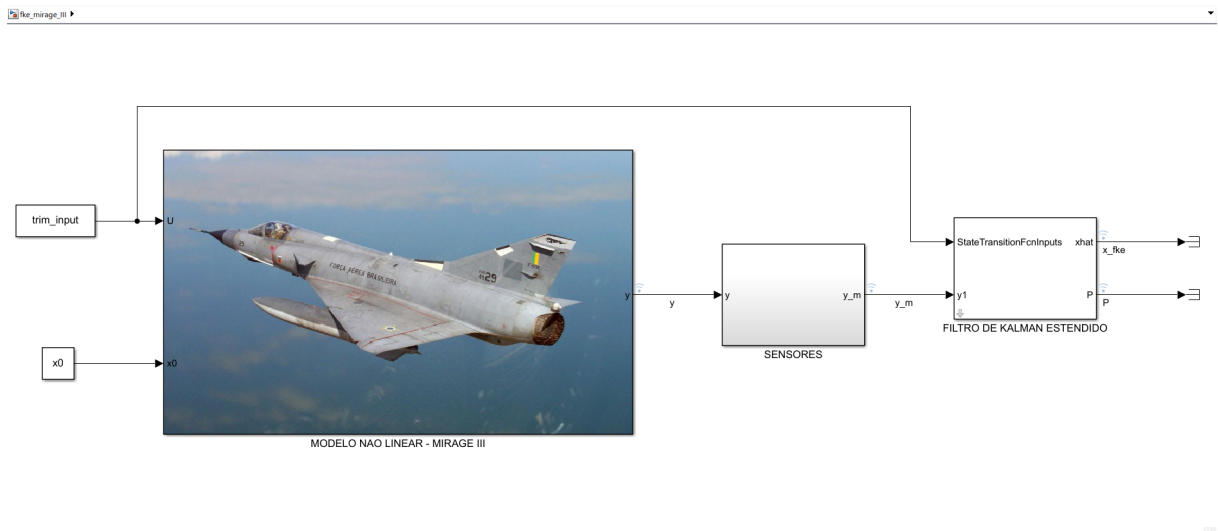


Figura 12 – Modelo completo.

No MODELO NÃO LINEAR - MIRAGE III estão todas as equações expostas na seção 2.1 (para mais detalhes, ver Apêndice B). Possui como entradas, o vetor de entrada\controle  $\mathbf{u} = [T \ \delta_r \ \delta_a \ \delta_e]^T$  e as condições iniciais do modelo dinâmico.

Já o subsistema SENSORES, engloba os sensores de ângulos de ataque, derrapagem, tubo de Pitot, giroscópio e GPS (*Global Position System*), tendo como saída o vetor  $\tilde{\mathbf{y}} = [\alpha \ \beta \ V \ \phi \ \theta \ \psi \ p \ q \ r \ x_E \ y_E \ z_E]^T$ . A escolha desse modelo foi baseada em Quan (2017) e Ascorti (2013), e leva em consideração que o sensor é composto por dois termos principais, um ruído (considerado como gaussiano branco) e uma amostragem\discretização igual a  $dt$ , como pode ser visto na Fig. 13 abaixo. (A configuração desses blocos pode ser vista no Apêndice C)

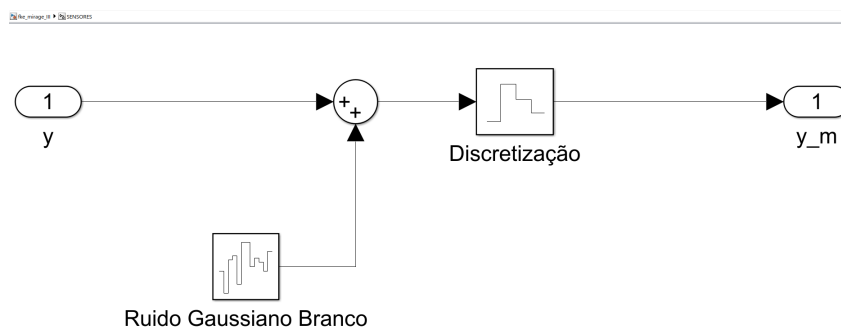


Figura 13 – Subsistema SENSORES.

Por fim, o subsistema FILTRO DE KALMAN ESTENDIDO implementa toda a lógica exposta na seção 4.2, com os passos de previsão, cálculo do ganho de Kalman e atualização, além de calcular, numericamente, as matrizes jacobianas de estado e saída.

Possui como entradas o vetor de entrada\controle e as medidas providas dos sensores. Além do mais, leva em consideração uma inicialização (média e matriz de covariância inicial do estado), os ruídos de medição e modelo e as funções não lineares dos estados e das saídas (mais detalhes da configuração no Apêndice D). Como resultado, tem as saídas de estado estimado e a matriz de covariância.

## 5.3 Condições de voo

Para realizar uma condição de voo especificada, além de se conhecer as condições iniciais, é necessário saber quais combinações das entradas (tração do motor, deflexão angular do leme, ailerons e profundor) geram as saídas desejadas, ou em outras palavras, é necessário realizar uma trimagem.

### 5.3.1 Condição de voo reto e nivelado

Na condição de voo reto e nivelado, espera-se que a aeronave realize uma trajetória reta, sem aumentar ou diminuir sua altitude e permaneça paralela ao solo. Para que isso aconteça, a força de sustentação deve igualar a força peso, a tração do motor deve ser suficiente para manter a aeronave em velocidade constante e compensar a força de arrasto e as superfícies de controle devem ser ajustadas para manter o equilíbrio de momento e evitar alteração nos ângulos de arfagem, rolagem e guinada.

Em uma operação padrão de voo de cruzeiro, o Mirage III atinge  $10.000\text{ m}$  ( $\rho_{10.000} = 0,73\text{ kg/m}^3$ ) de altitude e uma velocidade de  $980\text{ km/h}$  ( $272,22\text{ m/s}$ ). Aqui vale frisar que, apesar da sua capacidade supersônica, esse trabalho não considera nenhum efeito desse tipo e a altitude e velocidade escolhidas mantém a modelagem dentro dos limites subsônicos.

Dado esse voo de cruzeiro, as entradas e condições iniciais (Tab. 3) para que aconteça um voo reto (na direção  $x_E$ ) e nivelado foram calculadas com o auxílio do MATLAB®, onde o modelo Simulink® foi trimado de forma numérica (*trim\_input* e  $x_0$  da Fig. 12 respectivamente (ver Apêndice A)). Além disso, a trajetória resultante pode ser vista na Fig. 14, com um tempo de simulação de  $200\text{ s}$ .



Tabela 3 – Condições para voo reto e nivelado.

Parâmetro	Valor
<b>Condições iniciais</b>	
$x_E$	0 m
$y_E$	0 m
$z_E$	10.000 m
$\phi$	0 rad
$\theta$	0,0381 rad
$\psi$	0 rad
$u$	272,02 m/s
$v$	0 m/s
$w$	10,36 m/s
$p$	0 rad/s
$q$	0 rad/s
$r$	0 rad/s
$C_{D_0}$	0,015
$C_{Y_\beta}$	-0,6
$C_{Y_{\delta_r}}$	0,075
$C_{Y_{\delta_a}}$	0,01
$C_{L_0}$	0
$C_{L_\alpha}$	2,204
$C_{L_{\delta_e}}$	0,7
$C_{L_q}$	0
$C_{l_\beta}$	-0,05
$C_{l_{\delta_r}}$	0,018
$C_{l_{\delta_a}}$	-0,3
$C_{l_p}$	-0,25
$C_{l_r}$	0,06
$C_{m_0}$	0
$C_{m_\alpha}$	-0,17
$C_{m_{\delta_e}}$	-0,45
$C_{m_q}$	-0,4
$C_{n_\beta}$	0,15
$C_{n_{\delta_r}}$	-0,085
$C_{n_{\delta_a}}$	0
$C_{n_p}$	0,055
$C_{n_r}$	-0,7
<b>Entradas de controle</b>	
$T$	16,74 KN
$\delta_r$	0 rad
$\delta_a$	0 rad
$\delta_e$	-0.014 rad

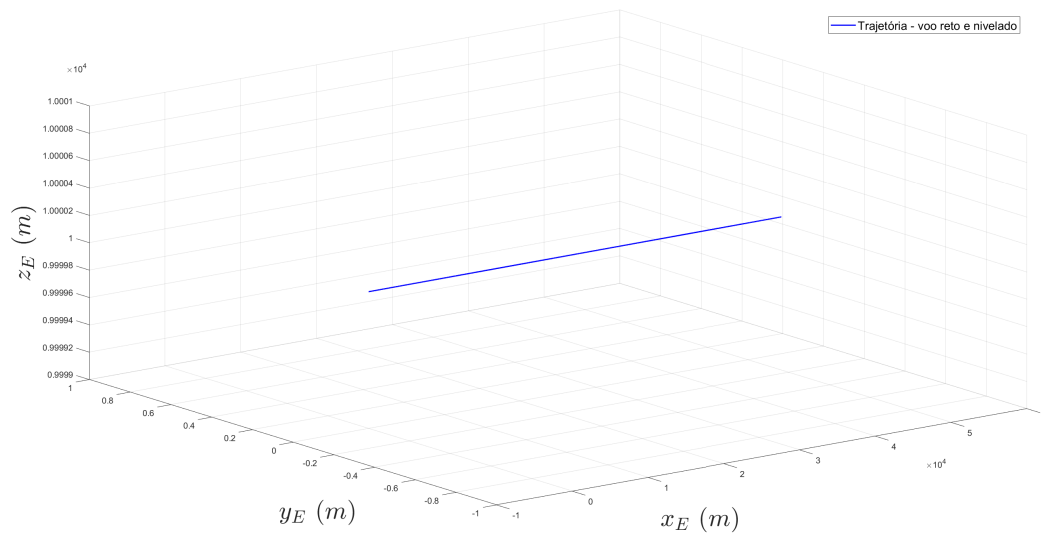


Figura 14 – Trajetória - condição de voo reto e nivelado.

### 5.3.2 Condição de curva coordenada

Já na condição de curva coordenada, espera-se que a aeronave se incline para o lado da curva, para que a sustentação seja usada tanto para manter a altitude constante quanto para gerar força centrípeta, dessa maneira, deve haver alteração no ângulo de rolagem através do comando de aileron. Para ser coordenada, ou seja, para não haver derrapagem, deve haver comando de leme para alinhar o eixo longitudinal com a direção do movimento. Além disso, para compensar a perda de sustentação, a aeronave deve aumentar seu ângulo de ataque por meio do comando de profundor.

Dado essa condição de voo, para que o Mirage III realize uma curva coordenada a uma altitude de  $10.000\text{ m}$ , com velocidade de  $360\text{ km/h}$  ( $100\text{ m/s}$ ) e ângulo de rolagem igual a  $30^\circ$ , o modelo Simulink® também foi trimado de forma numérica (*trim\_input* e *x0* da Fig. 12 respectivamente (ver Apêndice A)). Após isso, as entradas e as condições iniciais (Tab. 4) foram calculadas e a trajetória resultante plotada de acordo com a Fig. 15, com o mesmo tempo de simulação de  $200\text{ s}$ .

Tabela 4 – Condições para curva coordenada.

Parâmetro	Valor
<b>Condições iniciais</b>	
$x_E$	0 m
$y_E$	0 m
$z_E$	10.000 m
$\phi$	0,5236 rad
$\theta$	0,2441 rad
$\psi$	0 rad
$u$	100 m/s
$v$	0 m/s
$w$	28,75 m/s
$p$	-0,0126 rad/s
$q$	0,0252 rad/s
$r$	0,0437 rad/s
$C_{D_0}$	0,015
$C_{Y_\beta}$	-0,6
$C_{Y_{\delta_r}}$	0,075
$C_{Y_{\delta_a}}$	0,01
$C_{L_0}$	0
$C_{L_\alpha}$	2,204
$C_{L_{\delta_e}}$	0,7
$C_{L_q}$	0
$C_{l_\beta}$	-0,05
$C_{l_{\delta_r}}$	0,018
$C_{l_{\delta_a}}$	-0,3
$C_{l_p}$	-0,25
$C_{l_r}$	0,06
$C_{m_0}$	0
$C_{m_\alpha}$	-0,17
$C_{m_{\delta_e}}$	-0,45
$C_{m_q}$	-0,4
$C_{n_\beta}$	0,15
$C_{n_{\delta_r}}$	-0,085
$C_{n_{\delta_a}}$	0
$C_{n_p}$	0,055
$C_{n_r}$	-0,7
<b>Entradas de controle</b>	
$T$	19,75 KN
$\delta_r$	-0,0186 rad
$\delta_a$	-0,0012 rad
$\delta_e$	-0.1042 rad

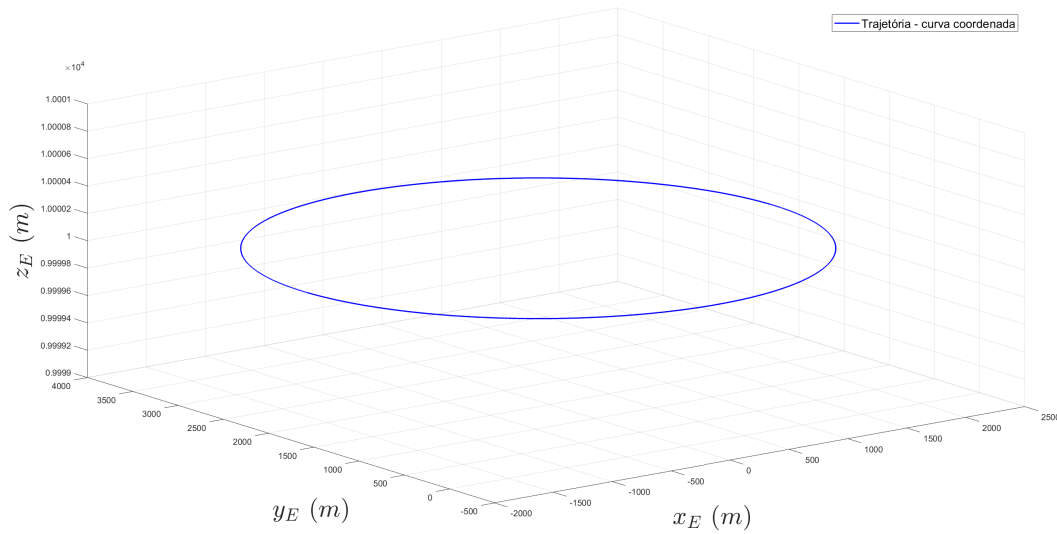


Figura 15 – Trajetória - condição de curva coordenada.

## 5.4 Inicialização do filtro de Kalman estendido

Como dito na seção 4.2, o FKE requer uma inicialização do estado  $\mathbf{x}$  e matriz de covariância  $\mathbf{P}$ . Para obter uma estimação adequada, foi necessário ajustar esses parâmetros, além dos ruídos de modelo  $\mathbf{Q}$  e de medida  $\mathbf{R}$ . Um ajuste iterativo e manual foi feito, executando o modelo em uma certa configuração inicial e analisando o resultado. Após verificar se a robustez e a convergência do filtro estavam aceitáveis para um parâmetro, o mesmo foi feito para os demais parâmetros e ambas as condições de voo.

Posteriormente, para analisar a convergência da filtragem, o erro de estado será calculado por meio de  $\mathbf{x}_{real} - \mathbf{x}_{fke}$ . Quanto menor e mais próximo de zero esse valor se aproximar no tempo, maior o indicativo que a inicialização foi escolhida de maneira adequada. Além disso, a covariância do erro  $\mathbf{P}_{fke}$  será analisada e através dela, os desvios padrões  $\sigma_i$  dos estados serão calculados por meio de:  $\sigma_i = \sqrt{\mathbf{P}_{fke}(i, i)}$ .

Consolidando os tópicos falados acima, o fluxograma geral de funcionamento da simulação pode ser visto na Fig. 16 a seguir, onde mostra a trimagem, a inicialização dos parâmetros dos sensores, do FKE e por fim, a plotagem dos resultados.



### 5.4.2 Condição de curva coordenada

Da mesma forma, as Eqs. 5.5, 5.6 mostram os valores de inicialização do filtro para a condição de curva coordenada.

$$\mathbf{x}_0 = \begin{bmatrix} 0 & 0 & 10.000 & 0,5236 & 0,2441 & 0 & 100 & 0 & 28,75 \\ -0,0126 & 0,0252 & 0,0437 & 0,015 & -0,6 & 0,075 & 0,01 & 0 & 2,204 \\ 0,7 & 0 & -0,05 & 0,018 & -0,3 & -0,25 & 0,06 & 0 & -0,17 \\ -0,45 & -0,4 & 0,15 & -0,085 & 0 & 0,055 & -0,7 \end{bmatrix}^T \quad (5.5)$$

$$\mathbf{P}_0 = \text{diag}(10 \quad 7,5 \quad 7,5 \quad 0,5 \quad 1 \quad 1 \quad 500 \quad 500 \quad 500 \\ 0,01 \quad 0,01 \quad 0,01 \quad 10 \quad 0,001 \quad 0,1 \quad 0,5 \quad 10 \quad 0,0001 \\ 100 \quad 0,001 \quad 100 \quad 50 \quad 50 \quad 0,0001 \quad 0,001 \quad 0,001 \quad 0,01 \\ 100 \quad 0,001 \quad 100 \quad 100 \quad 5 \quad 0,01 \quad 0,01) \quad (5.6)$$

## 6 Resultados e Discussões

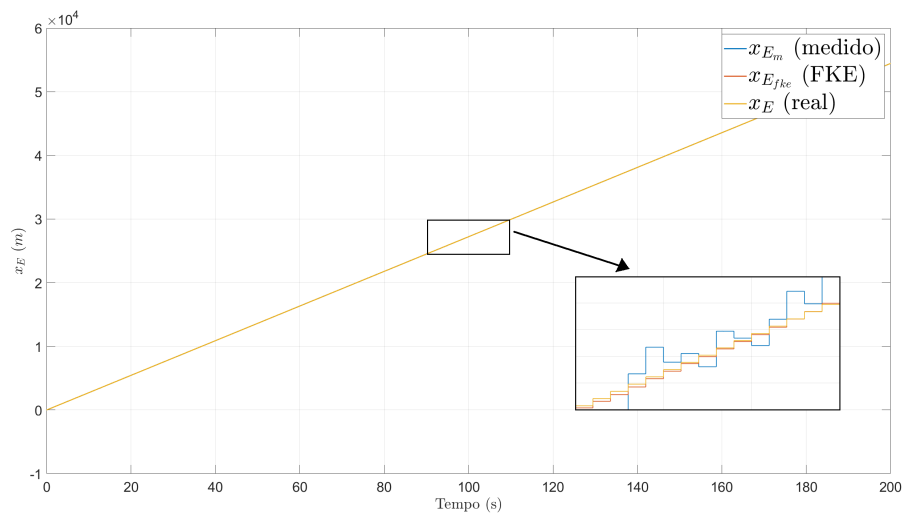
Neste capítulo serão mostrados os resultados da estimação do FKE para o caça Mirage III em voo reto e nivelado e curva coordenada. A estimação dos 34 estados serão comparadas com o valor real (gerado pelo modelo dinâmico não linear) e com o valor medido (gerado pelos sensores). Após isso, o erro absoluto do estado será apresentado juntamente com um intervalo de confiança de  $3\sigma_i$  (99,7 % de probabilidade da função de densidade de probabilidade), a fim de analisar a estabilização e convergência do filtro.

### 6.1 Estimação e erros dos estados

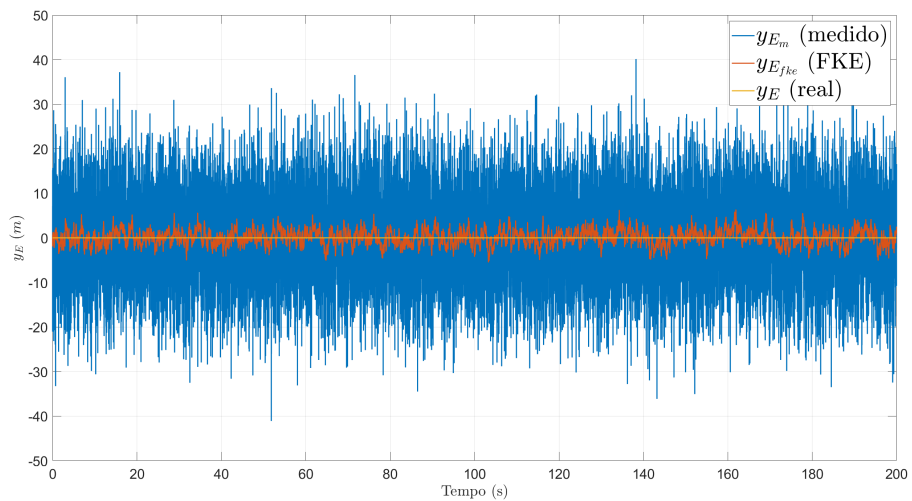
#### 6.1.1 Condição de voo reto e nivelado

Na Fig. 17 estão as estimações das posições lineares  $x_E$ ,  $y_E$  e  $z_E$ . Percebe-se que para esses parâmetros, a sintonização e inicialização do filtro foram satisfatórias, pois além de estimar os estados, filtrou de forma considerável a medida ruidosa proveniente do GPS. Outra comprovação da eficácia do filtro para esses parâmetros, está na Fig. 18, que mostra o erro entre os limites do intervalo de confiança estabelecido.

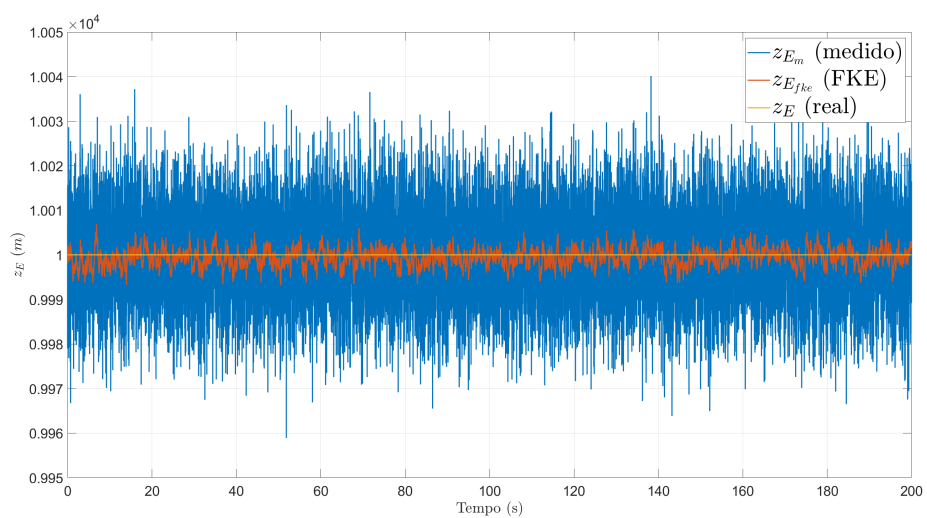
De forma semelhante, também ocorre para  $\phi$ ,  $\theta$  e  $\psi$  nas Fig. 19 e 20, onde o FKE atingiu um resultado aceitável para estimar as posições angulares. Apesar de não conseguir filtrar tanto as medidas do giroscópio, cumpriu seu papel de estimação e estabilizou em torno do valor real.



(a) Posição linear  $x_E$ .



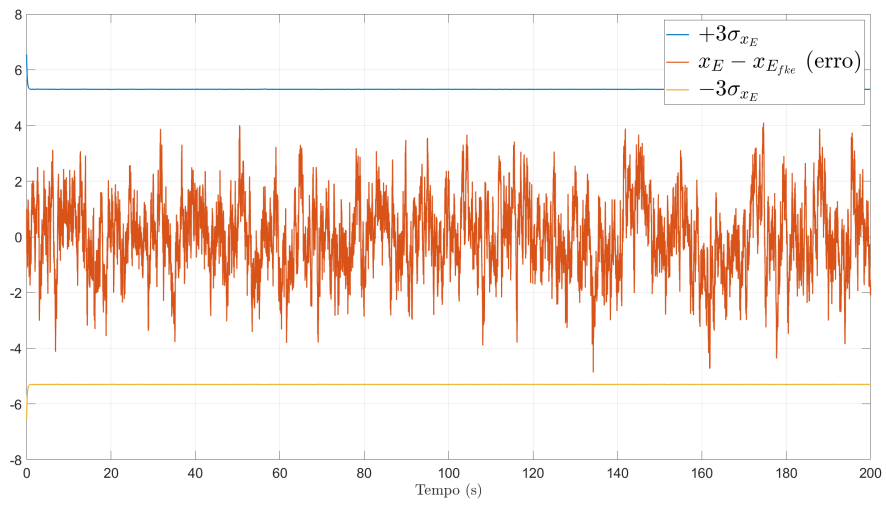
(b) Posição linear  $y_E$ .



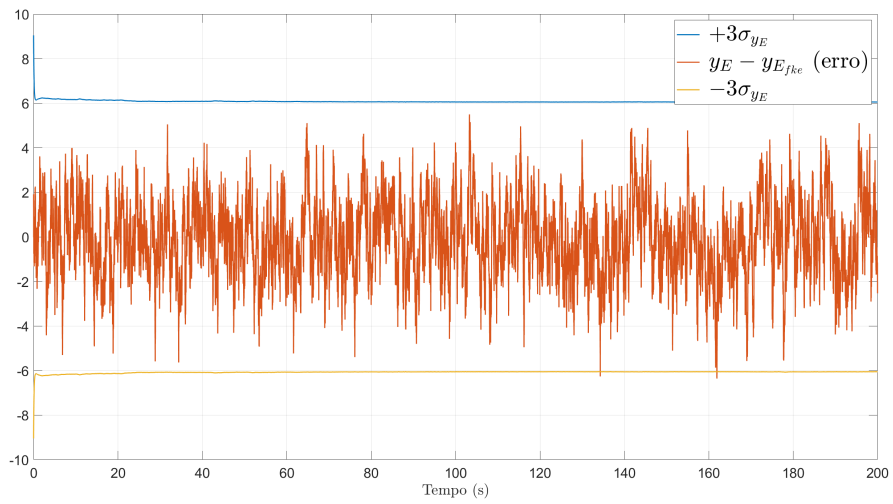
(c) Posição linear  $z_E$ .

Figura 17 – Posições lineares medidas, estimadas e reais (reto e nivelado).

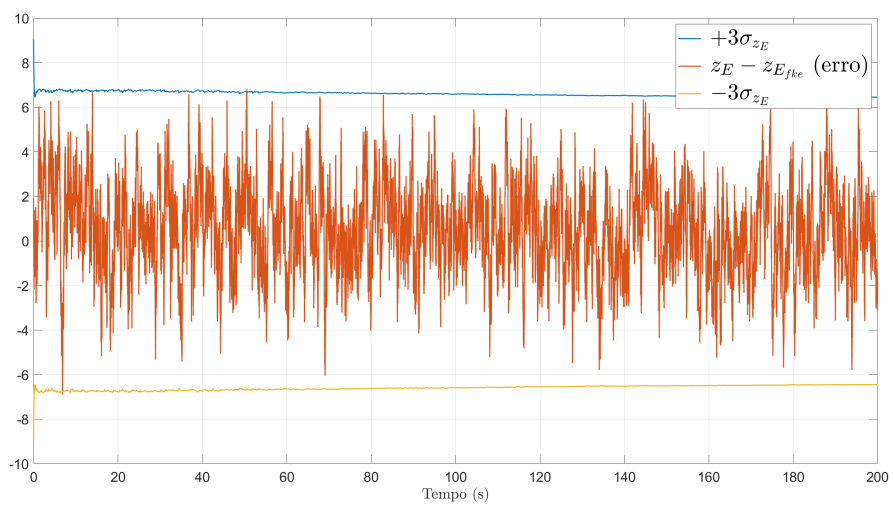




(a) Posição linear  $x_E$ .

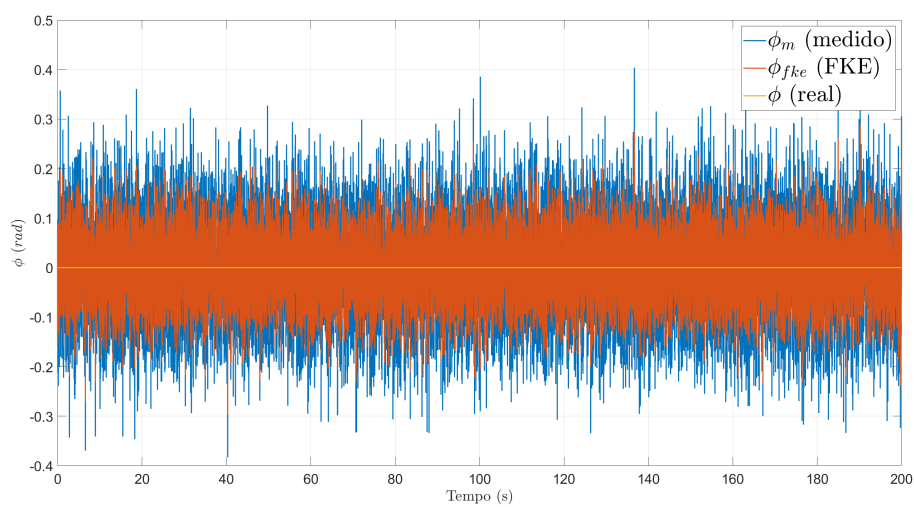


(b) Posição linear  $y_E$ .

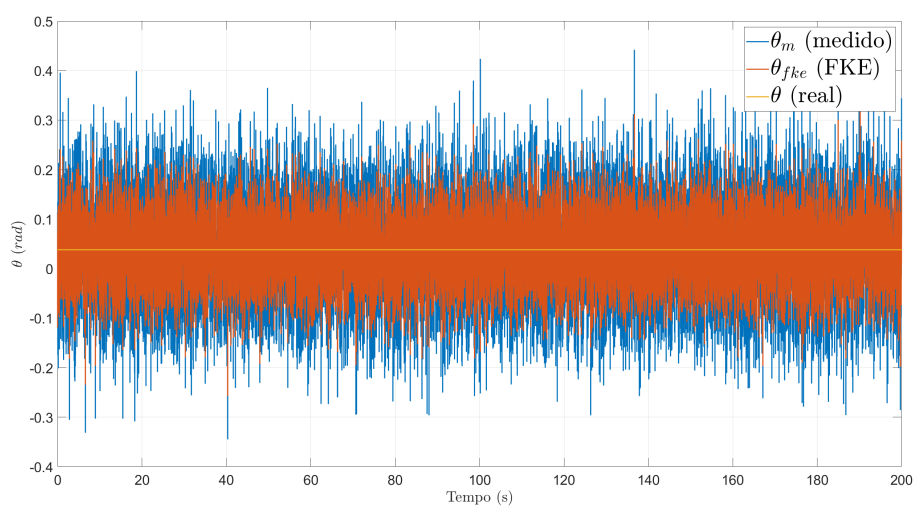


(c) Posição linear  $z_E$ .

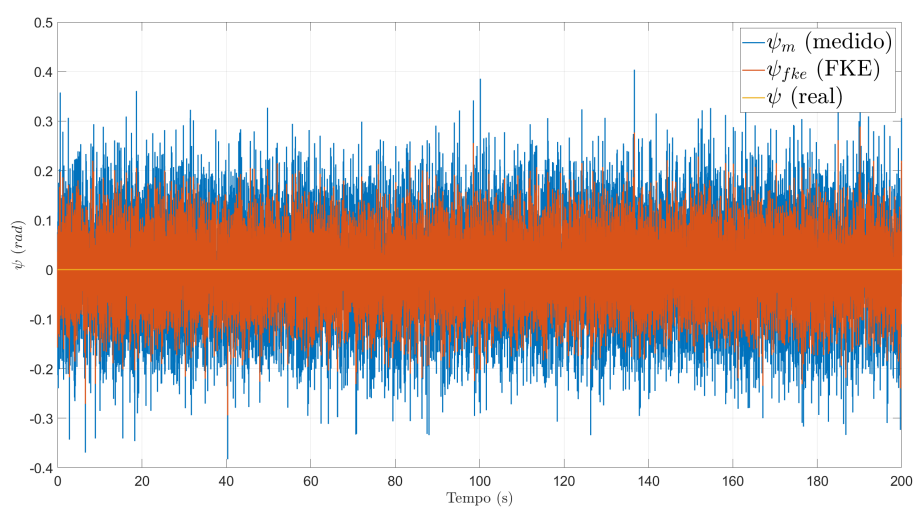
Figura 18 – Erros e intervalos de confiança para as posições lineares (reto e nivelado).



(a) Posição angular  $\phi$ .

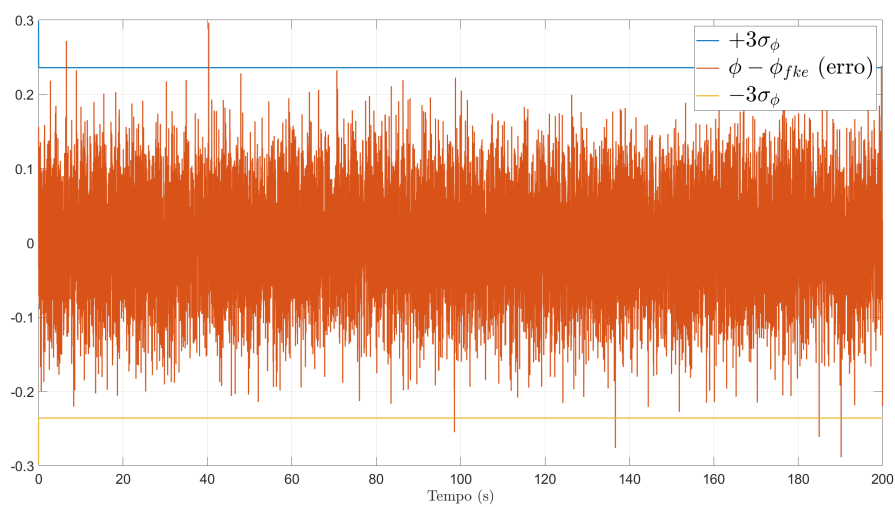


(b) Posição linear  $\theta$ .

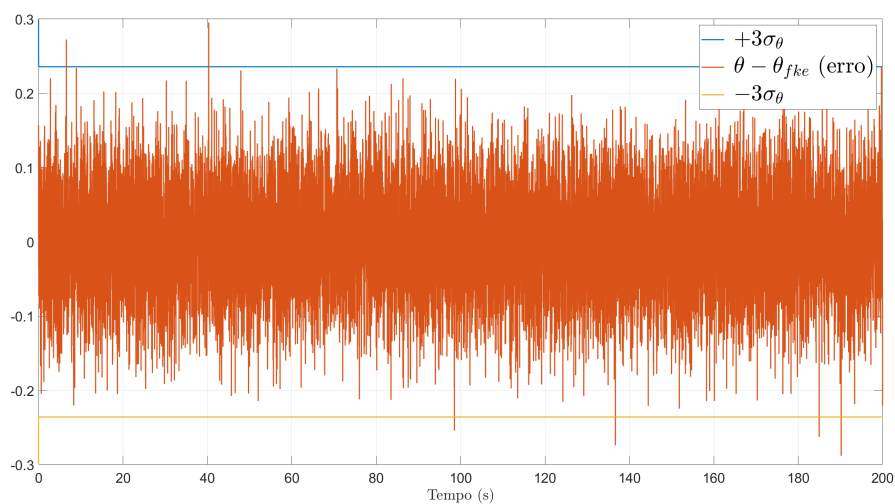


(c) Posição linear  $\psi$ .

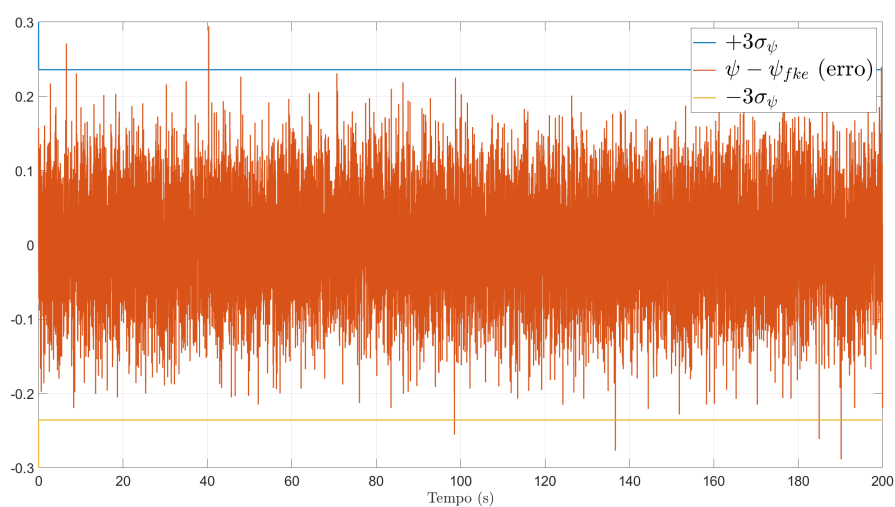
Figura 19 – Posições angulares medidas, estimadas e reais (reto e nivelado).



(a) Posição angular  $\phi$ .



(b) Posição linear  $\theta$ .



(c) Posição linear  $\psi$ .

Figura 20 – Erros e intervalos de confiança para as posições angulares (reto e nivelado).

Para as velocidades lineares  $u$  e  $w$  da Fig. 21, o FKE sofreu um pouco mais de dificuldade para estabilizar, contudo, todas velocidades as lineares ficaram dentro do intervalo de confiança (Fig. 22). Vale lembrar que as velocidades lineares não são medidas diretamente, o que valida a sintonização do filtro para esses parâmetros. Já para as velocidades angulares  $p$ ,  $q$  e  $r$ , o FKE se comportou melhor (Fig. 23), sendo capaz de filtrar de forma considerável o ruído do giroscópio e estabilizar dentro dos limites de  $3\sigma$  (Fig. 24).

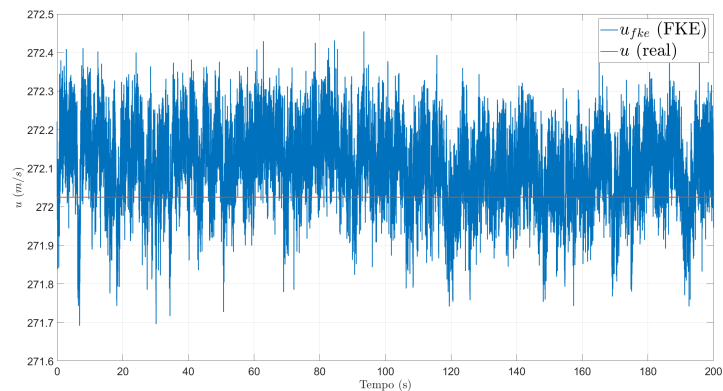
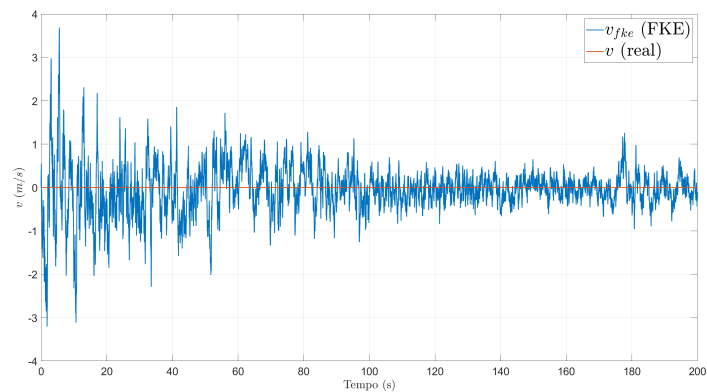
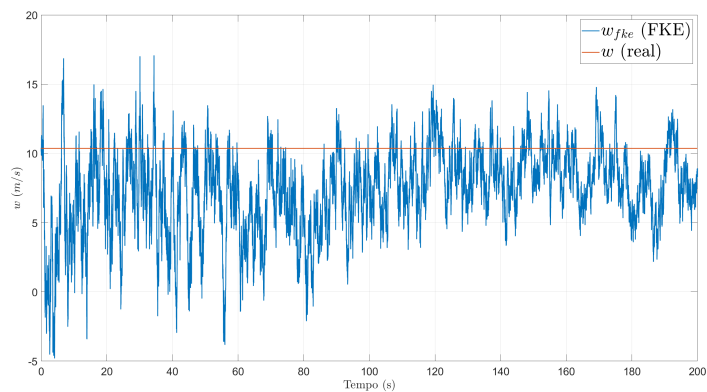
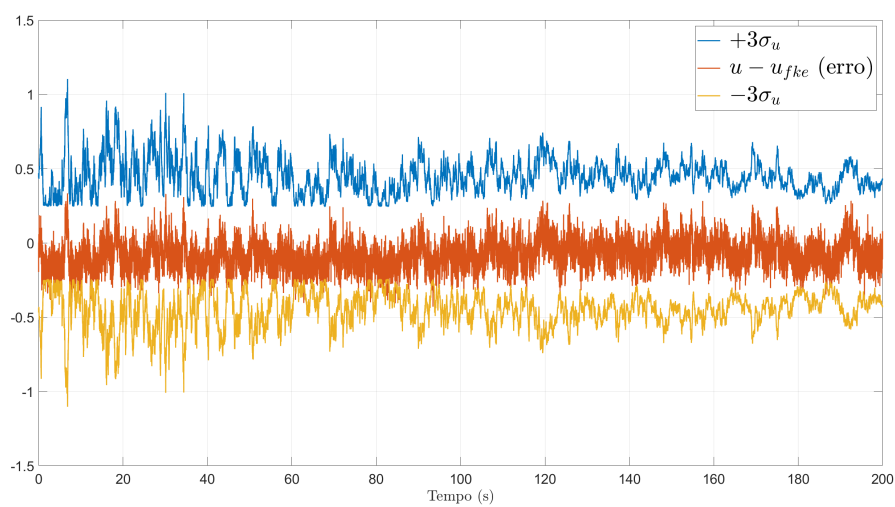
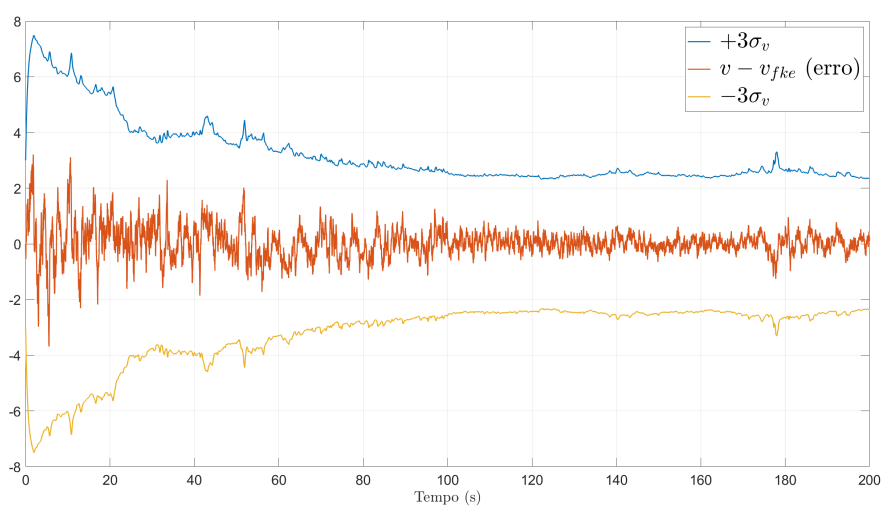
(a) Velocidade linear  $u$ .(b) Velocidade linear  $v$ .(c) Velocidade linear  $w$ .

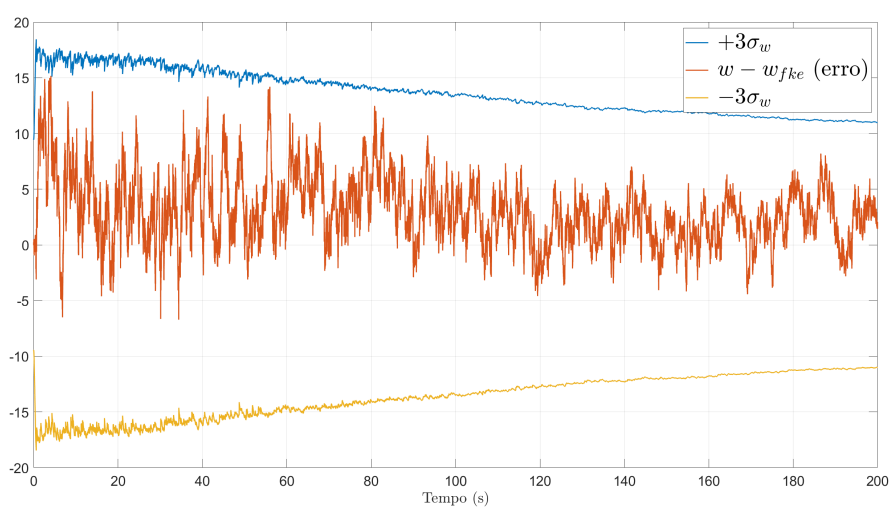
Figura 21 – Velocidades lineares estimadas e reais (reto e nivelado).



(a) Velocidade linear  $u$ .

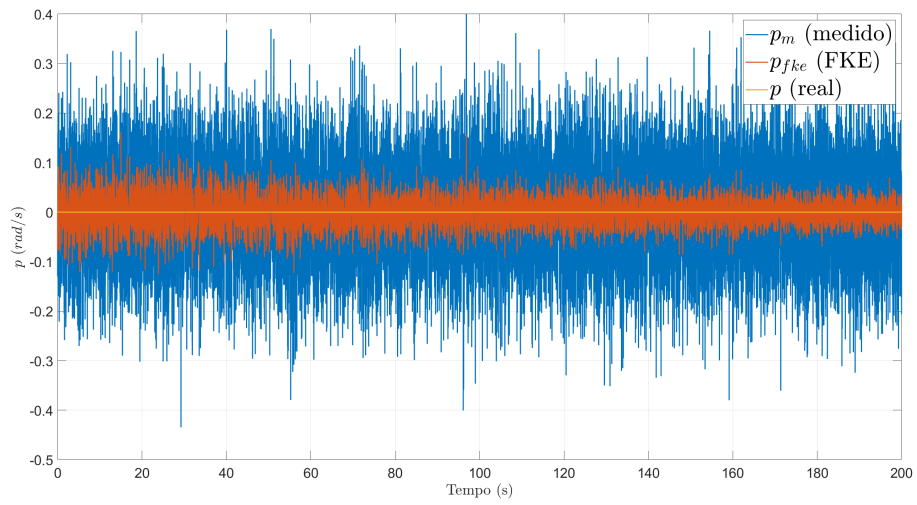


(b) Velocidade linear  $v$ .

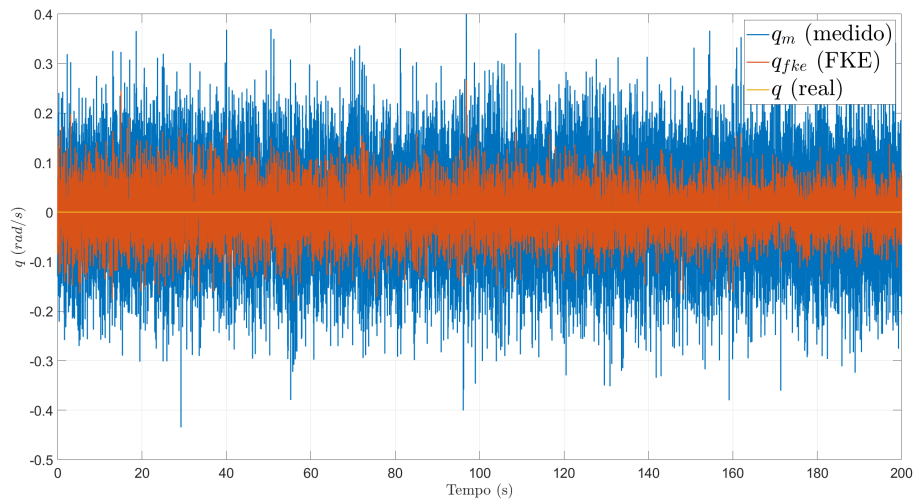


(c) Velocidade linear  $w$ .

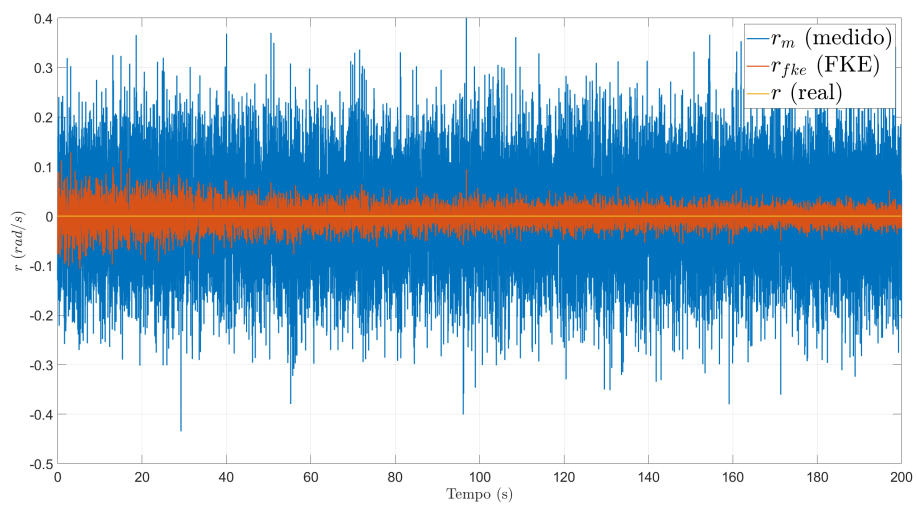
Figura 22 – Erros e intervalos de confiança para as velocidades lineares (reto e nivelado).



(a) Velocidade angular  $p$ .

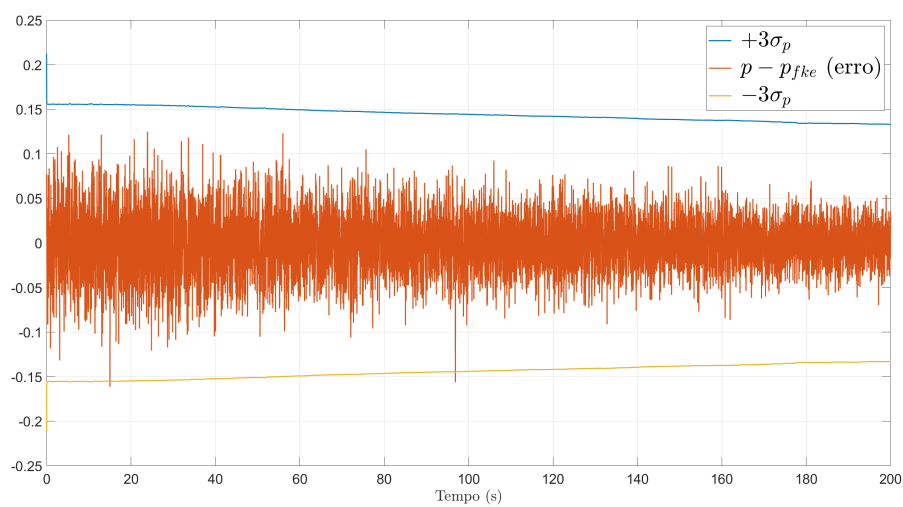


(b) Velocidade angular  $q$ .

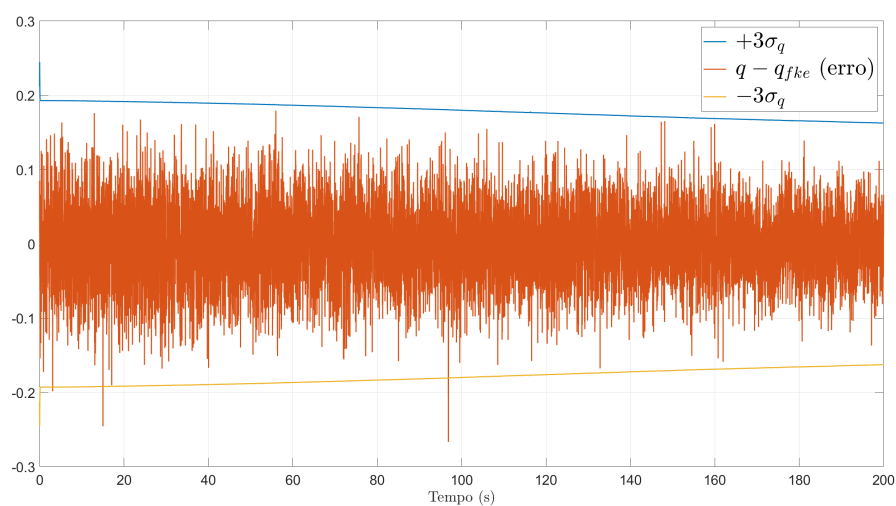


(c) Velocidade angular  $r$ .

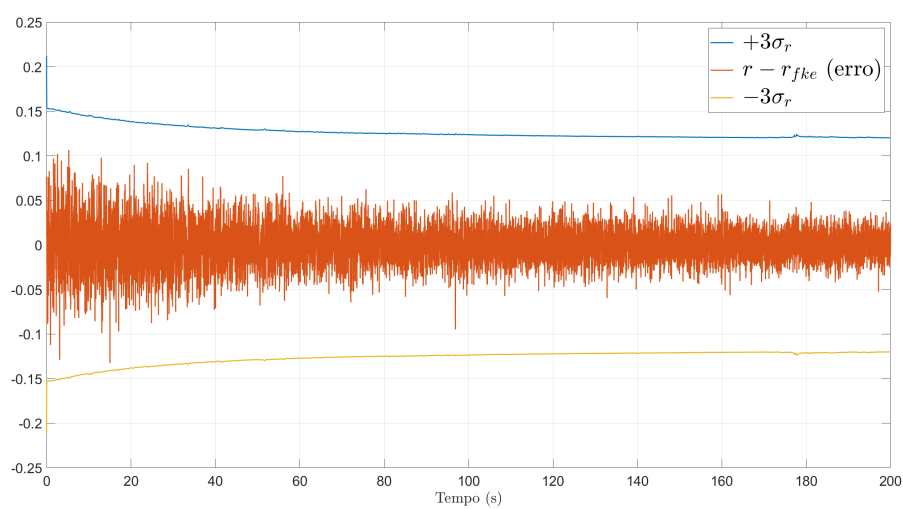
Figura 23 – Velocidades angulares medidas, estimadas e reais (reto e nivelado).



(a) Velocidade angular  $p$ .



(b) Velocidade angular  $q$ .



(c) Velocidade angular  $r$ .

Figura 24 – Erros e intervalos de confiança para as velocidades angulares (reto e nivelado).

Iniciando com a análise dos parâmetros aerodinâmicos, o FKE fez um bom trabalho em estimar  $C_{D_0}$  (Fig. 25), com o erro absoluto dentro do intervalo de confiança, como pode ser visto na Fig. 26.

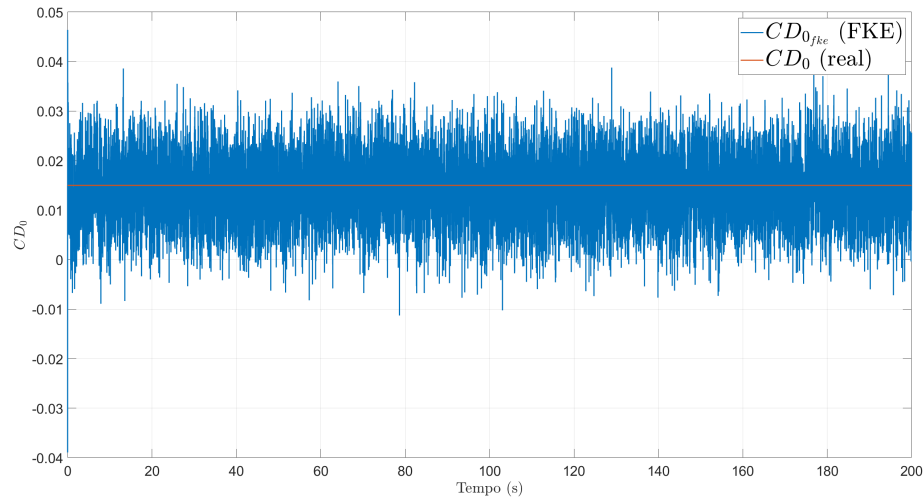


Figura 25 –  $C_{D_0}$  estimado e real (reto e nivelado).

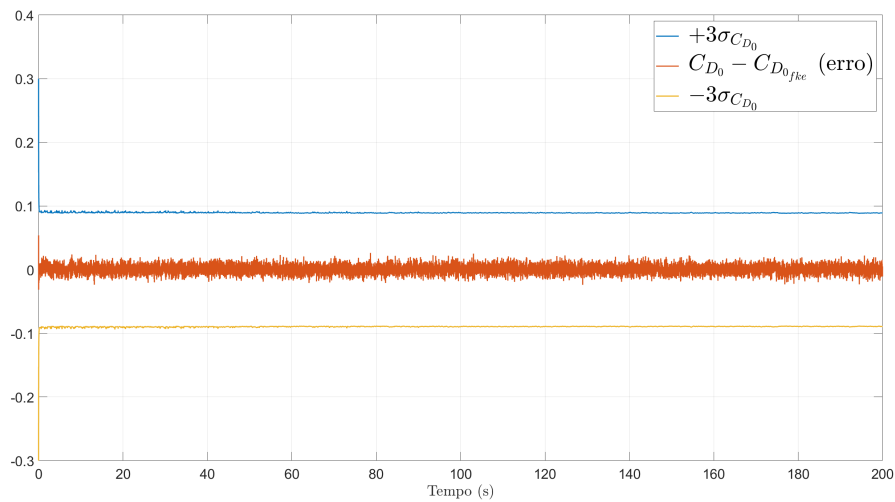
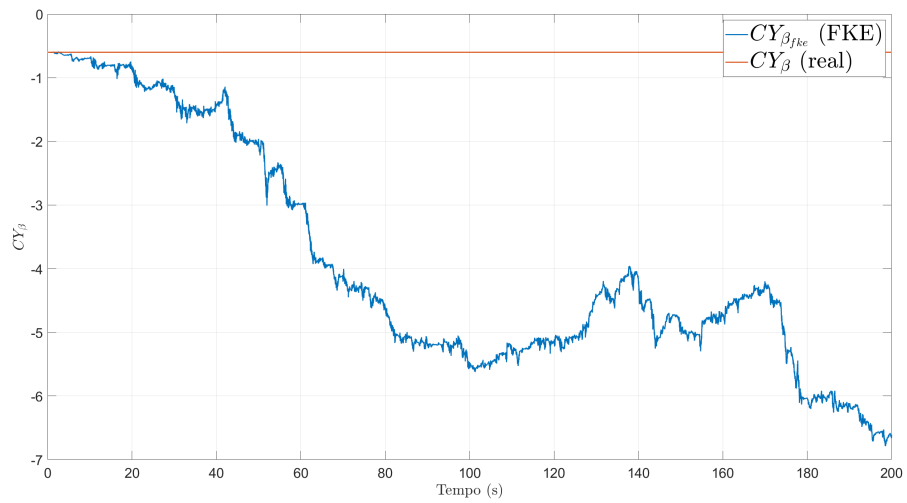


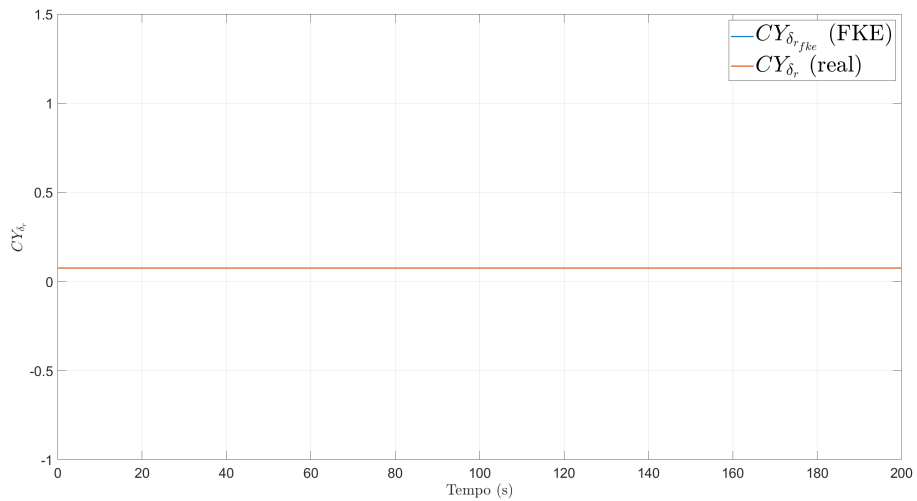
Figura 26 – Erro e intervalo de confiança para  $C_{D_0}$  (reto e nivelado).

Para os parâmetros de força lateral, somente  $C_{Y_\beta}$  não apresentou um resultado esperado (Figs. 27 e 28), tendo seu valor diminuindo com o tempo e não estabilizando a depender da inicialização. Diversas sintonias foram feitas para se obter uma curva que se aproximasse do valor real, porém, nenhuma foi encontrada.

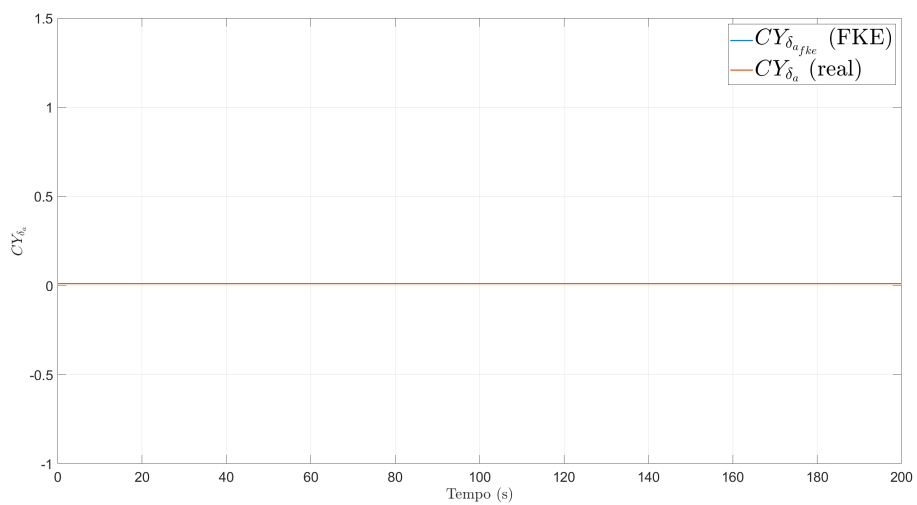




(a) Devido à derrapagem  $\beta$ .

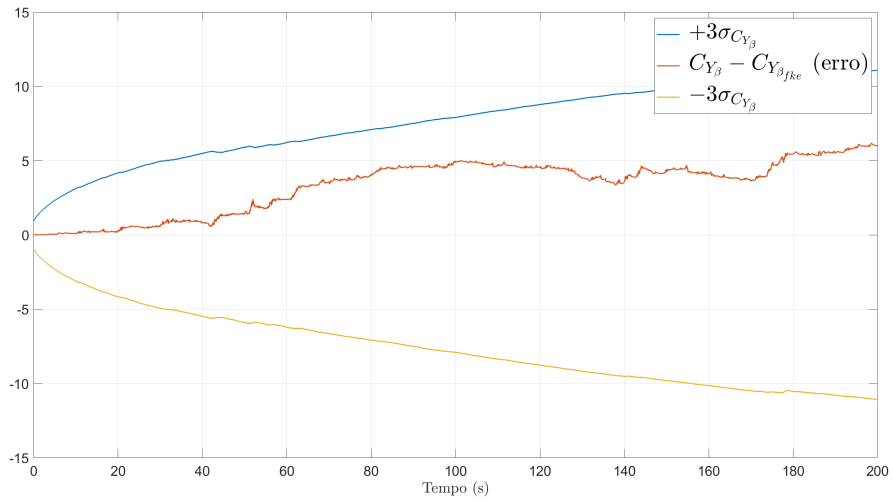


(b) Devido à deflexão angular do leme  $\delta_r$ .

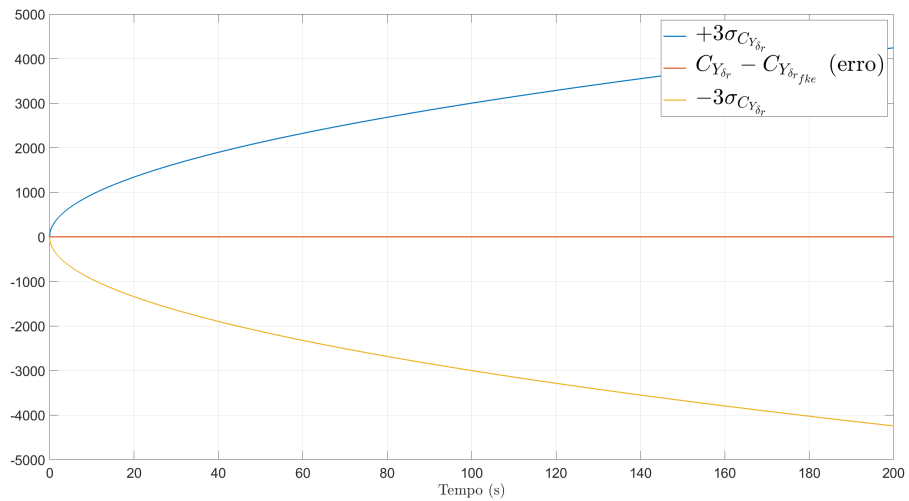


(c) Devido à deflexão angular dos ailerons  $\delta_a$ .

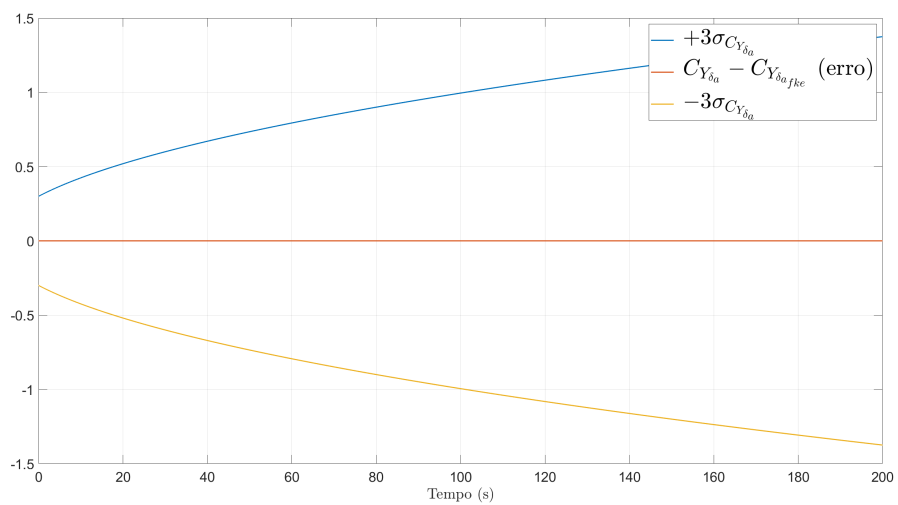
Figura 27 –  $C_Y$  estimados e reais (reto e nivelado).



(a) Devido à derrapagem  $\beta$ .



(b) Devido à deflexão angular do leme  $\delta_r$ .



(c) Devido à deflexão angular dos ailerons  $\delta_a$ .

Figura 28 – Erros e intervalos de confiança para  $C_Y$  (reto e nivelado).

O comportamento do FKE para  $C_{L_0}$  foi um pouco semelhante ao do  $C_{D_0}$ , porém, na Fig. 29 a curva está com tendências à divergir, somente sendo possível verificar sua convergência com mais passos de simulação. Contudo, dentro do tempo de 200 s simulado, o erro (Fig. 30) ficou dentro dos batentes estabelecidos pelo desvio padrão.

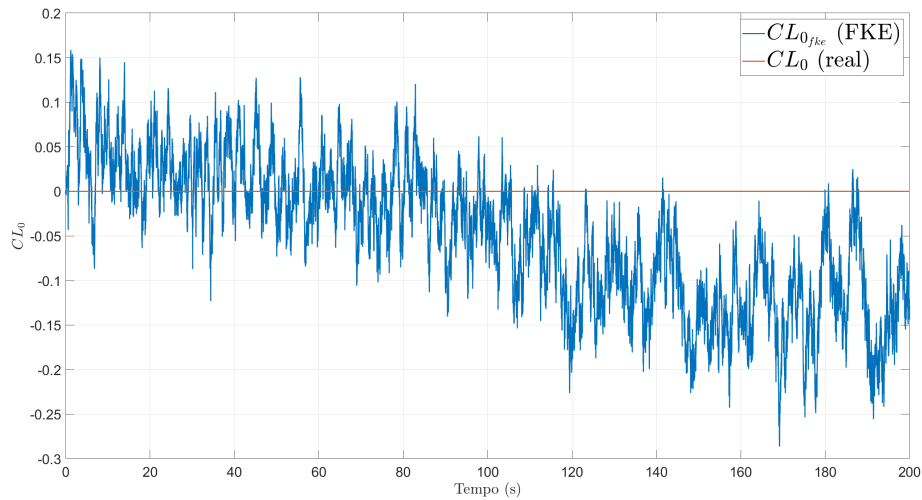


Figura 29 –  $C_{L_0}$  estimado e real (reto e nivelado).

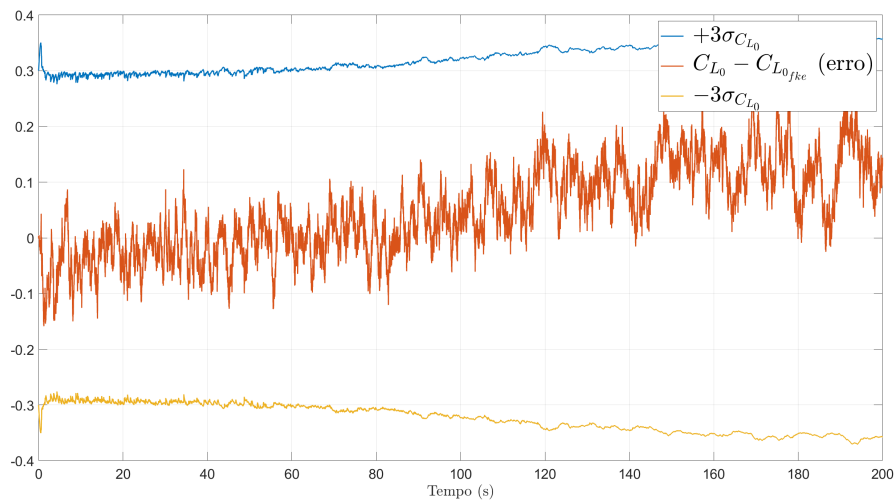
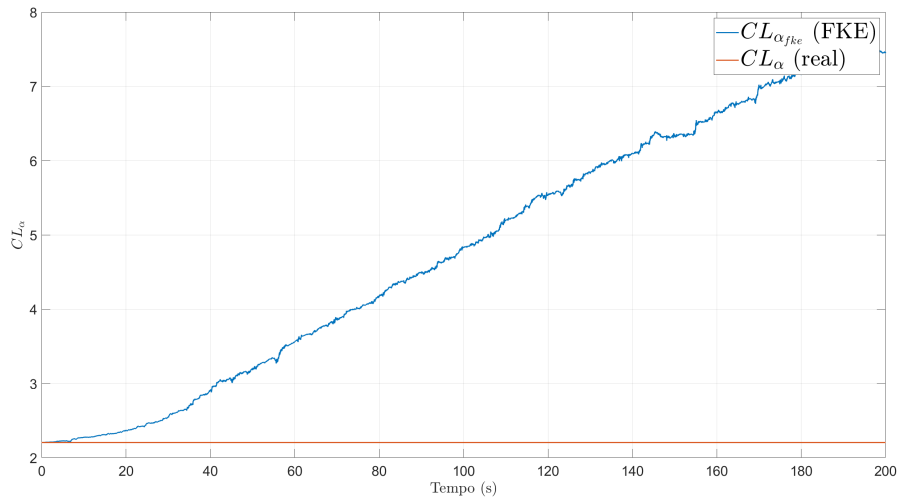
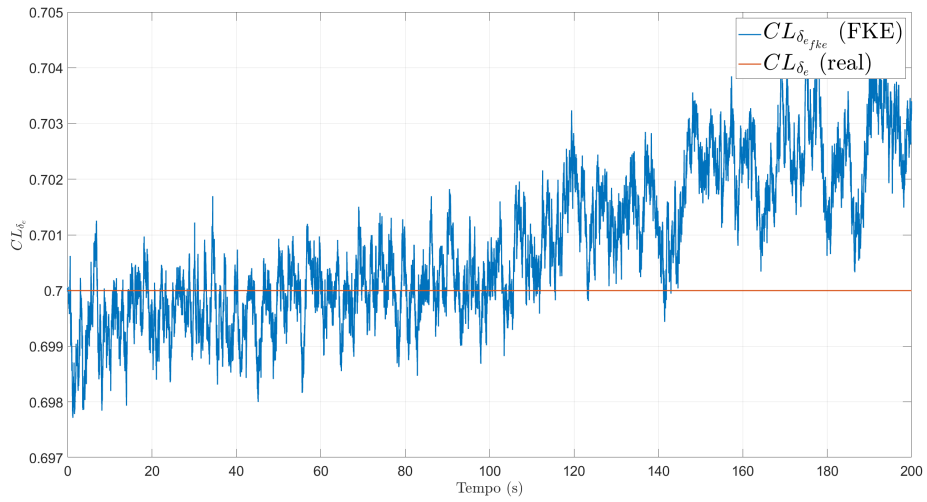


Figura 30 – Erro e intervalo de confiança para  $C_{L_0}$  (reto e nivelado).

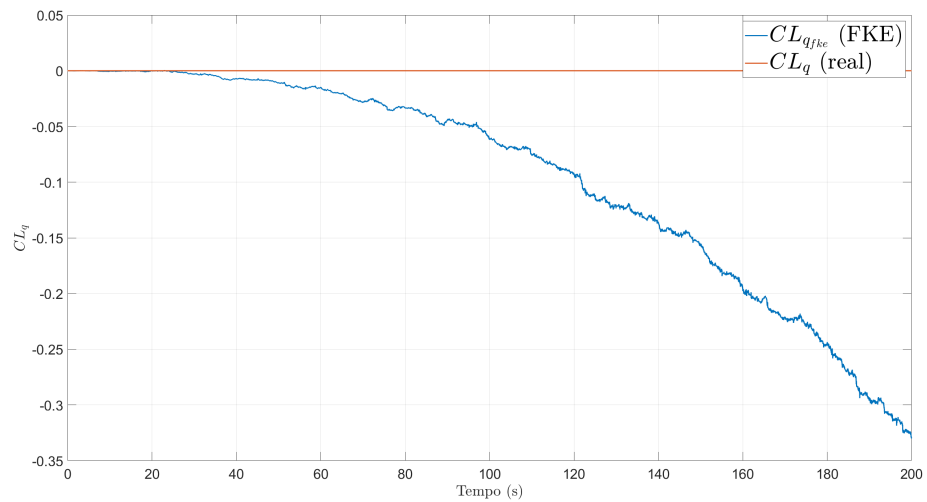
Um comportamento semelhante foi observado para os coeficientes  $C_{L_\alpha}$ ,  $C_{L_{\delta_e}}$  e  $C_{L_q}$ , resultando em divergências, com apenas o coeficiente  $C_{L_\alpha}$  ficando fora dos limites do intervalo de confiança, como pode ser visto nas Figs. 31 e 32 a seguir.



(a) Devido ao ângulo de ataque  $\alpha$ .

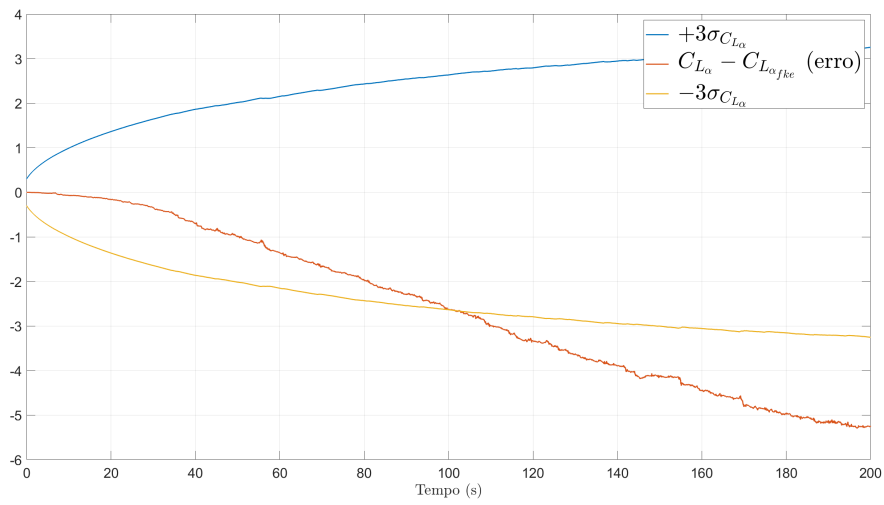


(b) Devido à deflexão angular do profundor  $\delta_e$ .

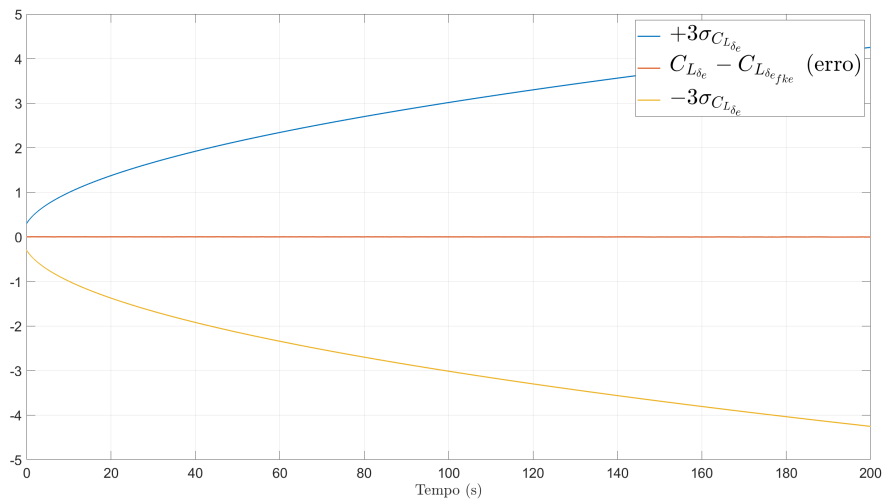


(c) Devido à velocidade de arfagem  $q$ .

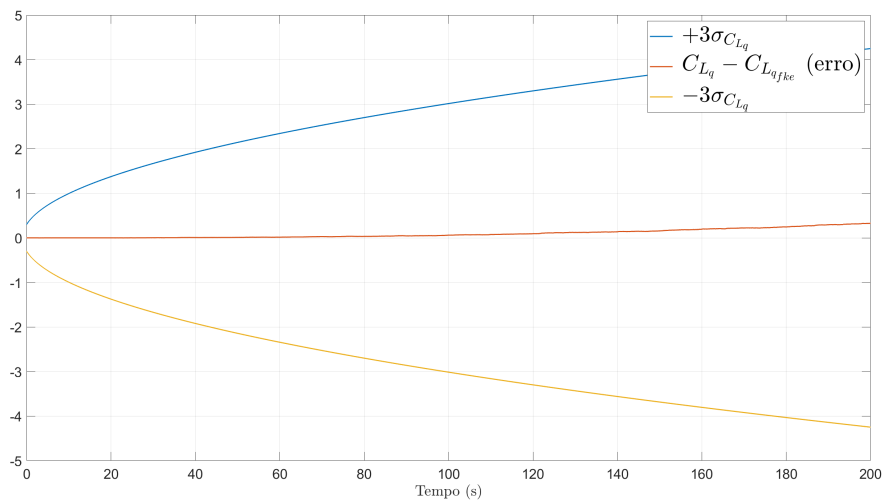
Figura 31 –  $C_L$  estimados e reais (reto e nivelado).



(a) Devido ao ângulo de ataque  $\alpha$ .



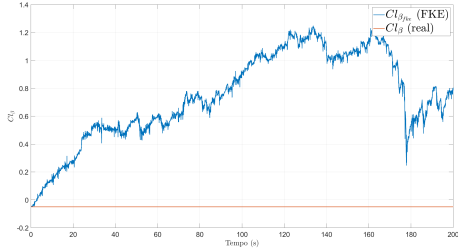
(b) Devido à deflexão angular do profundor  $\delta_e$ .



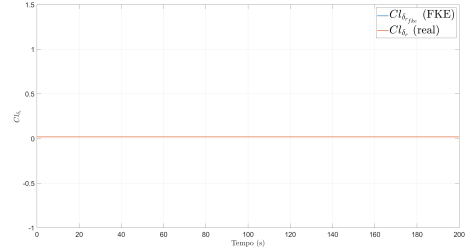
(c) Devido à velocidade de arfagem  $q$ .

Figura 32 – Erros e intervalos de confiança para  $C_L$  (reto e nivelado).

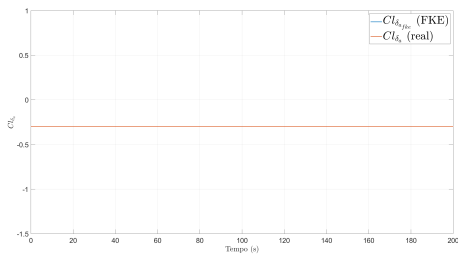
Já para os parâmetros aerodinâmicos de momento, o comportamento foi bem distribuído, com alguns parâmetros sendo perfeitamente estimados e outros saindo dos limites de confiança, como pode ser visto pelas Figs. 33 e 34 abaixo.



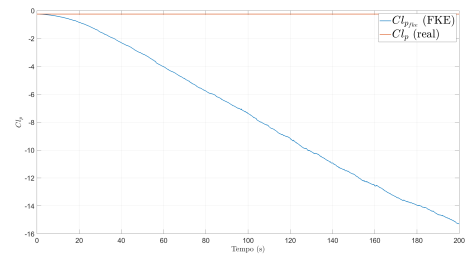
(a) Devido à derrapagem  $\beta$ .



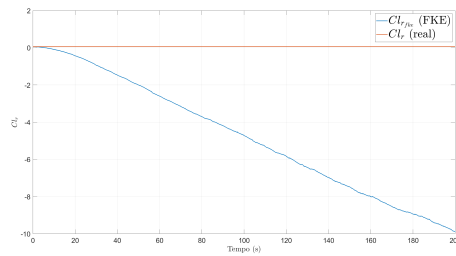
(b) Devido à deflexão angular do leme  $\delta_r$ .



(c) Devido à deflexão angular dos ailerons  $\delta_a$ .

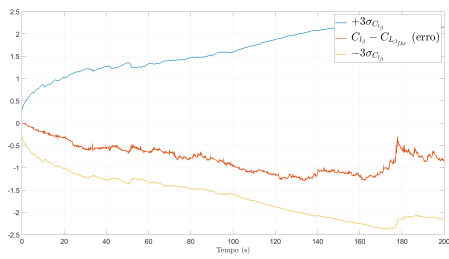


(d) Devido à velocidade de rolagem  $p$ .

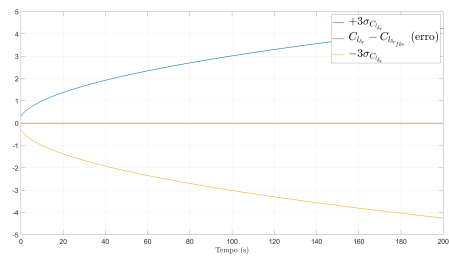


(e) Devido à velocidade de guinada  $r$ .

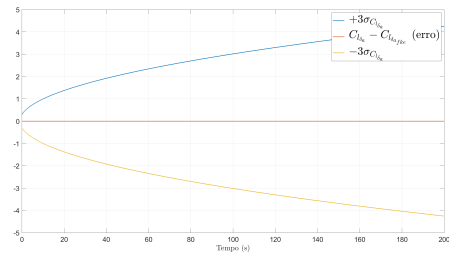
Figura 33 –  $C_l$  estimados e reais (reto e nivelado).



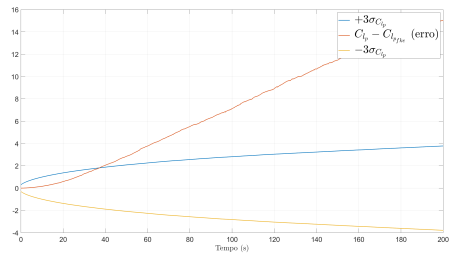
(a) Devido à derrapagem  $\beta$ .



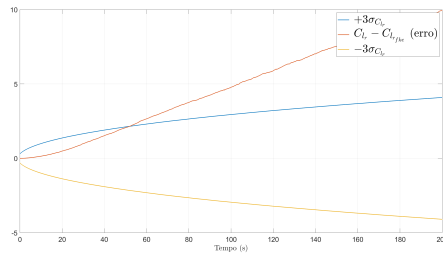
(b) Devido à deflexão angular do leme  $\delta_r$ .



(c) Devido à deflexão angular dos ailerons  $\delta_a$ .



(d) Devido à velocidade de rolagem  $p$ .



(e) Devido à velocidade de guinada  $r$ .

Figura 34 – Erros e intervalos de confiança para  $C_l$  (reto e nivelado).

O comportamento da estimação para  $C_{m_0}$  foi semelhante ao do  $C_{L_0}$ , com a curva da Fig. 35, tendendo a divergir, só sendo possível verificar sua convergência com mais passos de simulação. Contudo, dentro do tempo simulado, o erro ficou dentro dos limites a maior parte do tempo (Fig. 36).

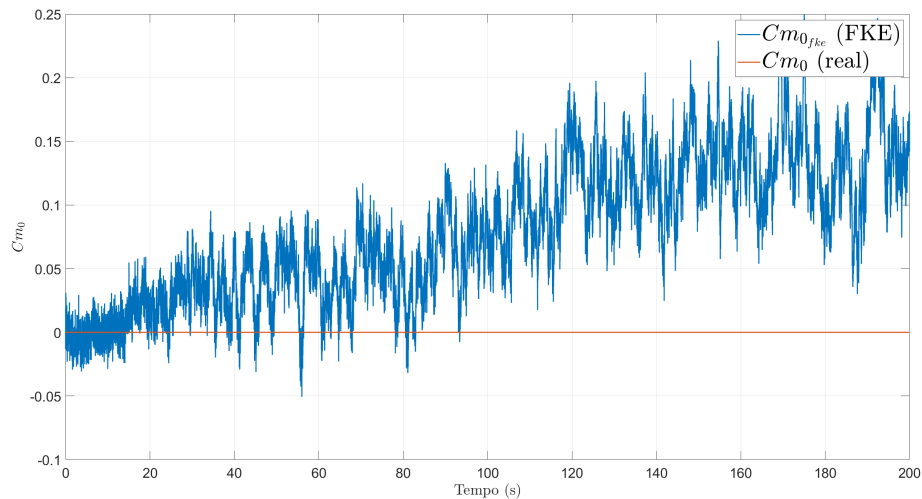


Figura 35 –  $C_{m_0}$  estimado e real (reto e nivelado).

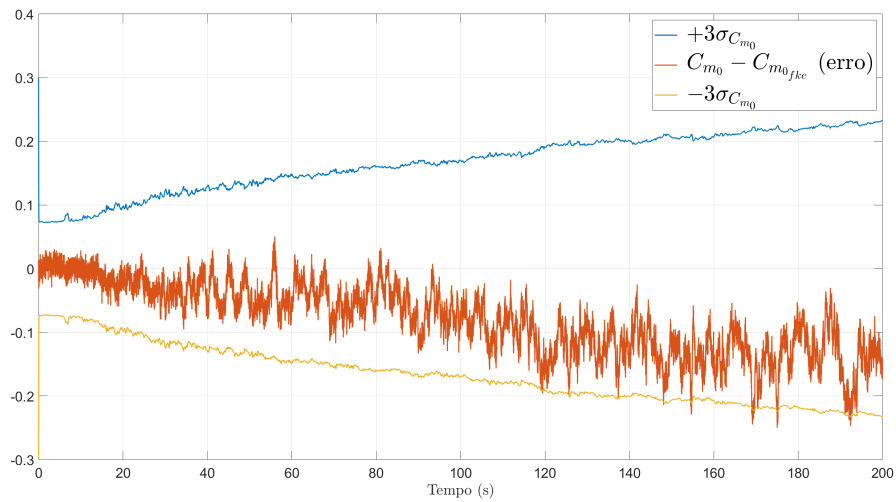
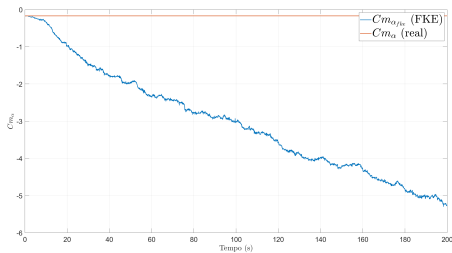
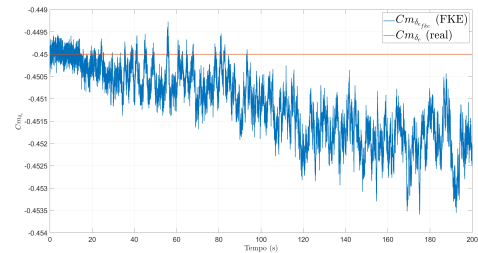


Figura 36 – Erro e intervalo de confiança para  $C_{m_0}$  (reto e nivelado).

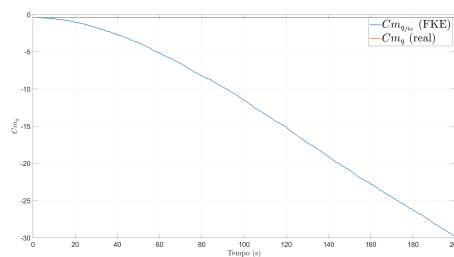
Assim como anteriormente, os parâmetros  $C_{m_\alpha}$  e  $C_{m_q}$  não convergiram e saíram dos batentes de intervalo de confiança, como mostra as Figs. 37 e 38. Apesar disso, o erro de  $C_{m_{\delta_e}}$  se manteve próximo de zero.



(a) Devido ao ângulo de ataque  $\alpha$ .



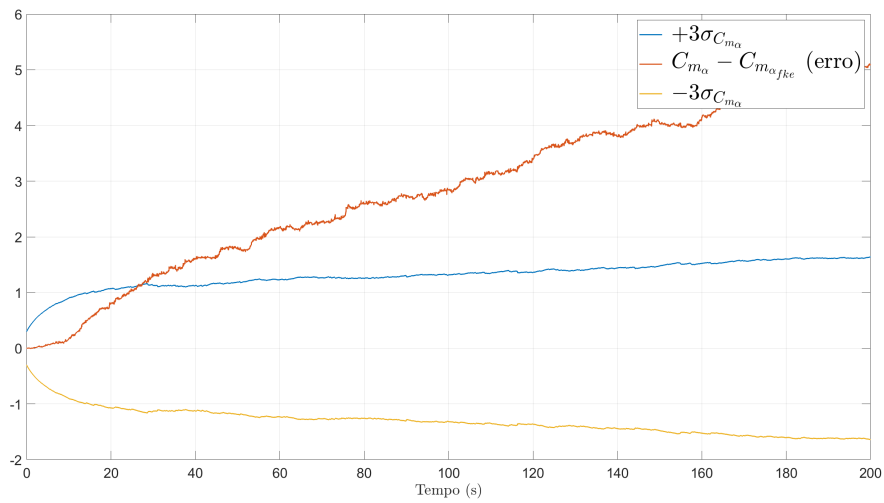
(b) Devido à deflexão angular do profundor  $\delta_e$ .



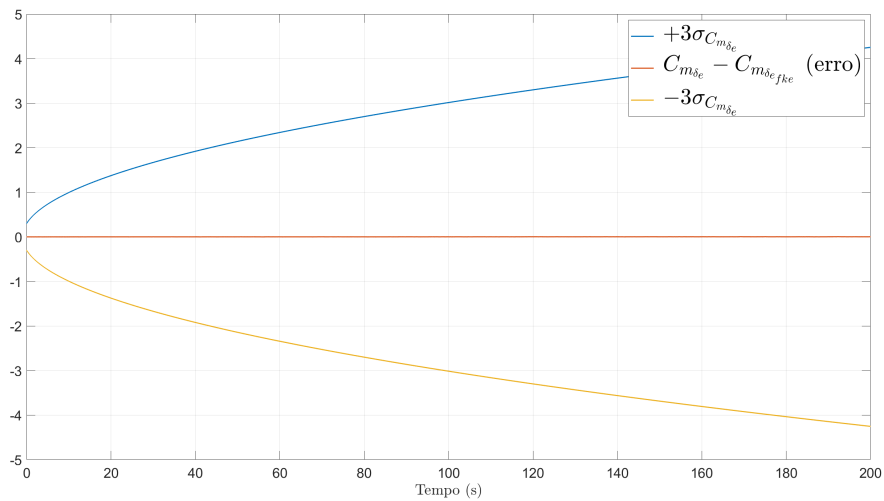
(c) Devido à velocidade de guinada  $q$ .

Figura 37 –  $C_m$  estimados e reais (reto e nivelado).

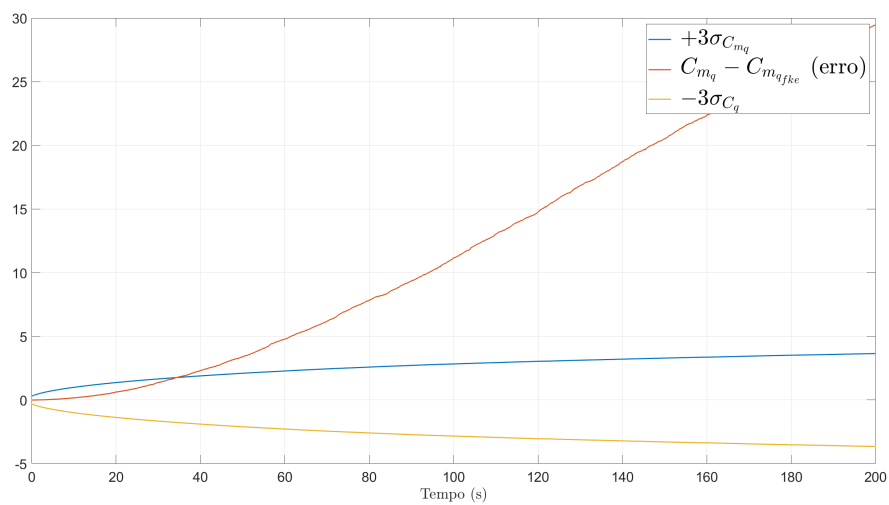




(a) Devido ao ângulo de ataque  $\alpha$ .



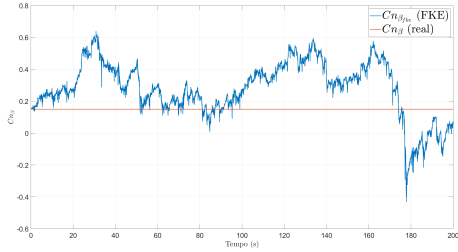
(b) Devido à deflexão angular do profundor  $\delta_e$ .



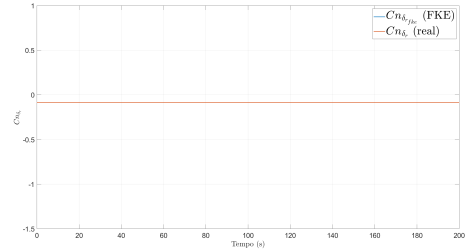
(c) Devido à velocidade de guinada  $q$ .

Figura 38 – Erros e intervalos de confiança para  $C_m$  (reto e nivelado).

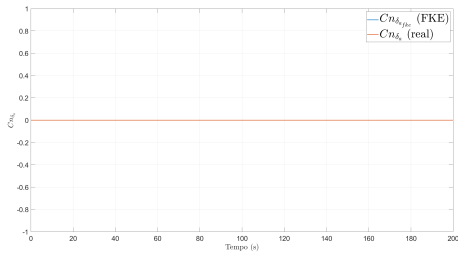
Da mesma maneira que na Fig. 34, os parâmetros de momento de guinada, se comportaram de forma mista e em apenas 2 deles ( $C_{n_{\delta_r}}$  e  $C_{n_{\delta_a}}$ ), a estimação apresentou exatamente o valor real. Já para os demais parâmetros, a convergência não ocorreu e novamente os limites de desvio padrão foram superados, como visto nas Figs. 39 e 40.



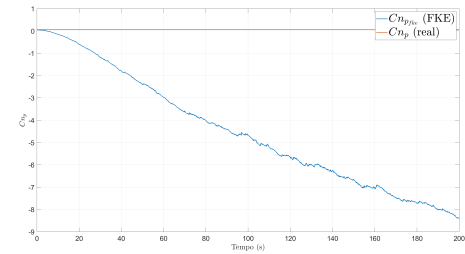
(a) Devido à derrapagem  $\beta$ .



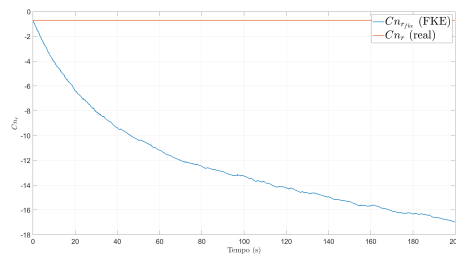
(b) Devido à deflexão angular do leme  $\delta_r$ .



(c) Devido à deflexão angular dos ailerons  $\delta_a$ .

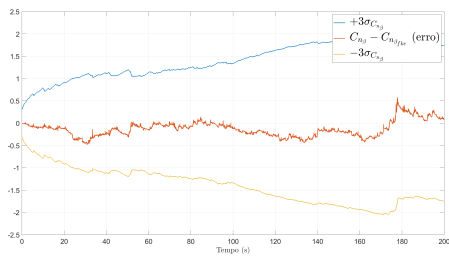


(d) Devido à velocidade de rolagem  $p$ .

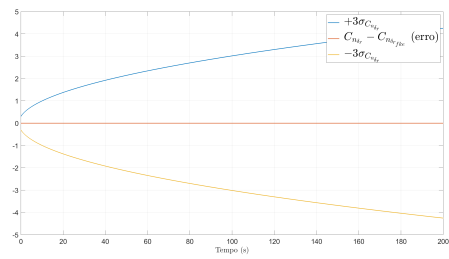


(e) Devido à velocidade de guinada  $r$ .

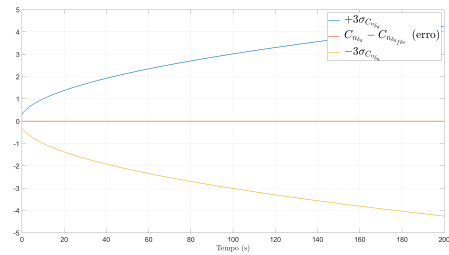
Figura 39 –  $C_n$  estimados e reais (reto e nivelado).



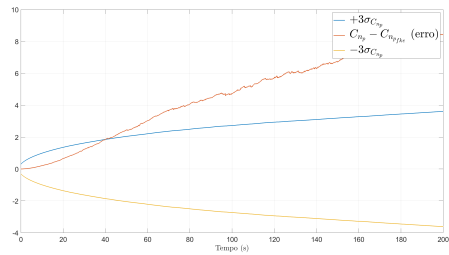
(a) Devido à derrapagem  $\beta$ .



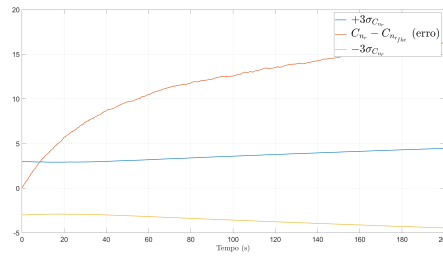
(b) Devido à deflexão angular do leme  $\delta_r$ .



(c) Devido à deflexão angular dos ailerons  $\delta_a$ .



(d) Devido à velocidade de rolagem  $p$ .

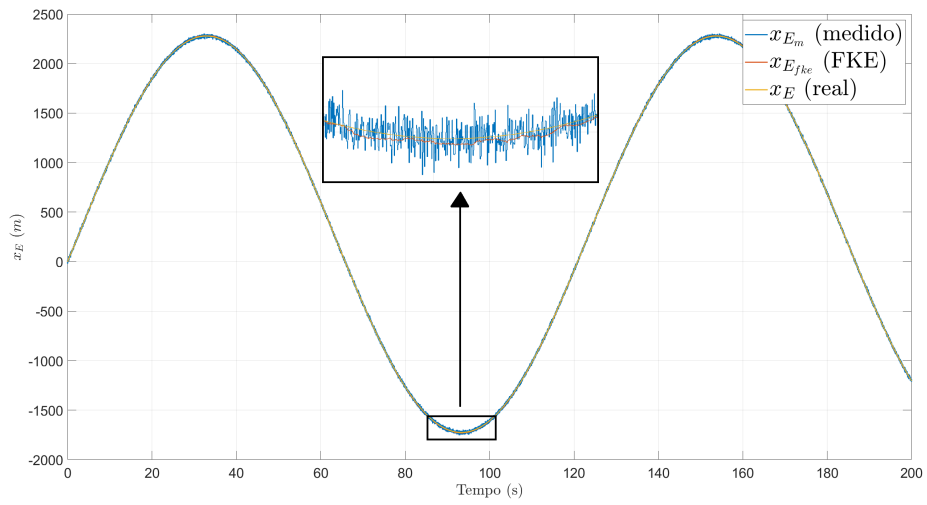


(e) Devido à velocidade de guinada  $r$ .

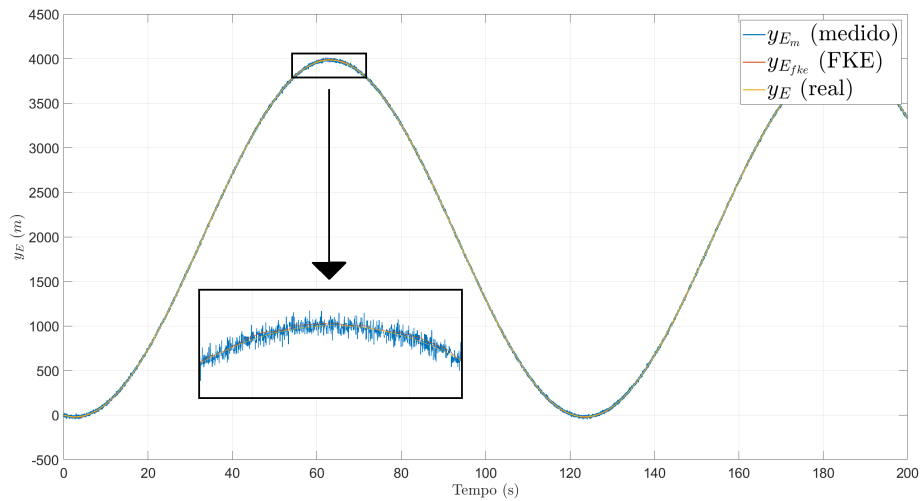
Figura 40 – Erros e intervalos de confiança para  $C_n$  (reto e nivelado).

### 6.1.2 Condição de curva coordenada

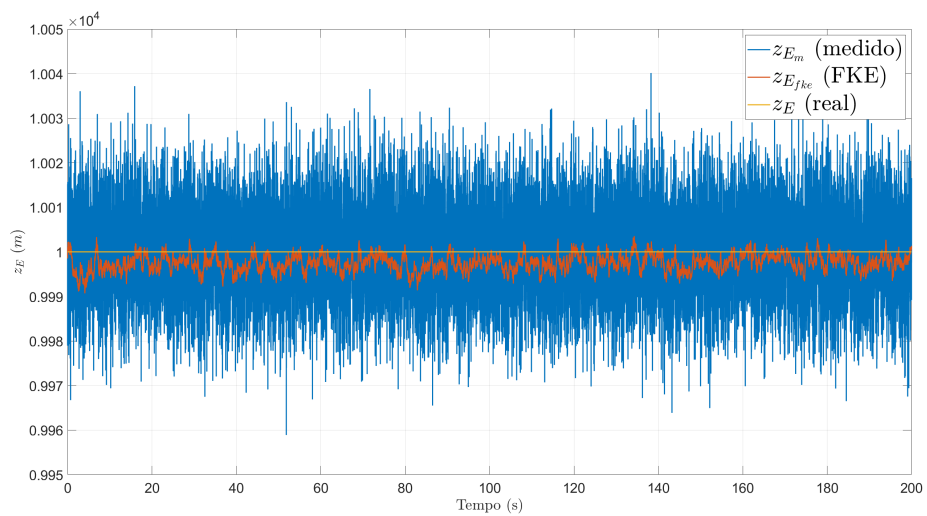
Na Fig. 41 estão as estimações das posições lineares  $x_E$ ,  $y_E$  e  $z_E$  para a curva coordenada. Percebe-se o mesmo comportamento visto na condição de voo reto e nivelado, a sintonização e inicialização do filtro foram satisfatórias e o erro (Fig. 42), que apesar de estar em alguns momentos fora dos limites do intervalo de confiança, se estabilizou na maioria do tempo.



(a) Posição linear  $x_E$ .

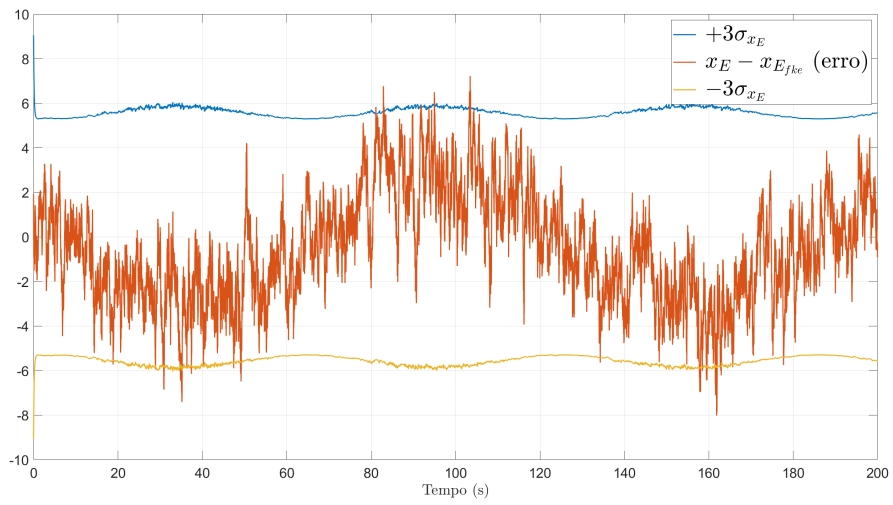


(b) Posição linear  $y_E$ .

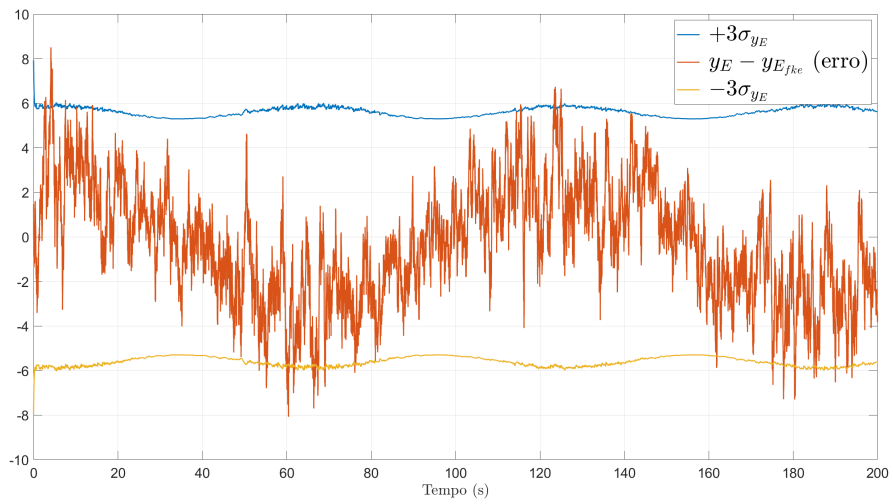


(c) Posição linear  $z_E$ .

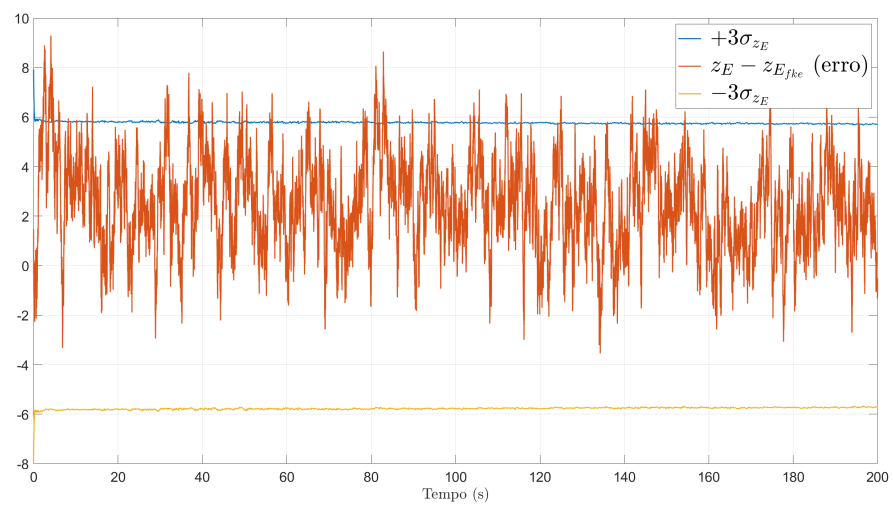
Figura 41 – Posições lineares medidas, estimadas e reais (curva coordenada).



(a) Posição linear  $x_E$ .



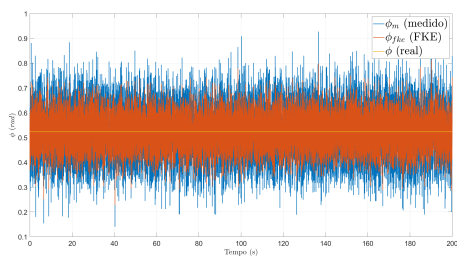
(b) Posição linear  $y_E$ .



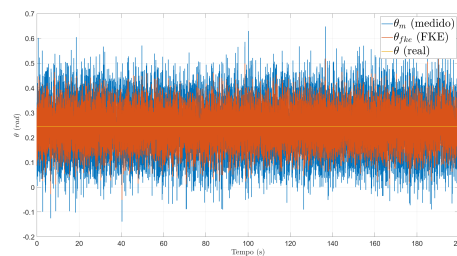
(c) Posição linear  $z_E$ .

Figura 42 – Erros e intervalos de confiança para as posições lineares (curva coordenada).

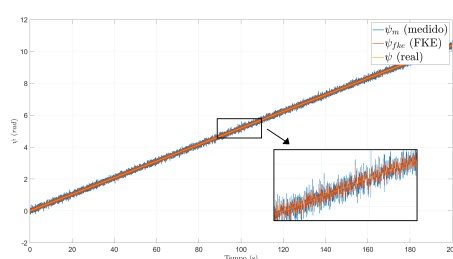
O mesmo padrão visto no voo reto e nivelado para as posições angulares  $\phi$ ,  $\theta$  e  $\psi$  (Fig. 43 e 44) é verificado para a curva coordenada, onde o FKE cumpre seu trabalho de filtrar o ruído vindo do giroscópio.



(a) Posição angular  $\phi$ .

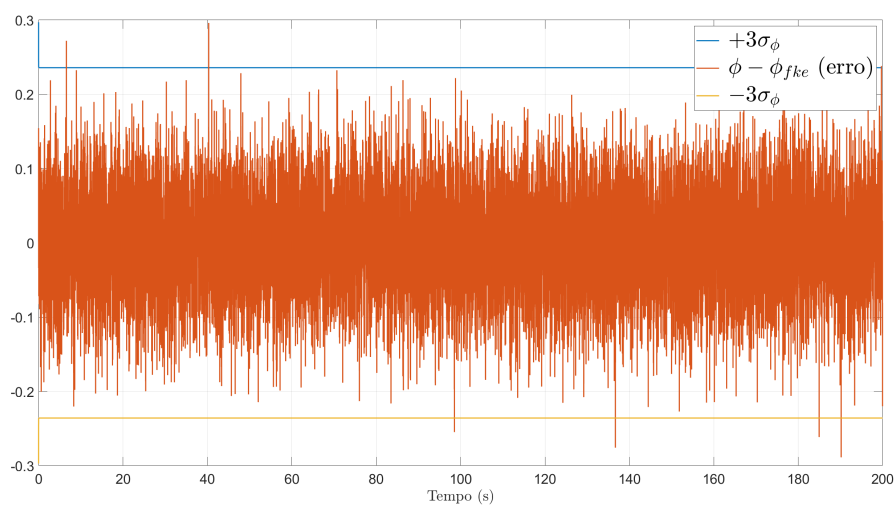


(b) Posição linear  $\theta$ .

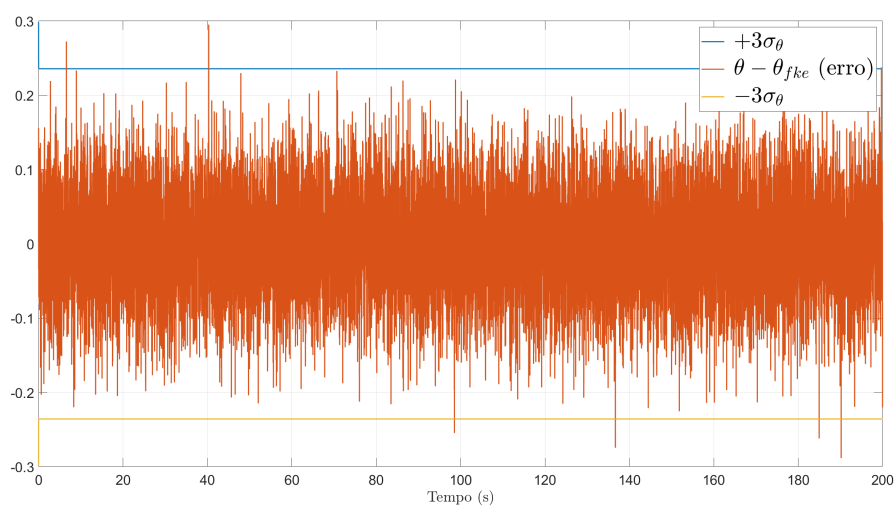


(c) Posição linear  $\psi$ .

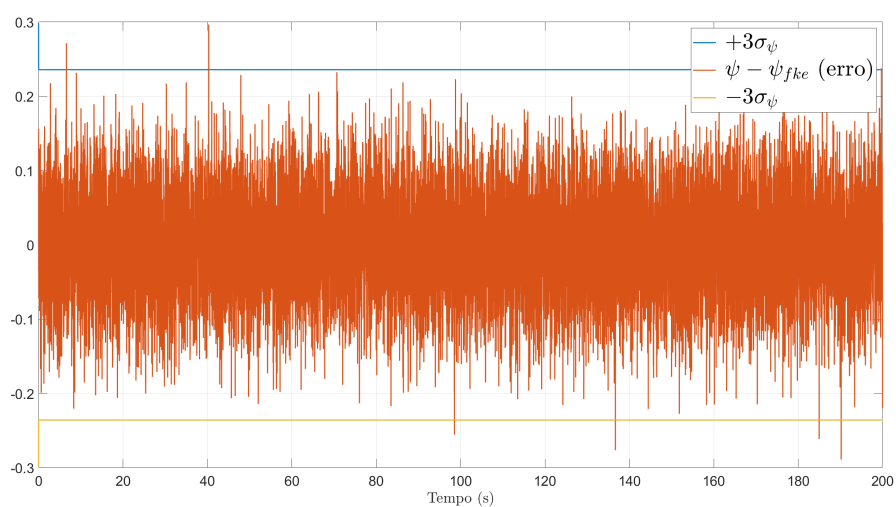
Figura 43 – Posições angulares medidas, estimadas e reais (curva coordenada).



(a) Posição angular  $\phi$ .



(b) Posição linear  $\theta$ .



(c) Posição linear  $\psi$ .

Figura 44 – Erros e intervalos de confiança para as posições angulares (curva coordenada).

Um padrão semelhante visto no voo reto e nivelado também é observado para as velocidades lineares  $u$  e  $w$  da Fig. 45. O FKE sofreu um pouco mais de dificuldade para estabilizar, e somente a velocidade  $v$  ficou fora do intervalo de confiança (Fig. 46). Vale lembrar novamente que as velocidades lineares não são medidas diretamente, fazendo o FKE ter um pouco mais de dificuldade de estimar esses parâmetros. Já para as velocidades angulares  $p$ ,  $q$  e  $r$ , o FKE se comportou melhor (Figs. 47 e 48) e obteve o mesmo padrão do visto no voo reto e nivelado.

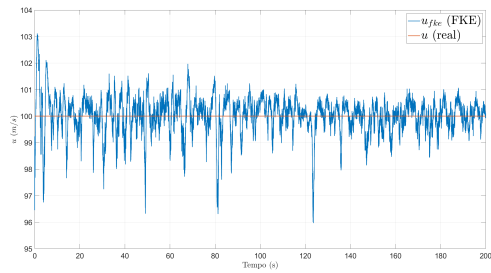
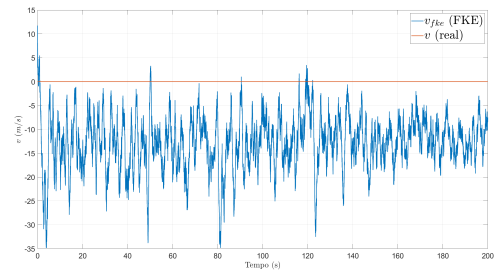
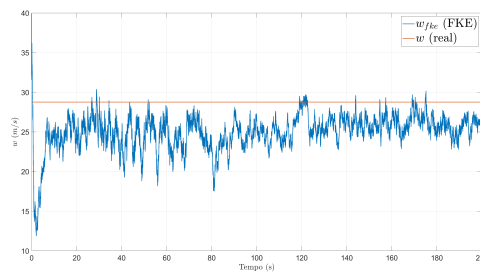
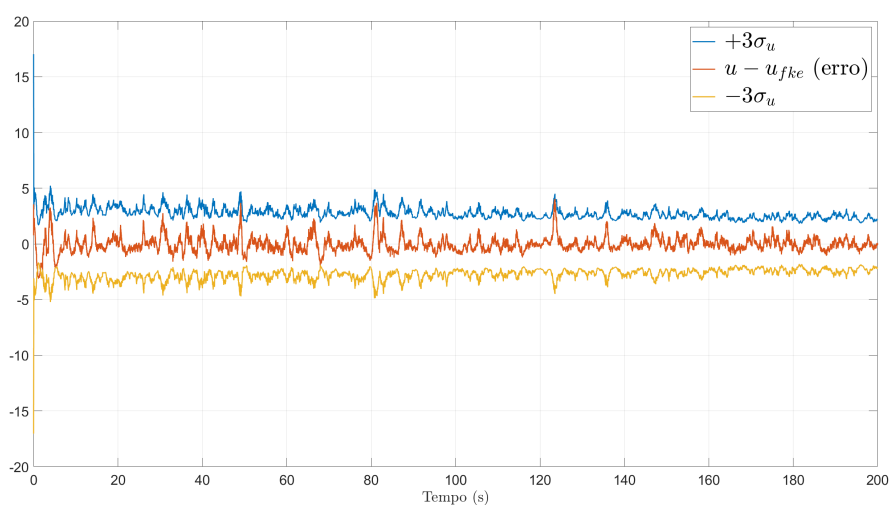
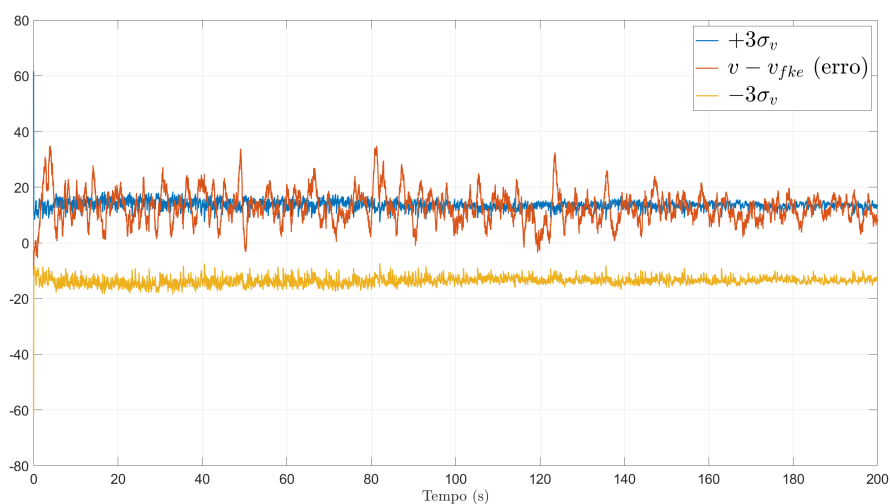
(a) Velocidade linear  $u$ .(b) Velocidade linear  $v$ .(c) Velocidade linear  $w$ .

Figura 45 – Velocidades lineares estimadas e reais (curva coordenada).

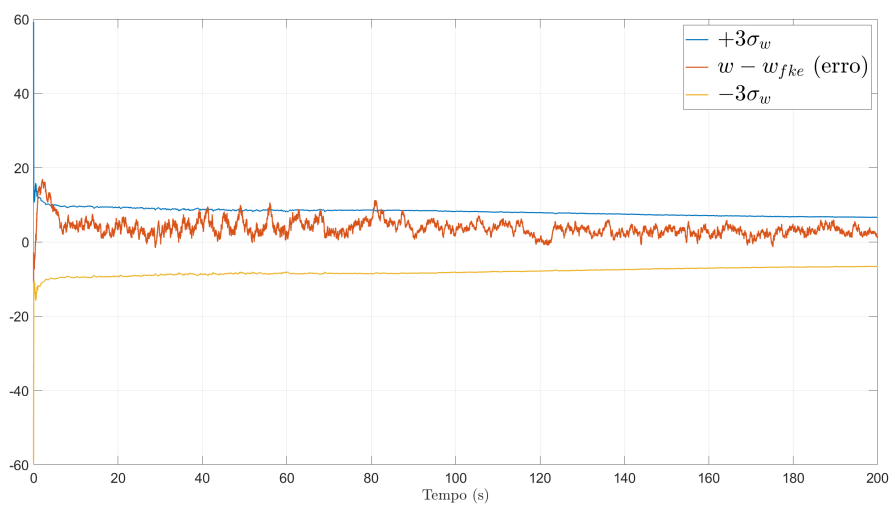




(a) Velocidade linear  $u$ .

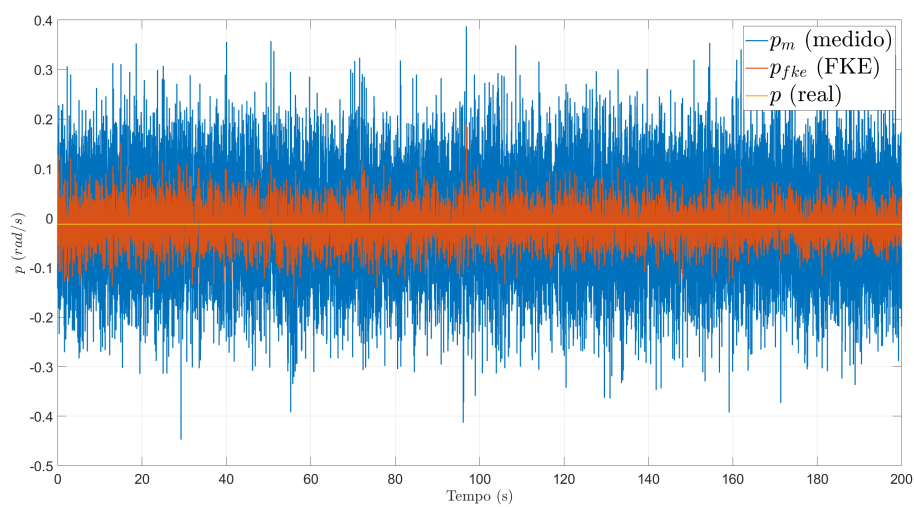


(b) Velocidade linear  $v$ .

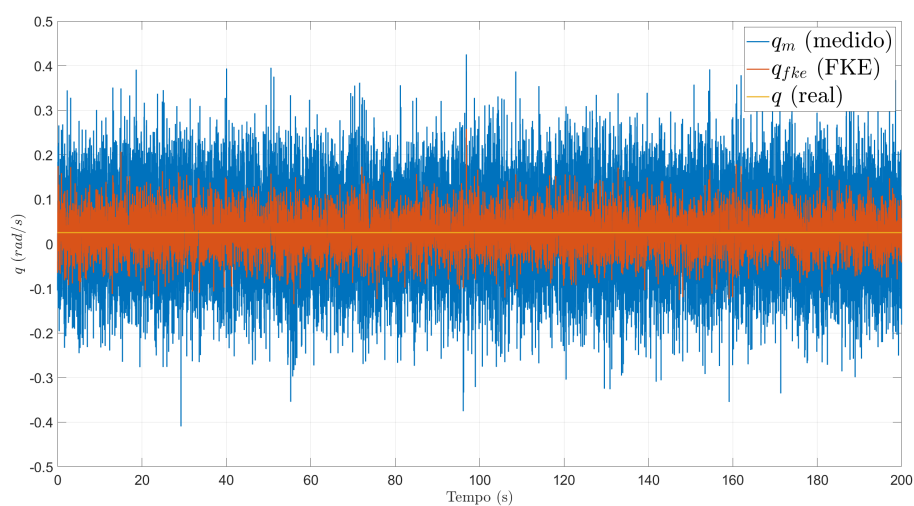


(c) Velocidade linear  $w$ .

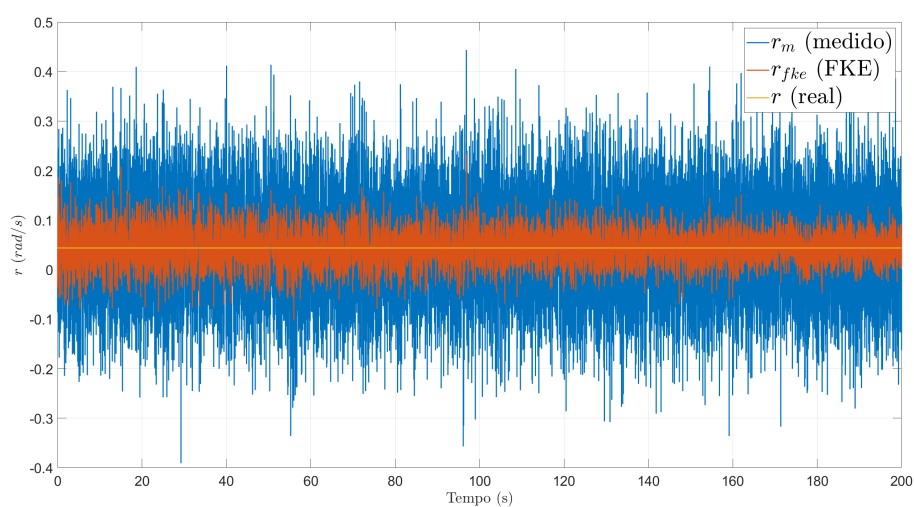
Figura 46 – Erros e intervalos de confiança para as velocidades lineares (curva coordenada).



(a) Velocidade angular  $p$ .

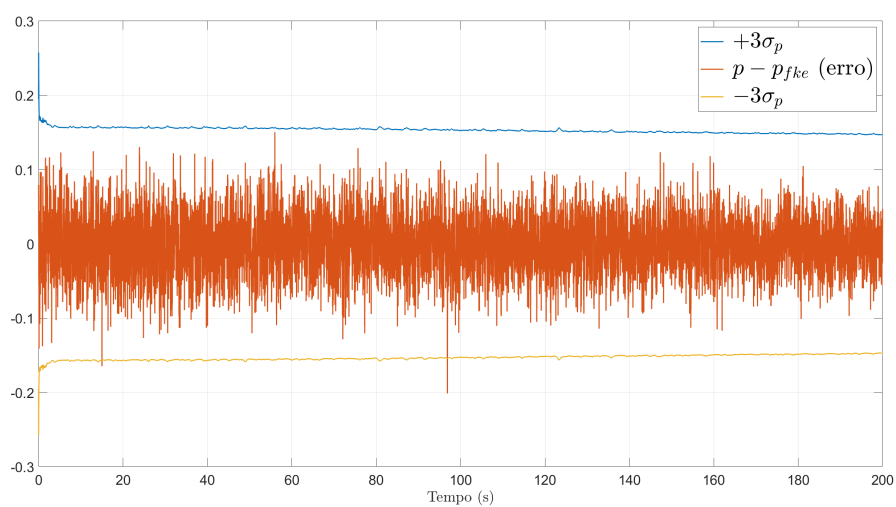


(b) Velocidade angular  $q$ .

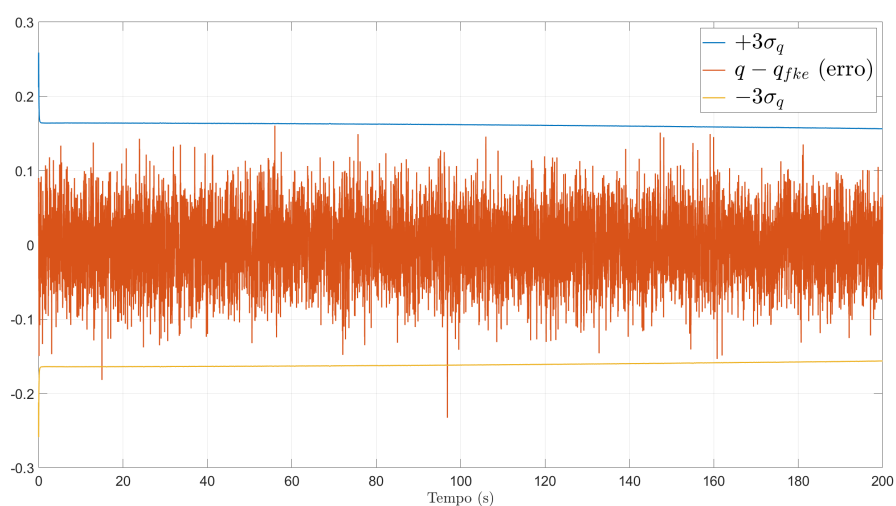


(c) Velocidade angular  $r$ .

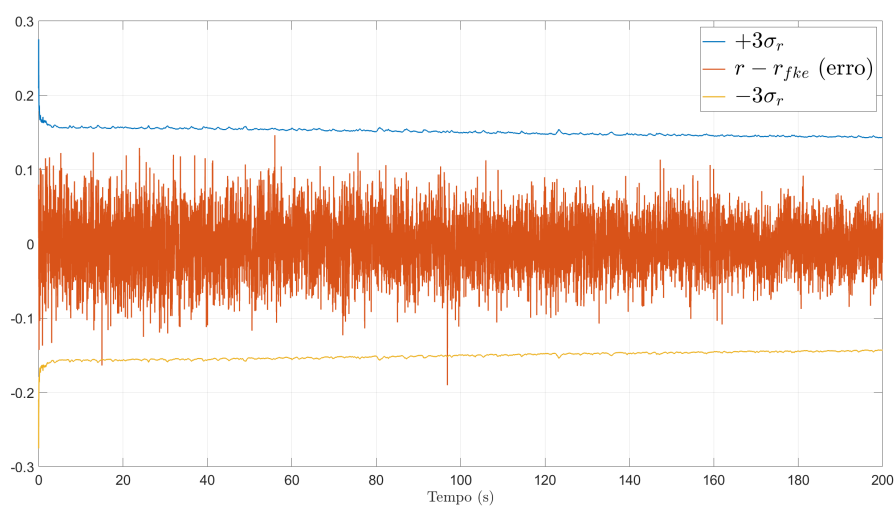
Figura 47 – Velocidades angulares medidas, estimadas e reais (curva coordenada).



(a) Velocidade angular  $p$ .



(b) Velocidade angular  $q$ .



(c) Velocidade angular  $r$ .

Figura 48 – Erros e intervalos de confiança para as velocidades angulares (curva coordenada).

Partindo para a análise dos parâmetros aerodinâmicos, o FKE também fez um bom trabalho estimando  $C_{D_0}$  para a condição de curva coordenada (Fig. 49), com o erro absoluto dentro do intervalo de confiança (Fig. 50).

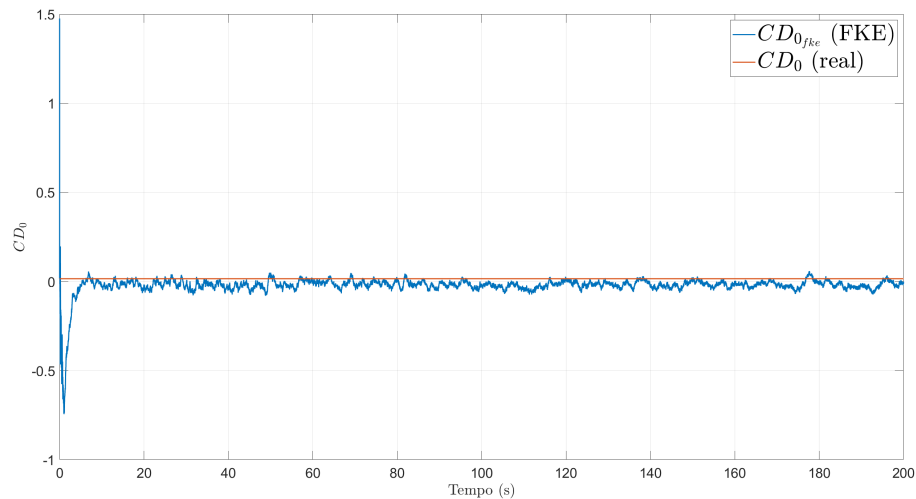


Figura 49 –  $C_{D_0}$  estimado e real (curva coordenada).

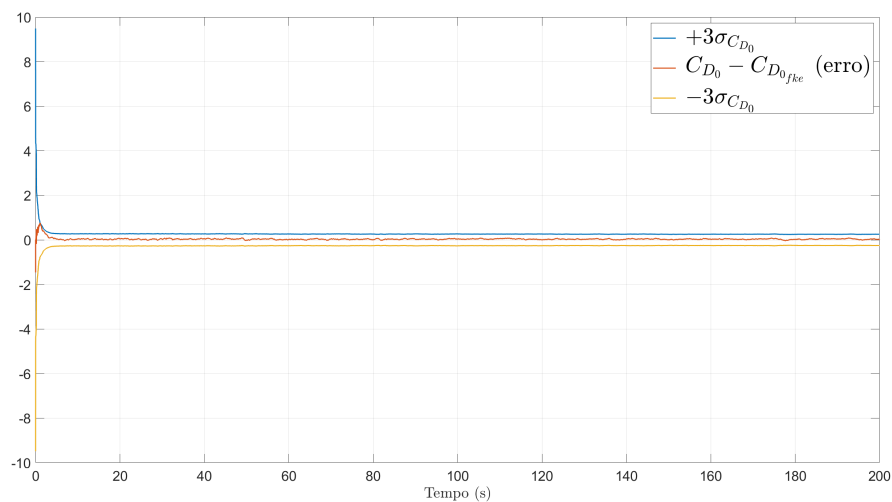
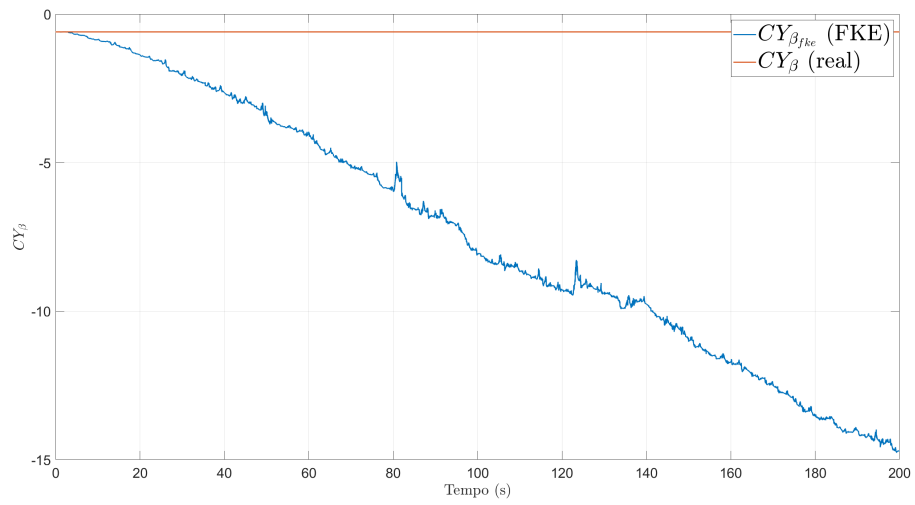
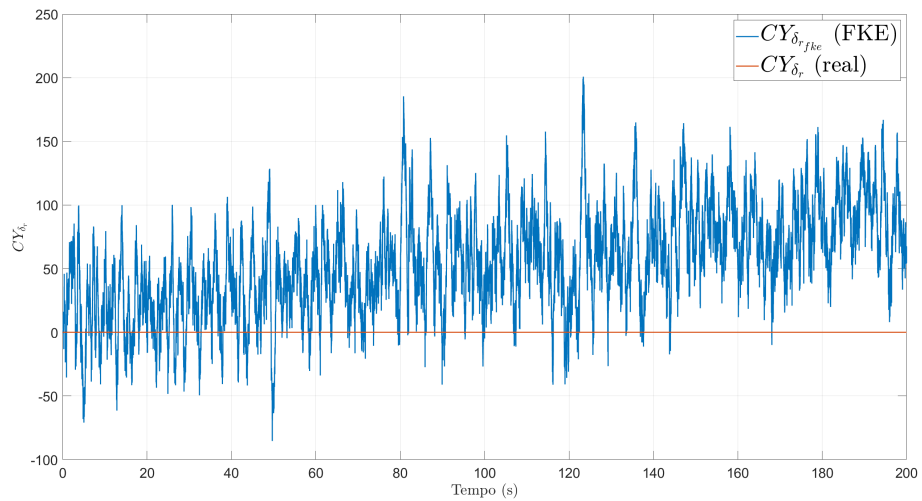


Figura 50 – Erro e intervalo de confiança para  $C_{D_0}$  (curva coordenada).

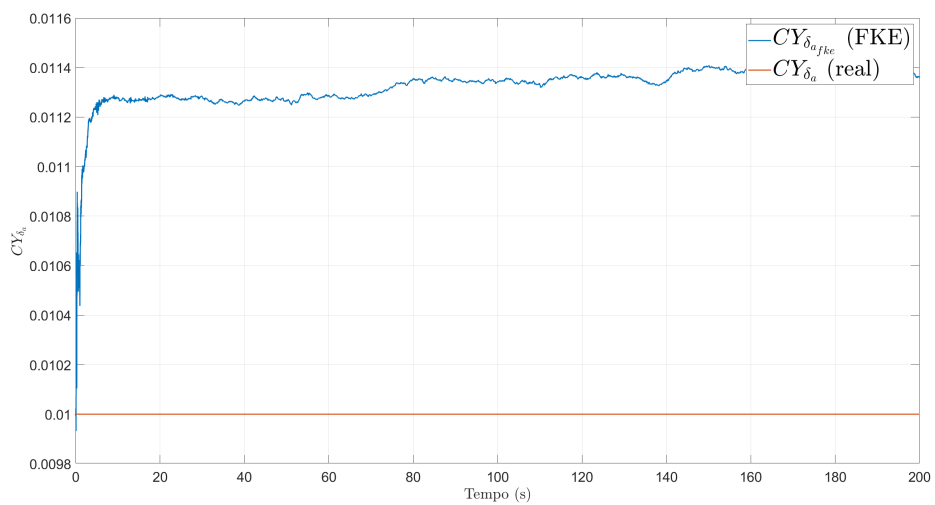
Para os parâmetros de força lateral, somente  $C_{Y_\beta}$  e  $C_{Y_{\delta_r}}$  não apresentaram um resultado esperado (Figs. 51 e 52), tendo seus valores e erros divergindo com o tempo e não estabilizando a depender da inicialização. Como falado na condição de voo e nivelado, diversas sintonias também foram feitas para se obter uma curva que se aproximasse do valor real, porém, nenhuma foi encontrada.



(a) Devido à derrapagem  $\beta$ .

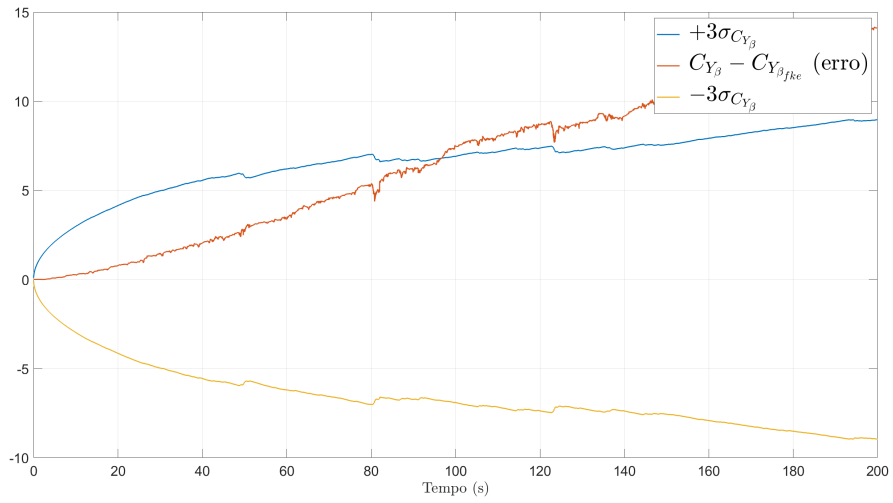


(b) Devido à deflexão angular do leme  $\delta_r$ .

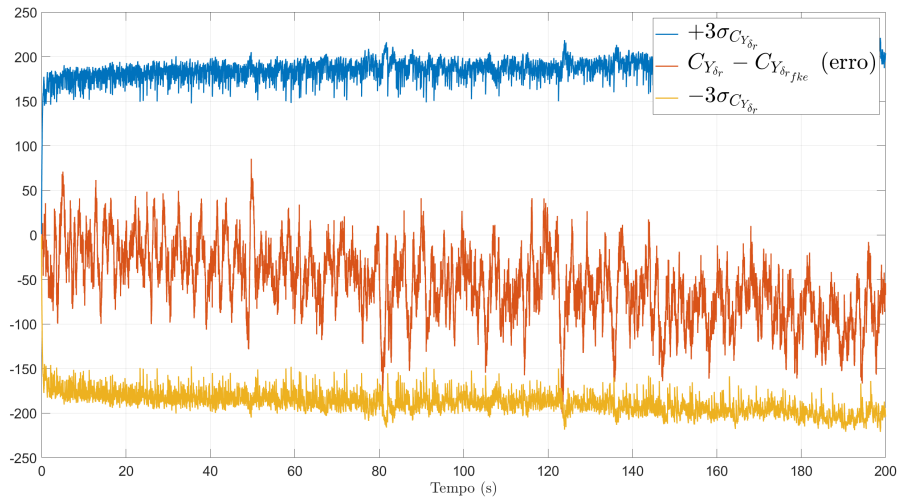


(c) Devido à deflexão angular dos ailerons  $\delta_a$ .

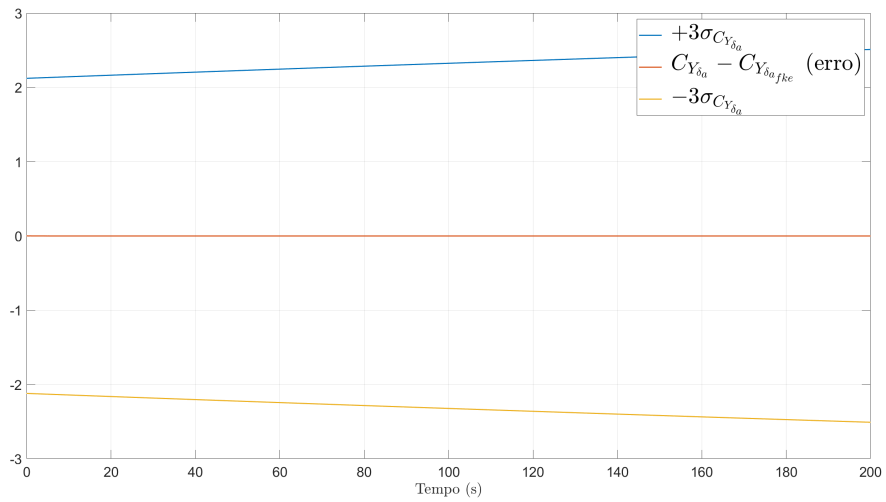
Figura 51 –  $C_Y$  estimados e reais (curva coordenada).



(a) Devido à derrapagem  $\beta$ .



(b) Devido à deflexão angular do leme  $\delta_r$ .



(c) Devido à deflexão angular dos ailerons  $\delta_a$ .

Figura 52 – Erros e intervalos de confiança para  $C_Y$  (curva coordenada).

Assim como na condição de voo reto e nivelado, o comportamento de  $C_{L_0}$ , tendeu a divergir com o tempo (Fig. 53). Diversas sintonizações foram feitas, mas nenhuma foi capaz de fazer a curva convergir para o valor real. Contudo, dentro do tempo de 200 s simulado, o erro (Fig. 54) ficou dentro dos limites estabelecidos pelo desvio padrão.

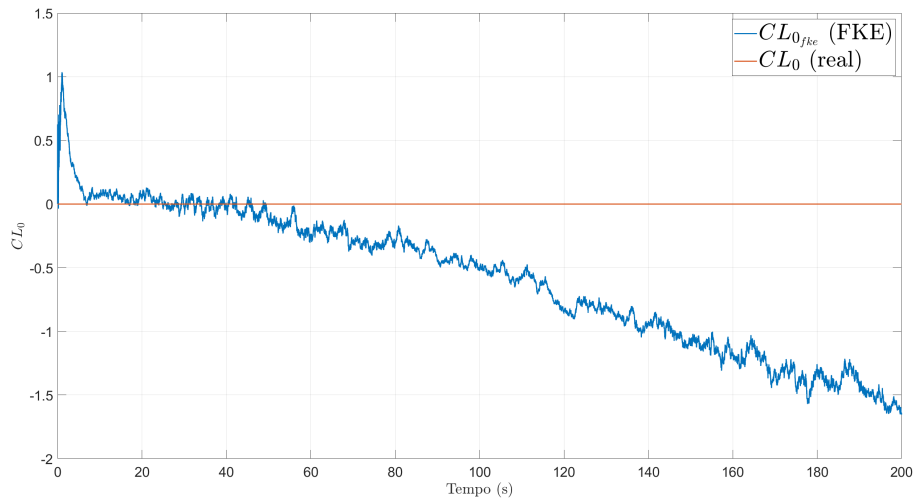


Figura 53 –  $C_{L_0}$  estimado e real (curva coordenada).

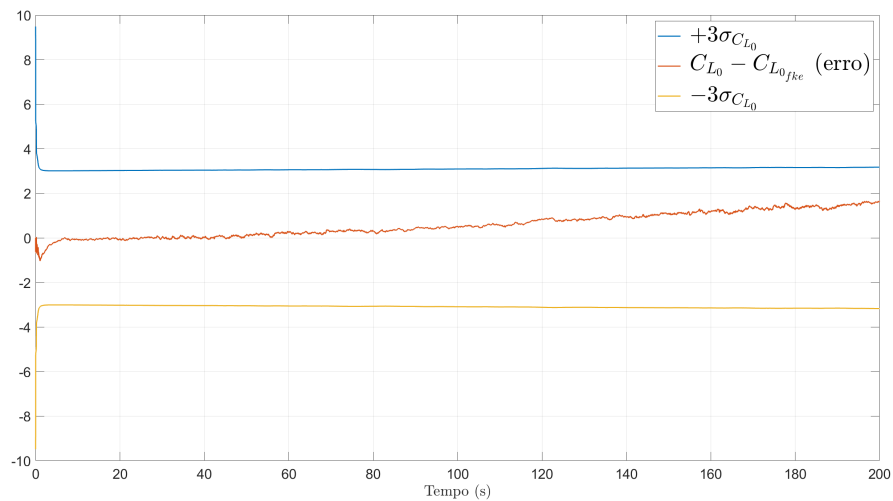
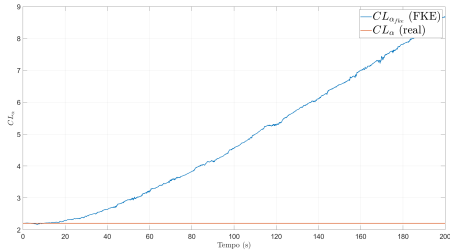
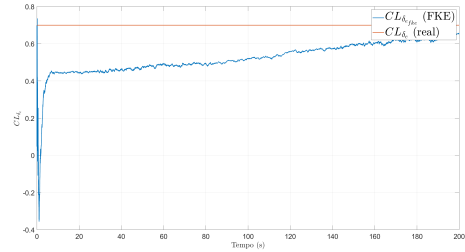


Figura 54 – Erro e intervalo de confiança para  $C_{L_0}$  (curva coordenada).

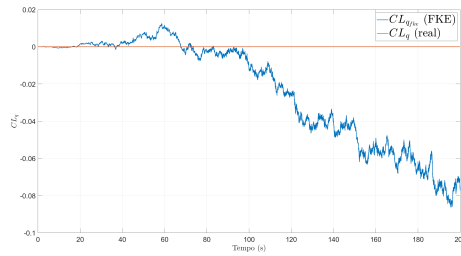
Um comportamento diferente do observado na condição de voo reto e nivelado foi apresentado para os coeficientes  $C_{L_\alpha}$  e  $C_{L_q}$ , que tiveram tendências divergentes, enquanto que  $C_{L_{\delta_e}}$  convergiu para o valor real (Fig. 55). O mesmo acontece com os erros (Fig. 56), com apenas  $C_{L_\alpha}$  ficando fora dos limites de desvio padrão.



(a) Devido ao ângulo de ataque  $\alpha$ .



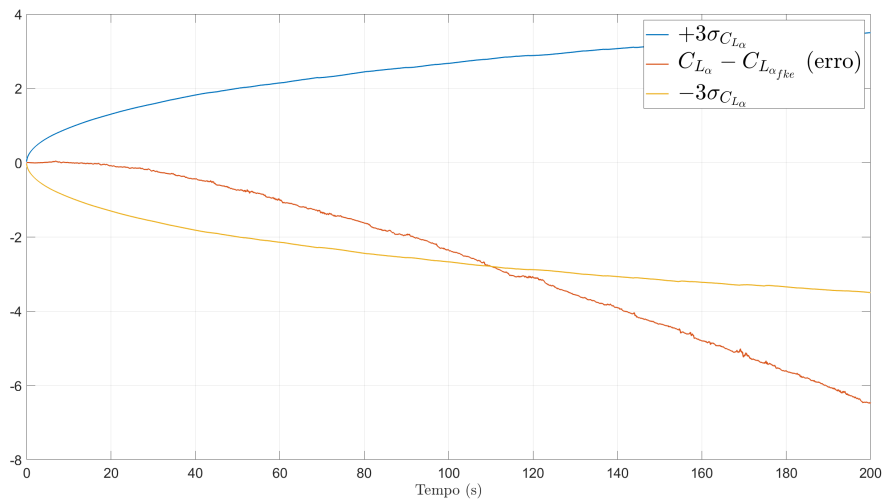
(b) Devido à deflexão angular do profundor  $\delta_e$ .



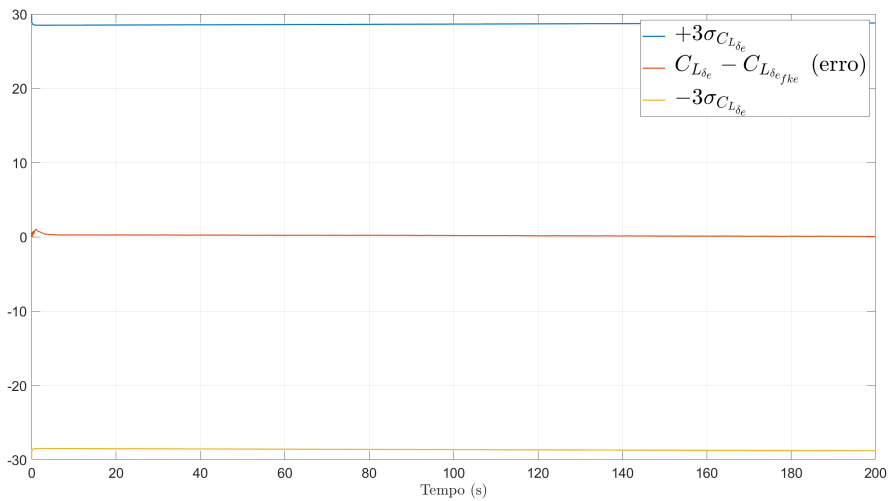
(c) Devido à velocidade de arfagem  $q$ .

Figura 55 –  $C_L$  estimados e reais (curva coordenada).

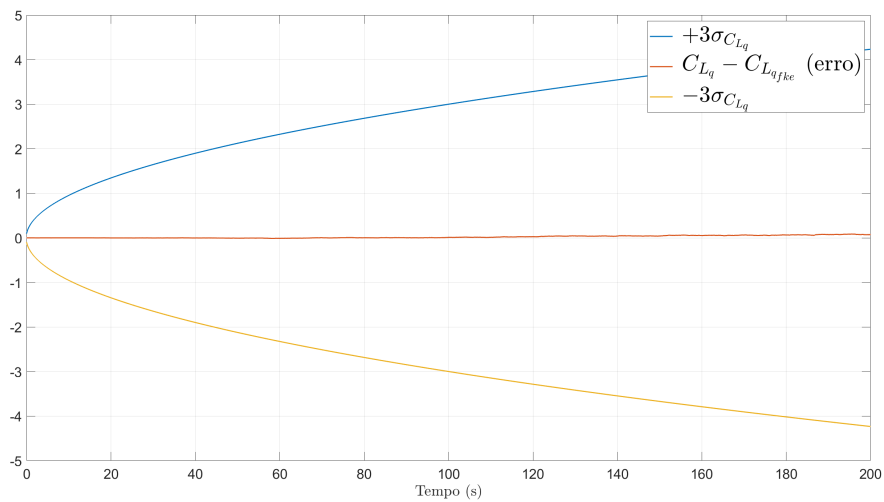




(a) Devido ao ângulo de ataque  $\alpha$ .



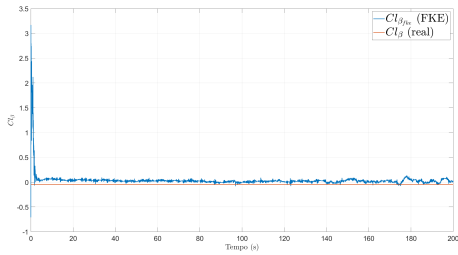
(b) Devido à deflexão angular do profundor  $\delta_e$ .



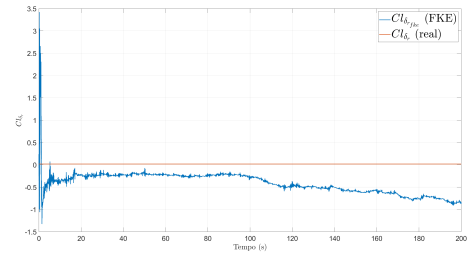
(c) Devido à velocidade de arfagem  $q$ .

Figura 56 – Erros e intervalos de confiança para  $C_L$  (curva coordenada).

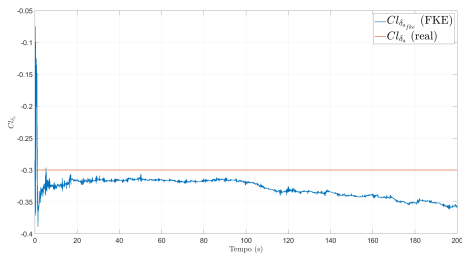
Já para os parâmetros aerodinâmicos de momento, o comportamento foi semelhante ao da condição de voo reto e nivelado, sendo bem distribuído, com alguns parâmetros sendo bem estimados ( $C_{l_{\beta}}$ ,  $C_{l_{\delta_r}}$  e  $C_{l_{\delta_a}}$ ) e outros ( $C_{l_p}$  e  $C_{l_r}$ ) saindo dos limites de confiança, como pode ser visto pelas Figs. 57 e 58 abaixo.



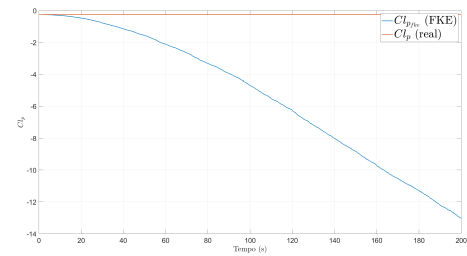
(a) Devido à derrapagem  $\beta$ .



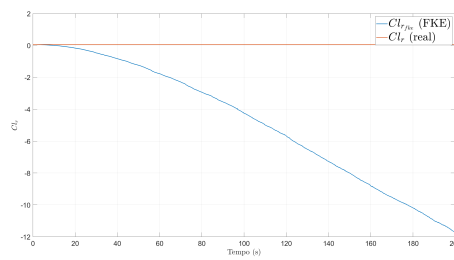
(b) Devido à deflexão angular do leme  $\delta_r$ .



(c) Devido à deflexão angular dos ailerons  $\delta_a$ .

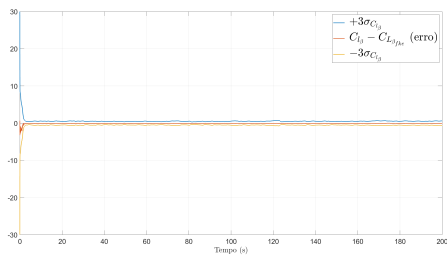


(d) Devido à velocidade de rolagem  $p$ .

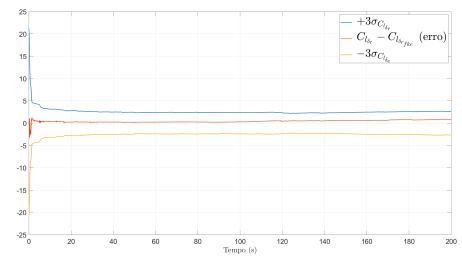


(e) Devido à velocidade de guinada  $r$ .

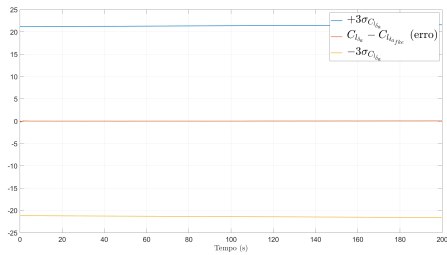
Figura 57 –  $C_l$  estimados e reais (curva coordenada).



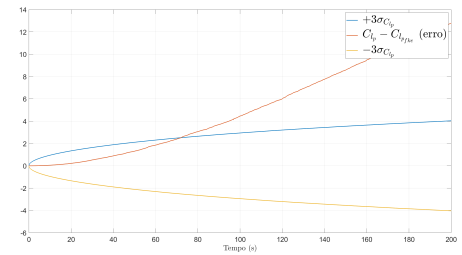
(a) Devido à derrapagem  $\beta$ .



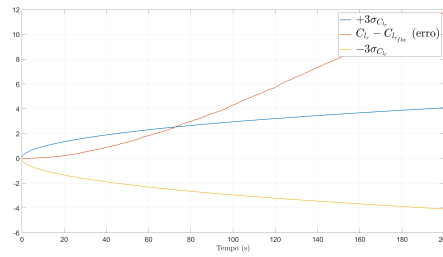
(b) Devido à deflexão angular do leme  $\delta_r$ .



(c) Devido à deflexão angular dos ailerons  $\delta_a$ .



(d) Devido à velocidade de rolagem  $p$ .



(e) Devido à velocidade de guinada  $r$ .

Figura 58 – Erros e intervalos de confiança para  $C_l$  (curva coordenada).

O comportamento da estimação para  $C_{m_0}$  para a condição de curva coordenada foi semelhante visto na condição de voo reto e nivelado, com a curva da Fig. 59 tendendo a divergir. Contudo, dentro do tempo simulado, o erro ficou dentro dos limites a maior parte do tempo (Fig. 60).

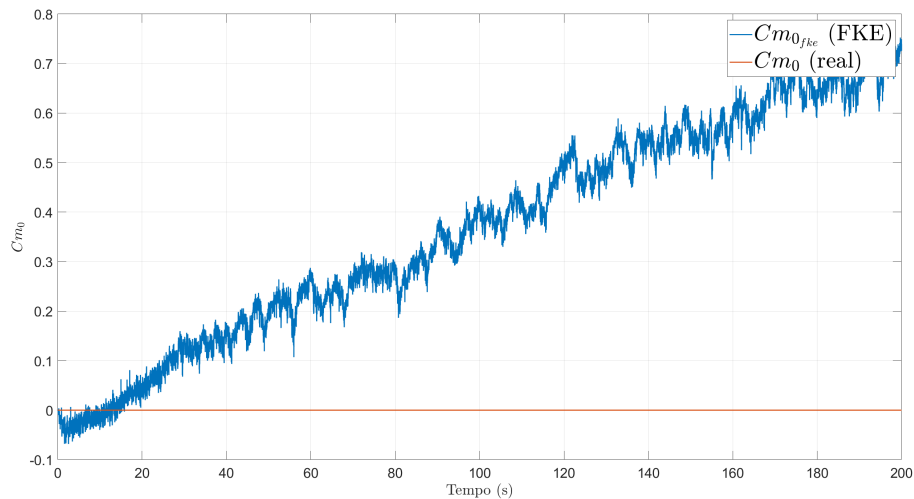


Figura 59 –  $C_{m_0}$  estimado e real (curva coordenada).

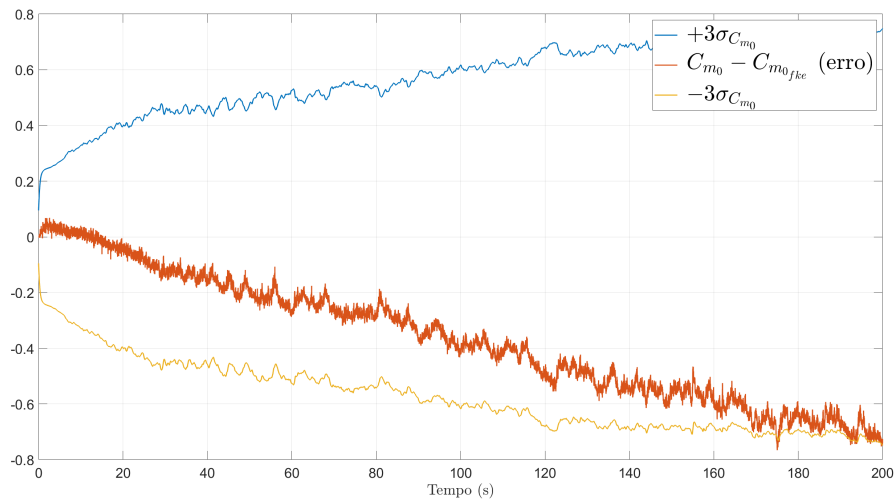
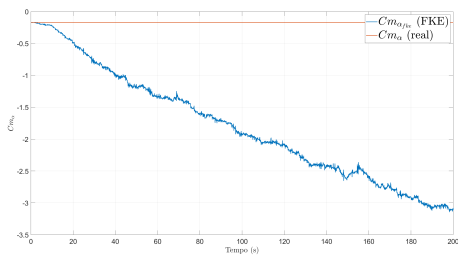
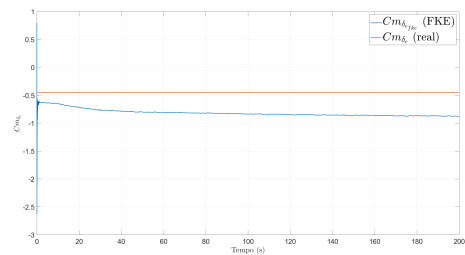


Figura 60 – Erro e intervalo de confiança para  $C_{m_0}$  (curva coordenada).

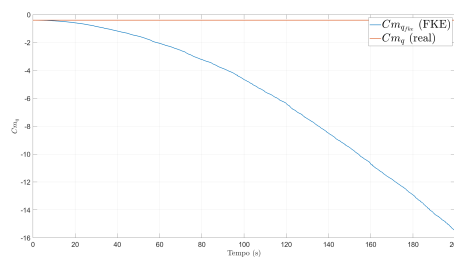
Assim como na condição de voo reto e nivelado, os parâmetros  $C_{m_\alpha}$  e  $C_{m_q}$  não convergiram e saíram dos batentes de intervalo de confiança, como mostra as Figs. 61 e 62. Além disso, o valor e erro de  $C_{m_{\delta_e}}$  ficaram dentro dos limites.



(a) Devido ao ângulo de ataque  $\alpha$ .

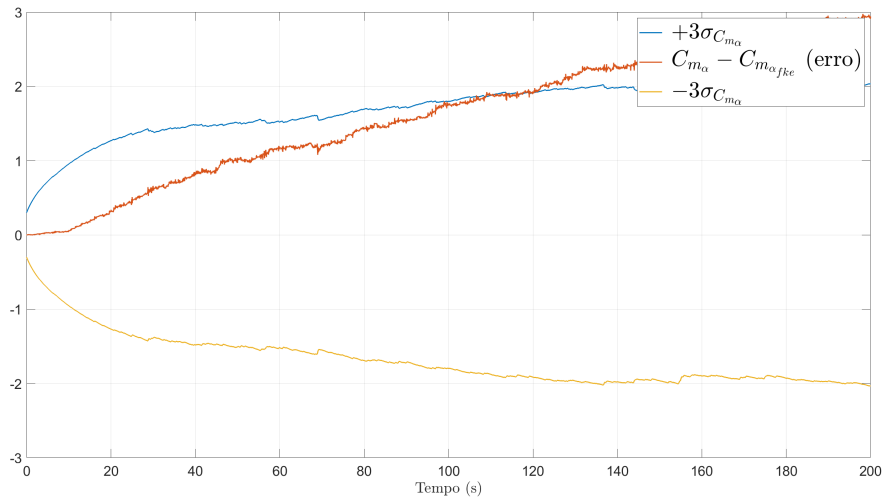


(b) Devido à deflexão angular do profundor  $\delta_e$ .

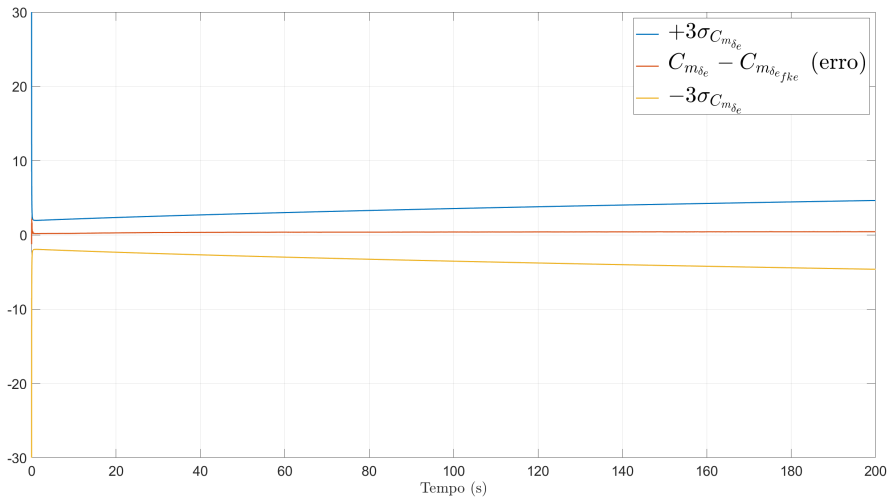


(c) Devido à velocidade de guinada  $q$ .

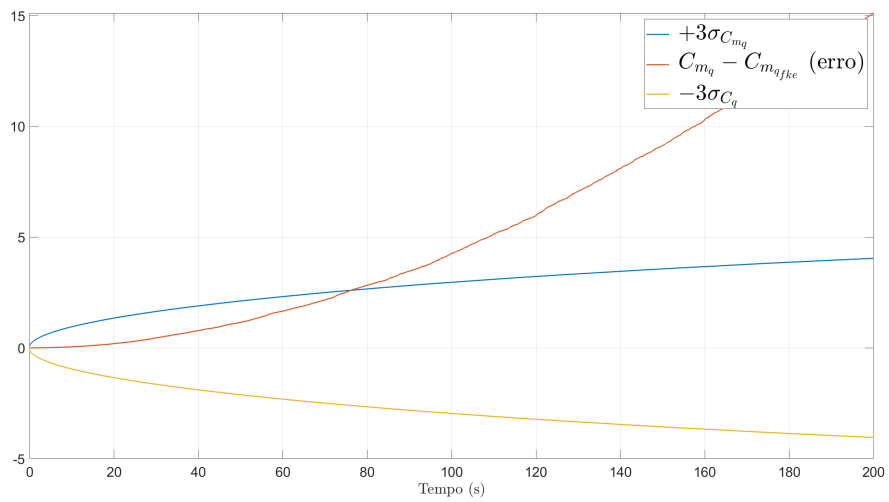
Figura 61 –  $C_m$  estimados e reais (curva coordenada).



(a) Devido ao ângulo de ataque  $\alpha$ .



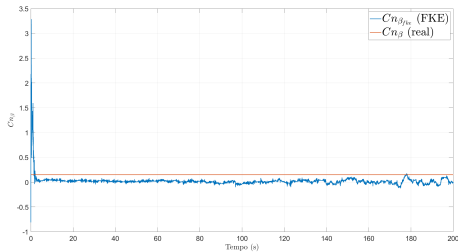
(b) Devido à deflexão angular do profundor  $\delta_e$ .



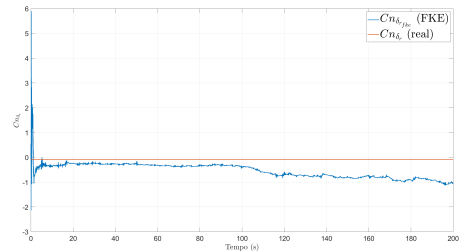
(c) Devido à velocidade de guinada  $q$ .

Figura 62 – Erros e intervalos de confiança para  $C_m$  (curva coordenada).

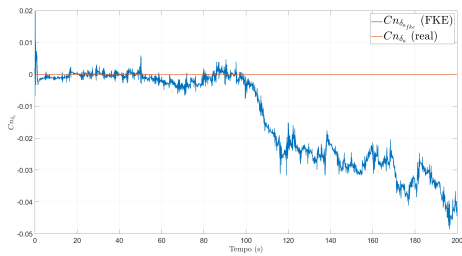
Os parâmetros de momento de guinada se comportaram de forma mista e em apenas 3 deles ( $C_{n_\beta}$ ,  $C_{n_{\delta_r}}$  e  $C_{n_{\delta_a}}$ ), a estimação ficou próxima ao valor real. Já para os demais parâmetros ( $C_{n_p}$  e  $C_{n_r}$ ), a convergência não ocorreu e novamente os limites de desvio padrão foram superados, como visto nas Figs. 63 e 64.



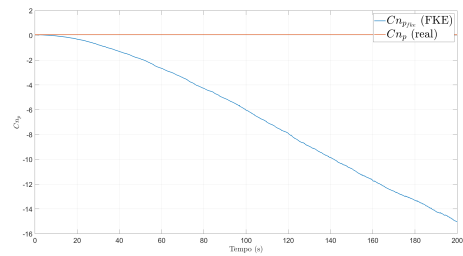
(a) Devido à derrapagem  $\beta$ .



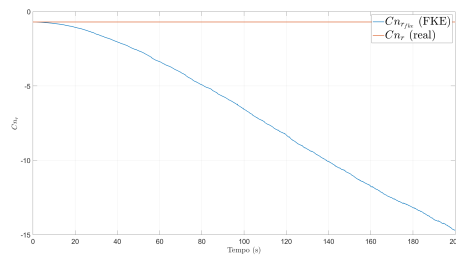
(b) Devido à deflexão angular do leme  $\delta_r$ .



(c) Devido à deflexão angular dos ailerons  $\delta_a$ .

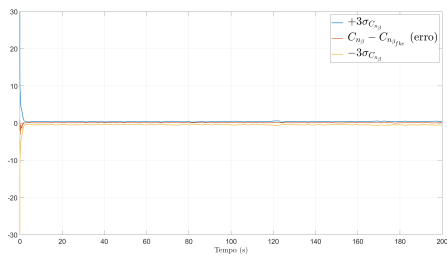


(d) Devido à velocidade de rolagem  $p$ .

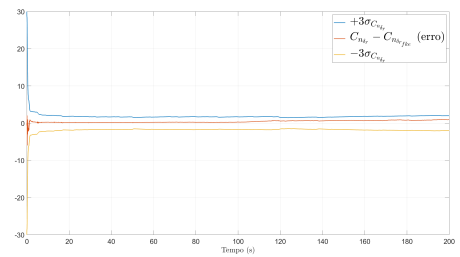


(e) Devido à velocidade de guinada  $r$ .

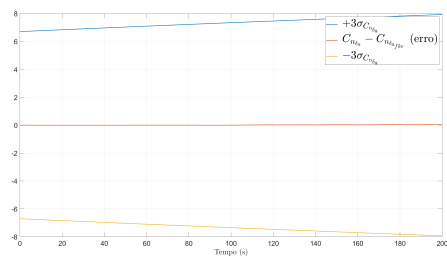
Figura 63 –  $C_n$  estimados e reais (curva coordenada).



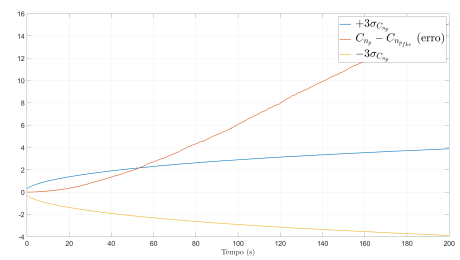
(a) Devido à derrapagem  $\beta$ .



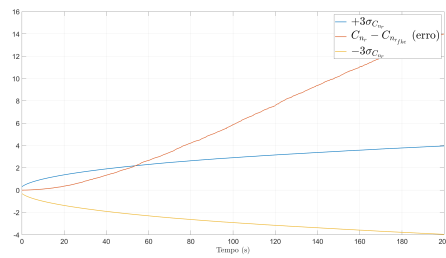
(b) Devido à deflexão angular do leme  $\delta_r$ .



(c) Devido à deflexão angular dos ailerons  $\delta_a$ .



(d) Devido à velocidade de rolagem  $p$ .



(e) Devido à velocidade de guinada  $r$ .

Figura 64 – Erros e intervalos de confiança para  $C_n$  (curva coordenada).

## 7 Conclusões

Neste estudo foi realizada a estimação dos estados do caça Mirage III em condição de voo reto e nivelado e curva coordenada utilizando um filtro de Kalman estendido. A implementação envolveu modelagem em MATLAB® e Simulink® e a análise abrangeu a comparação entre os estados estimados pelo filtro e os valores reais, gerados por um modelo dinâmico não linear, bem como com as medidas dos sensores. O desempenho do FKE foi avaliado através do erro absoluto e do intervalo de confiança estabelecido para cada parâmetro estimado.

O FKE demonstrou um bom desempenho na estimação das posições lineares ( $x_E$ ,  $y_E$ ,  $z_E$ ), posições angulares ( $\phi$ ,  $\theta$ ,  $\psi$ ) e velocidades angulares ( $p$ ,  $q$ ,  $r$ ) para ambas as condições, com erros dentro dos intervalos de confiança estabelecidos. A eficácia do filtro foi notável na redução do ruído nas medidas do GPS e giroscópio. No entanto, o filtro apresentou uma maior dificuldade na estabilização das velocidades lineares  $u$  e  $w$ , embora essas estimativas tenham permanecido dentro dos intervalos de confiança.

A estimação dos parâmetros aerodinâmicos apresentou um comportamento variado. O coeficiente de arrasto ( $C_{D_0}$ ) foi bem estimado em ambas as condições, mantendo-se consistentemente dentro dos limites de confiança. No entanto, os parâmetros relacionados à força lateral mostraram dificuldades significativas, especialmente os coeficientes  $C_{Y_\beta}$ ,  $C_{m_\alpha}$ ,  $C_{m_q}$ ,  $C_{l_p}$ ,  $C_{l_r}$ ,  $C_{n_p}$  e  $C_{n_r}$ , cujas estimativas não estabilizaram adequadamente ao longo do tempo.

Quanto aos coeficientes de força de sustentação, como  $C_{L_0}$ ,  $C_{L_\alpha}$ ,  $C_{L_{\delta_e}}$  e  $C_{L_q}$ , houveram divergências notáveis na condição de voo e reto e nivelado, com alguns parâmetros saindo dos limites de confiança e demandando mais simulações para se verificar uma possível convergência. Já na condição de curva coordenada, o coeficiente  $C_{L_{\delta_e}}$  foi melhor estimado pelo FKE. Por fim, a estimação dos parâmetros de momento exibiu um comportamento misto: alguns coeficientes foram estimados com precisão, enquanto outros não conseguiram convergir e excederam os limites de desvio padrão.

As dificuldades na estimação de certos parâmetros, como o coeficiente  $C_{Y_\beta}$  e alguns coeficientes de momento, indica a necessidade de aprimoramentos na sintonização do filtro, como o uso de sintonização automática. Além disso, prolongar o tempo de simulação pode proporcionar uma avaliação mais completa da convergência dos parâmetros que apresentaram divergência, permitindo ajustes mais refinados nos parâmetros do filtro.

Sendo assim, o filtro de Kalman estendido provou ser uma ferramenta valiosa para a estimação dos estados do caça Mirage III, demonstrando boa performance na maioria dos parâmetros analisados. Apesar das dificuldades encontradas, os resultados obtidos



oferecem uma base sólida para futuros aprimoramentos e aplicações práticas do filtro em sistemas de navegação e controle de aeronaves. Esse trabalho contribui para o avanço do conhecimento na área de estimação de estados e abre novas possibilidades para pesquisas e melhorias na tecnologia de filtros.

## 7.1 Sugestões para trabalhos futuros

Para próximos trabalhos, sugere-se:

- Experimentar diferentes estratégias de sintonização para o FKE, visando melhorar a estimação de parâmetros que apresentaram dificuldades;
- Implementar técnicas de ajuste adaptativo para otimizar o desempenho do filtro em diferentes condições de voo;
- Realizar simulações mais longas para observar a convergência completa dos parâmetros;
- Explorar a aplicação de sensores adicionais na modelagem para uma melhor representação;
- Validar as estimativas e o desempenho do FKE com dados experimentais reais obtidos em voo, para verificar a precisão e a aplicabilidade das simulações;
- Investigar o uso de técnicas alternativas de filtragem, como o filtro de Kalman *unscented* e/ou o filtro de partículas, para lidar com não-linearidades e melhorar a estimação de parâmetros complexos.

# Referências

- AGUIRRE, L. A. *Fundamentos de instrumentação*. São Paulo: Pearson Education do Brasil, 2013. Citado 2 vezes nas páginas 35 e 36.
- ALLISON, G. *Lockheed Martin delivers 52nd C-5M Super Galaxy*. 2018. <<https://ukdefencejournal.org.uk/lockheed-martin-delivers-52nd-c-5m-super-galaxy/>>. Acesso em 23/11/2023. Citado 2 vezes nas páginas 6 e 20.
- ASCORTI, L. *An application of the extended kalman filter to the attitude control of a quadrotor*. Milão, Itália: [s.n.], 2013. Citado na página 46.
- ASSIS, J. P. et al. *Estimação estatística*. Mato Grosso: Pantanal Editora, 2021. Citado na página 32.
- AVIATION, D. *MIRAGE III*. 2016. <<https://www.dassault-aviation.com/en/passion/aircraft/military-dassault-aircraft/mirage-iii/>>. Acesso em 16/10/2023. Citado na página 45.
- BOYCE, W. E.; DIPRIMA, R. C. *Equações diferenciais elementares e problemas de valores de contorno*. 9. ed. Rio de Janeiro: LTC - Livros Tecnicos e Cientificos Editora Ltda., 2010. Citado na página 30.
- BRASILEIRA, F. A. *Mirage - DASSAULT MIRAGE III-EBR (F-103E) | Avions Marcel Dassault*. 2015. <<https://www2.fab.mil.br/musal/index.php/aeronaves-em-exposicao/55-avioes/333-f-103e>>. Acesso em 16/10/2023. Citado 2 vezes nas páginas 6 e 44.
- BROWN, C. M. An extended kalman filter for estimating aerodynamic coefficients. 1976. Citado na página 20.
- BUSARELLO, T. D. C.; SIMÕES, M. G. A tutorial on implementing kalman filters with commonly used blocks. In: *IECON 2019 - 45th Annual Conference of the IEEE Industrial Electronics Society*. [S.l.: s.n.], 2019. v. 1, p. 60–67. Citado 2 vezes nas páginas 6 e 39.
- CHOWDHARY, D.; JATEGAONKAR, R. Aerodynamic parameter estimation from flight data applying extended and unscented kalman filter. *Aerospace Science and Technology*, v. 14, n. 2, p. 106–117, 2010. ISSN 1270-9638. Disponível em: <<https://www.sciencedirect.com/science/article/pii/S1270963809000650>>. Citado na página 20.
- CRASSIDIS, J. L.; JUNKINS, J. L. *Optimal Estimation of Dynamic Systems*. 2. ed. Flórida: Taylor & Francis Group, 2012. Citado 9 vezes nas páginas 6, 25, 30, 32, 33, 35, 36, 37 e 38.
- CURVO, M. Estimation of aircraft aerodynamic derivatives using extended kalman filter. *Journal of the Brazilian Society of Mechanical Sciences*, The Brazilian Society of Mechanical Sciences, v. 22, n. 2, p. 133–148, 2000. ISSN 0100-7386. Disponível em: <<https://doi.org/10.1590/S0100-73862000000200001>>. Citado na página 20.

- DEGROOT, M. H.; SCHERVISH, M. J. *Probability and Statistics*. 4. ed. Boston: Pearson Education, Inc., 2012. Citado 3 vezes nas páginas 6, 32 e 34.
- DEVORE, J. L. *Prbabilidade e Estatística para Engenharia e Ciências*. 6. ed. São Paulo: Cengage Learning, 2006. Citado 4 vezes nas páginas 6, 32, 34 e 35.
- ELIASSON, S. R. *Maximum likelihood estimation: logic and practice*. Parque Newbury: SAGE Publications, Inc, 1993. Citado na página 19.
- ETKIN, B.; REID, L. D. *Dynamics of flight: stability and control*. 3. ed. Nova Iorque: John Wiley & Sons, Inc, 1996. Citado 5 vezes nas páginas 6, 22, 23, 24 e 25.
- GREWAL, M. S.; ANDREWS, A. P. *Kalman Filtering: Theory and Practice Using MATLAB*. 2. ed. Nova Iorque: John Wiley & Sons, Inc, 2001. Citado na página 19.
- GREWAL, M. S.; ANDREWS, A. P. Applications of kalman filtering in aerospace 1960 to the present [historical perspectives]. *IEEE Control Systems Magazine*, v. 30, n. 3, p. 69–78, 2010. Citado na página 19.
- KOKOLIOS, A. Use of a kalman filter for the determination of aircraft aerodynamic characteristics from flight test data. In: . [s.n.], 1994. Disponível em: <<https://api.semanticscholar.org/CorpusID:61347215>>. Citado na página 20.
- MCCABE, G. P.; A., C. B.; S., M. D. *Introduction to the Practice of Statistics*. 6. ed. Nova Iorque: W.H. Freeman and Company, 2009. Citado 2 vezes nas páginas 19 e 35.
- MCGEE, L. A.; SCHMIDT, S. F. Discovery of the kalman filter as a practical tool for aerospace and industry. *NASA-TM-86847, N86-13311*, 1985. Citado na página 19.
- NISE, N. S. *Engenharia de sistemas de controle*. 6. ed. Rio de Janeiro: LTC - Livros Técnicos e Científicos Eitora Ltda., 2012. Citado 2 vezes nas páginas 29 e 30.
- PAGLIONE, P.; ZANARDI, M. C. *Estabilidade e Controle de Aeronaves - Curso MV0-03*. São José dos campos: Centro Técnico Aeroespacial - Instituto Tecnológico da Aeronáutica, 1990. Citado 5 vezes nas páginas 9, 25, 26, 27 e 45.
- QUAN, Q. *Introduction to Multicopter Design and Control*. Singapura: Springer Nature Singapore Pte Ltd, 2017. Citado 3 vezes nas páginas 6, 23 e 46.
- SIMON, D. *Optimal State Estimation*. Nova Jersey: John Wiley & Sons, Inc, 2006. Citado 8 vezes nas páginas 6, 32, 33, 37, 38, 40, 41 e 42.
- STEVENS, B. L.; LEWIS, F. L. *Aircraft Control and Simulation*. 2. ed. Nova Iorque: John Wiley & Sons, Inc, 1992. Citado 4 vezes nas páginas 24, 25, 29 e 30.
- TEREJANU, G. Discrete kalman filter tutorial. In: . [s.n.], 2009. Disponível em: <<https://api.semanticscholar.org/CorpusID:36003090>>. Citado 2 vezes nas páginas 6 e 40.
- THERRIEN, C. W. *Discrete random signals and statistical signal processing*. Nova Jersey: Prentice Hall, 1992. Citado na página 35.

# Apêndices

# APÊNDICE A – *Scripts* MATLAB®

## A.1 *main.m*

```

1  addpath('.\FKE');
2  addpath('.\Modelo_dinamico');
3  close all; clear; clc;
4
5  %% Definicao da trajetoria
6  % Se traj = 1 -> voo reto nivelado, caso contrario -> curva
   coordenada
7  traj = 1;
8
9  % Altitude (em m) e velocidade (em m/s) para as condicoes
10 h_rn = 10000; v_rn = 980/3.6;
11 h_cc = 10000; v_cc = 360/3.6;
12
13 %% Caracteristicas do Mirage III
14 comp = 15;          % Comprimento (m)
15 b = 7.5;           % Envergadura (m)
16 c_bar = 5.25;      % Corda media aerodinamica (m)
17 S = 36;            % Area da asa (m^2)
18 m = 7400;          % Massa (kg)
19
20 % Matriz momento de inercia (kg*m^2) - PAGLIONE PAGINA 366 DO
   PDF
21 % Obs: aeronave massivamente simetrica em torno do plano xz
22 I_B = [9*10^4, 0, -1.8*10^3;
23         0, 5.4*10^4, 0;
24         -1.8*10^3, 0, 6*10^4];
25
26 % Constante da polar CL x CD
27 k = 0.4;
28
29 % Coeficientes aerodinamicos adimensionais
30 CD_0 = 0.015;
31 CY_beta = -0.6; CY_delta_r = 0.075; CY_delta_a = 0.01;

```



```

7         0; 0; 0; % p
          (0); q(0); r(0)
8         CD_0; %
          CD_0(0)
9         CY_beta; CY_delta_r; CY_delta_a; %
          CY_beta(0); CY_delta_r(0); CY_delta_a(0)
10        CL_0; CL_alpha; CL_delta_e; CL_q; %
          CL_0(0); CL_alpha(0); CL_delta_e(0); CL_q(0)
11        Cl_beta; Cl_delta_r; Cl_delta_a; Cl_p; Cl_r; %
          Cl_beta(0); Cl_delta_r(0); Cl_delta_a(0); Cl_p
          (0); Cl_r(0)
12        Cm_0; Cm_alpha; Cm_delta_e; Cm_q; %
          Cm_0(0); Cm_alpha(0); Cm_delta_e(0); Cm_q(0)
13        Cn_beta; Cn_delta_r; Cn_delta_a; Cn_p; Cn_r]; %
          Cn_beta(0); Cn_delta_r(0); Cn_delta_a(0); Cn_p
          (0); Cn_r(0)
14
15        % Condiçao para os estados
16        % Os estados x(1:12) nao sao conhecidos e a funçao
          calculara para a condiçao
17        % Obs: 0 -> estado nao conhecido. 1 -> estado conhecido
18        estados_knwon = [0; 0; 0; %
          x_E; y_E; z_E
19
          0; 0; 0; %
          phi; theta; psi
20
          0; 0; 0; % u;
          v; w
21
          0; 0; 0; % p;
          q; r
22
          1; %
          CD_0
23
          1; 1; 1; %
          CY_beta; CY_delta_r; CY_delta_a
24
          1; 1; 1; 1; %
          CL_0; CL_alpha; CL_delta_e; CL_q
25
          1; 1; 1; 1; 1; %
          Cl_beta; Cl_delta_r; Cl_delta_a; Cl_p
          ; Cl_r

```

```

26         1; 1; 1; 1; %
           Cm_0; Cm_alpha; Cm_delta_e; Cm_q
27         1; 1; 1; 1; 1]; %
           Cn_beta; Cn_delta_r; Cn_delta_a; Cn_p
           ; Cn_r
28
29 % Na condicao de voo reto e nivelado na direcao x com
           velocidade constante,
30 % o unico estado livre para variar no tempo e x_E, logo
           x_E_dot =~ 0.
31 % Para o restante dos estados a variacao no tempo deve
           ser igual a 0, logo:
32 % Obs: 0 -> estado_dot =~ 0. 1 -> estado_dot = 0
33 estados_estaveis = [0; 1; 1; %
           x_E; y_E; z_E
34         1; 1; 1; %
           phi; theta; psi
35         1; 1; 1; % u;
           v; w
36         1; 1; 1; % p;
           q; r
37         1; %
           CD_0
38         1; 1; 1; %
           CY_beta; CY_delta_r; CY_delta_a
39         1; 1; 1; 1; %
           CL_0; CL_alpha; CL_delta_e; CL_q
40         1; 1; 1; 1; 1; %
           Cl_beta; Cl_delta_r; Cl_delta_a;
           Cl_p; Cl_r
41         1; 1; 1; 1; %
           Cm_0; Cm_alpha; Cm_delta_e; Cm_q
42         1; 1; 1; 1; 1]; %
           Cn_beta; Cn_delta_r; Cn_delta_a;
           Cn_p; Cn_r
43
44 % Condicao para as saidas
45 % As saidas alpha, theta e x nao sao conhecidas e a
           funcao calculara para a condicao

```



```

46 % Obs: 0 -> estado nao conhecido. 1 -> estado conhecido
47 saidas_knwon = [0; 1; 1; %
    alpha; beta; V
48             1; 0; 1; %
    phi; theta; psi
49             1; 1; 1; % p;
    q; r
50             0; 1; 1]; %
    x_E; y_E; z_E
51
52 % Palpite inicial para as saidas
53 saidas = [0; 0; v_rn; %
    alpha; beta; V
54             0; 0; 0; %
    phi; theta; psi
55             0; 0; 0; % p;
    q; r
56             0; 0; h_rn]; %
    x_E; y_E; z_E
57
58 else
59 %% Condiçao de curva coordenada
60 % Condiçoes iniciais para a trimagem
61 omega = 0.0566;
62 phi_cc = atan(v_cc*omega/g);
63 x0 = [0; 0; h_cc; %
    x_E(0); y_E(0); z_E(0)
64     phi_cc; 0; 0; %
    phi(0); theta(0); psi(0)
65     v_cc; 0; 0; % u
    (0); v(0); w(0)
66     0; 0; 0; % p
    (0); q(0); r(0)
67     CD_0; %
    CD_0(0)
68     CY_beta; CY_delta_r; CY_delta_a; %
    CY_beta(0); CY_delta_r(0); CY_delta_a(0)
69     CL_0; CL_alpha; CL_delta_e; CL_q; %
    CL_0(0); CL_alpha(0); CL_delta_e(0); CL_q(0)

```

```

70         Cl_beta; Cl_delta_r; Cl_delta_a; Cl_p; Cl_r;    %
           Cl_beta(0); Cl_delta_r(0); Cl_delta_a(0); Cl_p
           (0); Cl_r(0)
71         Cm_0; Cm_alpha; Cm_delta_e; Cm_q;            %
           Cm_0(0); Cm_alpha(0); Cm_delta_e(0); Cm_q(0)
72         Cn_beta; Cn_delta_r; Cn_delta_a; Cn_p; Cn_r]; %
           Cn_beta(0); Cn_delta_r(0); Cn_delta_a(0); Cn_p
           (0); Cn_r(0)
73
74         % Condiçao para os estados
75         % Os estados x(1:2), x(4:6) e x(8:12) nao sao conhecidos
           e a funcao calculara para a condiçao
76         % Obs: 0 -> estado nao conhecido. 1 -> estado conhecido
77         estados_knwon = [0; 0; 1;                    %
           x_E; y_E; z_E
78
           1; 0; 0;                                     %
           phi; theta; psi
79
           1; 1; 0;                                     % u;
           v; w
80
           0; 0; 0;                                     % p;
           q; r
81
           1;                                           %
           CD_0
82
           1; 1; 1;                                     %
           CY_beta; CY_delta_r; CY_delta_a
83
           1; 1; 1; 1;                                   %
           CL_0; CL_alpha; CL_delta_e; CL_q
84
           1; 1; 1; 1; 1;                               %
           Cl_beta; Cl_delta_r; Cl_delta_a; Cl_p
           ; Cl_r
85
           1; 1; 1; 1;                                   %
           Cm_0; Cm_alpha; Cm_delta_e; Cm_q
86
           1; 1; 1; 1; 1];                               %
           Cn_beta; Cn_delta_r; Cn_delta_a; Cn_p
           ; Cn_r
87
88         % Na condiçao de curva coordenada, os unicos estados
           livres para variar no tempo sao x_E, y_E e
89         % phi, logo x_E_dot =~ 0, y_E_dot =~ 0 e phi_dot =~ 0

```



```
111     % Palpite inicial para as saidas
112     saidas = [0; 0; v_cc;                %
              alpha; beta; V
113              phi_cc; 0; 0;             %
              phi; theta; psi
114              0; 0; 0;                  % p;
              q; r
115              0; 0; h_cc];             %
              x_E; y_E; z_E
116 end
```

### A.3 *trim.m*

```
1 % Criando as especificacoes do ponto de operacao para o
   modelo Simulink
2 aux = operspec(modelo);
3
4 % Quais estados sao conhecidos
5 aux.States.Known = estados_knwon;
6
7 % Quais estados sao estaveis (quais estao em steady state)
8 aux.States.SteadyState = estados_estaveis;
9
10 % Quais saidas sao conhecidas
11 aux.Outputs.Known = saidas_knwon;
12
13 % Qual o palpite inicial das saidas
14 aux.Outputs.y = saidas;
15
16 % Encontra os pontos de operacao (condicoes de trimagem) de
   acordo com
17 % as especificacoes
18 [rn , rn_report] = findop(modelo , aux);
19
20 % Entradas calculadas a partir da trimagem
21 trim_input = rn.Inputs.u';
22
23 % Setado as condicoes iniciais como sendo os estados
   calculados pela
```

```
24 % trimagem
25 x0 = rn.States.x;
```

#### A.4 *init\_fke*

```
1 %% Inicializacao do Filtro de Kalman Estendido
2 x0_fke = x0;
3
4 if traj == 1
5     P0(1,1) = 5;
6     P0(2,2) = 10;
7     P0(3,3) = 10;
8     P0(4,4) = 1;
9     P0(5,5) = 10;
10    P0(6,6) = 10;
11    P0(7,7) = 10;
12    P0(8,8) = 1;
13    P0(9,9) = 10;
14    P0(10,10) = 0.01;
15    P0(11,11) = 0.01;
16    P0(12,12) = 0.01;
17    P0(13,13) = 0.01;
18    P0(14,14) = 0.1;
19    P0(15,15) = 0.1;
20    P0(16,16) = 0.01;
21    P0(17,17) = 0.01;
22    P0(18,18) = 0.01;
23    P0(19,19) = 0.01;
24    P0(20,20) = 0.01;
25    P0(21,21) = 0.01;
26    P0(22,22) = 0.01;
27    P0(23,23) = 0.01;
28    P0(24,24) = 0.01;
29    P0(25,25) = 0.01;
30    P0(26,26) = 0.01;
31    P0(27,27) = 0.01;
32    P0(28,28) = 0.01;
33    P0(29,29) = 0.01;
34    P0(30,30) = 0.01;
```

```
35     P0(31,31) = 0.01;
36     P0(32,32) = 0.01;
37     P0(33,33) = 0.01;
38     P0(34,34) = 1;
39 else
40
41     P0(1,1) = 10;
42     P0(2,2) = 7.5;
43     P0(3,3) = 7.5;
44     P0(4,4) = 0.5;
45     P0(5,5) = 1;
46     P0(6,6) = 1;
47     P0(7,7) = 500;
48     P0(8,8) = 500;
49     P0(9,9) = 500;
50     P0(10,10) = 0.01;
51     P0(11,11) = 0.01;
52     P0(12,12) = 0.01;
53     P0(13,13) = 10;
54     P0(14,14) = 0.001;
55     P0(15,15) = 0.1;
56     P0(16,16) = 0.5;
57     P0(17,17) = 10;
58     P0(18,18) = 0.0001;
59     P0(19,19) = 100;
60     P0(20,20) = 0.001;
61     P0(21,21) = 100;
62     P0(22,22) = 50;
63     P0(23,23) = 50;
64     P0(24,24) = 0.0001;
65     P0(25,25) = 0.001;
66     P0(26,26) = 0.001;
67     P0(27,27) = 0.01;
68     P0(28,28) = 100;
69     P0(29,29) = 0.001;
70     P0(30,30) = 100;
71     P0(31,31) = 100;
72     P0(32,32) = 5;
73     P0(33,33) = 0.01;
```

```
74     P0(34,34) = 0.01;
75 end
76
77 %% Sensores
78 sig_alpha = 0.5; sig_beta = 0.5; sig_V = 0.1;
79 sig_phi = 0.1; sig_theta = 0.1; sig_psi = 0.1;
80 sig_p = 0.1; sig_q = 0.1; sig_r = 0.1;
81 sig_x_E = 10; sig_y_E = 10; sig_z_E = 10;
82
83 % Ruído de medicao
84 R = diag([sig_alpha^2, sig_beta^2, sig_V^2, ...
85          sig_phi^2, sig_theta^2, sig_psi^2, ...
86          sig_p^2, sig_q^2, sig_r^2, ...
87          sig_x_E^2, sig_y_E^2, sig_z_E^2]);
88
89 % Seed das medidas (ididentifica quao randomico e cada
    medida)
90 seed_alpha = 23341; seed_beta = 23341; seed_V = 23341;
91 seed_phi = 23342; seed_theta = 23342; seed_psi = 23342;
92 seed_p = 23343; seed_q = 23343; seed_r = 23343;
93 seed_x_E = 23344; seed_y_E = 23344; seed_z_E = 23344;
94
95 seed = [seed_alpha; seed_beta; seed_V; ...
96        seed_phi; seed_theta; seed_psi; ...
97        seed_p; seed_q; seed_r; ...
98        seed_x_E; seed_y_E; seed_z_E];
99
100 %% Ruído de modelo
101 Q(1,1) = 0.1;      % x_E
102 Q(2,2) = 0.1;      % y_E
103 Q(3,3) = 0.1;      % z_E
104 Q(4,4) = 0.01;     % phi
105 Q(5,5) = 0.01;     % theta
106 Q(6,6) = 0.01;     % psi
107 Q(7,7) = 0.01;     % u
108 Q(8,8) = 0.001;    % v
109 Q(9,9) = 0.1;      % w
110 Q(10,10) = 0.001;  % p
111 Q(11,11) = 0.001; % q
```

```
112 Q(12,12) = 0.001;    % r
113 Q(13,13) = 0.0001;  % CD_0
114
115 cY = 0.00001;
116 Q(14,14) = 0.001;   % CY_beta
117 Q(15,15) = 100;     % CY_delta_r
118 Q(16,16) = cY;      % CY_delta_a
119
120 cL = 0.0001;
121 Q(17,17) = cL;      % CL_0
122 Q(18,18) = cL;      % CL_alpha
123 Q(19,19) = cL;      % CL_delta_e
124 Q(20,20) = cL;      % CL_q
125
126 cl = 0.0001;
127 Q(21,21) = cl;      % Cl_beta
128 Q(22,22) = cl;      % Cl_delta_r
129 Q(23,23) = cl;      % Cl_delta_a
130 Q(24,24) = cl;      % Cl_p
131 Q(25,25) = cl;      % Cl_r
132
133 cm = 0.0001;
134 Q(26,26) = cm;      % Cm_0
135 Q(27,27) = cm;      % Cm_alpha
136 Q(28,28) = cm;      % Cm_delta_e
137 Q(29,29) = cm;      % Cm_q
138
139 cn = 0.0001;
140 Q(30,30) = cn;      % Cn_beta
141 Q(31,31) = cn;      % Cn_delta_r
142 Q(32,32) = cn;      % Cn_delta_a
143 Q(33,33) = cn;      % Cn_p
144 Q(34,34) = cn;      % Cn_r
```

## A.5 *plot\_resultados.m*

```
1 time = sim_out_fke.tout;
2 P_fke = sim_out_fke.logout{1}.Values.Data;
3 x_fke = sim_out_fke.logout{2}.Values.Data;
```



```
4 x = zeros(length(time), 34);
5 y_m = zeros(length(time), 12);
6 sigma = zeros(length(time), 34);
7
8 for i = 1:34
9     aux_x = sim_out_fke.logout{4}.Values.Data;
10    for j = 1:length(time)
11        x(j,i) = aux_x(i,:,j);
12    end
13 end
14
15 for i = 1:12
16    aux_y_m = sim_out_fke.logout{5}.Values.Data;
17    for j = 1:length(time)
18        y_m(j,i) = aux_y_m(i,:,j);
19    end
20 end
21
22 for i = 1:34
23    for j = 1:length(time)
24        aux_sigma = P_fke(i,i,j);
25        sigma(j,i) = sqrt(aux_sigma);
26    end
27 end
28
29 %% Estados estimados
30 x_E_fke = x_fke(:,1); y_E_fke = x_fke(:,2); z_E_fke = x_fke
    (:,3);
31 phi_fke = x_fke(:,4); theta_fke = x_fke(:,5); psi_fke = x_fke
    (:,6);
32 u_fke = x_fke(:,7); v_fke = x_fke(:,8); w_fke = x_fke(:,9);
33 p_fke = x_fke(:,10); q_fke = x_fke(:,11); r_fke = x_fke(:,12)
    ;
34 CD_0_fke = x_fke(:,13);
35 CY_beta_fke = x_fke(:,14); CY_delta_r_fke = x_fke(:,15);
    CY_delta_a_fke = x_fke(:,16);
36 CL_0_fke = x_fke(:,17); CL_alpha_fke = x_fke(:,18);
    CL_delta_e_fke = x_fke(:,19); CL_q_fke = x_fke(:,20);
```

```

37 Cl_beta_fke = x_fke(:,21); Cl_delta_r_fke = x_fke(:,22);
    Cl_delta_a_fke = x_fke(:,23); Cl_p_fke = x_fke(:,24);
    Cl_r_fke = x_fke(:,25);
38 Cm_0_fke = x_fke(:,26); Cm_alpha_fke = x_fke(:,27);
    Cm_delta_e_fke = x_fke(:,28); Cm_q_fke = x_fke(:,29);
39 Cn_beta_fke = x_fke(:,30); Cn_delta_r_fke = x_fke(:,31);
    Cn_delta_a_fke = x_fke(:,32); Cn_p_fke = x_fke(:,33);
    Cn_r_fke = x_fke(:,34);
40
41 % Vetor de estados
42 x_E = x(:,1); y_E = x(:,2); z_E = x(:,3);
43 phi = x(:,4); theta = x(:,5); psi = x(:,6);
44 u = x(:,7); v = x(:,8); w = x(:,9);
45 p = x(:,10); q = x(:,11); r = x(:,12);
46 CD_0 = x(:,13);
47 CY_beta = x(:,14); CY_delta_r = x(:,15); CY_delta_a = x(:,16)
    ;
48 CL_0 = x(:,17); CL_alpha = x(:,18); CL_delta_e = x(:,19);
    CL_q = x(:,20);
49 Cl_beta = x(:,21); Cl_delta_r = x(:,22); Cl_delta_a = x(:,23)
    ; Cl_p = x(:,24); Cl_r = x(:,25);
50 Cm_0 = x(:,26); Cm_alpha = x(:,27); Cm_delta_e = x(:,28);
    Cm_q = x(:,29);
51 Cn_beta = x(:,30); Cn_delta_r = x(:,31); Cn_delta_a = x(:,32)
    ; Cn_p = x(:,33); Cn_r = x(:,34);
52
53 % Saidas dos sensores
54 alpha_m = y_m(:,1); beta_m = y_m(:,2); V_m = y_m(:,3);
55 phi_m = y_m(:,4); theta_m = y_m(:,5); psi_m = y_m(:,6);
56 p_m = y_m(:,7); q_m = y_m(:,8); r_m = y_m(:,9);
57 x_E_m = y_m(:,10); y_E_m = y_m(:,11); z_E_m = y_m(:,12);
58
59 % Desvio padrao
60 sigma_x_E = sigma(:,1); sigma_y_E = sigma(:,2); sigma_z_E =
    sigma(:,3);
61 sigma_phi = sigma(:,4); sigma_theta = sigma(:,5); sigma_psi =
    sigma(:,6);
62 sigma_u = sigma(:,7); sigma_v = sigma(:,8); sigma_w = sigma
    (:,9);

```

```
63 sigma_p = sigma(:,10); sigma_q = sigma(:,11); sigma_r = sigma
    (:,12);
64 sigma_CD_0 = sigma(:,13);
65 sigma_CY_beta = sigma(:,14); sigma_CY_delta_r = sigma(:,15);
    sigma_CY_delta_a = sigma(:,16);
66 sigma_CL_0 = sigma(:,17); sigma_CL_alpha = sigma(:,18);
    sigma_CL_delta_e = sigma(:,19); sigma_CL_q = sigma(:,20);
67 sigma_Cl_beta = sigma(:,21); sigma_Cl_delta_r = sigma(:,22);
    sigma_Cl_delta_a = sigma(:,23); sigma_Cl_p = sigma(:,24);
    sigma_Cl_r = sigma(:,25);
68 sigma_Cm_0 = sigma(:,26); sigma_Cm_alpha = sigma(:,27);
    sigma_Cm_delta_e = sigma(:,28); sigma_Cm_q = sigma(:,29);
69 sigma_Cn_beta = sigma(:,30); sigma_Cn_delta_r = sigma(:,31);
    sigma_Cn_delta_a = sigma(:,32); sigma_Cn_p = sigma(:,33);
    sigma_Cn_r = sigma(:,34);
70
71 %% Plotagem
72
73 % Trajetoria
74 f(1) = figure;
75 f.WindowState = 'maximized';
76 pl = plot3(x_E, round(y_E), round(z_E), 'b');
77 pl.LineWidth = 1.5;
78 grid on;
79 xlabel('$x_E$ (m)', 'Interpreter', 'latex', 'FontSize', 30);
80 ylabel('$y_E$ (m)', 'Interpreter', 'latex', 'FontSize', 30);
81 zlabel('$z_E$ (m)', 'Interpreter', 'latex', 'FontSize', 30);
82 if traj == 1
83     legend('Trajetoria - voo reto e nivelado', 'FontSize',
        14, 'Location', 'northeast');
84     saveas(f, './Plots\Reto nivelado\trajetoria_rn.png');
85 else
86     legend('Trajetoria - curva coordenada', 'FontSize', 14, '
        Location', 'northeast');
87     saveas(f, './Plots\Reto nivelado\trajetoria_cc.png');
88 end
89 ax = gca; ax.FontSize = 18;
90
91 %% Estado vs estado estimado vs medida dos sensores
```

```
92
93 %% x_E
94 f(1) = figure;
95 f.WindowState = 'maximized';
96 pl = stairs(time, [x_E_m, x_E_fke, x_E]);
97 pl(1).LineWidth = 1.5;
98 pl(2).LineWidth = 1.5;
99 pl(3).LineWidth = 1.5;
100 grid on;
101 xlabel('Tempo (s)', 'Interpreter', 'latex', 'FontSize', 30);
102 ylabel('$x_E \ (m)$', 'Interpreter', 'latex', 'FontSize', 30)
    ;
103 legend('$x_{E\{m\}}$ (medido)', '$x_{E\{fke\}}$ (FKE)', '$x_E$
    (real)', 'Interpreter', 'latex', 'FontSize', 30);
104 ax = gca; ax.FontSize = 18;
105 if traj == 1
106     saveas(f, './Plots\Reto nivelado\x_E_FKE_rn.png');
107 else
108     saveas(f, './Plots\Curva coordenada\x_E_FKE_cc.png');
109 end
110
111 %% y_E
112 f(1) = figure;
113 f.WindowState = 'maximized';
114 pl = stairs(time, [y_E_m, y_E_fke, y_E]);
115 pl(1).LineWidth = 1.5;
116 pl(2).LineWidth = 1.5;
117 pl(3).LineWidth = 1.5;
118 grid on;
119 xlabel('Tempo (s)', 'Interpreter', 'latex', 'FontSize', 30);
120 ylabel('$y_E \ (m)$', 'Interpreter', 'latex', 'FontSize', 30)
    ;
121 legend('$y_{E\{m\}}$ (medido)', '$y_{E\{fke\}}$ (FKE)', '$y_E$
    (real)', 'Interpreter', 'latex', 'FontSize', 30);
122 ax = gca; ax.FontSize = 18;
123 if traj == 1
124     saveas(f, './Plots\Reto nivelado\y_E_FKE_rn.png');
125 else
126     saveas(f, './Plots\Curva coordenada\y_E_FKE_cc.png');
```

```
127 end
128
129 %% z_E
130 f(1) = figure;
131 f.WindowState = 'maximized';
132 pl = stairs(time, [z_E_m, z_E_fke, z_E]);
133 pl(1).LineWidth = 1.5;
134 pl(2).LineWidth = 1.5;
135 pl(3).LineWidth = 1.5;
136 grid on;
137 xlabel('Tempo (s)', 'Interpreter', 'latex', 'FontSize', 30);
138 ylabel('$z_E \ (m)$', 'Interpreter', 'latex', 'FontSize', 30)
    ;
139 legend('$z_{E_{m}}$ (medido)', '$z_{E_{fke}}$ (FKE)', '$z_E$ (real)', 'Interpreter', 'latex', 'FontSize', 30);
140 ax = gca; ax.FontSize = 18;
141 if traj == 1
142     saveas(f, './Plots\Reto nivelado\z_E_FKE_rn.png');
143 else
144     saveas(f, './Plots\Curva coordenada\z_E_FKE_cc.png');
145 end
146
147 %% phi
148 f(1) = figure;
149 f.WindowState = 'maximized';
150 pl = stairs(time, [phi_m, phi_fke, phi]);
151 pl(1).LineWidth = 1.5;
152 pl(2).LineWidth = 1.5;
153 pl(3).LineWidth = 1.5;
154 grid on;
155 xlabel('Tempo (s)', 'Interpreter', 'latex', 'FontSize', 30);
156 ylabel('$\phi \ (rad)$', 'Interpreter', 'latex', 'FontSize', 30);
157 legend('$\phi_{m}$ (medido)', '$\phi_{fke}$ (FKE)', '$\phi$ (real)', 'Interpreter', 'latex', 'FontSize', 30);
158 ax = gca; ax.FontSize = 18;
159 if traj == 1
160     saveas(f, './Plots\Reto nivelado\phi_FKE_rn.png');
161 else
```

```
162     saveas(f, './Plots\Curva coordenada\phi_FKE_cc.png');
163 end
164
165 %% theta
166 f(1) = figure;
167 f.WindowState = 'maximized';
168 pl = stairs(time, [theta_m, theta_fke, theta]);
169 pl(1).LineWidth = 1.5;
170 pl(2).LineWidth = 1.5;
171 pl(3).LineWidth = 1.5;
172 grid on;
173 xlabel('Tempo (s)', 'Interpreter', 'latex', 'FontSize', 30);
174 ylabel('$\theta \ (rad)$', 'Interpreter', 'latex', 'FontSize'
    , 30);
175 legend('$\theta_{m}$ (medido)', '$\theta_{fke}$ (FKE)', '$\theta$ (real)', 'Interpreter', 'latex', 'FontSize', 30);
176 ax = gca; ax.FontSize = 18;
177 if traj == 1
178     saveas(f, './Plots\Reto nivelado\theta_FKE_rn.png');
179 else
180     saveas(f, './Plots\Curva coordenada\theta_FKE_cc.png');
181 end
182
183 %% psi
184 f(1) = figure;
185 f.WindowState = 'maximized';
186 pl = stairs(time, [psi_m, psi_fke, psi]);
187 pl(1).LineWidth = 1.5;
188 pl(2).LineWidth = 1.5;
189 pl(3).LineWidth = 1.5;
190 grid on;
191 xlabel('Tempo (s)', 'Interpreter', 'latex', 'FontSize', 30);
192 ylabel('$\psi \ (rad)$', 'Interpreter', 'latex', 'FontSize',
    30);
193 legend('$\psi_{m}$ (medido)', '$\psi_{fke}$ (FKE)', '$\psi$ (real)', 'Interpreter', 'latex', 'FontSize', 30);
194 ax = gca; ax.FontSize = 18;
195 if traj == 1
196     saveas(f, './Plots\Reto nivelado\psi_FKE_rn.png');
```

```
197 else
198     saveas(f, './Plots\Curva coordenada\psi_FKE_cc.png');
199 end
200
201 %% u
202 f(1) = figure;
203 f.WindowState = 'maximized';
204 pl = stairs(time, [u_fke, u]);
205 pl(1).LineWidth = 1.5;
206 pl(2).LineWidth = 1.5;
207 grid on;
208 xlabel('Tempo (s)', 'Interpreter', 'latex', 'FontSize', 30);
209 ylabel('$u \ (m/s)$', 'Interpreter', 'latex', 'FontSize', 30)
    ;
210 legend('$u_{fke}$ (FKE)', '$u$ (real)', 'Interpreter', 'latex'
    , 'FontSize', 30);
211 ax = gca; ax.FontSize = 18;
212 if traj == 1
213     saveas(f, './Plots\Reto nivelado\u_FKE_rn.png');
214 else
215     saveas(f, './Plots\Curva coordenada\u_FKE_cc.png');
216 end
217
218 %% v
219 f(1) = figure;
220 f.WindowState = 'maximized';
221 pl = stairs(time, [v_fke, v]);
222 pl(1).LineWidth = 1.5;
223 pl(2).LineWidth = 1.5;
224 grid on;
225 xlabel('Tempo (s)', 'Interpreter', 'latex', 'FontSize', 30);
226 ylabel('$v \ (m/s)$', 'Interpreter', 'latex', 'FontSize', 30)
    ;
227 legend('$v_{fke}$ (FKE)', '$v$ (real)', 'Interpreter', 'latex'
    , 'FontSize', 30);
228 ax = gca; ax.FontSize = 18;
229 if traj == 1
230     saveas(f, './Plots\Reto nivelado\v_FKE_rn.png');
231 else
```

```
232     saveas(f, './Plots\Curva coordenada\v_FKE_cc.png');
233 end
234
235 %% w
236 f(1) = figure;
237 f.WindowState = 'maximized';
238 pl = stairs(time, [w_fke, w]);
239 pl(1).LineWidth = 1.5;
240 pl(2).LineWidth = 1.5;
241 grid on;
242 xlabel('Tempo (s)', 'Interpreter', 'latex', 'FontSize', 30);
243 ylabel('$w \ (m/s)$', 'Interpreter', 'latex', 'FontSize', 30)
    ;
244 legend('$w_{fke}$ (FKE)', '$w$ (real)', 'Interpreter', 'latex'
    , 'FontSize', 30);
245 ax = gca; ax.FontSize = 18;
246 if traj == 1
247     saveas(f, './Plots\Reto nivelado\w_FKE_rn.png');
248 else
249     saveas(f, './Plots\Curva coordenada\w_FKE_cc.png');
250 end
251
252 %% p
253 f(1) = figure;
254 f.WindowState = 'maximized';
255 pl = stairs(time, [p_m, p_fke, p]);
256 pl(1).LineWidth = 1.5;
257 pl(2).LineWidth = 1.5;
258 pl(3).LineWidth = 1.5;
259 grid on;
260 xlabel('Tempo (s)', 'Interpreter', 'latex', 'FontSize', 30);
261 ylabel('$p \ (rad/s)$', 'Interpreter', 'latex', 'FontSize',
    30);
262 legend('$p_{m}$ (medido)', '$p_{fke}$ (FKE)', '$p$ (real)', '
    Interpreter', 'latex', 'FontSize', 30);
263 ax = gca; ax.FontSize = 18;
264 if traj == 1
265     saveas(f, './Plots\Reto nivelado\p_FKE_rn.png');
266 else
```



```
267     saveas(f, './Plots\Curva coordenada\p_FKE_cc.png');
268 end
269
270 %% q
271 f(1) = figure;
272 f.WindowState = 'maximized';
273 pl = stairs(time, [q_m, q_fke, q]);
274 pl(1).LineWidth = 1.5;
275 pl(2).LineWidth = 1.5;
276 pl(3).LineWidth = 1.5;
277 grid on;
278 xlabel('Tempo (s)', 'Interpreter', 'latex', 'FontSize', 30);
279 ylabel('$q \ (rad/s)$', 'Interpreter', 'latex', 'FontSize',
    30);
280 legend('$q_{m}$ (medido)', '$q_{fke}$ (FKE)', '$q$ (real)', '
    Interpreter', 'latex', 'FontSize', 30);
281 ax = gca; ax.FontSize = 18;
282 if traj == 1
283     saveas(f, './Plots\Reto nivelado\q_FKE_rn.png');
284 else
285     saveas(f, './Plots\Curva coordenada\q_FKE_cc.png');
286 end
287
288 %% r
289 f(1) = figure;
290 f.WindowState = 'maximized';
291 pl = stairs(time, [r_m, r_fke, r]);
292 pl(1).LineWidth = 1.5;
293 pl(2).LineWidth = 1.5;
294 pl(3).LineWidth = 1.5;
295 grid on;
296 xlabel('Tempo (s)', 'Interpreter', 'latex', 'FontSize', 30);
297 ylabel('$r \ (rad/s)$', 'Interpreter', 'latex', 'FontSize',
    30);
298 legend('$r_{m}$ (medido)', '$r_{fke}$ (FKE)', '$r$ (real)', '
    Interpreter', 'latex', 'FontSize', 30);
299 ax = gca; ax.FontSize = 18;
300 if traj == 1
301     saveas(f, './Plots\Reto nivelado\r_FKE_rn.png');
```

```
302 else
303     saveas(f, './Plots\Curva coordenada\r_FKE_cc.png');
304 end
305
306 %% CD_0
307 f(1) = figure;
308 f.WindowState = 'maximized';
309 pl = stairs(time, [CD_0_fke, CD_0]);
310 pl(1).LineWidth = 1.5;
311 pl(2).LineWidth = 1.5;
312 grid on;
313 xlabel('Tempo (s)', 'Interpreter', 'latex', 'FontSize', 30);
314 ylabel('$CD_0$', 'Interpreter', 'latex', 'FontSize', 30);
315 legend('$CD_{0_{fke}}$ (FKE)', '$CD_0$ (real)', 'Interpreter',
        'latex', 'FontSize', 30);
316 ax = gca; ax.FontSize = 18;
317 if traj == 1
318     saveas(f, './Plots\Reto nivelado\CD_0_FKE_rn.png');
319 else
320     saveas(f, './Plots\Curva coordenada\CD_0_FKE_cc.png');
321 end
322
323 %% CY_beta
324 f(1) = figure;
325 f.WindowState = 'maximized';
326 pl = stairs(time, [CY_beta_fke, CY_beta]);
327 pl(1).LineWidth = 1.5;
328 pl(2).LineWidth = 1.5;
329 grid on;
330 xlabel('Tempo (s)', 'Interpreter', 'latex', 'FontSize', 30);
331 ylabel('$CY_{\beta}$', 'Interpreter', 'latex', 'FontSize',
        30);
332 legend('$CY_{\beta_{fke}}$ (FKE)', '$CY_{\beta}$ (real)', '
        Interpreter', 'latex', 'FontSize', 30);
333 ax = gca; ax.FontSize = 18;
334 if traj == 1
335     saveas(f, './Plots\Reto nivelado\CY_beta_FKE_rn.png');
336 else
337     saveas(f, './Plots\Curva coordenada\CY_beta_FKE_cc.png');
```

```
338 end
339
340 %% CY_delta_r
341 f(1) = figure;
342 f.WindowState = 'maximized';
343 pl = stairs(time, [CY_delta_r_fke, CY_delta_r]);
344 pl(1).LineWidth = 1.5;
345 pl(2).LineWidth = 1.5;
346 grid on;
347 xlabel('Tempo (s)', 'Interpreter', 'latex', 'FontSize', 30);
348 ylabel('$CY_{\delta_r}$', 'Interpreter', 'latex', 'FontSize', 30);
349 legend('$CY_{\delta_{r_{fke}}}$ (FKE)', '$CY_{\delta_r}$ (real)', 'Interpreter', 'latex', 'FontSize', 30);
350 ax = gca; ax.FontSize = 18;
351 if traj == 1
352     saveas(f, './Plots\Reto nivelado\CY_delta_r_FKE_rn.png');
353 else
354     saveas(f, './Plots\Curva coordenada\CY_delta_r_FKE_cc.png');
355 end
356
357 %% CY_delta_a
358 f(1) = figure;
359 f.WindowState = 'maximized';
360 pl = stairs(time, [CY_delta_a_fke, CY_delta_a]);
361 pl(1).LineWidth = 1.5;
362 pl(2).LineWidth = 1.5;
363 grid on;
364 xlabel('Tempo (s)', 'Interpreter', 'latex', 'FontSize', 30);
365 ylabel('$CY_{\delta_a}$', 'Interpreter', 'latex', 'FontSize', 30);
366 legend('$CY_{\delta_{a_{fke}}}$ (FKE)', '$CY_{\delta_a}$ (real)', 'Interpreter', 'latex', 'FontSize', 30);
367 ax = gca; ax.FontSize = 18;
368 if traj == 1
369     saveas(f, './Plots\Reto nivelado\CY_delta_a_FKE_rn.png');
370 else
```

```
371     saveas(f, './Plots\Curva coordenada\CY_delta_a_FKE_cc.png
        ');
372 end
373
374 %% CL_0
375 f(1) = figure;
376 f.WindowState = 'maximized';
377 pl = stairs(time, [CL_0_fke, CL_0]);
378 pl(1).LineWidth = 1.5;
379 pl(2).LineWidth = 1.5;
380 grid on;
381 xlabel('Tempo (s)', 'Interpreter', 'latex', 'FontSize', 30);
382 ylabel('$CL_0$', 'Interpreter', 'latex', 'FontSize', 30);
383 legend('$CL_{0_{fke}}$ (FKE)', '$CL_0$ (real)', 'Interpreter',
        'latex', 'FontSize', 30);
384 ax = gca; ax.FontSize = 18;
385 if traj == 1
386     saveas(f, './Plots\Reto nivelado\CL_0_FKE_rn.png');
387 else
388     saveas(f, './Plots\Curva coordenada\CL_0_FKE_cc.png');
389 end
390
391 %% CL_alpha
392 f(1) = figure;
393 f.WindowState = 'maximized';
394 pl = stairs(time, [CL_alpha_fke, CL_alpha]);
395 pl(1).LineWidth = 1.5;
396 pl(2).LineWidth = 1.5;
397 grid on;
398 xlabel('Tempo (s)', 'Interpreter', 'latex', 'FontSize', 30);
399 ylabel('$CL_{\alpha}$', 'Interpreter', 'latex', 'FontSize',
        30);
400 legend('$CL_{\alpha_{fke}}$ (FKE)', '$CL_{\alpha}$ (real)', '
        Interpreter', 'latex', 'FontSize', 30);
401 ax = gca; ax.FontSize = 18;
402 if traj == 1
403     saveas(f, './Plots\Reto nivelado\CL_alpha_FKE_rn.png');
404 else
```

```
405     saveas(f, './Plots\Curva coordenada\CL_alpha_FKE_cc.png')
406         ;
407 end
408 %% CL_delta_e
409 f(1) = figure;
410 f.WindowState = 'maximized';
411 pl = stairs(time, [CL_delta_e_fke, CL_delta_e]);
412 pl(1).LineWidth = 1.5;
413 pl(2).LineWidth = 1.5;
414 grid on;
415 xlabel('Tempo (s)', 'Interpreter', 'latex', 'FontSize', 30);
416 ylabel('$CL_{\delta_e}$', 'Interpreter', 'latex', 'FontSize',
417     30);
418 legend('$CL_{\delta_{e_{fke}}}$ (FKE)', '$CL_{\delta_e}$ (
419     real)', 'Interpreter', 'latex', 'FontSize', 30);
420 ax = gca; ax.FontSize = 18;
421 if traj == 1
422     saveas(f, './Plots\Reto nivelado\CL_delta_e_FKE_rn.png');
423 else
424     saveas(f, './Plots\Curva coordenada\CL_delta_e_FKE_cc.png
425         ');
426 end
427 %% CL_q
428 f(1) = figure;
429 f.WindowState = 'maximized';
430 pl = stairs(time, [CL_q_fke, CL_q]);
431 pl(1).LineWidth = 1.5;
432 pl(2).LineWidth = 1.5;
433 grid on;
434 xlabel('Tempo (s)', 'Interpreter', 'latex', 'FontSize', 30);
435 ylabel('$CL_{q}$', 'Interpreter', 'latex', 'FontSize', 30);
436 legend('$CL_{q_{fke}}$ (FKE)', '$CL_q$ (real)', 'Interpreter',
437     'latex', 'FontSize', 30);
438 ax = gca; ax.FontSize = 18;
439 if traj == 1
440     saveas(f, './Plots\Reto nivelado\CL_q_FKE_rn.png');
441 else
```

```
439     saveas(f, './Plots\Curva coordenada\Cl_q_FKE_cc.png');
440 end
441
442 %% Cl_beta
443 f(1) = figure;
444 f.WindowState = 'maximized';
445 pl = stairs(time, [Cl_beta_fke, Cl_beta]);
446 pl(1).LineWidth = 1.5;
447 pl(2).LineWidth = 1.5;
448 grid on;
449 xlabel('Tempo (s)', 'Interpreter', 'latex', 'FontSize', 30);
450 ylabel('$Cl_{\beta}$', 'Interpreter', 'latex', 'FontSize',
    30);
451 legend('$Cl_{\beta_{fke}}$ (FKE)', '$Cl_{\beta}$ (real)', '
    Interpreter', 'latex', 'FontSize', 30);
452 ax = gca; ax.FontSize = 18;
453 if traj == 1
454     saveas(f, './Plots\Reto nivelado\Cl_beta_FKE_rn.png');
455 else
456     saveas(f, './Plots\Curva coordenada\Cl_beta_FKE_cc.png');
457 end
458
459 %% Cl_delta_r
460 f(1) = figure;
461 f.WindowState = 'maximized';
462 pl = stairs(time, [Cl_delta_r_fke, Cl_delta_r]);
463 pl(1).LineWidth = 1.5;
464 pl(2).LineWidth = 1.5;
465 grid on;
466 xlabel('Tempo (s)', 'Interpreter', 'latex', 'FontSize', 30);
467 ylabel('$Cl_{\delta_r}$', 'Interpreter', 'latex', 'FontSize',
    30);
468 legend('$Cl_{\delta_{r_{fke}}}$ (FKE)', '$Cl_{\delta_r}$ (
    real)', 'Interpreter', 'latex', 'FontSize', 30);
469 ax = gca; ax.FontSize = 18;
470 if traj == 1
471     saveas(f, './Plots\Reto nivelado\Cl_delta_r_FKE_rn.png');
472 else
```

```
473     saveas(f, './Plots/Curva coordenada\C1_delta_r_FKE_cc.png
        ');
474 end
475
476 %% C1_delta_a
477 f(1) = figure;
478 f.WindowState = 'maximized';
479 pl = stairs(time, [C1_delta_a_fke, C1_delta_a]);
480 pl(1).LineWidth = 1.5;
481 pl(2).LineWidth = 1.5;
482 grid on;
483 xlabel('Tempo (s)', 'Interpreter', 'latex', 'FontSize', 30);
484 ylabel('$C1_{\delta_a}$', 'Interpreter', 'latex', 'FontSize',
        30);
485 legend('$C1_{\delta_{a_{fke}}}$ (FKE)', '$C1_{\delta_a}$ (
        real)', 'Interpreter', 'latex', 'FontSize', 30);
486 ax = gca; ax.FontSize = 18;
487 if traj == 1
488     saveas(f, './Plots/Reto nivelado\C1_delta_a_FKE_rn.png');
489 else
490     saveas(f, './Plots/Curva coordenada\C1_delta_a_FKE_cc.png
        ');
491 end
492
493 %% C1_p
494 f(1) = figure;
495 f.WindowState = 'maximized';
496 pl = stairs(time, [C1_p_fke, C1_p]);
497 pl(1).LineWidth = 1.5;
498 pl(2).LineWidth = 1.5;
499 grid on;
500 xlabel('Tempo (s)', 'Interpreter', 'latex', 'FontSize', 30);
501 ylabel('$C1_p$', 'Interpreter', 'latex', 'FontSize', 30);
502 legend('$C1_{p_{fke}}$ (FKE)', '$C1_p$ (real)', 'Interpreter',
        'latex', 'FontSize', 30);
503 ax = gca; ax.FontSize = 18;
504 if traj == 1
505     saveas(f, './Plots/Reto nivelado\C1_p_FKE_rn.png');
506 else
```

```
507     saveas(f, './Plots/Curva coordenada/C1_p_FKE_cc.png');
508 end
509
510 %% C1_r
511 f(1) = figure;
512 f.WindowState = 'maximized';
513 pl = stairs(time, [C1_r_fke, C1_r]);
514 pl(1).LineWidth = 1.5;
515 pl(2).LineWidth = 1.5;
516 grid on;
517 xlabel('Tempo (s)', 'Interpreter', 'latex', 'FontSize', 30);
518 ylabel('$C1_r$', 'Interpreter', 'latex', 'FontSize', 30);
519 legend('$C1_{r_{fke}}$ (FKE)', '$C1_r$ (real)', 'Interpreter',
        'latex', 'FontSize', 30);
520 ax = gca; ax.FontSize = 18;
521 if traj == 1
522     saveas(f, './Plots/Reto nivelado/C1_r_FKE_rn.png');
523 else
524     saveas(f, './Plots/Curva coordenada/C1_r_FKE_cc.png');
525 end
526
527 %% Cm_0
528 f(1) = figure;
529 f.WindowState = 'maximized';
530 pl = stairs(time, [Cm_0_fke, Cm_0]);
531 pl(1).LineWidth = 1.5;
532 pl(2).LineWidth = 1.5;
533 grid on;
534 xlabel('Tempo (s)', 'Interpreter', 'latex', 'FontSize', 30);
535 ylabel('$Cm_0$', 'Interpreter', 'latex', 'FontSize', 30);
536 legend('$Cm_{0_{fke}}$ (FKE)', '$Cm_0$ (real)', 'Interpreter',
        'latex', 'FontSize', 30);
537 ax = gca; ax.FontSize = 18;
538 if traj == 1
539     saveas(f, './Plots/Reto nivelado/Cm_0_FKE_rn.png');
540 else
541     saveas(f, './Plots/Curva coordenada/Cm_0_FKE_cc.png');
542 end
543
```



```
544 %% Cm_alpha
545 f(1) = figure;
546 f.WindowState = 'maximized';
547 pl = stairs(time, [Cm_alpha_fke, Cm_alpha]);
548 pl(1).LineWidth = 1.5;
549 pl(2).LineWidth = 1.5;
550 grid on;
551 xlabel('Tempo (s)', 'Interpreter', 'latex', 'FontSize', 30);
552 ylabel('$Cm_{\alpha}$', 'Interpreter', 'latex', 'FontSize',
553       30);
554 legend('$Cm_{\alpha_{fke}}$ (FKE)', '$Cm_{\alpha}$ (real)',
555       'Interpreter', 'latex', 'FontSize', 30);
556 ax = gca; ax.FontSize = 18;
557 if traj == 1
558     saveas(f, './Plots\Reto nivelado\Cm_alpha_FKE_rn.png');
559 else
560     saveas(f, './Plots\Curva coordenada\Cm_alpha_FKE_cc.png')
561     ;
562 end
563
564 %% Cm_delta_e
565 f(1) = figure;
566 f.WindowState = 'maximized';
567 pl = stairs(time, [Cm_delta_e_fke, Cm_delta_e]);
568 pl(1).LineWidth = 1.5;
569 pl(2).LineWidth = 1.5;
570 grid on;
571 xlabel('Tempo (s)', 'Interpreter', 'latex', 'FontSize', 30);
572 ylabel('$Cm_{\delta_e}$', 'Interpreter', 'latex', 'FontSize',
573       30);
574 legend('$Cm_{\delta_{e_{fke}}}$ (FKE)', '$Cm_{\delta_e}$ (
575       real)', 'Interpreter', 'latex', 'FontSize', 30);
576 ax = gca; ax.FontSize = 18;
577 if traj == 1
578     saveas(f, './Plots\Reto nivelado\Cm_delta_e_FKE_rn.png');
579 else
580     saveas(f, './Plots\Curva coordenada\Cm_delta_e_FKE_cc.png
581           ');
582 end
```

```
577
578 %% Cm_q
579 f(1) = figure;
580 f.WindowState = 'maximized';
581 pl = stairs(time, [Cm_q_fke, Cm_q]);
582 pl(1).LineWidth = 1.5;
583 pl(2).LineWidth = 1.5;
584 grid on;
585 xlabel('Tempo (s)', 'Interpreter', 'latex', 'FontSize', 30);
586 ylabel('$Cm_q$', 'Interpreter', 'latex', 'FontSize', 30);
587 legend('$Cm_{q_{fke}}$ (FKE)', '$Cm_q$ (real)', 'Interpreter',
        'latex', 'FontSize', 30);
588 ax = gca; ax.FontSize = 18;
589 if traj == 1
590     saveas(f, './Plots\Reto nivelado\Cm_q_FKE_rn.png');
591 else
592     saveas(f, './Plots\Curva coordenada\Cm_q_FKE_cc.png');
593 end
594
595 %% Cn_beta
596 f(1) = figure;
597 f.WindowState = 'maximized';
598 pl = stairs(time, [Cn_beta_fke, Cn_beta]);
599 pl(1).LineWidth = 1.5;
600 pl(2).LineWidth = 1.5;
601 grid on;
602 xlabel('Tempo (s)', 'Interpreter', 'latex', 'FontSize', 30);
603 ylabel('$Cn_{\beta}$', 'Interpreter', 'latex', 'FontSize',
        30);
604 legend('$Cn_{\beta_{fke}}$ (FKE)', '$Cn_{\beta}$ (real)', '
        Interpreter', 'latex', 'FontSize', 30);
605 ax = gca; ax.FontSize = 18;
606 if traj == 1
607     saveas(f, './Plots\Reto nivelado\Cn_beta_FKE_rn.png');
608 else
609     saveas(f, './Plots\Curva coordenada\Cn_beta_FKE_cc.png');
610 end
611
612 %% Cn_delta_r
```

```
613 f(1) = figure;
614 f.WindowState = 'maximized';
615 pl = stairs(time, [Cn_delta_r_fke, Cn_delta_r]);
616 pl(1).LineWidth = 1.5;
617 pl(2).LineWidth = 1.5;
618 grid on;
619 xlabel('Tempo (s)', 'Interpreter', 'latex', 'FontSize', 30);
620 ylabel('$Cn_{\delta_r}$', 'Interpreter', 'latex', 'FontSize',
        30);
621 legend('$Cn_{\delta_{r_{fke}}}$ (FKE)', '$Cn_{\delta_r}$ (
        real)', 'Interpreter', 'latex', 'FontSize', 30);
622 ax = gca; ax.FontSize = 18;
623 if traj == 1
624     saveas(f, './Plots\Reto nivelado\Cn_delta_r_FKE_rn.png');
625 else
626     saveas(f, './Plots\Curva coordenada\Cn_delta_r_FKE_cc.png
        ');
627 end
628
629 %% Cn_delta_a
630 f(1) = figure;
631 f.WindowState = 'maximized';
632 pl = stairs(time, [Cn_delta_a_fke, Cn_delta_a]);
633 pl(1).LineWidth = 1.5;
634 pl(2).LineWidth = 1.5;
635 grid on;
636 xlabel('Tempo (s)', 'Interpreter', 'latex', 'FontSize', 30);
637 ylabel('$Cn_{\delta_a}$', 'Interpreter', 'latex', 'FontSize',
        30);
638 legend('$Cn_{\delta_{a_{fke}}}$ (FKE)', '$Cn_{\delta_a}$ (
        real)', 'Interpreter', 'latex', 'FontSize', 30);
639 ax = gca; ax.FontSize = 18;
640 if traj == 1
641     saveas(f, './Plots\Reto nivelado\Cn_delta_a_FKE_rn.png');
642 else
643     saveas(f, './Plots\Curva coordenada\Cn_delta_a_FKE_cc.png
        ');
644 end
645
```

```
646 %% Cn_p
647 f(1) = figure;
648 f.WindowState = 'maximized';
649 pl = stairs(time, [Cn_p_fke, Cn_p]);
650 pl(1).LineWidth = 1.5;
651 pl(2).LineWidth = 1.5;
652 grid on;
653 xlabel('Tempo (s)', 'Interpreter', 'latex', 'FontSize', 30);
654 ylabel('$Cn_p$', 'Interpreter', 'latex', 'FontSize', 30);
655 legend('$Cn_{p_{fke}}$ (FKE)', '$Cn_p$ (real)', 'Interpreter',
        'latex', 'FontSize', 30);
656 ax = gca; ax.FontSize = 18;
657 if traj == 1
658     saveas(f, './Plots\Reto nivelado\Cn_p_FKE_rn.png');
659 else
660     saveas(f, './Plots\Curva coordenada\Cn_p_FKE_cc.png');
661 end
662
663 %% Cn_r
664 f(1) = figure;
665 f.WindowState = 'maximized';
666 pl = stairs(time, [Cn_r_fke, Cn_r]);
667 pl(1).LineWidth = 1.5;
668 pl(2).LineWidth = 1.5;
669 grid on;
670 xlabel('Tempo (s)', 'Interpreter', 'latex', 'FontSize', 30);
671 ylabel('$Cn_r$', 'Interpreter', 'latex', 'FontSize', 30);
672 legend('$Cn_{r_{fke}}$ (FKE)', '$Cn_r$ (real)', 'Interpreter',
        'latex', 'FontSize', 30);
673 ax = gca; ax.FontSize = 18;
674 if traj == 1
675     saveas(f, './Plots\Reto nivelado\Cn_r_FKE_rn.png');
676 else
677     saveas(f, './Plots\Curva coordenada\Cn_r_FKE_cc.png');
678 end
679
680 %% Erro e desvio padrao
681
682 %% x_E
```

```
683 f(1) = figure;
684 f.WindowState = 'maximized';
685 pl = stairs(time, [3*sigma_x_E, x_E - x_E_fke, -3*sigma_x_E])
    ;
686 pl(1).LineWidth = 1.5;
687 pl(2).LineWidth = 1.5;
688 pl(3).LineWidth = 1.5;
689 grid on;
690 xlabel('Tempo (s)', 'Interpreter', 'latex', 'FontSize', 30);
691 legend('$\ +3\sigma_{x_E}$', '$\ x_E - x_{E_{fke}}$ (erro)',
        '$\ -3\sigma_{x_E}$', 'Interpreter', 'latex', 'FontSize',
        30);
692 ax = gca; ax.FontSize = 18;
693 if traj == 1
694     saveas(f, './Plots\Reto nivelado\erro_x_E_FKE_rn.png');
695 else
696     saveas(f, './Plots\Curva coordenada\erro_x_E_FKE_cc.png')
        ;
697 end
698
699 %% y_E
700 f(1) = figure;
701 f.WindowState = 'maximized';
702 pl = stairs(time, [3*sigma_y_E, y_E - y_E_fke, -3*sigma_y_E])
    ;
703 pl(1).LineWidth = 1.5;
704 pl(2).LineWidth = 1.5;
705 pl(3).LineWidth = 1.5;
706 grid on;
707 xlabel('Tempo (s)', 'Interpreter', 'latex', 'FontSize', 30);
708 legend('$\ +3\sigma_{y_E}$', '$\ y_E - y_{E_{fke}}$ (erro)',
        '$\ -3\sigma_{y_E}$', 'Interpreter', 'latex', 'FontSize',
        30);
709 ax = gca; ax.FontSize = 18;
710 if traj == 1
711     saveas(f, './Plots\Reto nivelado\erro_y_E_FKE_rn.png');
712 else
713     saveas(f, './Plots\Curva coordenada\erro_y_E_FKE_cc.png')
        ;
```

```
714 end
715
716 %% z_E
717 f(1) = figure;
718 f.WindowState = 'maximized';
719 pl = stairs(time, [3*sigma_z_E, z_E - z_E_fke, -3*sigma_z_E])
    ;
720 pl(1).LineWidth = 1.5;
721 pl(2).LineWidth = 1.5;
722 pl(3).LineWidth = 1.5;
723 grid on;
724 xlabel('Tempo (s)', 'Interpreter', 'latex', 'FontSize', 30);
725 legend('$\ +3\sigma_{z_E}$', '$\ z_E - z_{E_{fke}}$ (erro)',
    '$\ -3\sigma_{z_E}$', 'Interpreter', 'latex', 'FontSize',
    30);
726 ax = gca; ax.FontSize = 18;
727 if traj == 1
728     saveas(f, './Plots\Reto nivelado\erro_z_E_FKE_rn.png');
729 else
730     saveas(f, './Plots\Curva coordenada\erro_z_E_FKE_cc.png')
    ;
731 end
732
733 %% phi
734 f(1) = figure;
735 f.WindowState = 'maximized';
736 pl = stairs(time, [3*sigma_phi, phi - phi_fke, -3*sigma_phi])
    ;
737 pl(1).LineWidth = 1.5;
738 pl(2).LineWidth = 1.5;
739 pl(3).LineWidth = 1.5;
740 grid on;
741 xlabel('Tempo (s)', 'Interpreter', 'latex', 'FontSize', 30);
742 legend('$\ +3\sigma_{\phi}$', '$\ \phi - \phi_{fke}$ (erro)',
    '$\ -3\sigma_{\phi}$', 'Interpreter', 'latex', 'FontSize'
    , 30);
743 ax = gca; ax.FontSize = 18;
744 if traj == 1
745     saveas(f, './Plots\Reto nivelado\erro_phi_FKE_rn.png');
```

```
746 else
747     saveas(f, './Plots\Curva coordenada\erro_phi_FKE_cc.png')
748     ;
749 end
750 %% theta
751 f(1) = figure;
752 f.WindowState = 'maximized';
753 pl = stairs(time, [3*sigma_theta, theta - theta_fke, -3*
754     sigma_theta]);
755 pl(1).LineWidth = 1.5;
756 pl(2).LineWidth = 1.5;
757 pl(3).LineWidth = 1.5;
758 grid on;
759 xlabel('Tempo (s)', 'Interpreter', 'latex', 'FontSize', 30);
760 legend('$\ +3\sigma_{\theta}$', '$\ \theta - \theta_{fke}$ (
761     erro)', '$\ -3\sigma_{\theta}$', 'Interpreter', 'latex', '
762     FontSize', 30);
763 ax = gca; ax.FontSize = 18;
764 if traj == 1
765     saveas(f, './Plots\Reto nivelado\erro_theta_FKE_rn.png');
766 else
767     saveas(f, './Plots\Curva coordenada\erro_theta_FKE_cc.png
768     ');
769 end
770 %% psi
771 f(1) = figure;
772 f.WindowState = 'maximized';
773 pl = stairs(time, [3*sigma_psi, psi - psi_fke, -3*sigma_psi])
774     ;
775 pl(1).LineWidth = 1.5;
776 pl(2).LineWidth = 1.5;
777 pl(3).LineWidth = 1.5;
778 grid on;
779 xlabel('Tempo (s)', 'Interpreter', 'latex', 'FontSize', 30);
780 legend('$\ +3\sigma_{\psi}$', '$\ \psi - \psi_{fke}$ (erro)',
781     '$\ -3\sigma_{\psi}$', 'Interpreter', 'latex', 'FontSize'
782     , 30);
```

```
777 ax = gca; ax.FontSize = 18;
778 if traj == 1
779     saveas(f, './Plots\Reto nivelado\erro_psi_FKE_rn.png');
780 else
781     saveas(f, './Plots\Curva coordenada\erro_psi_FKE_cc.png')
782     ;
783 end
784 %% u
785 f(1) = figure;
786 f.WindowState = 'maximized';
787 pl = stairs(time, [3*sigma_u, u - u_fke, -3*sigma_u]);
788 pl(1).LineWidth = 1.5;
789 pl(2).LineWidth = 1.5;
790 pl(3).LineWidth = 1.5;
791 grid on;
792 xlabel('Tempo (s)', 'Interpreter', 'latex', 'FontSize', 30);
793 legend('$\ +3\sigma_u$', '$\ u - u_{fke}$ (erro)', '$\ -3\sigma_u$', 'Interpreter', 'latex', 'FontSize', 30);
794 ax = gca; ax.FontSize = 18;
795 if traj == 1
796     saveas(f, './Plots\Reto nivelado\erro_u_FKE_rn.png');
797 else
798     saveas(f, './Plots\Curva coordenada\erro_u_FKE_cc.png');
799 end
800 %% v
801 f(1) = figure;
802 f.WindowState = 'maximized';
803 pl = stairs(time, [3*sigma_v, v - v_fke, -3*sigma_v]);
804 pl(1).LineWidth = 1.5;
805 pl(2).LineWidth = 1.5;
806 pl(3).LineWidth = 1.5;
807 grid on;
808 xlabel('Tempo (s)', 'Interpreter', 'latex', 'FontSize', 30);
809 legend('$\ +3\sigma_v$', '$\ v - v_{fke}$ (erro)', '$\ -3\sigma_v$', 'Interpreter', 'latex', 'FontSize', 30);
810 ax = gca; ax.FontSize = 18;
811 if traj == 1
```



```
813     saveas(f, './Plots\Reto nivelado\erro_v_FKE_rn.png');
814 else
815     saveas(f, './Plots\Curva coordenada\erro_v_FKE_cc.png');
816 end
817
818 %% w
819 f(1) = figure;
820 f.WindowState = 'maximized';
821 pl = stairs(time, [3*sigma_w, w - w_fke, -3*sigma_w]);
822 pl(1).LineWidth = 1.5;
823 pl(2).LineWidth = 1.5;
824 pl(3).LineWidth = 1.5;
825 grid on;
826 xlabel('Tempo (s)', 'Interpreter', 'latex', 'FontSize', 30);
827 legend('$\ +3\sigma_w$', '$\ w - w_{fke}$ (erro)', '$\ -3\sigma_w$', 'Interpreter', 'latex', 'FontSize', 30);
828 ax = gca; ax.FontSize = 18;
829 if traj == 1
830     saveas(f, './Plots\Reto nivelado\erro_w_FKE_rn.png');
831 else
832     saveas(f, './Plots\Curva coordenada\erro_w_FKE_cc.png');
833 end
834
835 %% p
836 f(1) = figure;
837 f.WindowState = 'maximized';
838 pl = stairs(time, [3*sigma_p, p - p_fke, -3*sigma_p]);
839 pl(1).LineWidth = 1.5;
840 pl(2).LineWidth = 1.5;
841 pl(3).LineWidth = 1.5;
842 grid on;
843 xlabel('Tempo (s)', 'Interpreter', 'latex', 'FontSize', 30);
844 legend('$\ +3\sigma_p$', '$\ p - p_{fke}$ (erro)', '$\ -3\sigma_p$', 'Interpreter', 'latex', 'FontSize', 30);
845 ax = gca; ax.FontSize = 18;
846 if traj == 1
847     saveas(f, './Plots\Reto nivelado\erro_p_FKE_rn.png');
848 else
849     saveas(f, './Plots\Curva coordenada\erro_p_FKE_cc.png');
```

```
850 end
851
852 %% q
853 f(1) = figure;
854 f.WindowState = 'maximized';
855 pl = stairs(time, [3*sigma_q, q - q_fke, -3*sigma_q]);
856 pl(1).LineWidth = 1.5;
857 pl(2).LineWidth = 1.5;
858 pl(3).LineWidth = 1.5;
859 grid on;
860 xlabel('Tempo (s)', 'Interpreter', 'latex', 'FontSize', 30);
861 legend('$\ +3\sigma_q$', '$\ q - q_{fke}$ (erro)', '$\ -3\sigma_q$', 'Interpreter', 'latex', 'FontSize', 30);
862 ax = gca; ax.FontSize = 18;
863 if traj == 1
864     saveas(f, './Plots\Reto nivelado\erro_q_FKE_rn.png');
865 else
866     saveas(f, './Plots\Curva coordenada\erro_q_FKE_cc.png');
867 end
868
869 %% r
870 f(1) = figure;
871 f.WindowState = 'maximized';
872 pl = stairs(time, [3*sigma_r, r - r_fke, -3*sigma_r]);
873 pl(1).LineWidth = 1.5;
874 pl(2).LineWidth = 1.5;
875 pl(3).LineWidth = 1.5;
876 grid on;
877 xlabel('Tempo (s)', 'Interpreter', 'latex', 'FontSize', 30);
878 legend('$\ +3\sigma_r$', '$\ r - r_{fke}$ (erro)', '$\ -3\sigma_r$', 'Interpreter', 'latex', 'FontSize', 30);
879 ax = gca; ax.FontSize = 18;
880 if traj == 1
881     saveas(f, './Plots\Reto nivelado\erro_r_FKE_rn.png');
882 else
883     saveas(f, './Plots\Curva coordenada\erro_r_FKE_cc.png');
884 end
885
886 %% CD_0
```

```
887 f(1) = figure;
888 f.WindowState = 'maximized';
889 pl = stairs(time, [3*sigma_CD_0, CD_0 - CD_0_fke, -3*
    sigma_CD_0]);
890 pl(1).LineWidth = 1.5;
891 pl(2).LineWidth = 1.5;
892 pl(3).LineWidth = 1.5;
893 grid on;
894 xlabel('Tempo (s)', 'Interpreter', 'latex', 'FontSize', 30);
895 legend('$\ +3\sigma_{C_{D_0}}$', '$\ C_{D_0} - C_{D_{0\_fke}}$ (erro)', '$\ -3\sigma_{C_{D_0}}$', 'Interpreter', '
    latex', 'FontSize', 30);
896 ax = gca; ax.FontSize = 18;
897 if traj == 1
898     saveas(f, './Plots\Reto nivelado\erro_CD_0_FKE_rn.png');
899 else
900     saveas(f, './Plots\Curva coordenada\erro_CD_0_FKE_cc.png'
        );
901 end
902
903 %% CY_beta
904 f(1) = figure;
905 f.WindowState = 'maximized';
906 pl = stairs(time, [3*sigma_CY_beta, CY_beta - CY_beta_fke,
    -3*sigma_CY_beta]);
907 pl(1).LineWidth = 1.5;
908 pl(2).LineWidth = 1.5;
909 pl(3).LineWidth = 1.5;
910 grid on;
911 xlabel('Tempo (s)', 'Interpreter', 'latex', 'FontSize', 30);
912 legend('$\ +3\sigma_{C_{Y\_beta}}$', '$\ C_{Y\_beta} - C_{Y\_
    {\beta\_fke}}$ (erro)', '$\ -3\sigma_{C_{Y\_beta}}$', '
    Interpreter', 'latex', 'FontSize', 30);
913 ax = gca; ax.FontSize = 18;
914 if traj == 1
915     saveas(f, './Plots\Reto nivelado\erro_CY_beta_FKE_rn.png'
        );
916 else
```

```
917     saveas(f, './Plots\Curva coordenada\erro_CY_beta_FKE_cc.
          png');
918 end
919
920 %% CY_delta_r
921 f(1) = figure;
922 f.WindowState = 'maximized';
923 pl = stairs(time, [3*sigma_CY_delta_r, CY_delta_r -
          CY_delta_r_fke, -3*sigma_CY_delta_r]);
924 pl(1).LineWidth = 1.5;
925 pl(2).LineWidth = 1.5;
926 pl(3).LineWidth = 1.5;
927 grid on;
928 xlabel('Tempo (s)', 'Interpreter', 'latex', 'FontSize', 30);
929 legend('$\ +3\sigma_{C_{Y_{\delta_r}}}$', '$\ C_{Y_{\delta_r}}
          \} - C_{Y_{\delta_r\{fke}}}$ (erro)', '$\ -3\sigma_{C_{
          Y_{\delta_r}}}$', 'Interpreter', 'latex', 'FontSize', 30);
930 ax = gca; ax.FontSize = 18;
931 if traj == 1
932     saveas(f, './Plots\Reto nivelado\erro_CY_delta_r_FKE_rn.
          png');
933 else
934     saveas(f, './Plots\Curva coordenada\
          erro_CY_delta_r_FKE_cc.png');
935 end
936
937 %% CY_delta_a
938 f(1) = figure;
939 f.WindowState = 'maximized';
940 pl = stairs(time, [3*sigma_CY_delta_a, CY_delta_a -
          CY_delta_a_fke, -3*sigma_CY_delta_a]);
941 pl(1).LineWidth = 1.5;
942 pl(2).LineWidth = 1.5;
943 pl(3).LineWidth = 1.5;
944 grid on;
945 xlabel('Tempo (s)', 'Interpreter', 'latex', 'FontSize', 30);
946 legend('$\ +3\sigma_{C_{Y_{\delta_a}}}$', '$\ C_{Y_{\delta_a}}
          \} - C_{Y_{\delta_a\{fke}}}$ (erro)', '$\ -3\sigma_{C_{
          Y_{\delta_a}}}$', 'Interpreter', 'latex', 'FontSize', 30);
```

```
947 ax = gca; ax.FontSize = 18;
948 if traj == 1
949     saveas(f, './Plots\Reto nivelado\erro_CY_delta_a_FKE_rn.
          png');
950 else
951     saveas(f, './Plots\Curva coordenada\
          erro_CY_delta_a_FKE_cc.png');
952 end
953
954 %% CL_0
955 f(1) = figure;
956 f.WindowState = 'maximized';
957 pl = stairs(time, [3*sigma_CL_0, CL_0 - CL_0_fke, -3*
          sigma_CL_0]);
958 pl(1).LineWidth = 1.5;
959 pl(2).LineWidth = 1.5;
960 pl(3).LineWidth = 1.5;
961 grid on;
962 xlabel('Tempo (s)', 'Interpreter', 'latex', 'FontSize', 30);
963 legend('$\ +3\sigma_{C_{L_0}}$', '$\ C_{L_0} - C_{L_{0_{fke}}}$
          (erro)', '$\ -3\sigma_{C_{L_0}}$', 'Interpreter', '
          latex', 'FontSize', 30);
964 ax = gca; ax.FontSize = 18;
965 if traj == 1
966     saveas(f, './Plots\Reto nivelado\erro_CL_0_FKE_rn.png');
967 else
968     saveas(f, './Plots\Curva coordenada\erro_CL_0_FKE_cc.png'
          );
969 end
970
971 %% CL_alpha
972 f(1) = figure;
973 f.WindowState = 'maximized';
974 pl = stairs(time, [3*sigma_CL_alpha, CL_alpha - CL_alpha_fke,
          -3*sigma_CL_alpha]);
975 pl(1).LineWidth = 1.5;
976 pl(2).LineWidth = 1.5;
977 pl(3).LineWidth = 1.5;
978 grid on;
```

```
979 xlabel('Tempo (s)', 'Interpreter', 'latex', 'FontSize', 30);
980 legend('$\ +3\sigma_{C_{L\alpha}}$', '$\ C_{L\alpha} - C_{L\alpha_{fke}}$ (erro)', '$\ -3\sigma_{C_{L\alpha}}$',
        'Interpreter', 'latex', 'FontSize', 30);
981 ax = gca; ax.FontSize = 18;
982 if traj == 1
983     saveas(f, './Plots\Reto nivelado\erro_CL_alpha_FKE_rn.png
        ');
984 else
985     saveas(f, './Plots\Curva coordenada\erro_CL_alpha_FKE_cc.
        png');
986 end
987
988 %% CL_delta_e
989 f(1) = figure;
990 f.WindowState = 'maximized';
991 pl = stairs(time, [3*sigma_CL_delta_e, CL_delta_e -
        CL_delta_e_fke, -3*sigma_CL_delta_e]);
992 pl(1).LineWidth = 1.5;
993 pl(2).LineWidth = 1.5;
994 pl(3).LineWidth = 1.5;
995 grid on;
996 xlabel('Tempo (s)', 'Interpreter', 'latex', 'FontSize', 30);
997 legend('$\ +3\sigma_{C_{L\{\delta_e\}}}$', '$\ C_{L\{\delta_e\}} - C_{L\{\delta_e_{fke}\}}$ (erro)', '$\ -3\sigma_{C_{L\{\delta_e\}}}$',
        'Interpreter', 'latex', 'FontSize', 30);
998 ax = gca; ax.FontSize = 18;
999 if traj == 1
1000     saveas(f, './Plots\Reto nivelado\erro_CL_delta_e_FKE_rn.
        png');
1001 else
1002     saveas(f, './Plots\Curva coordenada\
        erro_CL_delta_e_FKE_cc.png');
1003 end
1004
1005 %% CL_q
1006 f(1) = figure;
1007 f.WindowState = 'maximized';
```

```
1008 pl = stairs(time, [3*sigma_CL_q, CL_q - CL_q_fke, -3*
      sigma_CL_q]);
1009 pl(1).LineWidth = 1.5;
1010 pl(2).LineWidth = 1.5;
1011 pl(3).LineWidth = 1.5;
1012 grid on;
1013 xlabel('Tempo (s)', 'Interpreter', 'latex', 'FontSize', 30);
1014 legend('$\ +3\sigma_{C_{L_q}}$', '$\ C_{L_q} - C_{L_{q_{fke}}}$ (erro)', '$\ -3\sigma_{C_{L_q}}$', 'Interpreter', '
      latex', 'FontSize', 30);
1015 ax = gca; ax.FontSize = 18;
1016 if traj == 1
1017     saveas(f, './Plots\Reto nivelado\erro_CL_q_FKE_rn.png');
1018 else
1019     saveas(f, './Plots\Curva coordenada\erro_CL_q_FKE_cc.png'
      );
1020 end
1021
1022 %% Cl_beta
1023 f(1) = figure;
1024 f.WindowState = 'maximized';
1025 pl = stairs(time, [3*sigma_Cl_beta, Cl_beta - Cl_beta_fke,
      -3*sigma_Cl_beta]);
1026 pl(1).LineWidth = 1.5;
1027 pl(2).LineWidth = 1.5;
1028 pl(3).LineWidth = 1.5;
1029 grid on;
1030 xlabel('Tempo (s)', 'Interpreter', 'latex', 'FontSize', 30);
1031 legend('$\ +3\sigma_{C_{l\_beta}}$', '$\ C_{l\_beta} - C_{L_{\beta_{fke}}}$ (erro)', '$\ -3\sigma_{C_{l\_beta}}$', '
      Interpreter', 'latex', 'FontSize', 30);
1032 ax = gca; ax.FontSize = 18;
1033 if traj == 1
1034     saveas(f, './Plots\Reto nivelado\erro_Cl_beta_FKE_rn.png'
      );
1035 else
1036     saveas(f, './Plots\Curva coordenada\erro_Cl_beta_FKE_cc.
      png');
1037 end
```

```
1038
1039 %% Cl_delta_r
1040 f(1) = figure;
1041 f.WindowState = 'maximized';
1042 pl = stairs(time, [3*sigma_Cl_delta_r, Cl_delta_r -
    Cl_delta_r_fke, -3*sigma_Cl_delta_r]);
1043 pl(1).LineWidth = 1.5;
1044 pl(2).LineWidth = 1.5;
1045 pl(3).LineWidth = 1.5;
1046 grid on;
1047 xlabel('Tempo (s)', 'Interpreter', 'latex', 'FontSize', 30);
1048 legend('$\ +3\sigma_{C_{1_{\delta_r}}}$', '$\ C_{1_{\delta_r}}$
    } - C_{1_{\delta_{r_{fke}}}}$ (erro)', '$\ -3\sigma_{C_{1_{\delta_e}}}$',
    'Interpreter', 'latex', 'FontSize', 30);
1049 ax = gca; ax.FontSize = 18;
1050 if traj == 1
1051     saveas(f, './Plots\Reto nivelado\erro_Cl_delta_r_FKE_rn.
        png');
1052 else
1053     saveas(f, './Plots\Curva coordenada\
        erro_Cl_delta_r_FKE_cc.png');
1054 end
1055
1056 %% Cl_delta_a
1057 f(1) = figure;
1058 f.WindowState = 'maximized';
1059 pl = stairs(time, [3*sigma_Cl_delta_a, Cl_delta_a -
    Cl_delta_a_fke, -3*sigma_Cl_delta_a]);
1060 pl(1).LineWidth = 1.5;
1061 pl(2).LineWidth = 1.5;
1062 pl(3).LineWidth = 1.5;
1063 grid on;
1064 xlabel('Tempo (s)', 'Interpreter', 'latex', 'FontSize', 30);
1065 legend('$\ +3\sigma_{C_{1_{\delta_a}}}$', '$\ C_{1_{\delta_a}}$
    } - C_{1_{\delta_{a_{fke}}}}$ (erro)', '$\ -3\sigma_{C_{1_{\delta_a}}}$',
    'Interpreter', 'latex', 'FontSize', 30);
1066 ax = gca; ax.FontSize = 18;
1067 if traj == 1
```



```
1068     saveas(f, './Plots\Reto nivelado\erro_Cl_delta_a_FKE_rn.
        png');
1069 else
1070     saveas(f, './Plots\Curva coordenada\
        erro_Cl_delta_a_FKE_cc.png');
1071 end
1072
1073 %% Cl_p
1074 f(1) = figure;
1075 f.WindowState = 'maximized';
1076 pl = stairs(time, [3*sigma_Cl_p, Cl_p - Cl_p_fke, -3*
        sigma_Cl_p]);
1077 pl(1).LineWidth = 1.5;
1078 pl(2).LineWidth = 1.5;
1079 pl(3).LineWidth = 1.5;
1080 grid on;
1081 xlabel('Tempo (s)', 'Interpreter', 'latex', 'FontSize', 30);
1082 legend('$\ +3\sigma_{C_{1p}}$', '$\ C_{1p} - C_{1p_{fke}}
        \}$ (erro)', '$\ -3\sigma_{C_{1p}}$', 'Interpreter', '
        latex', 'FontSize', 30);
1083 ax = gca; ax.FontSize = 18;
1084 if traj == 1
1085     saveas(f, './Plots\Reto nivelado\erro_Cl_p_FKE_rn.png');
1086 else
1087     saveas(f, './Plots\Curva coordenada\erro_Cl_p_FKE_cc.png'
        );
1088 end
1089
1090 %% Cl_r
1091 f(1) = figure;
1092 f.WindowState = 'maximized';
1093 pl = stairs(time, [3*sigma_Cl_r, Cl_r - Cl_r_fke, -3*
        sigma_Cl_r]);
1094 pl(1).LineWidth = 1.5;
1095 pl(2).LineWidth = 1.5;
1096 pl(3).LineWidth = 1.5;
1097 grid on;
1098 xlabel('Tempo (s)', 'Interpreter', 'latex', 'FontSize', 30);
```

```
1099 legend('$\ +3\sigma_{C_{1_r}}$', '$\ C_{1_r} - C_{1_{r_{fke}}}$ (erro)', '$\ -3\sigma_{C_{1_r}}$', 'Interpreter', '
      latex', 'FontSize', 30);
1100 ax = gca; ax.FontSize = 18;
1101 if traj == 1
1102     saveas(f, './Plots\Reto nivelado\erro_C1_r_FKE_rn.png');
1103 else
1104     saveas(f, './Plots\Curva coordenada\erro_C1_r_FKE_cc.png'
      );
1105 end
1106
1107 %% Cm_0
1108 f(1) = figure;
1109 f.WindowState = 'maximized';
1110 pl = stairs(time, [3*sigma_Cm_0, Cm_0 - Cm_0_fke, -3*
      sigma_Cm_0]);
1111 pl(1).LineWidth = 1.5;
1112 pl(2).LineWidth = 1.5;
1113 pl(3).LineWidth = 1.5;
1114 grid on;
1115 xlabel('Tempo (s)', 'Interpreter', 'latex', 'FontSize', 30);
1116 legend('$\ +3\sigma_{C_{m_0}}$', '$\ C_{m_0} - C_{m_{0_{fke}}}$ (erro)', '$\ -3\sigma_{C_{m_0}}$', 'Interpreter', '
      latex', 'FontSize', 30);
1117 ax = gca; ax.FontSize = 18;
1118 if traj == 1
1119     saveas(f, './Plots\Reto nivelado\erro_Cm_0_FKE_rn.png');
1120 else
1121     saveas(f, './Plots\Curva coordenada\erro_Cm_0_FKE_cc.png'
      );
1122 end
1123
1124 %% Cm_alpha
1125 f(1) = figure;
1126 f.WindowState = 'maximized';
1127 pl = stairs(time, [3*sigma_Cm_alpha, Cm_alpha - Cm_alpha_fke,
      -3*sigma_Cm_alpha]);
1128 pl(1).LineWidth = 1.5;
1129 pl(2).LineWidth = 1.5;
```

```
1130 pl(3).LineWidth = 1.5;
1131 grid on;
1132 xlabel('Tempo (s)', 'Interpreter', 'latex', 'FontSize', 30);
1133 legend('$\ +3\sigma_{C_{m\_alpha}}$', '$\ C_{m\_alpha} - C_{m\_alpha\_fke}$ (erro)', '$\ -3\sigma_{C_{m\_alpha}}$',
        'Interpreter', 'latex', 'FontSize', 30);
1134 ax = gca; ax.FontSize = 18;
1135 if traj == 1
1136     saveas(f, './Plots\Reto nivelado\erro_Cm_alpha_FKE_rn.png');
1137 else
1138     saveas(f, './Plots\Curva coordenada\erro_Cm_alpha_FKE_cc.png');
1139 end
1140
1141 %% Cm_delta_e
1142 f(1) = figure;
1143 f.WindowState = 'maximized';
1144 pl = stairs(time, [3*sigma_Cm_delta_e, Cm_delta_e -
        Cm_delta_e_fke, -3*sigma_Cm_delta_e]);
1145 pl(1).LineWidth = 1.5;
1146 pl(2).LineWidth = 1.5;
1147 pl(3).LineWidth = 1.5;
1148 grid on;
1149 xlabel('Tempo (s)', 'Interpreter', 'latex', 'FontSize', 30);
1150 legend('$\ +3\sigma_{C_{m\_delta_e}}$', '$\ C_{m\_delta_e} - C_{m\_delta_e\_fke}$ (erro)', '$\ -3\sigma_{C_{m\_delta_e}}$',
        'Interpreter', 'latex', 'FontSize', 30);
1151 ax = gca; ax.FontSize = 18;
1152 if traj == 1
1153     saveas(f, './Plots\Reto nivelado\erro_Cm_delta_e_FKE_rn.png');
1154 else
1155     saveas(f, './Plots\Curva coordenada\erro_Cm_delta_e_FKE_cc.png');
1156 end
1157
1158 %% Cm_q
1159 f(1) = figure;
```

```
1160 f.WindowState = 'maximized';
1161 pl = stairs(time, [3*sigma_Cm_q, Cm_q - Cm_q_fke, -3*
    sigma_Cm_q]);
1162 pl(1).LineWidth = 1.5;
1163 pl(2).LineWidth = 1.5;
1164 pl(3).LineWidth = 1.5;
1165 grid on;
1166 xlabel('Tempo (s)', 'Interpreter', 'latex', 'FontSize', 30);
1167 legend('$\ +3\sigma_{C_{m_q}}$', '$\ C_{m_q} - C_{m_{q_{fke}}}$ (erro)', '$\ -3\sigma_{C_q}$', 'Interpreter', 'latex',
    'FontSize', 30);
1168 ax = gca; ax.FontSize = 18;
1169 if traj == 1
1170     saveas(f, './Plots\Reto nivelado\erro_Cm_q_FKE_rn.png');
1171 else
1172     saveas(f, './Plots\Curva coordenada\erro_Cm_q_FKE_cc.png'
        );
1173 end
1174
1175 %% Cn_beta
1176 f(1) = figure;
1177 f.WindowState = 'maximized';
1178 pl = stairs(time, [3*sigma_Cn_beta, Cn_beta - Cn_beta_fke,
    -3*sigma_Cn_beta]);
1179 pl(1).LineWidth = 1.5;
1180 pl(2).LineWidth = 1.5;
1181 pl(3).LineWidth = 1.5;
1182 grid on;
1183 xlabel('Tempo (s)', 'Interpreter', 'latex', 'FontSize', 30);
1184 legend('$\ +3\sigma_{C_{n\_beta}}$', '$\ C_{n\_beta} - C_{n_{\beta_{fke}}}$ (erro)', '$\ -3\sigma_{C_{n\_beta}}$', '
    Interpreter', 'latex', 'FontSize', 30);
1185 ax = gca; ax.FontSize = 18;
1186 if traj == 1
1187     saveas(f, './Plots\Reto nivelado\erro_Cn_beta_FKE_rn.png'
        );
1188 else
1189     saveas(f, './Plots\Curva coordenada\erro_Cn_beta_FKE_cc.
        png');
```

```
1190 end
1191
1192 %% Cn_delta_r
1193 f(1) = figure;
1194 f.WindowState = 'maximized';
1195 pl = stairs(time, [3*sigma_Cn_delta_r, Cn_delta_r -
    Cn_delta_r_fke, -3*sigma_Cn_delta_r]);
1196 pl(1).LineWidth = 1.5;
1197 pl(2).LineWidth = 1.5;
1198 pl(3).LineWidth = 1.5;
1199 grid on;
1200 xlabel('Tempo (s)', 'Interpreter', 'latex', 'FontSize', 30);
1201 legend('$\ +3\sigma_{C_{n_{\delta_r}}}$', '$\ C_{n_{\delta_r}}$
    } - C_{n_{\delta_r}_{fke}}}$ (erro)', '$\ -3\sigma_{C_{n_{\delta_r}}}$', 'Interpreter', 'latex', 'FontSize', 30);
1202 ax = gca; ax.FontSize = 18;
1203 if traj == 1
1204     saveas(f, './Plots\Reto nivelado\erro_Cn_delta_r_FKE_rn.
        png');
1205 else
1206     saveas(f, './Plots\Curva coordenada\
        erro_Cn_delta_r_FKE_cc.png');
1207 end
1208
1209 %% Cn_delta_a
1210 f(1) = figure;
1211 f.WindowState = 'maximized';
1212 pl = stairs(time, [3*sigma_Cn_delta_a, Cn_delta_a -
    Cn_delta_a_fke, -3*sigma_Cn_delta_a]);
1213 pl(1).LineWidth = 1.5;
1214 pl(2).LineWidth = 1.5;
1215 pl(3).LineWidth = 1.5;
1216 grid on;
1217 xlabel('Tempo (s)', 'Interpreter', 'latex', 'FontSize', 30);
1218 legend('$\ +3\sigma_{C_{n_{\delta_a}}}$', '$\ C_{n_{\delta_a}}$
    } - C_{n_{\delta_a}_{fke}}}$ (erro)', '$\ -3\sigma_{C_{n_{\delta_a}}}$', 'Interpreter', 'latex', 'FontSize', 30);
1219 ax = gca; ax.FontSize = 18;
1220 if traj == 1
```

```
1221     saveas(f, './Plots\Reto nivelado\erro_Cn_Delta_a_FKE_rn.
           png');
1222 else
1223     saveas(f, './Plots\Curva coordenada\
           erro_Cn_delta_a_FKE_cc.png');
1224 end
1225
1226 %% Cn_p
1227 f(1) = figure;
1228 f.WindowState = 'maximized';
1229 pl = stairs(time, [3*sigma_Cn_p, Cn_p - Cn_p_fke, -3*
           sigma_Cn_p]);
1230 pl(1).LineWidth = 1.5;
1231 pl(2).LineWidth = 1.5;
1232 pl(3).LineWidth = 1.5;
1233 grid on;
1234 xlabel('Tempo (s)', 'Interpreter', 'latex', 'FontSize', 30);
1235 legend('$\ +3\sigma_{C_{n_p}}$', '$\ C_{n_p} - C_{n_{p_{fke}}}$
           (erro)', '$\ -3\sigma_{C_{n_p}}$', 'Interpreter', '
           latex', 'FontSize', 30);
1236 ax = gca; ax.FontSize = 18;
1237 if traj == 1
1238     saveas(f, './Plots\Reto nivelado\erro_Cn_p_FKE_rn.png');
1239 else
1240     saveas(f, './Plots\Curva coordenada\erro_Cn_p_FKE_cc.png'
           );
1241 end
1242
1243 %% Cn_r
1244 f(1) = figure;
1245 f.WindowState = 'maximized';
1246 pl = stairs(time, [3*sigma_Cn_r, Cn_r - Cn_r_fke, -3*
           sigma_Cn_r]);
1247 pl(1).LineWidth = 1.5;
1248 pl(2).LineWidth = 1.5;
1249 pl(3).LineWidth = 1.5;
1250 grid on;
1251 xlabel('Tempo (s)', 'Interpreter', 'latex', 'FontSize', 30);
```

```
1252 legend('$\ +3\sigma_{C_{n_r}}$', '$\ C_{n_r} - C_{n_{r_{fke}}}$ (erro)', '$\ -3\sigma_{C_{n_r}}$', 'Interpreter', '
      latex', 'FontSize', 30);
1253 ax = gca; ax.FontSize = 18;
1254 if traj == 1
1255     saveas(f, './Plots\Reto nivelado\erro_Cn_r_FKE_rn.png');
1256 else
1257     saveas(f, './Plots\Curva coordenada\erro_Cn_r_FKE_cc.png'
      );
1258 end
1259
1260 %% Fecha todas as figuras
1261 close all;
```

# APÊNDICE B – Modelos Simulink®

O subsistema **MODELO NAO LINEAR - MIRAGE III** da Fig. 12 é dado por:

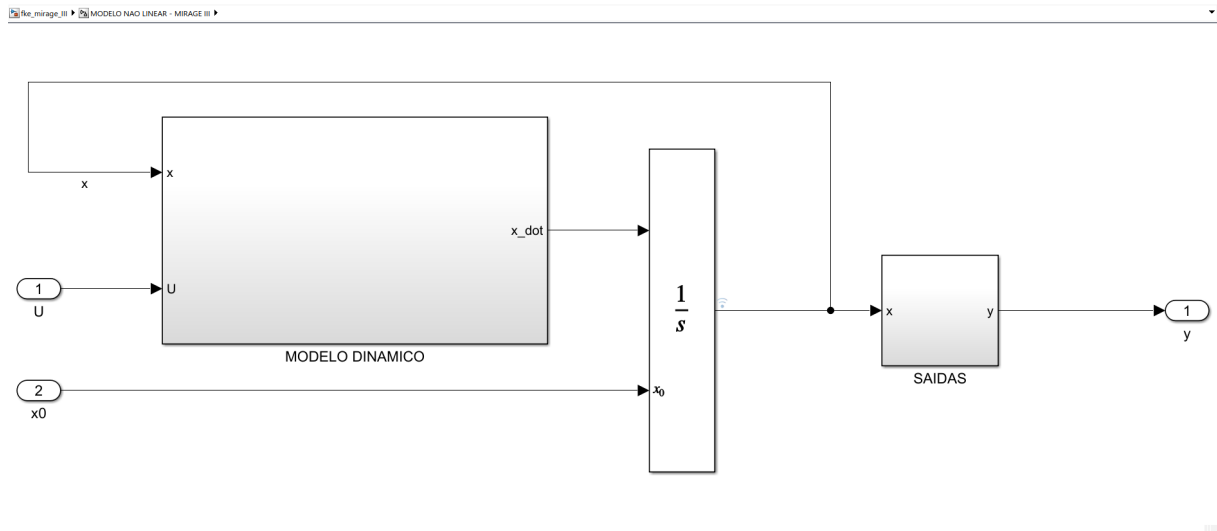


Figura 65 – Subsistemas **MODELO NAO LINEAR - MIRAGE III**.

## B.1 Subsistema - Modelo Dinâmico

O subsistema **MODELO DINAMICO** da Fig. 65 é dado por:

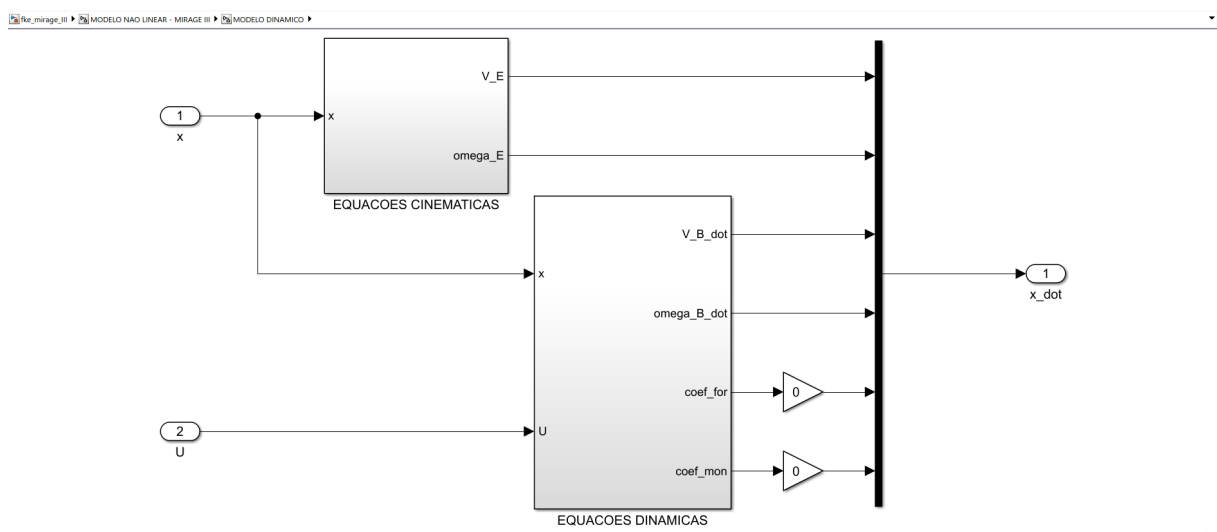


Figura 66 – Subsistema **MODELO DINAMICO**.



O subsistema **EQUACOES CINEMATICAS** é dado por:

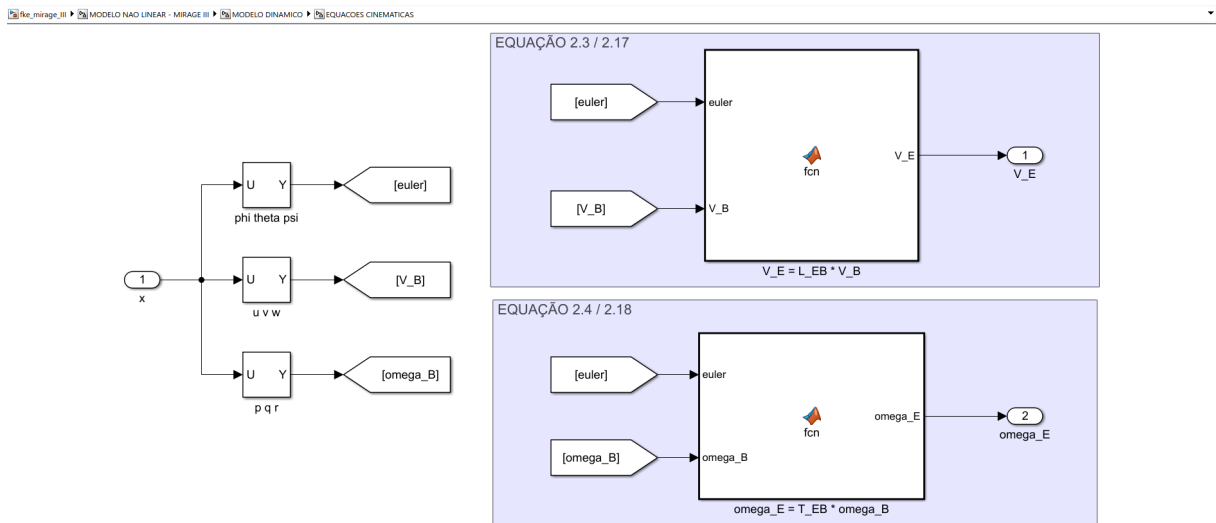


Figura 67 – Subsistema EQUACOES CINEMATICAS.

Onde a função  $V_E = L_{EB} * V_B$  é dada por:

```

1 function V_E = fcn(euler, V_B)
2
3 phi = euler(1);
4 theta = euler(2);
5 psi = euler(3);
6
7 % EQUACAO 2.5
8 L_EB = [cos(theta)*cos(psi), sin(phi)*sin(theta)*cos(psi) -
9         cos(phi)*sin(psi), cos(phi)*sin(theta)*cos(psi) + sin(phi)
10        ]*sin(psi);
11         cos(theta)*sin(psi), sin(phi)*sin(theta)*sin(psi) +
12         cos(phi)*cos(psi), cos(phi)*sin(theta)*sin(psi) -
13         sin(phi)*cos(psi)
14         -sin(theta), sin(phi)*cos(theta), cos(phi)*cos(theta)
15         ];
16
17 V_E = L_EB * V_B;

```

E a função  $omega_E = T_{EB} * omega_B$  é dada por:

```

1 function omega_E = fcn(euler, omega_B)
2
3 phi = euler(1);
4 theta = euler(2);

```

```

5
6 % EQUACAO 2.6
7 T_EB = [1, sin(phi)*tan(theta), cos(phi)*tan(theta);
8         0, cos(phi), -sin(phi);
9         0, sin(phi)*sec(theta), cos(phi)*sec(theta)];
10
11 omega_E = T_EB * omega_B;
    
```

O subsistema **EQUACOES DINAMICAS** da Fig. 66 é dado por:

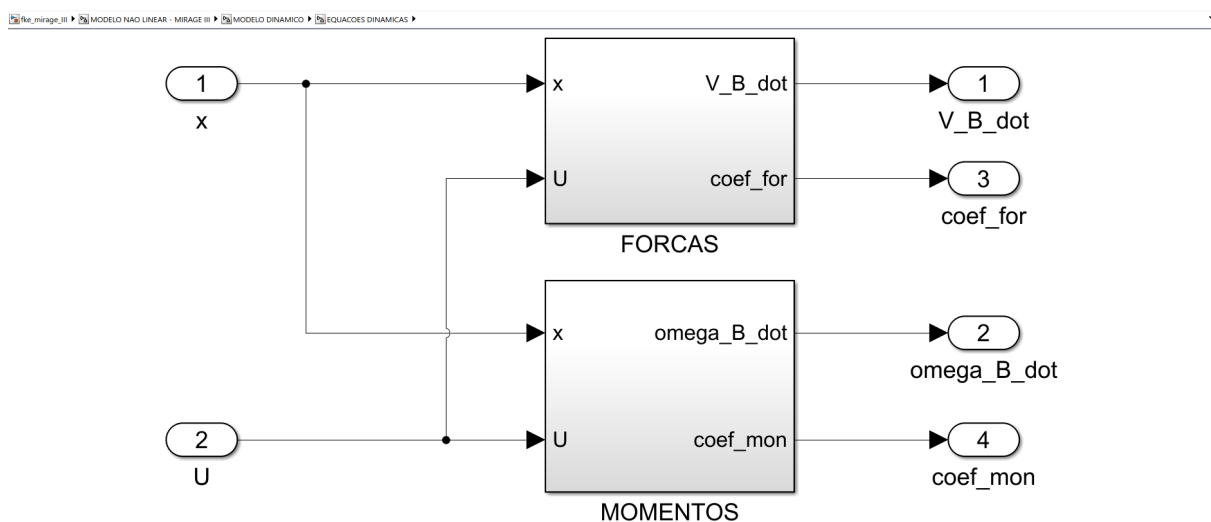


Figura 68 – Subsistema EQUACOES DINAMICAS.

Onde o subsistema **FORCAS** é dado por:

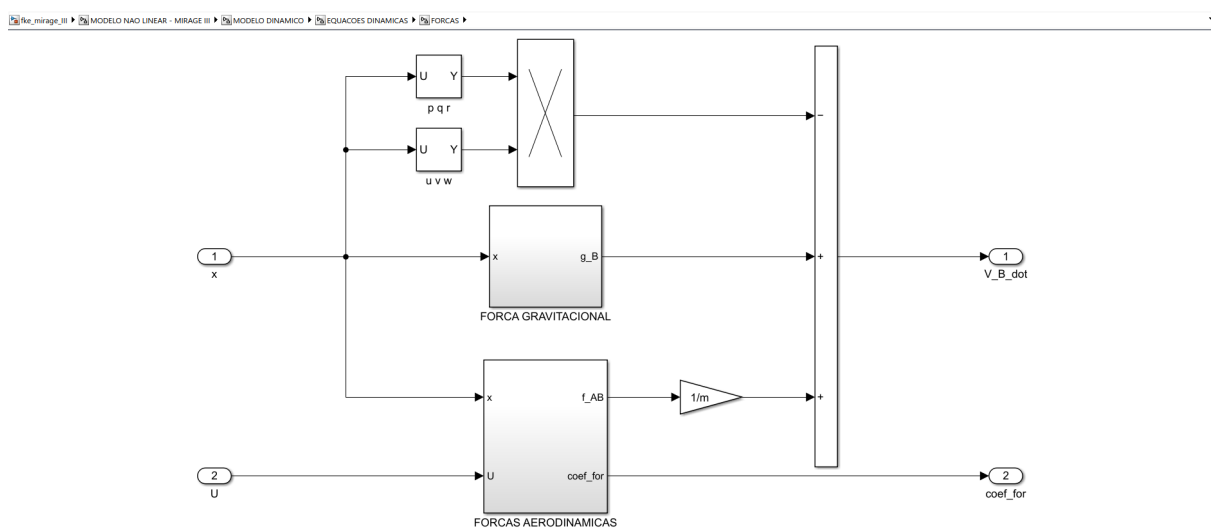


Figura 69 – Subsistema FORCAS.

Onde o subsistema **FORÇA GRAVITACIONAL** é dado por:

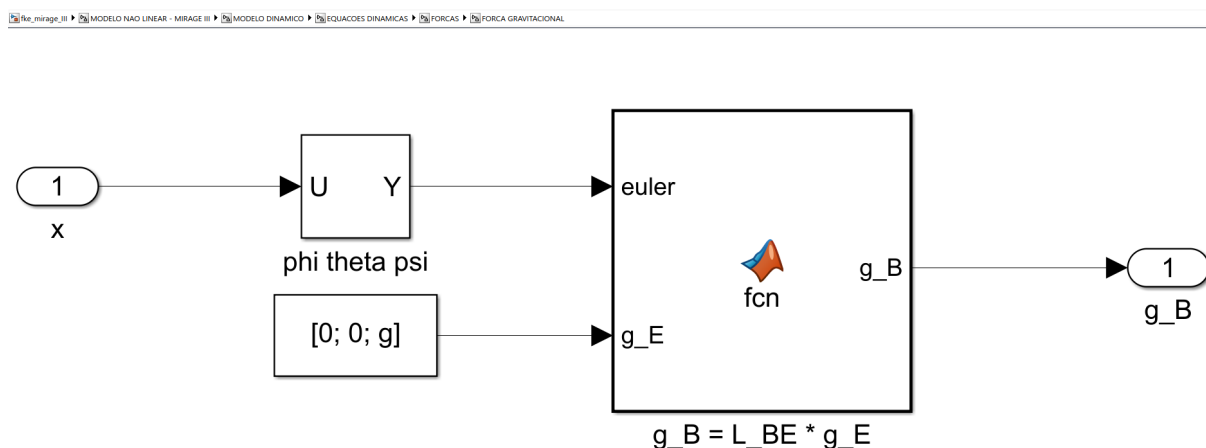


Figura 70 – Subsistema FORÇA GRAVITACIONAL.

E a função  $g_B = L_{BE} * g_E$  é dada por:

```

1  function g_B = fcn(euler, g_E)
2
3  phi = euler(1);
4  theta = euler(2);
5  psi = euler(3);
6
7  % EQUACAO 2.5
8  L_EB = [cos(theta)*cos(psi), sin(phi)*sin(theta)*cos(psi) -
          cos(phi)*sin(psi), cos(phi)*sin(theta)*cos(psi) + sin(phi)
          *sin(psi);
9          cos(theta)*sin(psi), sin(phi)*sin(theta)*sin(psi) +
          cos(phi)*cos(psi), cos(phi)*sin(theta)*sin(psi) -
10         sin(phi)*cos(psi)
11         -sin(theta), sin(phi)*cos(theta), cos(phi)*cos(theta)
12         ];
12 g_B = transpose(L_EB) * g_E;

```

O subsistema **FORCAS AERODINAMICAS** da Fig. 69 é dado por:

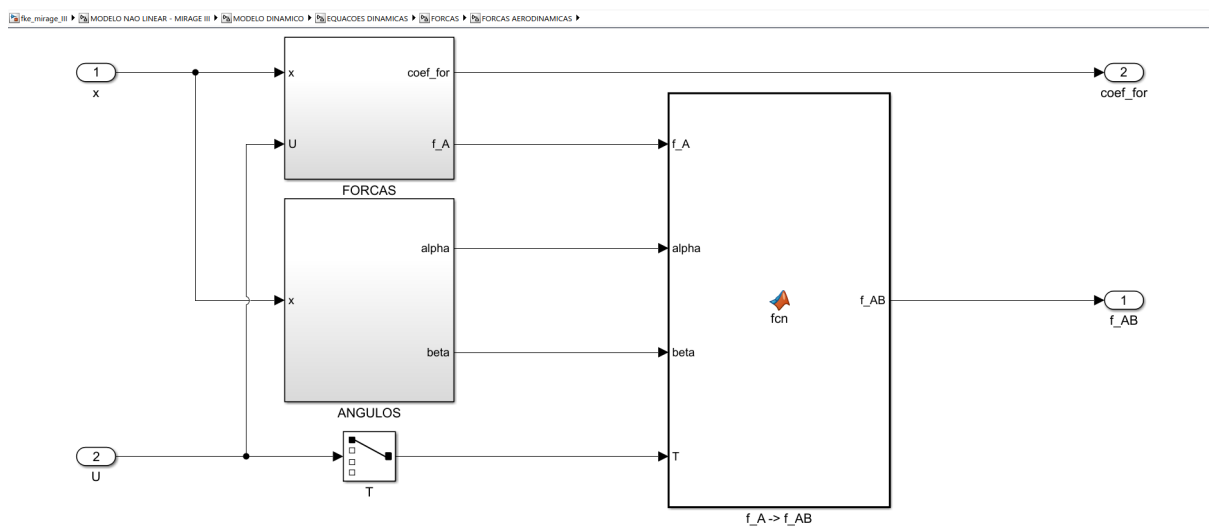


Figura 71 – Subsistema FORCAS AERODINAMICAS.

Onde o subsistema **ANGULOS** é dado pela Fig. 78 e a função  $f_A \rightarrow f_{AB}$  é dada por:

```

1 function f_AB = fcn(f_A, alpha, beta, T)
2
3 L_AB = [-cos(alpha)*cos(beta), -cos(alpha)*sin(beta), sin(
4         alpha);
5         -sin(beta), cos(beta), 0;
6         -sin(alpha)*cos(beta), -sin(alpha)*sin(beta), -cos(
7         alpha)];
8
9 f_AB = L_AB * f_A + [T; 0; 0];

```

E o subsistema **FORCAS** é dado por:

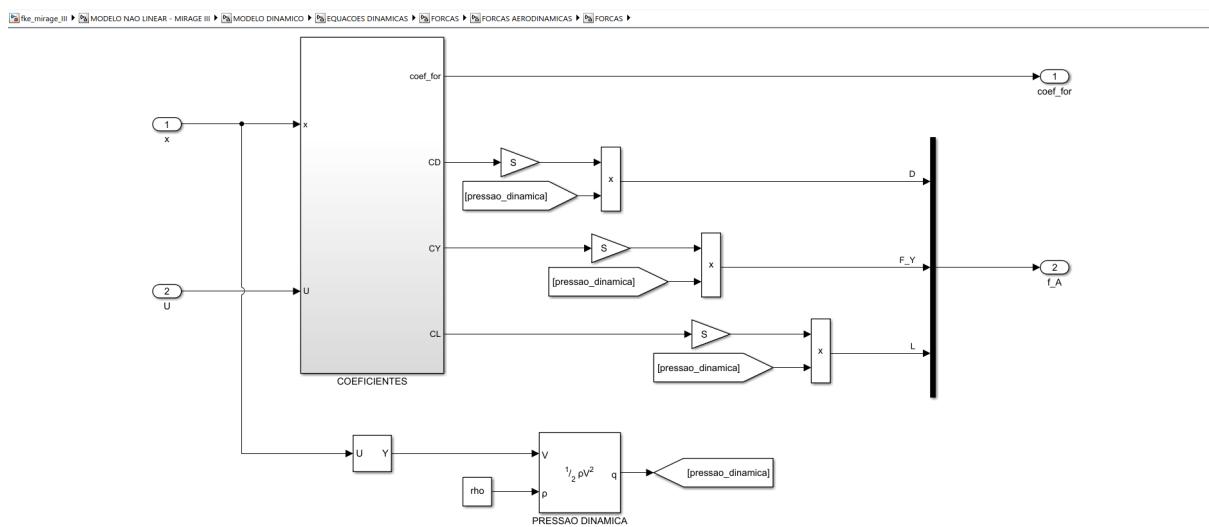


Figura 72 – Subsistema FORCAS AERODINAMICAS/FORCAS.

Onde o subsistema **COEFICIENTES** é dado por:

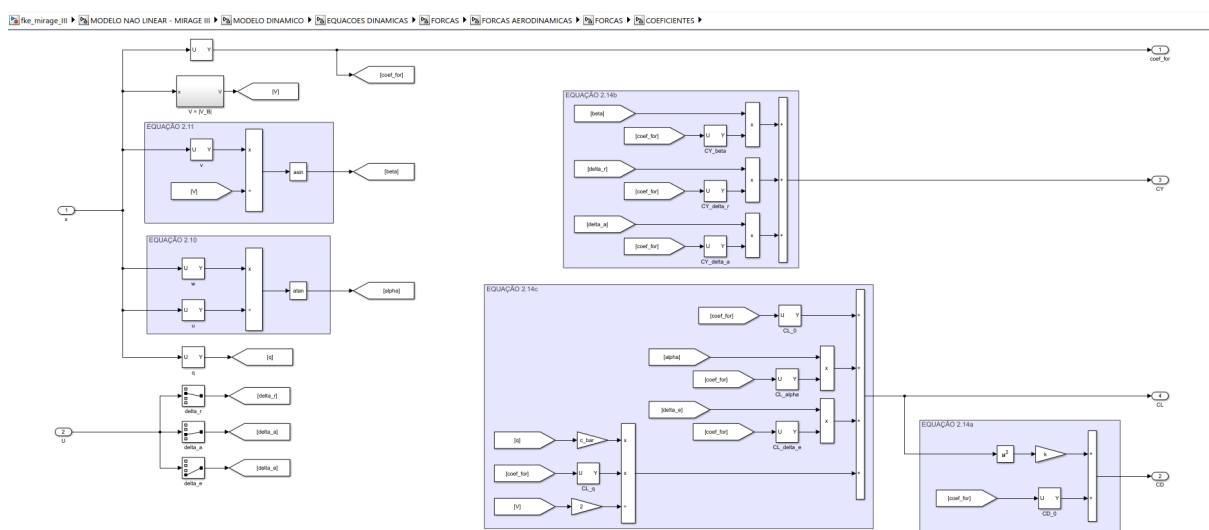


Figura 73 – Subsistema FORCAS/COEFICIENTES.

O subsistema **MOMENTOS** da Fig. 68 é dado por:

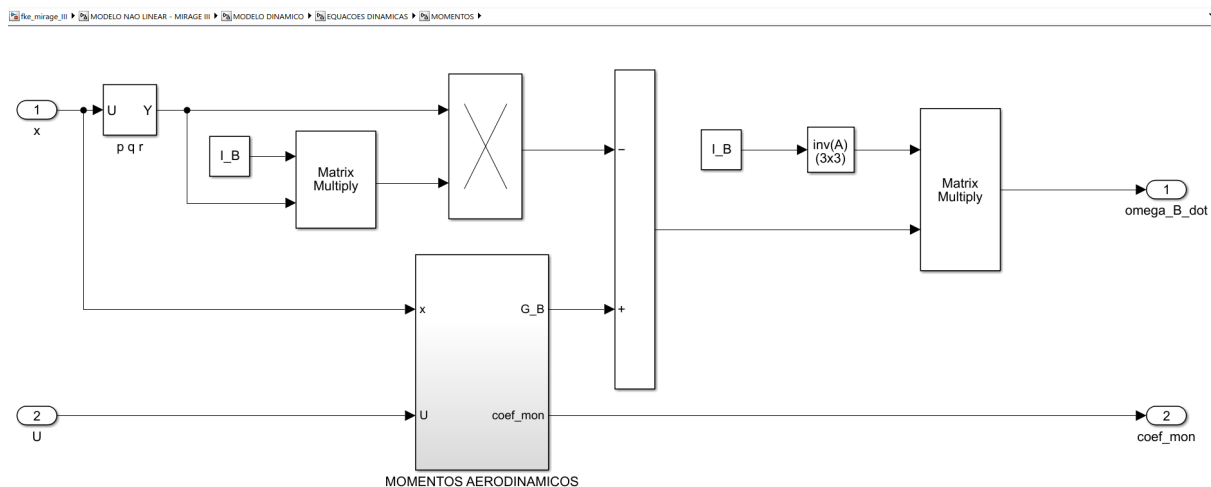


Figura 74 – Subsistema MOMENTOS.

Onde o subsistema **MOMENTOS AERODINAMICOS** é dado por:

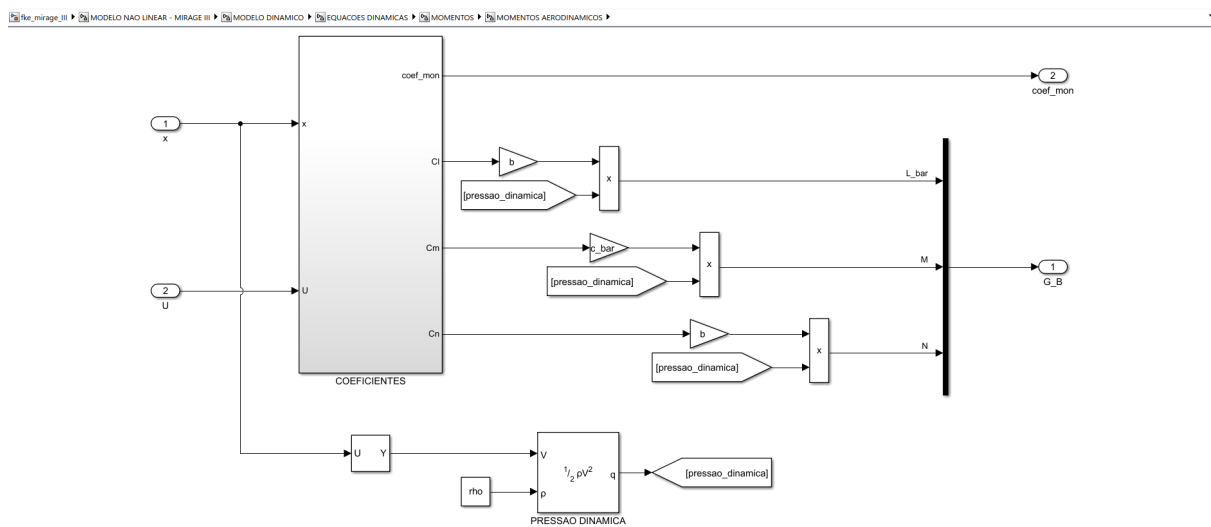


Figura 75 – Subsistema MOMENTOS AERODINAMICOS.

E o subsistema **COEFICIENTES** é dado por:

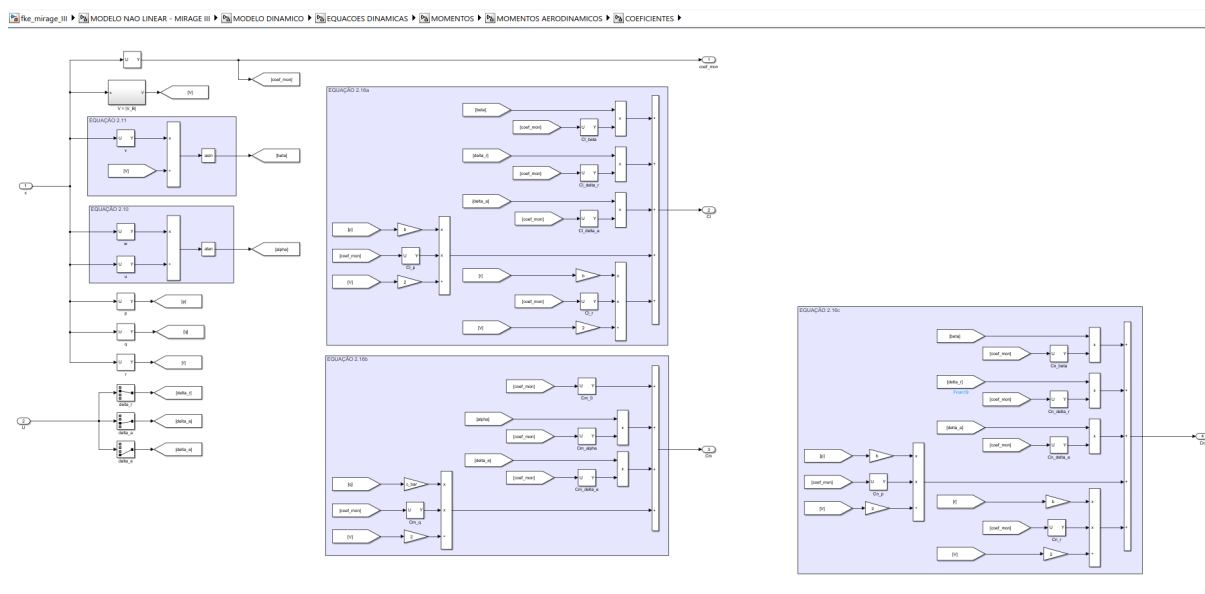


Figura 76 – Subsistema MOMENTOS AERODINAMICOS/COEFICIENTES.

## B.2 Subsistema - Saídas

O subsistema **SAIDAS** da Fig. 65 é dado por:

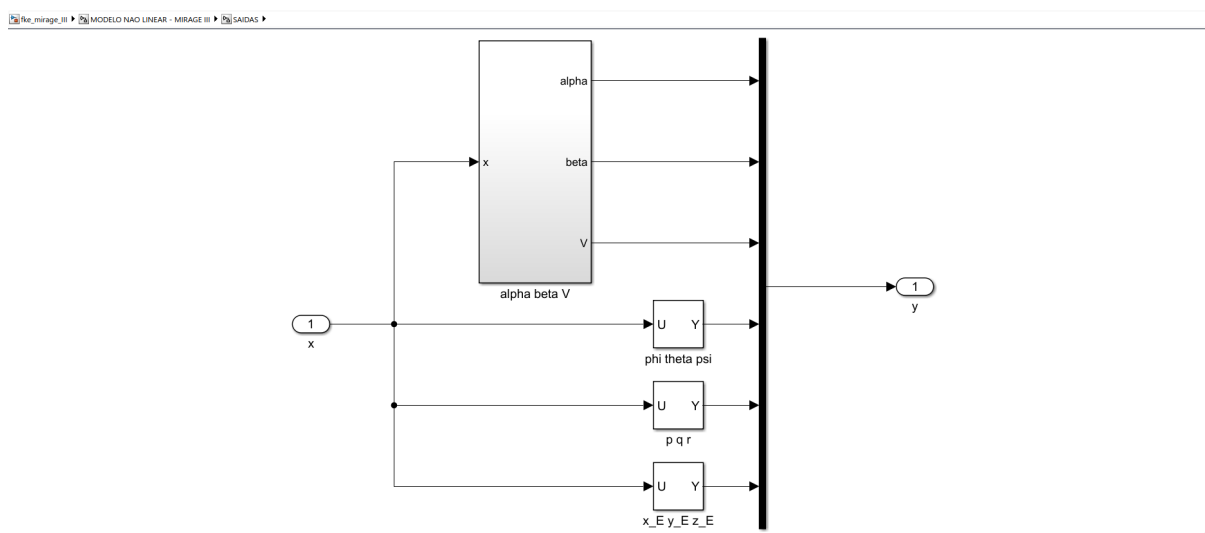


Figura 77 – Subsistema SAIDAS.

Onde o subsistema **alpha beta V** é dado por:

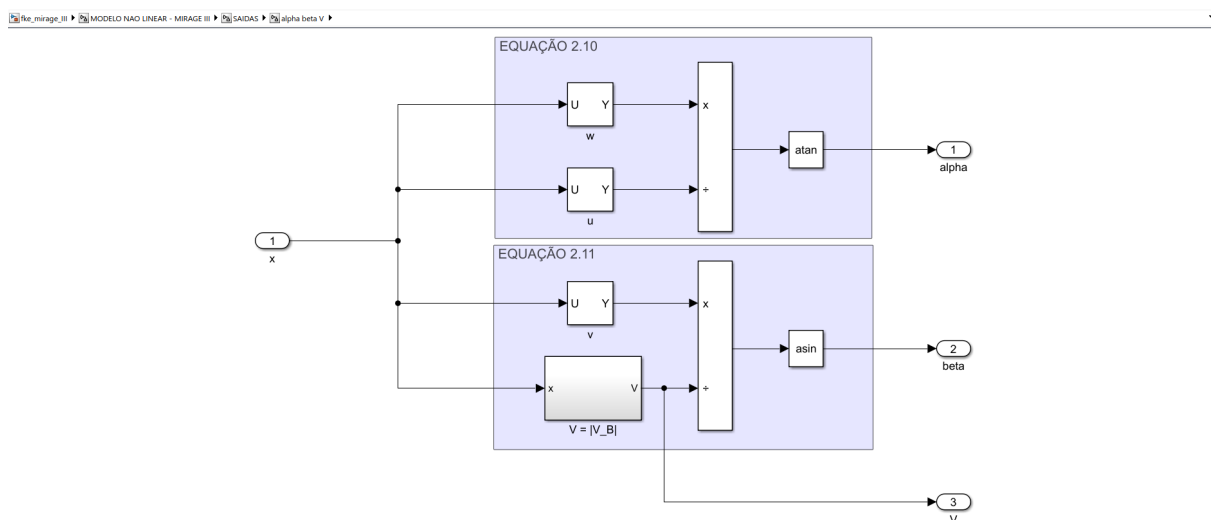


Figura 78 – Subsistema alpha beta V.

E o subsistema  $V = |V_B|$  é dado por:

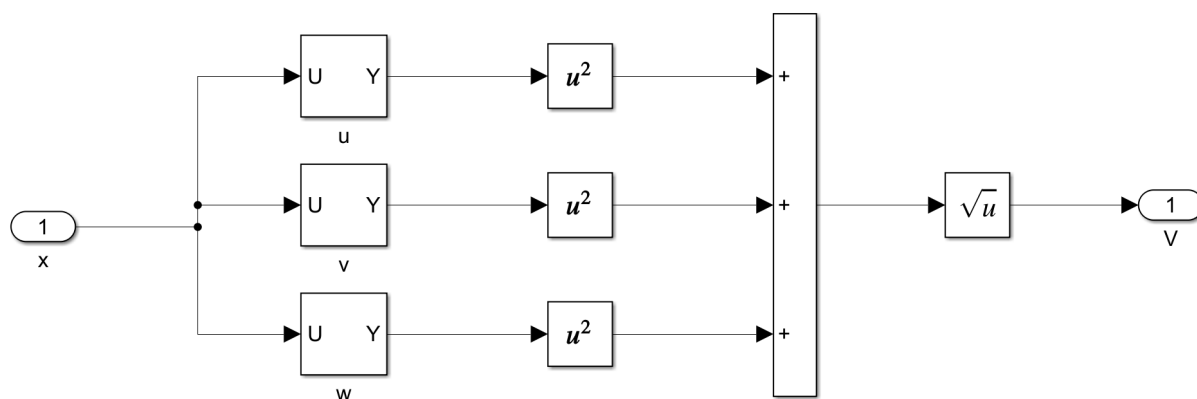


Figura 79 – Cálculo  $V = |V_B|$ .



## APÊNDICE C – Simulink® - Configuração sensor

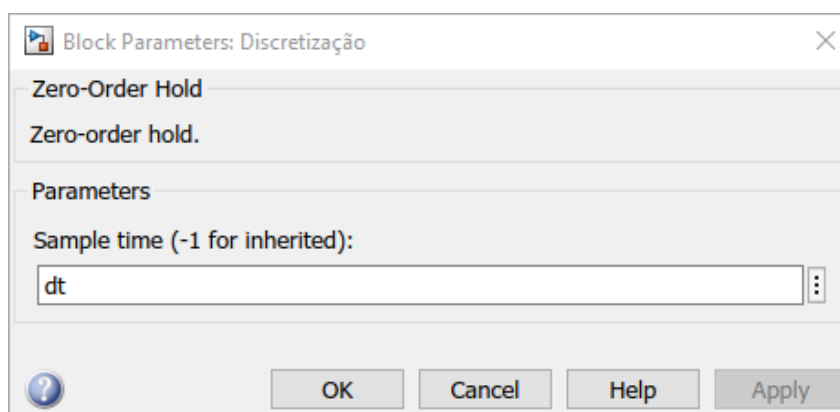


Figura 80 – Configuração do bloco Discretização.

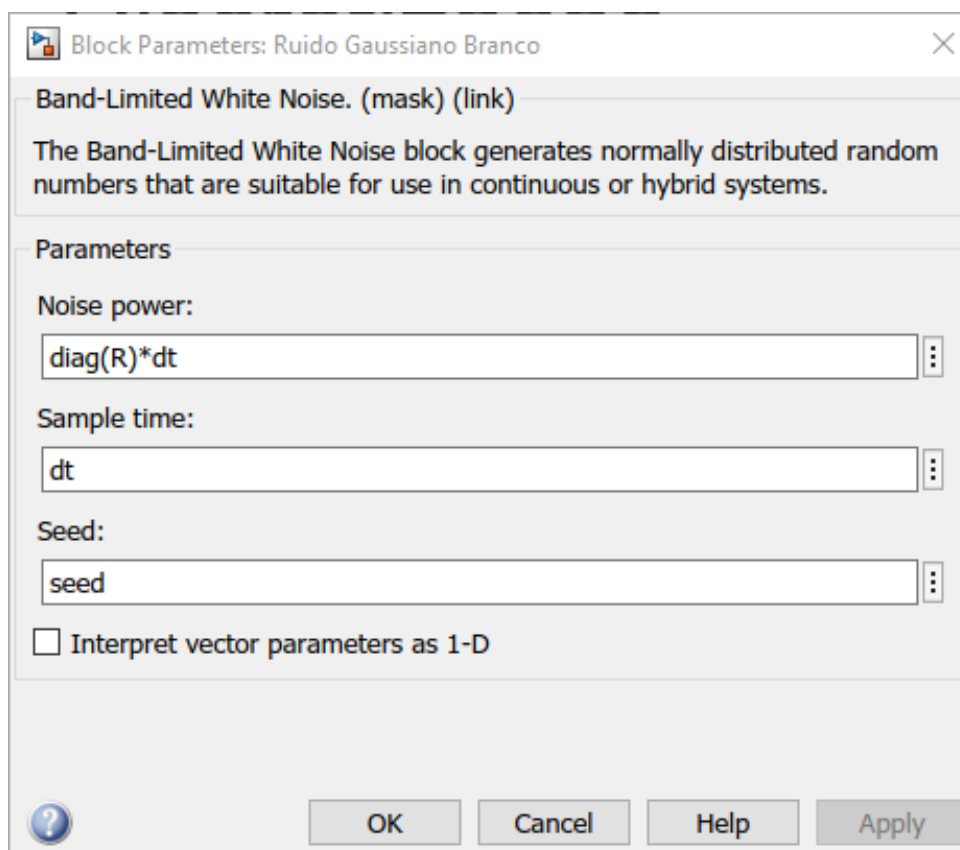


Figura 81 – Configuração do bloco Ruido Gaussiano Branco.

# APÊNDICE D – Simulink® - Configuração FKE

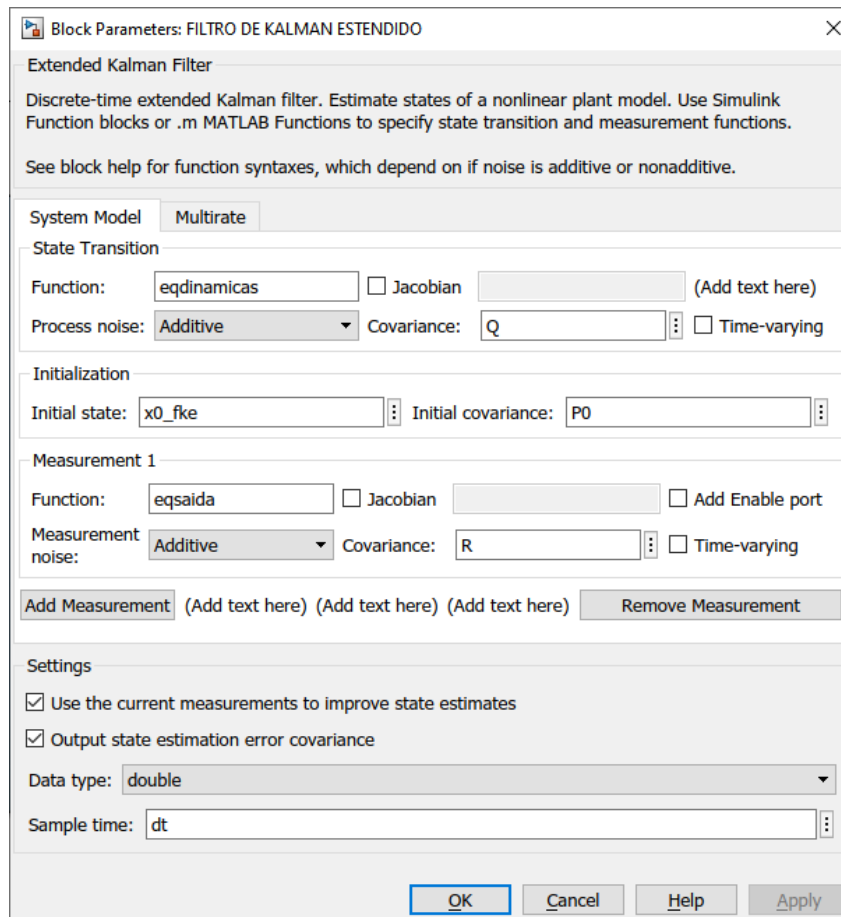


Figura 82 – Configuração do bloco FILTRO DE KALMAN ESTENDIDO.

Em que  $Q$ ,  $x0\_fke$ ,  $P0$ ,  $R$  e  $dt$ , são gerados pelos *scripts* do Apêndice A e as funções *eqdinamicas* e *eqsaidas* são dadas por:

```

1 function x = eqdinamicas(x, U)
2
3 dt = 0.01;
4 f = zeros(34,1);
5
6 %% Vetor de estado x
7
8 x_E = x(1); y_E = x(2); z_E = x(3);
9 phi = x(4); theta = x(5); psi = x(6);
10 u = x(7); v = x(8); w = x(9);

```

```
11 p = x(10); q = x(11); r = x(12);
12 CD_0 = x(13);
13 CY_beta = x(14); CY_delta_r = x(15); CY_delta_a = x(16);
14 CL_0 = x(17); CL_alpha = x(18); CL_delta_e = x(19); CL_q = x
    (20);
15 Cl_beta = x(21); Cl_delta_r = x(22); Cl_delta_a = x(23); Cl_p
    = x(24); Cl_r = x(25);
16 Cm_0 = x(26); Cm_alpha = x(27); Cm_delta_e = x(28); Cm_q = x
    (29);
17 Cn_beta = x(30); Cn_delta_r = x(31); Cn_delta_a = x(32); Cn_p
    = x(33); Cn_r = x(34);
18
19 %% Vetor de entradas u
20
21 T = U(1); delta_r = U(2); delta_a = U(3); delta_e = U(4);
22
23 %% Caracteristicas do Mirage III
24 comp = 15;          % Comprimento (m)
25 b = 7.5;           % Envergadura (m)
26 c_bar = 5.25;      % Corda media aerodinamica (m)
27 S = 36;            % Area da asa (m^2)
28 m = 7400;          % Massa (kg)
29
30 % Matriz momento de inercia (kg*m^2) - PAGLIONE PAGINA 366 DO
    PDF
31 % Obs: aeronave massivamente simetrica em torno do plano xz
32 I_B = [9*10^4, 0, -1.8*10^3;
33         0, 5.4*10^4, 0;
34         -1.8*10^3, 0, 6*10^4];
35
36 % Constante da polar CL x CD
37 k = 0.4;
38
39 %% Caracteristicas do ambiente
40 g = 9.80665;        % Vetor aceleracao da gravidade (m/s^2)
41 rho = 0.73;         % Densidade do ar a 10000 m (kg/m^3)
42
43 %% Equacoes
44 V = sqrt(u^2 + v^2 + w^2);
```

```
45
46 % EQUACAO 2.10
47 alpha = atan(w/u);
48
49 % EQUACAO 2.11
50 beta = asin(v/V);
51
52 % EQUACOES 2.14
53 CL = CL_0 + CL_alpha*alpha + CL_delta_e*delta_e + CL_q*((
      c_bar*q)/(2*V));
54 CD = CD_0 + k*CL^2;
55 CY = CY_beta*beta + CY_delta_r*delta_r + CY_delta_a*delta_a;
56
57 % EQUACAO 2.13
58 D = 0.5*rho*S*V^2*CD;
59 F_Y = 0.5*rho*S*V^2*CY;
60 L_F = 0.5*rho*S*V^2*CL;
61
62 % EQUACOES 2.12
63 X = T - D*cos(alpha)*cos(beta) - F_Y*cos(alpha)*sin(beta) +
      L_F*sin(alpha);
64 Y = -D*sin(beta) + F_Y*cos(beta);
65 Z = -D*sin(alpha)*cos(beta) - F_Y*sin(alpha)*sin(beta) - L_F*
      cos(alpha);
66
67 % EQUACAO 2.16
68 Cl = Cl_beta*beta + Cl_delta_r*delta_r + Cl_delta_a*delta_a +
      Cl_p*((b*p)/(2*V)) + Cl_r*((b*r)/(2*V));
69 Cm = Cm_0 + Cm_alpha*alpha + Cm_delta_e*delta_e + Cm_q*((
      c_bar*q)/(2*V));
70 Cn = Cn_beta*beta + Cn_delta_r*delta_r + Cn_delta_a*delta_a +
      Cn_p*((b*p)/(2*V)) + Cn_r*((b*r)/(2*V));
71
72 % EQUACAO 2.15
73 L = 0.5*rho*S*b*V^2*Cl;
74 M = 0.5*rho*S*c_bar*V^2*Cm;
75 N = 0.5*rho*S*b*V^2*Cn;
76
77 %% Equacoes cinematicas
```

```

78
79 % EQUACAO 2.17
80 f(1) = u*cos(theta)*cos(psi) + v*(sin(phi)*sin(theta)*cos(psi)
      ) - cos(phi)*sin(psi)) + w*(cos(phi)*sin(theta)*cos(psi) +
      sin(phi)*sin(psi));
81 f(2) = u*cos(theta)*sin(psi) + v*(sin(phi)*sin(theta)*sin(psi)
      ) + cos(phi)*cos(psi)) + w*(cos(phi)*sin(theta)*sin(psi) -
      sin(phi)*cos(psi));
82 f(3) = -u*sin(theta) + v*sin(phi)*cos(theta) + w*cos(phi)*cos
      (theta);
83
84 % EQUACAO 2.18
85 f(4) = p + q*sin(phi)*tan(theta) + r*cos(phi)*tan(theta);
86 f(5) = q*cos(phi) - r*sin(phi);
87 f(6) = q*sin(phi)*sec(theta) + r*cos(phi)*sec(theta);
88
89 %% Equacoes dinamicas
90
91 % EQUACAO 2.19
92 f(7) = X/m - g*sin(theta) + r*v - q*w;
93 f(8) = Y/m + g*cos(theta)*sin(phi) + p*w - r*u;
94 f(9) = Z/m + g*cos(theta)*cos(phi) + q*u - p*v;
95
96 % EQUACAO 2.20
97 f(10:12) = I_B\[L + (I_B(2,2) - I_B(3,3))*q*r + I_B(1,3)*p*q;
98             M + (I_B(3,3) - I_B(1,1))*p*r + I_B(1,3)*(r
99             ^2-p^2);
100            N + (I_B(1,1) - I_B(2,2))*p*q - I_B(1,3)*q*r
101            ];
102
103 % Os coeficientes adimensionais nao variam ao longo do tempo
104 f(13:34) = 0;
105
106 x = x + f*dt;
107 end

```

```

1 function y = eqsaida(x)
2
3 x_E = x(1); y_E = x(2); z_E = x(3);

```

```
4 phi = x(4); theta = x(5); psi = x(6);
5 u = x(7); v = x(8); w = x(9);
6 p = x(10); q = x(11); r = x(12);
7
8 V = sqrt(u^2+v^2+w^2);
9
10 % EQUACAO 2.10
11 alpha = atan(w/u);
12
13 % EQUACAO 2.11
14 beta = asin(v/V);
15
16 y = [alpha; beta; V;
17      phi; theta; psi;
18      p; q; r;
19      x_E; y_E; z_E];
20 end
```